

การพัฒนาระบวนการผลิตโครงการสร้างจุลภาคโดยวิธีการอิเล็กทรอนิกส์
ด้วยรังสีเอ็กซ์

นายวินัย วันบุรี

วิทยานิพนธ์นี้เป็นส่วนหนึ่งของการศึกษาตามหลักสูตรปริญญาวิศวกรรมศาสตรมหาบัณฑิต
สาขาวิชาชีวกรรมไฟฟ้า
มหาวิทยาลัยเทคโนโลยีสุรนารี
ปีการศึกษา 2550

**PROCESS DEVELOPMENT OF MICROSTRUCTURE
PRODUCTION USING X-RAY LITHOGRAPHY**

Winai Wanburee

**A Thesis Submitted in Partial Fulfillment of the Requirements for the
Degree of Master of Engineering in Electrical Engineering
Suranaree University of Technology**

Academic Year 2007

การพัฒนากำรกระบวนการผลิตโครงสร้างจุลภาคโดยวิธีการถ่ายภาพไฟด้วยรังสีเอกซ์

มหาวิทยาลัยเทคโนโลยีสุรนารี อนุมติให้นับวิทยานิพนธ์ฉบับนี้เป็นส่วนหนึ่งของการศึกษา
ตามหลักสูตรปริญญามหาบัณฑิต

คณะกรรมการสอบวิทยานิพนธ์

(รศ. ดร.กิตติ อัตตอกิจมงคล)

ประธานกรรมการ

(อ. ดร.นิมิต ชมนารังส์)

กรรมการ (อาจารย์ที่ปรึกษาวิทยานิพนธ์)

(ผศ. ดร.อาทิตย์ ศรีแก้ว)

กรรมการ

(อ. ดร.ประพงษ์ คล้ายสุบรรณ)

กรรมการ

(รศ. ดร.เสาวณีย์ รัตนพานิช)

รองอธิการบดีฝ่ายวิชาการ

(รศ. น.อ. ดร.วรรณ์ บำเพ็ญ)

คณบดีสำนักวิชาชีวกรรมศาสตร์

วินัย วันบุรี : การพัฒนาระบวนการผลิตโครงสร้างจุลภาคโดยวิธีการลิโธกราฟฟีด้วยรังสีเอ็กซ์ (PROCESS DEVELOPMENT OF MICROSTRUCTURE PRODUCTION USING X-RAY LITHOGRAPHY) อาจารย์ที่ปรึกษา : อ. ดร.นิมิต ชมนาวัง, 96 หน้า.

กระบวนการลิโธกราฟฟีด้วยรังสีเอ็กซ์ (x-ray lithography) เป็นกระบวนการผลิตโครงสร้างจุลภาคสัดส่วนสูงสำหรับอุปกรณ์จุลภาค ในงานวิจัยนี้มีวัตถุประสงค์เพื่อพัฒนาระบวนการผลิตโครงสร้างจุลภาคด้วยวิธีการลิโธกราฟฟีด้วยรังสีเอ็กซ์ โดยใช้รังสีเอ็กซ์จากแสงซินโครตรอน ณ ระบบลำเลียงแสง BL-6 ของศูนย์ปฏิบัติการวิจัยเครื่องกำเนิดแสงซินโครตรอนแห่งชาติ ในการพัฒนาระบวนการลิโธกราฟฟีด้วยรังสีเอ็กซ์นั้น ได้เลือกใช้สารไวแสงชนิดลบ SU-8 แทน PMMA เนื่องจากมีความไวต่อรังสีเอ็กซ์ และสามารถเตรียมฟิล์มสารไวแสงโดยควบคุมความหนาด้วยวิธีการหมุนเคลือบ (spin coating) หรือการหล่อบนจากผงของสารไวแสง นอกจากนี้ ได้พัฒนาระบวนการผลิตชิ้นงาน (replication) โดยการถ่ายทอดโครงสร้างโลหะต้นแบบด้วยพอลิเมอร์ PDMS จากนั้นจึงใช้แม่พิมพ์ PDMS ในการเพิ่มจำนวนชิ้นงานผ่านการหมุนนิกเกลด้วยไฟฟ้า เพื่อลดเวลาและค่าใช้จ่ายที่ใช้ในกระบวนการผลิต สำหรับหน้ากากกันรังสีเอ็กซ์ (x-ray mask) นั้น ได้พัฒนาการใช้วัสดุชนิดใหม่คือโลหะเงินในการคูดกลีนรังสีเอ็กซ์แทนทองคำที่ใช้กันในปัจจุบัน ทำให้สามารถลดต้นทุนของหน้ากากกันรังสีเอ็กซ์ลง ได้มากกว่า 40 เท่า กระบวนการต่าง ๆ ที่ได้พัฒนาขึ้น ได้ถูกนำมาใช้ในการสาธิตการสร้างอุปกรณ์จุลภาค โดยการสร้างก้อนมวลรับความเร่งบนตัวตรวจรู้ความเร่งจุลภาค (micro-accelerometer) แบบเพี้ยโซเรซิสทิฟ (piezoresistive) โดยสามารถสร้างก้อนมวลที่มีความสูง 500 ไมโครเมตร ซึ่งสร้างด้วยกระบวนการลิโธกราฟฟีด้วยรังสีเอ็กซ์คู่กับกระบวนการผลิตชิ้นงาน โดยกระบวนการที่พัฒนาขึ้นสามารถสร้างอุปกรณ์จุลภาคได้อย่างมีประสิทธิภาพ

WINAI WANBUREE : PROCESS DEVELOPMENT OF
MICROSTRUCTURE PRODUCTION USING X-RAY LITHOGRAPHY.
THESIS ADVISOR : NIMIT CHOMNAWANG, Ph.D., 96 PP.

MEMS/X-RAY LITHOGRAPHY/X-RAY MASK/LIGA

X-ray lithography is a fabrication process for high-aspect-ratio microstructures. The purpose of this thesis is to develop x-ray lithography process at Beamline 6 of The National Synchrotron Research Center (NSRC), Thailand. Synchrotron radiation from BL-6 through various filters is used as x-ray source. An Alternative negative-tone photoresist, SU-8, was used instead of PMMA due to its high sensitivity to x-ray. In addition, its thickness can be controlled either by spin coating or powder casting. Replication of microstructures was done by electrodeposition of nickel through PDMS polymer mold. This method could reduce time and cost of microstructure fabrication. In order to further reduce cost of fabrication, a novel x-ray mask absorber made of silver was used instead of gold since the cost of its electroplating solution is more than 40-times that of gold. In this thesis x-ray lithography process using x-ray masks with silver absorber were successfully performed in fabrication of several microstructures. Moreover, replication of a 500 micron-thick proof mass micro-structure onto a pre-fabricated piezoresistive microaccelerometer chip was demonstrated.

School of Electrical Engineering

Student's Signature_____

Academic Year 2007

Advisor's Signature_____

กิตติกรรมประกาศ

วิทยานิพนธ์นี้ดำเนินการสำเร็จลุล่วงด้วยดี ผู้วิจัยขอกราบขอบพระคุณ บุคคล และกลุ่มบุคคลต่าง ๆ ที่ได้กรุณาให้คำปรึกษา แนะนำ ช่วยเหลือ อย่างดีเยี่ยม ทั้งในด้านวิชาการ และการดำเนินงานวิจัย รวมถึงหน่วยงานต่าง ๆ ที่ช่วยอำนวยความสะดวกในการทำงานวิจัย อาทิ

อาจารย์ ดร.นิมิต ชมนารัง อาจารย์ที่ปรึกษาวิทยานิพนธ์ ที่ให้คำปรึกษา แนะนำ และชี้แนะแนวทางอันเป็นประโยชน์ยิ่งต่องานวิทยานิพนธ์ รวมทั้งเป็นกำลังใจ และเป็นแบบอย่างที่ดีในระหว่างการดำเนินการวิจัยให้กับผู้วิจัยเสมอมา

ศาสตราจารย์ นavaอากาสโห ดร.สราสุติ สุจิต Jur, รองศาสตราจารย์ ดร.กิตติ อัตถกิจมงคล, ผู้ช่วยศาสตราจารย์ ดร.อาทิตย์ ศรีแก้ว, ผู้ช่วยศาสตราจารย์ ดร.ธนัชัย กุลวรรณิชพงษ์, อาจารย์ ดร.บุญเรือง มะรังศรี และอาจารย์ ดร.แพ็จ เพลลา ละอ คณาจารย์ประจำสาขาวิชาศึกษาฯ ไฟฟ้า สำนักวิชาศึกษาฯ ศาสตร์ มหาวิทยาลัยเทคโนโลยีสุรนารี ที่กรุณาให้คำปรึกษาด้านวิชาการอย่างดี ยิ่งมาโดยตลอด

อาจารย์ ดร.อนุรัตน์ วิศิษฐ์สรอรรถ, คุณณอน โลมาส และคุณดอน คล้ายทับทิม นักวิจัย และผู้ช่วยวิจัยประจำห้องปฏิบัติการนาโนอิเล็กทรอนิกส์และเครื่องกลจุลภาค ศูนย์เทคโนโลยีอิเล็กทรอนิกส์และคอมพิวเตอร์แห่งชาติ ที่กรุณาให้คำปรึกษาทางด้านวิชาการและอนุเคราะห์ เครื่องมือระหว่างทำการวิจัย อาจารย์ ดร.ประพงษ์ คล้ายสุบรรณ นักวิจัยประจำศูนย์ปฏิบัติการวิจัย เครื่องกำเนิดแสงซินโครตรอนแห่งชาติ ที่กรุณาให้คำปรึกษาทางด้านวิชาการ

ศูนย์วิจัยอิเล็กทรอนิกส์ คณะศึกษาศาสตร์ สถาบันเทคโนโลยีพระจอมเกล้าเจ้าคุณทหารลาดกระบัง สำหรับห้องปฏิบัติการในการทำวิจัย และศูนย์ปฏิบัติการวิจัยเครื่องกำเนิดแสงซินโครตรอนแห่งชาติ (ศช.) กระทรวงวิทยาศาสตร์และเทคโนโลยี สำหรับการสนับสนุน เครื่องมือวิจัย สถานที่ทำการวิจัยและให้ทุนสนับสนุนในการทำการวิจัย

ท้ายนี้ผู้วิจัยขอกราบขอบพระคุณอาจารย์ผู้สอนทุกท่าน ที่ประसิทชี้ประสาทความรู้ทางด้านต่าง ๆ ทั้งในอดีตและปัจจุบัน ขอกราบขอบพระคุณ คุณพ่ออุทัย คุณแม่นมลูนีน รวมถึงญาติพี่น้อง ของผู้วิจัยทุกท่านที่ได้ให้ความรัก ความอบอุ่น ความห่วงใย การอบรมเลี้ยงดู และให้การสนับสนุน ทางด้านการศึกษาอย่างดีเยี่ยมมาโดยตลอด รวมทั้งเป็นกำลังใจผู้วิจัยให้สามารถเพชรบุรีกับปัญหาและอุปสรรคต่าง ๆ จนทำให้ผู้วิจัยประสบความสำเร็จในเชิงทดลองมา และตลอดไป

สารบัญ

หน้า

บทคัดย่อ(ภาษาไทย)	๑
บทคัดย่อ(ภาษาอังกฤษ)	๒
กิตติกรรมประกาศ	๓
สารบัญ	๔
สารบัญตาราง	๘
สารบัญรูป	๙
คำอธิบายสัญลักษณ์และคำย่อ	๑๒
บทที่	
1 บทนำ	
1.1 ความเป็นมาและความสำคัญของปัญหา	1
1.2 วัตถุประสงค์การวิจัย	8
1.3 ข้อตกลงเบื้องต้น	9
1.4 ขอบเขตของการวิจัย	9
1.5 ประโยชน์ที่คาดว่าจะได้รับ	9
1.6 การจัดรูปเล่มวิทยานิพนธ์	10
2 ปริทัศน์วรรณกรรมและงานวิจัยที่เกี่ยวข้อง	11
2.1 กระบวนการลิโตรграфฟิ	11
2.2 กระบวนการลิโตรграфฟิด้วยรังสีเอ็กซ์	13
2.3 การสร้างหน้ากากรักษาความปลอดภัยเพื่อใช้ในกระบวนการลิโตรграфฟิ ด้วยรังสีเอ็กซ์	15
3 ระบบลำเลียงแสง	19
4 การลิโตรграфฟิด้วยรังสีเอ็กซ์	25
4.1 กระบวนการลิโตรграфฟิ	25
4.2 การออกแบบลวดลาย	28
4.3 การสร้างหน้ากากรักษาความปลอดภัย ด้วยรังสีเอ็กซ์	30

สารบัญ(ต่อ)

	หน้า
4.3.1 การเตรียมชิ้นงานสร้างหน้ากากกันรังสีเอกซ์	31
4.3.2 การเคลือบสารไวแสงลงบนหน้ากากกันรังสีเอกซ์	33
4.3.3 การถ่ายทอดความถี่ต้นแบบโดยกระบวนการลิโซกราฟีด้วยรังสีอัตราไวโอดेट	35
4.3.4 การถ่ายฟิล์มไวแสงบาง	36
4.3.5 การเติมวัสดุดูดกลืนรังสีเอกซ์ลงบนหน้ากากกันรังสีเอกซ์	38
4.4 การเตรียมชิ้นงานและเคลือบสารไวแสง	43
4.5 การฉายรังสีเอกซ์ลงบนชิ้นงาน	45
4.6 การถ่ายสารไวแสง (Developing)	51
5 การสร้างชิ้นงานด้วยโลหะและการผลิตชำ	54
5.1 หลักการสร้างชิ้นงานด้วยโลหะ	54
5.2 การชุบโลหะด้วยไฟฟ้า	56
5.3 การสร้างแม่พิมพ์ในการผลิตชำ	67
6 การนำกระบวนการไปประยุกต์ใช้งาน	72
6.1 ตัวตรวจรู้ความเร่ง	72
6.2 กระบวนการสร้างตัวตรวจรู้ความเร่ง	74
6.3 การสร้างก้อนมวล (proof mass) ลงบนตัวชิพ	80
7 สรุปงานวิจัยและข้อเสนอแนะ	89
7.1 สรุปงานวิจัย	89
7.2 ข้อเสนอแนะ	90
รายงานอ้างอิง	91
ภาคผนวก	
ภาคผนวก ก. บทความวิชาการที่ได้รับการตีพิมพ์เผยแพร่	97
ประวัติผู้เขียน	98

สารบัญตาราง

ตารางที่	หน้า
2.1 เปรียบเทียบเวลาในการฉายรังสีอิเล็กซ์บันชินงานระหว่างสารไวแสง PMMA และ SU-8 ที่ความหนาของฟิล์มไวแสงต่าง ๆ	15
4.1 ค่า Contrast เปรียบเทียบระหว่างการใช้เงินและทองคำความหนาต่าง ๆ เมื่อฉายลงบนสารไวแสงความหนา 500 ไมโครเมตร ที่กระแสในวงกัดเก็บอิเล็กตรอนเท่ากับ 40 mA	48

สารบัญรูป

รูปที่

หน้า

1.1 หลักการในการเกิดงานชิ้นงานของกระบวนการผลิตโอลิโธกราฟี ด้วยแสงอัลตราไวโอลেต	3
1.2 หลักการในการเกิดงานชิ้นงานของกระบวนการผลิตโอลิโธกราฟี ด้วยรังสีเอ็กซ์	4
1.3 ลำดับขั้นตอนกระบวนการ LIGA โดยทั่วไป	6
1.4 หน้ากากกันรังสีเอ็กซ์ที่สร้างเป็นวดลาย SUT	7
2.1 การติดตั้งชิ้นงานสำหรับการฉายแสง	12
2.2 ลักษณะและส่วนประกอบของหน้ากากกันแสง	13
2.3 ลำดับอุปกรณ์ที่ติดตั้งสำหรับการรังสีเอ็กซ์ในกระบวนการผลิตโอลิโธกราฟี ด้วยรังสีเอ็กซ์	14
2.4 ส่วนประกอบพื้นฐานของหน้ากากกันรังสีเอ็กซ์	16
3.1 การดำเนินการแสดงจากกระบวนการลำดับแสงส่วนหน้ามายังสถานีทดลอง เอ็กซ์เรย์ลิโธกราฟี	20
3.2 ลักษณะและขนาดของคำรังสีเอ็กซ์จาก BL6	21
3.3 การตอกกระดาษของรังสีเอ็กซ์ลงบนชิ้นงาน	21
3.4 การติดตั้งชิ้นงานลงบนเครื่องสแกนเนอร์เพื่ออบรังสีเอ็กซ์	22
3.5 ห้องสูญญากาศ ที่มีระบบขับเคลื่อนชิ้นงานอยู่ภายใน	23
3.6 ระบบขับเคลื่อนชิ้นงานภายในห้องสูญญากาศ	23
4.1 การถอดแบบ漉漉ลายด้วยกระบวนการผลิตโอลิโธกราฟี	26
4.2 ภาพตัดขวางการถอดแบบ漉漉ลายด้วยกระบวนการผลิตโอลิโธกราฟี	26
4.3 ภาพตัดขวางการถอดแบบ漉漉ลายด้วยกระบวนการผลิตโอลิโธกราฟีด้วยรังสีเอ็กซ์	27
4.4 漉漉ลายเพื่องที่ออกแบบบนโปรแกรม LASI โดยขนาดเส้นผ่านศูนย์กลาง ของเพื่องทวนนสุด มีขนาด 370 ไมโครเมตร	28
4.5 漉漉ลายเท่งทดสอบที่ออกแบบบนโปรแกรม LASI โดยขนาดของ แท่งแต่ละอันกว้างเท่าๆ กัน แท่งละ 60 ไมโครเมตร	29

สารบัญรูป(ต่อ)

รูปที่	หน้า
4.6 ลวดลายแท่งทดสอบที่สร้างจากหมึกดำทึบแสงบนแผ่นใส	30
4.7 ลวดลายฟองที่สร้างจากหมึกดำทึบแสงบนกระจกใส	30
4.8 การติดแผ่นกราไฟต์บางลงบนแผ่นวงจรพิมพ์	32
4.9 กราฟคุณสมบัติของสาร ไวนีส SU-8 สำหรับเบอร์ที่ให้ความหนาไม่เกิน 50 ไมโครเมตรโดยเปรียบเทียบระหว่างความเร็วในการหมุนเคลื่อน กับความหนาของฟิล์มที่ได้	33
4.10 การทำงานของเครื่องหมุนเคลื่อนสาร (Spinner)	34
4.11 แผ่นกราไฟต์บางเปรียบเทียบบริเวณที่ทำความสะอาดเรียบร้อยแล้วกับส่วนที่เคลื่อนสาร ไวนีส SU-8 ความหนาประมาณ 25 ไมโครเมตรเรียบร้อยแล้ว	35
4.12 การเปลี่ยนคุณสมบัติของสาร ไวนีสลงหลังการฉายแสง	36
4.13 ลวดลายทดสอบที่ถ่ายทอดจากหน้ากากกันแสงอัลตราไวโอเลตมาข้าง แผ่นกราไฟต์ โดยกระบวนการการลิโซกราฟด้วยรังสีอัลตราไวโอเลต	37
4.14 ลวดลายฟองที่ถ่ายทอดจากหน้ากากกันแสงอัลตราไวโอเลตมาข้างแผ่นกราไฟต์ โดยกระบวนการการลิโซกราฟด้วยรังสีอัลตราไวโอเลต	38
4.15 กราฟการคุณลักษณะเอ็กซ์ (ก.) กราฟการคุณลักษณะเอ็กซ์หลังผ่านชั้นกรองต่าง ๆ (ข.) กราฟการคุณลักษณะเอ็กซ์บริเวณเทียบระหว่างทองคำ, ทองแดง, นิกเกิลและเงิน	39
4.16 การต่อวงจรไฟฟ้าสำหรับการซูบเงินด้วยไฟฟ้าลงบนแผ่นกราไฟต์	41
4.17 หน้ากากกันรังสีเอ็กซ์ลวดลายแท่งทดสอบ	42
4.18 หน้ากากกันรังสีเอ็กซ์ลวดลายฟองขนาดต่าง ๆ	42
4.19 กราฟคุณสมบัติของสาร ไวนีส SU-8 สำหรับเบอร์ที่ให้ความหนาไม่เกิน 50 ไมโครเมตร โดยเปรียบเทียบระหว่างความเร็วในการหมุนเคลื่อนกับความหนาของฟิล์มที่ได้	43
4.20 แบบจำลองชิ้นงานที่เคลื่อนสาร ไวนีสลงบนฐานเรียบร้อยแล้ว	45
4.21 ลำดับชั้นในการติดตั้งชิ้นงานลงบนเครื่องแสกนชิ้นงาน	45
4.22 ลำดับของตัวกรองรังสีเอ็กซ์จากวงกัดเก็บอิเลคตรอนก่อนจะมาตกลงบนชิ้นงาน	46
4.23 จุดสำคัญในการวัดค่าพลังงานรวมในการฉายรังสีเอ็กซ์ลงบนสาร ไวนีส	47
4.24 ผลการวัดความหนาของโลหะเงินบนหน้ากากกันรังสีเอ็กซ์	50

สารบัญรูป(ต่อ)

หน้า

รูปที่

4.25	ค่าพลังงานสะสมบนชิ้นงาน (mA.min/cm) ที่เคลือบด้วยสาร ไวแสง SU-8 ความหนาค่าต่าง ๆ ที่สามารถถ่ายฟิล์มแล้วได้โครงสร้างที่ดี	51
4.26	ภาพถ่ายจากกล้องจุลทรรศน์อิเล็กตรอนแบบส่องกราด (SEM) โครงสร้างทดสอบ ที่สร้างจากการวนการลิโซกราฟีด้วยรังสีเอ็กซ์	52
4.27	โครงสร้างเพื่องที่สร้างจากการวนการลิโซกราฟีด้วยรังสีเอ็กซ์	52
5.1	漉ดลายโครงสร้างในลำดับขั้นการขึ้นรูปด้วยสาร ไวแสง SU-8	55
5.2	ชิ้นงานที่สร้างจากการวนการลิโซกราฟีด้วยรังสีเอ็กซ์ (ก.) ชิ้นงานในลักษณะหลุมของสาร ไวแสง	56
	(ข.) ชิ้นงานในลักษณะแท่งของสาร ไวแสง	57
5.3	ขาวคือพื้นผิวของแผ่นสแตนเลส ขาวคือพื้นผิวของแผ่นสแตนเลสหลังทำการพ่นทราย	58
5.4	แผนภาพแสดงการติดชิ้นงานและการต่อวงจรสำหรับการชุบโลหะด้วยไฟฟ้า	59
5.5	การเกิดของโลหะแบบไม่สม่ำเสมอบนชิ้นงานที่มีขนาดช่องต่างกัน	62
5.6	การต่อวงจรชุบนิกเกิลด้วยไฟฟ้า	63
5.7	การดูดฟองอากาศออกจากชิ้นงานด้วยเครื่องดูดอากาศ	64
5.8	ภาพชิ้นงานที่เป็นโครงสร้างของโลหะนิกเกิล	66
5.9	เศษสาร ไวแสงที่อยู่บริเวณขอบของโครงสร้าง	67
5.10	แนวคิดการผลิตชิ้นงาน	68
5.11	กระบวนการผลิตชิ้นงานโดยการลดแบบด้วยพอลิเมอร์ PDMS	69
5.12	โครงสร้างที่จะทำการทดสอบการลดแบบด้วย PDMS	70
5.13	แม่พิมพ์ที่สร้างจากพอลิเมอร์ PDMS	71
6.1	ลักษณะโครงสร้างของตัวตรวจรู้ความเร่ง (ก.) ตัวตรวจรู้ความเร่งแบบเพียวเซอร์ชิสทีฟ	73
	(ข.) ตัวตรวจรู้ความเร่งแบบปาชาทีฟ	73
6.2	โครงสร้างตัวตรวจรู้ความเร่ง (ก.) แบบวัดความเร่งในแนวตั้งจากกับฐานรอง	75
	(ข.) แบบวัดความเร่งในแนวราบกับฐานรอง	75

สารบัญชื่อ(ต่อ)

รูปที่	หน้า
6.3 โครงสร้างตัวตรวจรู้ความเร่งแบบวัดความเร่งในแนวตั้งจากกับฐานรอง.....	78
6.4 ภาคตัดขวางของลำดับขั้นกระบวนการสร้างตัวตรวจรู้ความเร่งด้วยกระบวนการ PolyMUMPs โดยใช้โปรแกรม L-edit ในการออกแบบ.....	79
6.5 ตัวตรวจรู้ความเร่งหลังจากส่งสร้างด้วยกระบวนการ PolyMUMPs.....	80
6.6 ขั้นตอนการสร้างก้อนมวลรับความเร่งลงบนชิพด้วยกระบวนการผลิตอิเล็กทรอนิกส์ด้วยแสงอัลตราไวโอเลตคู่กับสารไวแสงชนิดบวก AZP4620.....	81
6.7 ลักษณะของหน้ากากเมื่อทับบนชิ้นงาน.....	82
6.8 กระบวนการสร้างก้อนมวลรับความเร่ง ด้วยกระบวนการผลิตอิเล็กทรอนิกส์.....	83
6.9 ภาพถ่ายจากกล้องจุลทรรศน์อิเล็กตรอนแบบส่อง粒光 ของก้อนมวล SU-8 ต้นแบบ.....	84
6.10 กระบวนการสร้างแม่พิมพ์โดยการถอดแบบชิ้นงานด้วยพอลิเมอร์ PDMS.....	85
6.11 แม่พิมพ์ของก้อนมวลที่สร้างจากพอลิเมอร์ PDMS.....	86
6.12 ขั้นตอนการสร้างก้อนมวลลงบนชิพด้วยแม่พิมพ์ PDMS.....	87
6.13 ตัวตรวจรู้ความเร่งที่มีก้อนมวลรับความเร่ง ที่สร้างจากการถอดแบบ ด้วยแม่พิมพ์ PDMS สูงประมาณ 500 ไมโครเมตร.....	88

คำอธิบายสัญลักษณ์และคำย่อ

k	คือ ค่าคงที่ของเครื่องเคลื่อนหมุน (ปกติมีค่า 80 – 100)
p	คือ อัตราส่วนของสาร ไวแสงที่ผสมกับสารประกอบ (%)
w	คือ ความเร็วในการหมุนเคลื่อน (rpm/1000)
$C(d)$	คือ ค่า Contrast สำหรับสาร ไวแสงหนาเท่ากับ d
$E_1(d)$	คือ ค่าพลังงาน Top dose สำหรับสาร ไวแสงหนาเท่ากับ d
$E_0(d)$	คือ ค่าพลังงาน Bottom dose สำหรับสาร ไวแสงหนาเท่ากับ d
M	คือ วัสดุที่เกิดปฏิกิริยา
M^{n+}	คือ จำนวนไอออนของวัสดุที่เกิดปฏิกิริยา
ne^-	คือ จำนวนอิเล็กตรอนในการเกิดปฏิกิริยา
ω	คือ มวลของโลหะที่เกิดขึ้นที่ขั้นตอนหรือที่หลุดออกจากการขึ้นบวกในหน่วยกรัม (g)
A_ω	คือ มวลอะตอม (atomic weight) ของโลหะที่ชูน
n_{el}	คือ จำนวนอิเล็กตรอนในการเกิดปฏิกิริยา
F	คือ ค่าคงที่ฟาราเดย์ (Faraday's constant) มีค่าเท่ากับ 96,487 (คูลومบ์ต่อโมล)
I	คือ กระแสที่ไหลผ่านสารละลายในภาชนะ (mA)
t	คือ เวลาในการชุบโลหะ (วินาที)
η	คือ ประสิทธิภาพในการชุบโลหะ (Plating efficiency)
ρ	คือ ความหนาแน่นของโลหะ
A	คือ พื้นที่การชุบโลหะ
h	คือ ความสูงของโลหะก่อตัวขึ้น
J	คือ ความหนาแน่นกระแส (A/cm^2)

บทที่ 1

บทนำ

1.1 ความเป็นมาและความสำคัญของปัญหา

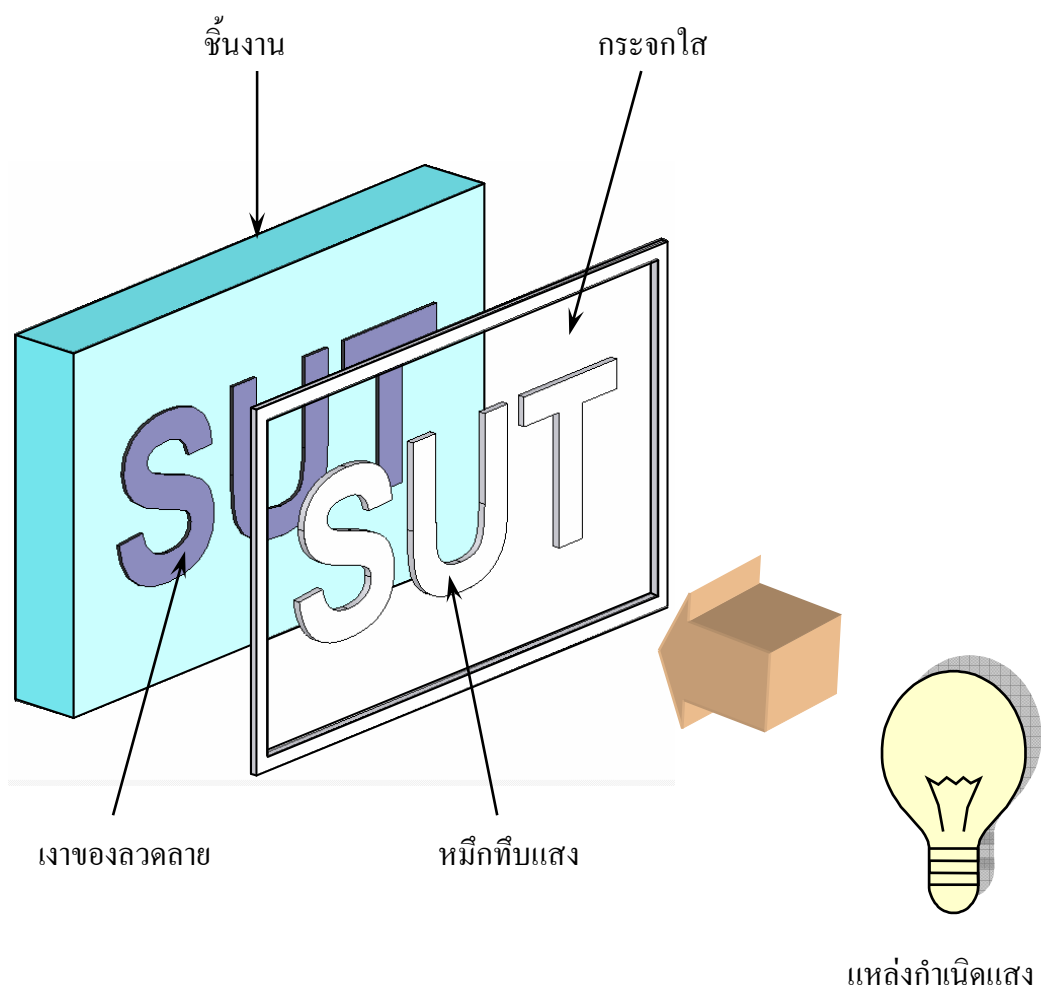
ในปัจจุบันเทคโนโลยีด้านต่าง ๆ ได้มีการพัฒนาให้ก้าวหน้าไปอย่างรวดเร็วในทุก ๆ ด้าน สิ่งประดิษฐ์หรืออุปกรณ์ต่าง ๆ ที่ใช้งานในปัจจุบันนี้ ได้มีการย่อขนาดให้เล็กลงไปอย่างมากในขณะที่ประสิทธิภาพในการทำงานยังคงอยู่เหมือนเดิม หรืออาจมีประสิทธิภาพมากขึ้นอีกด้วย ซึ่งเป็นปัจจัยสำคัญที่ทำให้เทคโนโลยีในโลกปัจจุบันพัฒนาไปข้างหน้าอย่างไม่หยุดยั้ง เหตุเพราะเราสามารถเพิ่มประสิทธิภาพให้สิ่งประดิษฐ์ โดยที่ไม่เพิ่มน้ำหนักของสิ่งประดิษฐ์นั้น ๆ ยกตัวอย่างเช่น ไมโครโปรเซสเซอร์ ปัจจุบันนี้ได้มีการพัฒนาเทคโนโลยีให้สามารถที่จะบรรจุทรานซิสเตอร์จำนวนหลายล้านตัวลงบนไมโครชิพที่มีขนาดเพียงแค่เกือบเท่าเหรียญบาทเท่านั้น ส่วนใหญ่ให้เครื่องคอมพิวเตอร์ในปัจจุบันนี้มีประสิทธิภาพในการประมวลผลอย่างมหาศาล บนตัวเครื่องที่มีขนาดเพียงแค่กล่องเดียว ซึ่งเมื่อเทียบกับคอมพิวเตอร์รุ่นแรกแล้ว จะเห็นว่าคอมพิวเตอร์รุ่นแรกนั้นมีขนาดเท่ากับห้องหนึ่งห้องเลยทีเดียว หรือจะเป็นหน่วยความจำที่ปัจจุบันมีขนาดเล็กลงอย่างมาก ในขณะที่หน่วยความจำมากขึ้นอย่างมาก ดังนั้นจึงได้มีนักวิจัยที่เลือกหันถึงประโภชน์ของการพัฒนาเทคโนโลยีให้มีขนาดเล็ก และได้มีการคิดค้นกระบวนการสร้างสิ่งประดิษฐ์ระดับจุลภาคขึ้น ซึ่งเรียกว่าระบบกลไฟฟ้าจุลภาค (Micro-Electro-Mechanical Systems) หรือ MEMS ซึ่งเป็นการสร้างเครื่องจักรกลหรืออุปกรณ์ที่มีขนาดเล็กถึงระดับไมโครเมตร โดยที่ยังสามารถคงลักษณะในการทำงานได้เทียบเท่ากับเครื่องจักรกลหรืออุปกรณ์ในลักษณะเดียวกันที่มีขนาดใหญ่กว่า และในกระบวนการสร้างนี้ ใช้เทคโนโลยีที่พัฒนามาจาก เทคโนโลยีการผลิตวงจรรวม (Integrated Circuits: IC) โดยระบบจะประกอบไปด้วยระบบจักรกลในการขับเคลื่อนการทำงาน และส่วนของระบบไฟฟ้าต้านกำลังในกรณีที่เป็นระบบขับเคลื่อนจุลภาค (Microactuator) หรือส่วนของไฟฟ้าสำหรับตรวจวัดการเปลี่ยนแปลงในกรณีที่เป็นระบบตรวจวัดจุลภาค (Microsensor) ซึ่งทั้งส่วนจักรกล และส่วนของไฟฟ้าจะทำงานร่วมกัน ในการสร้างระบบดังกล่าวเรียกว่าเป็นกระบวนการผลิต โศร์ฟาร์จุลภาค (Microfabrication) และในปัจจุบัน ความต้องการในการผลิตอุปกรณ์ขนาดเล็กได้เพิ่มมากขึ้น และมีผู้คิดค้นกระบวนการสร้าง เพื่อให้ได้อุปกรณ์ที่มีคุณภาพ ประสิทธิภาพสูงและต้นทุนการผลิตที่ลดลง ดังนั้นกระบวนการสร้างชิ้นงานแบบใหม่จึงได้รับการพัฒนาขึ้นอย่างต่อเนื่อง

กระบวนการในการผลิตโครงสร้างจุลภาคนั้น วิธีที่ใช้อย่างแพร่หลายคือวิธีการสร้างโครงสร้างด้วยการฉายแสงลงบนสาร ไวแสงเพื่อทำเป็นแม่พิมพ์ต้นแบบในการผลิต โดยแสงในย่านอัลตราไวโอเลตถูกนำมาใช้อย่างแพร่หลาย และมีประโยชน์อย่างมากในการกระบวนการสร้างวงจรรวมแต่กระบวนการที่สร้างด้วยแสงอัลตราไวโอเลตนั้นอุปกรณ์หรือชิ้นงานที่สร้างขึ้นนั้น จะเป็นชิ้นงานในลักษณะสองมิตินั่นคือความสูงของชิ้นงานนั้นถูกจำกัดอยู่ที่ความสูงไม่มากนัก แต่ในการสร้างโครงสร้างนั้น มีโครงสร้างหลายชนิดที่ต้องการสร้างให้ได้ความสูงมาก ๆ เพื่อให้อุปกรณ์ทำงานได้ดียิ่งขึ้น ด้วยเหตุผลดังที่ได้กล่าวมา前面 จึงได้มีการพัฒนากระบวนการสร้างโครงสร้างจุลภาคโดยการฉายด้วยรังสีเอ็กซ์ (X-ray exposure) ขึ้น โดยได้มีการนำรังสีเอ็กซ์มาใช้ในกระบวนการลิโซกราฟี แทนที่กระบวนการเดิมที่ใช้แสงอัลตราไวโอเลต ซึ่งนำมาใช้ร่วมกับกับสาร ไวแสงซึ่งอ่อนโยนกว่าโพลีเมธิลมีตัลิกไรต์ (Polymethylmethacrylate : PMMA) ซึ่งสามารถพัฒนาให้การสร้างโครงสร้างจุลภาคเริ่มเป็นลักษณะสามมิติ และความสูงของชิ้นงานก็สามารถสร้างได้มากกว่า 1 มิลลิเมตร และเมื่อนำรังสีเอ็กซ์ ซึ่งมีอำนาจทะลุทะลวงสูงมาใช้ในนั้น หน้ากากกันแสงที่เคยใช้ในกระบวนการที่ใช้แสงอัลตราไวโอเลตนั้นจะไม่สามารถใช้ร่วมกับรังสีเอ็กซ์ได้ เนื่องจากหน้ากากกันรังสีเอ็กซ์ ต้องมีความสามารถในดูดกลืนพลังงานจากรังสีเอ็กซ์ ได้สูง เช่นเดียวกัน หน้ากากกันรังสีเอ็กซ์จึงได้รับการพัฒนาขึ้น โดยส่วนฐานของหน้ากากจะเป็นวัสดุที่มีความโปร่งแสงต่อรังสีเอ็กซ์สูงหรือยอมให้รังสีเอ็กซ์ทะลุผ่านได้ดีนั่นเอง และส่วนของ漉ดลายโครงสร้างจะใช้วัสดุที่ดูดกลืนรังสีเอ็กซ์ ได้ดีนั่นคือทองคำ การศึกษาเกี่ยวกับหน้ากากกันรังสีเอ็กซ์ ก็ได้มีการพัฒนาอย่างต่อเนื่องเพื่อให้มีประสิทธิภาพที่ดีขึ้นมาโดยตลอด แผ่นฐานของหน้ากากได้มีการใช้วัสดุโปร่งรังสีเอ็กซ์หลายชนิด เช่น วัสดุผสมระหว่างไทเทเนียมกับซิลิโคนซึ่งวัสดุดังกล่าวจะบางมาก มีความโปร่งแสงต่อรังสีเอ็กซ์สูงแต่มีข้อเสียคือมีราคาแพงและยากต่อการหยับจับใช้งาน หรือเบอร์ลีียม (Beryllium) ซึ่งมีความโปร่งรังสีเอ็กซ์สูงเช่นเดียวกัน แต่มีข้อจำกัดที่มีความเป็นพิษ (Linke, et al.) ในส่วนของวัสดุดูดกลืนรังสีเอ็กซ์ นั้นในกระบวนการมาตรฐานทั่วไปจะใช้ทองคำที่ความหนา 3-15 ไมโครเมตร (Ferreira, 2004) และได้มีการพัฒนาเพื่อลดต้นทุนของหน้ากากกันรังสีเอ็กซ์ โดยใช้แผ่นฐานรองเป็น flat silicon wafer ซึ่งมีความหนา 15 ไมโครเมตร ร่วมกับวัสดุดูดกลืนแสงคือทองคำ (S. Cabrini et al., 2005) ซึ่งด้วยกระบวนการที่ใช้รังสีเอ็กซ์ร่วมกับ PMMA นี้ ทำให้โครงสร้างจุลภาคสามารถสร้างในรูปแบบที่เป็นสามมิติมากยิ่งขึ้น

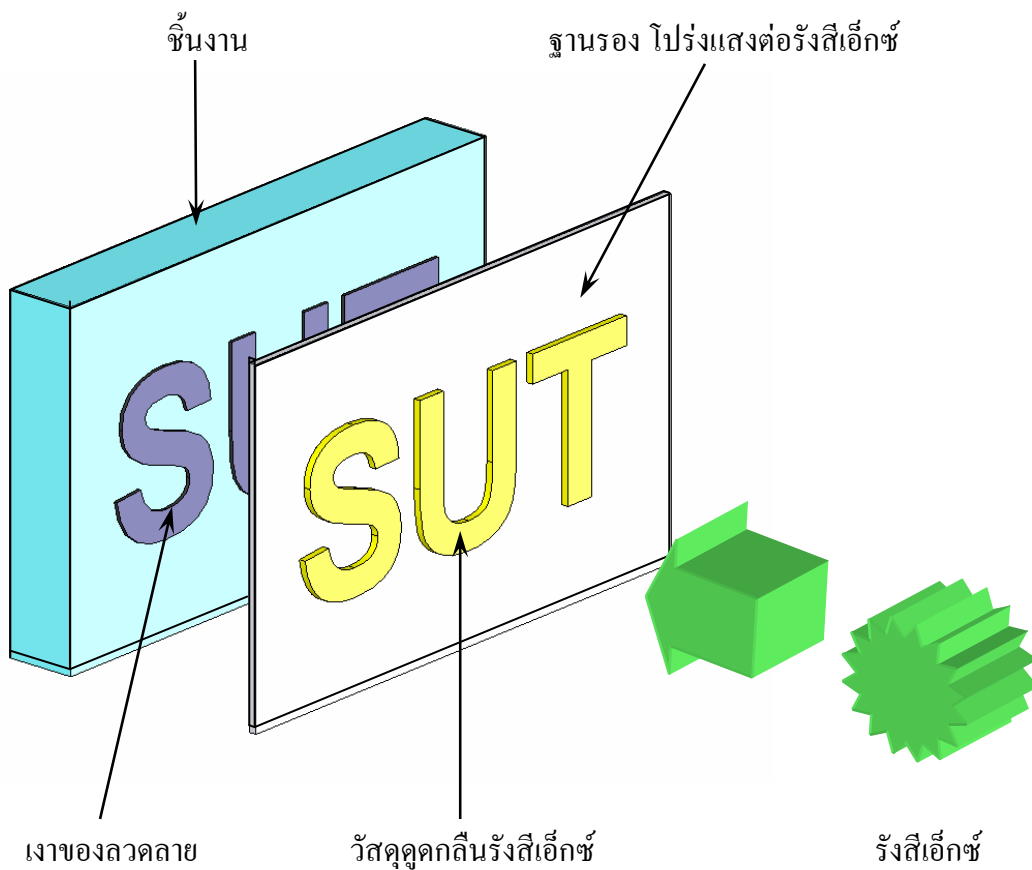
กระบวนการ LIGA (LIGA Process) เป็นกระบวนการสำหรับสร้างจุลภาค ซึ่งเริ่มพัฒนาขึ้น เมื่อปี ค.ศ. 1970 ณ Forschungszentrum Karlsruhe (FZK) เมือง Karlsruhe ประเทศเยอรมันนี โดยที่ในขณะนั้นได้ทำการพัฒนาขึ้นสำหรับสร้าง Slotted nozzles ขนาดจุลภาคสำหรับใช้กับ Uranium isotope separation (Becker, et al., 1986) โดยคำว่า LIGA เป็นกระบวนการ 3 กระบวนการหลักซึ่งมาจากภาษาเยอรมันนี คือ กระบวนการลิโซกราฟีด้วยรังสีเอ็กซ์ LI = Lithographie (X-ray

lithography) กระบวนการ การชุบโลหะด้วยไฟฟ้า G = Galvanoformung (Electroforming) และกระบวนการสร้างชิ้นงานด้วยแม่พิมพ์ A = Abformung (Molding)

โดยการสร้างโครงสร้างชิ้นงานจากกระบวนการ LIGA จำเป็นต้องใช้กระบวนการทั้ง 3 กระบวนการประกอบกัน ซึ่งขั้นตอนแรกจะเป็นการนำสำรังสีเอ็กซ์จากแหล่งกำเนิดแสงคือวงกัดเก็บอิเล็กตรอนของเครื่องกำเนิดแสงชนิดไซเรนทรอนแห่งชาตินามาใช้ เพื่อฉายลงบนชิ้นงานในการสร้างงานของโครงสร้างลงบนวัสดุไว้แสง โดยการนำหน้ากากรั้งสีเอ็กซ์ (X-ray mask) ที่มีลวดลายของโครงสร้างตามต้องการมาบังรังสีเอ็กซ์ก่อนที่รังสีเอ็กซ์จะไปตกกระทบยังสารไว้แสง เพื่อให้เกิดเจบันสารไว้แสง ซึ่งจะมีลักษณะใกล้เคียงกับกระบวนการผลิตภาพฟิล์มด้วยแสงอัลตราไวโอเลต (UV-lithography) หากแต่เปลี่ยนแหล่งกำเนิดแสง และวัสดุสำหรับสร้างหน้ากากรั้งแสง โดยหลักการในการเกิดเจบันกระบวนการผลิตภาพฟิล์มด้วยแสงอัลตราไวโอเลต แสดงได้ดังรูปที่ 1.1 เปรียบเทียบกับหลักการในการของกระบวนการผลิตภาพฟิล์มด้วยรังสีเอ็กซ์ซึ่งแสดงในรูปที่ 1.2



รูปที่ 1.1 หลักการในการเกิดเจบันชิ้นงานของกระบวนการผลิตภาพฟิล์มด้วยแสงอัลตราไวโอเลต

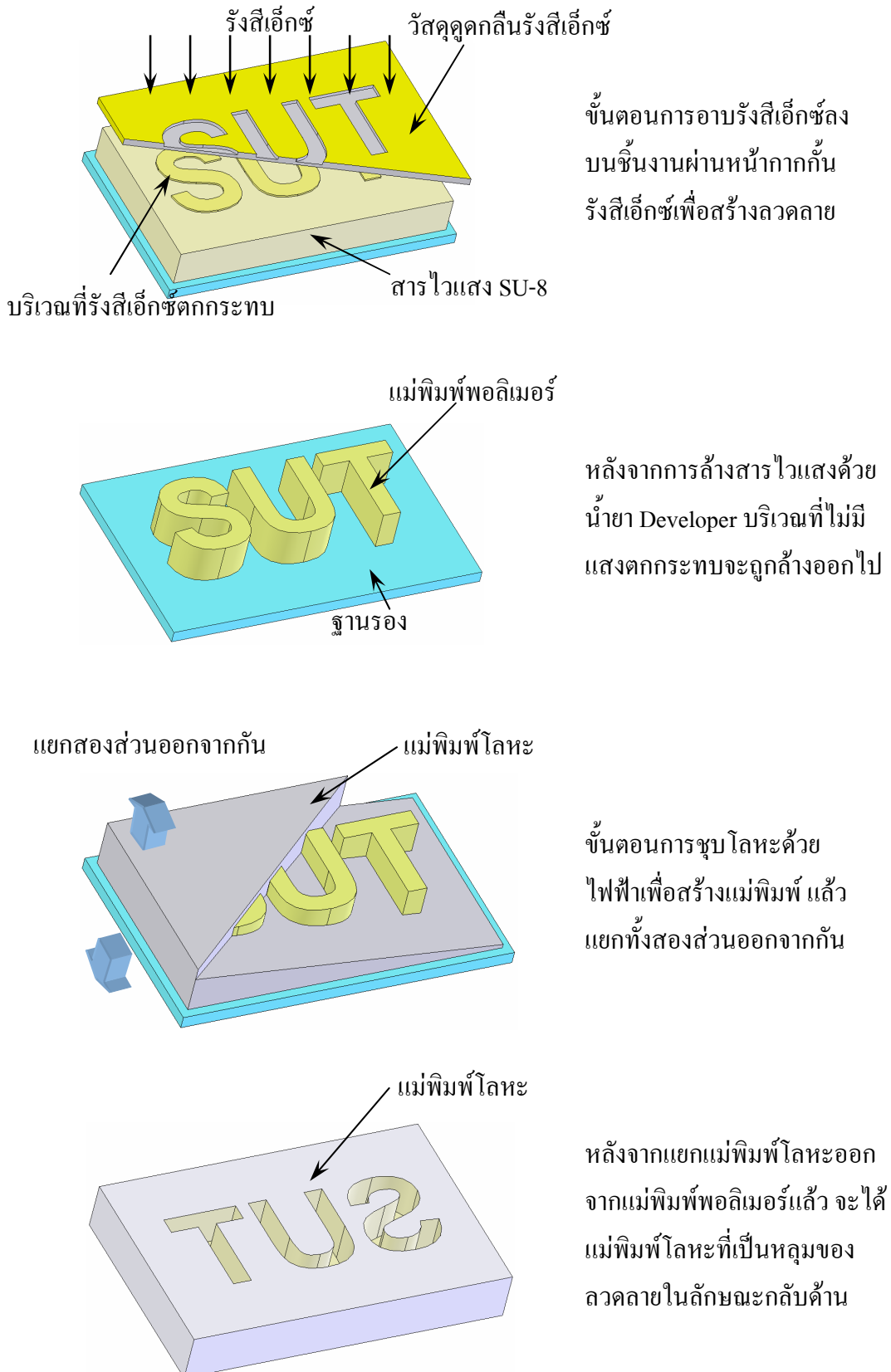


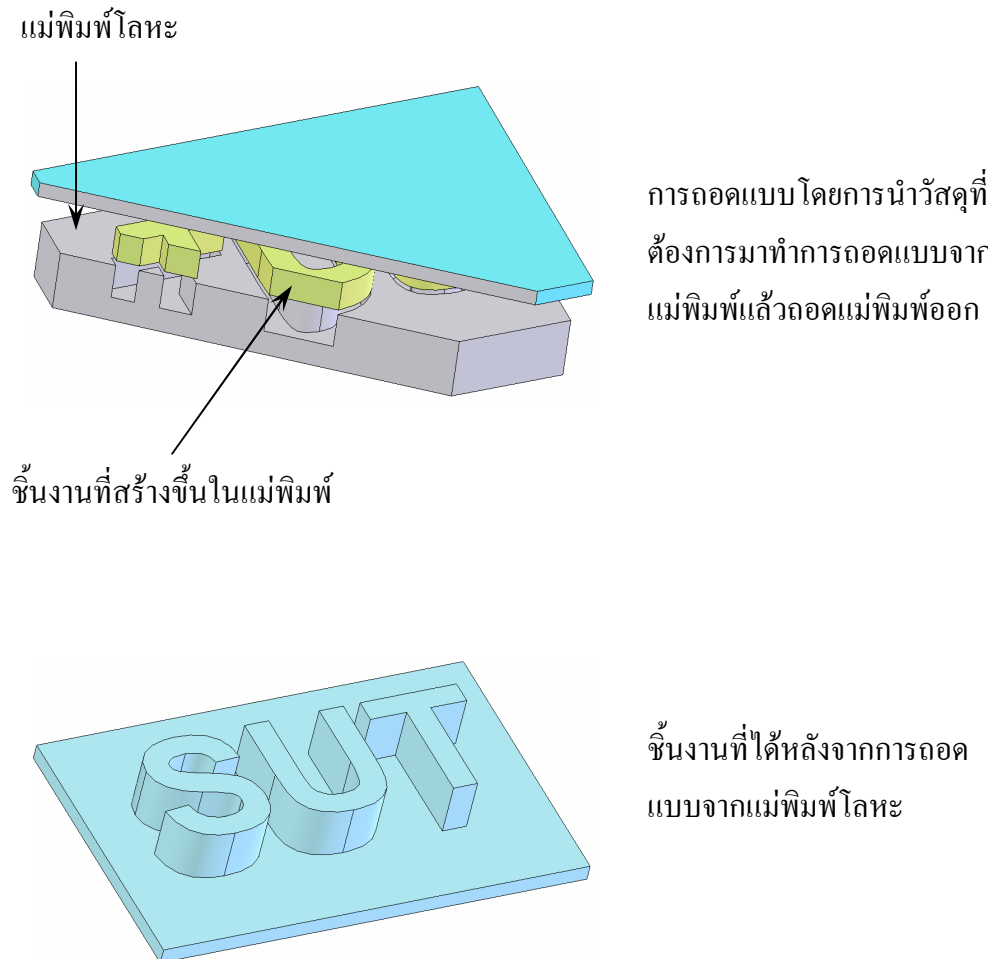
รูปที่ 1.2 หลักการในการเกิดงานชิ้นงานของกระบวนการผลิตภาพด้วยรังสีเอ็กซ์

จากรูปที่ 1.1 และรูปที่ 1.2 จะเห็นว่าลักษณะการสร้างงานชิ้นงานนั้นจะใช้หลักการเดียวกัน ซึ่งในกระบวนการผลิตภาพด้วยแสงอัลตราไวโอเลต้นนี้ ลักษณะการเกิดงานจะเห็นได้ทั่วไปเมื่อเกิดการบังแสงตามธรรมชาติ แต่ในกระบวนการผลิตภาพด้วยรังสีเอ็กซ์นั้น บริเวณที่เป็นบริเวณโปร่งแสงต่อรังสีเอ็กซ์นั้นจะเป็นวัสดุที่โปร่งแสงต่อรังสีเอ็กซ์เท่านั้น ไม่จำเป็นต้องโปร่งแสงทั่วไปหรือไม่จำเป็นเป็นต้องมองทะลุผ่านได้ ส่วนบริเวณที่บังแสงนั้นกรณีของรังสีเอ็กซ์จะเป็นทองคำ ซึ่งมีคุณสมบัติในการดูดกลืนรังสีเอ็กซ์ และเมื่อสร้างลวดลายโดยกรงสร้างให้วัสดุไวแสงแล้ว จากนั้นก็นำสารไวแสงไปล้างด้วยน้ำยาดีเวลลอปเปอร์ (Developer) เพื่อสร้างโครงสร้างใช้ชิ้นงาน

กระบวนการต่อมาคือกระบวนการครุบโลหะด้วยไฟฟ้า ซึ่งกระบวนการนี้จะเป็นขั้นตอนสำหรับการสร้างให้โครงสร้างของชิ้นงานเป็นโลหะ หรือสร้างเป็นแม่พิมพ์ของชิ้นงาน จากนั้นกระบวนการสุดท้ายคือกระบวนการสร้างชิ้นงานด้วยแม่พิมพ์ ซึ่งได้จากการครุบโลหะด้วยไฟฟ้า ซึ่งกระบวนการนี้สามารถทำได้หลายวิธี เช่น การพิมพ์ด้วยแม่พิมพ์ร้อน (Hot embossing) หรือ หล่อแบบจากแม่พิมพ์ เป็นต้น เมื่อเสร็จสิ้นก็จะได้ชิ้นงานตามต้องการ ขั้นตอน

ของกระบวนการ LIGA โดยทั่วไปสามารถแสดงได้ดังรูปที่ 1.3

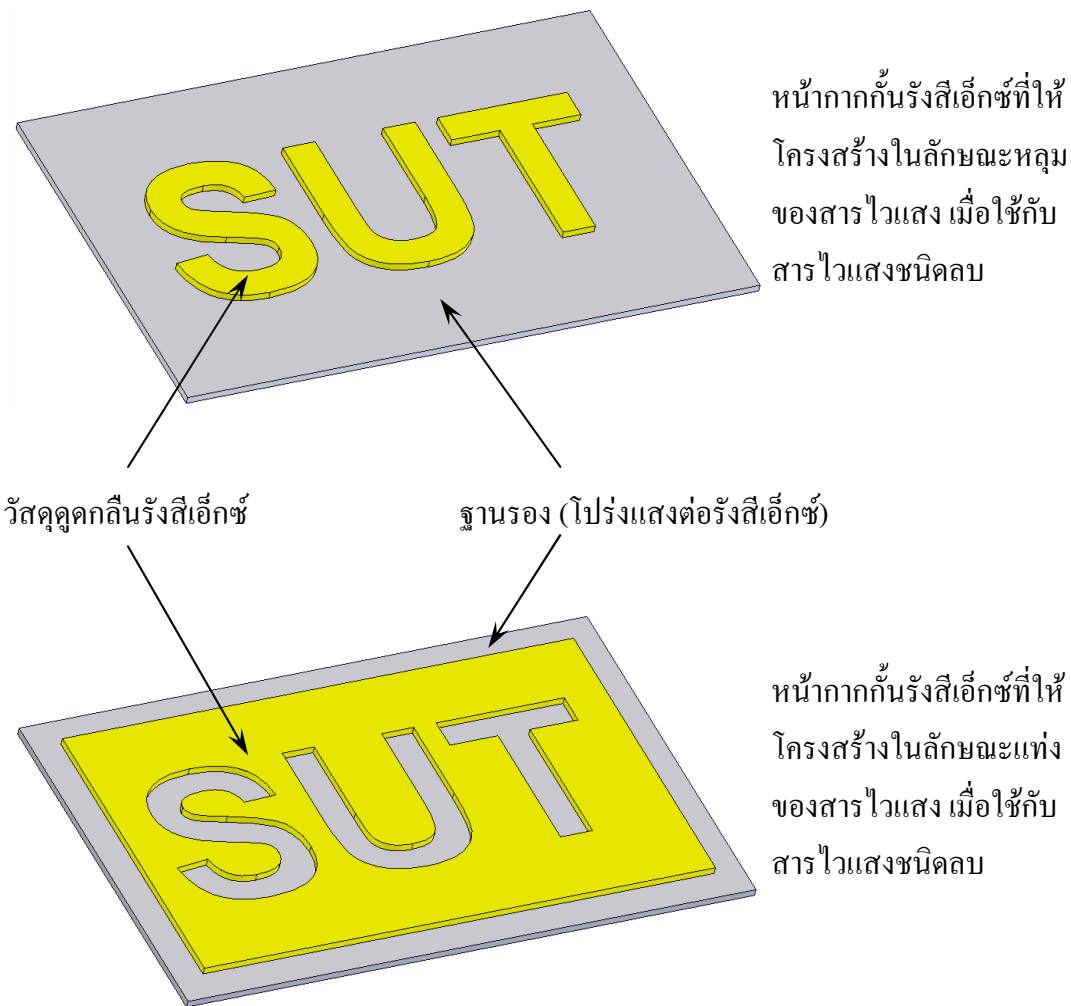




รูปที่ 1.3 ลำดับขั้นตอนกระบวนการ LIGA โดยทั่วไป

กระบวนการที่แสดงในรูปที่ 1.3 นั้นเป็นกระบวนการ LIGA โดยใช้สาร ไวแสง SU-8 เป็นวัสดุ ไวแสงในกระบวนการ ซึ่ง SU-8 เป็นสาร ไวแสงชนิดลบ โดยคุณสมบัติของสาร ไวแสงชนิดลบคือ บริเวณที่มีแสงมาตกกระทบนั้น จะทำให้สาร ไวแสงเกิดการแข็งตัว ส่วนบริเวณเงาหรือส่วนที่ไม่มีแสงมาตกกระทบนั้น เมื่อถูกดึงด้วยน้ำยาดีเวลอปเปอร์แล้วบริเวณดังกล่าวจะถูกดึงออกไป และส่วนของฐานรองต้องนำไฟฟ้า เนื่องจากต้องทำการขูบโลหะด้วยไฟฟ้า

ในการกระบวนการลิโซกราฟีด้วยรังสีเอ็กซ์นั้น ปัจจัยที่สำคัญคือการทำให้เกิดลวดลายบนชิ้นงาน ซึ่งโครงสร้างจะออกแบบในลักษณะอย่างไรนั้น ขั้นตอนนี้มีความสำคัญอย่างมาก โดยส่วนประกอบที่จะกำหนดโครงสร้างทั้งหมดคือ หน้ากากกันรังสีเอ็กซ์ ซึ่งหน้ากากกันรังสีเอ็กซ์มีส่วนประกอบสำคัญ 2 ส่วนคือ ฐานรองและวัสดุดูดกลืนรังสีเอ็กซ์ โดยฐานรองนั้นจะทำจากวัสดุที่โปร่งแสงต่อรังสีเอ็กซ์ ซึ่งหน้ากากกันรังสีเอ็กซ์นี้สามารถสร้างได้ 2 ลักษณะตามลักษณะของชิ้นงานที่ต้องการดังรูปที่ 1.4



รูปที่ 1.4 หน้ากากกันรังสีอิเล็กซ์ที่สร้างเป็นลวดลาย SU-8

การพัฒนากระบวนการผลิตโพรตอฟิลด้วยรังสีอิเล็กซ์นั้นมีมาอย่างต่อเนื่อง ซึ่งโดยทั่วไปแล้ว สารไวแสงที่ใช้ก็คือ PMMA นั่นเอง และใช่ว่ามีกับหน้ากากกันรังสีอิเล็กซ์ที่สร้างโดยการใช้ท่องคำ เป็นวัสดุคุณภาพสูงสำหรับการรังสีอิเล็กซ์ แต่การใช้ PMMA เป็นสารไวแสงนั้น ก็ยังมีข้อเสียคือ ในกระบวนการนั้น จะใช้เวลาในการ曝光สีนานมาก ซึ่งในบางครั้งจึงไม่สะดวกต่อการใช้งาน จึงมีการพัฒนาเพื่อ นำสารไวแสงชนิดลบ SU-8 มาใช้ในกระบวนการแทน PMMA ซึ่ง SU-8 มีข้อดีที่เห็นได้ชัดเมื่อ เทียบกับ PMMA คือ เวลาในการ曝光สีอิเล็กซ์นั้นน้อยกว่ากรณีที่ใช้ PMMA ประมาณ 100 เท่า และ สามารถเคลื่อนย้ายได้มากกว่า 1,000 ไมโครเมตรเรชั่นเดียว กัน โดยที่เมื่อใช้สารแสงความหนา ประมาณ 1 มิลลิเมตร น้ำหนักของ PMMA ต้องทำการ曝光สีอิเล็กซ์ซึ่ง $4,500 \text{ J/cm}^3$ ในขณะที่เมื่อ ใช้สารไวแสง SU-8 แล้วใช้การ曝光สีอิเล็กซ์เพียง 45 J/cm^3 (Lawes, et al.) และเมื่อเทียบการ曝光 แสงเป็นเวลาการ曝光แสงแล้ว เมื่อใช้สารไวแสงที่ความหนา 1 มิลลิเมตรเท่ากัน กรณีของ SU-8

ต้องใช้เวลาการฉายรังสีเอ็กซ์เพรส 20 วินาทีต่อเซนติเมตร ในขณะที่กรอบใช้ PMMA นั้น ต้องฉายรังสีเอ็กซ์ถึง 80 นาทีต่อเซนติเมตร (Jian, et al., 2003) ซึ่งจะเห็นได้ว่าเวลาในกระบวนการแตกต่างกันค่อนข้างมาก และเมื่อใช้สารไวแสง SU-8 จะสามารถลดเวลาในการ曝光ลงได้

เนื่องจากความเป็นไปได้ที่สามารถพัฒนาการสร้างหน้ากากกันรังสีเอ็กซ์โดยใช้วัสดุที่มีเลขอะตอมสูงชนิดอื่นมาเป็นวัสดุดูดกลืนรังสีเอ็กซ์แทนที่ทองคำ เพื่อยุดประสงค์ในการลดค่าใช้จ่ายในกระบวนการ เนื่องจากทองคำมีราคาแพงมาก โดยเงินเป็นหนึ่งในวัสดุที่มีเลขอะตอมสูงสามารถนำมาสร้างโครงสร้างได้ง่ายด้วยวิธีการชุบด้วยไฟฟ้า ทั้งยังมีราคาถูกกว่าทองคำหลายเท่าตัว จึงได้ทำการศึกษาความเป็นไปได้ในการใช้เงินมาเป็นวัสดุดูดกลืนรังสีเอ็กซ์ ในการสร้างหน้ากากกันรังสีเอ็กซ์แทนที่ทองคำ ที่ใช้กันอยู่ในปัจจุบัน

ในงานวิจัยนี้จะนำเสนอการสร้างหน้ากากกันแสง โดยใช้โลหะเงินเป็นวัสดุดูดกลืนรังสีเอ็กซ์ ซึ่งถือได้ว่าเป็นครั้งแรกที่มีการนำเงินมาเป็นวัสดุดูดกลืนรังสีเอ็กซ์ในกระบวนการลิโซกราฟีด้วยรังสีเอ็กซ์ โดยจะทดสอบหาความหนาที่เหมาะสมเพื่อที่จะสามารถใช้เงินในการกระบวนการผลิตโครงสร้างจุลภาคแทนที่ทองคำที่มีราคาแพงได้ ซึ่งทำการพัฒนาบนแผ่นฐานรองที่เป็นกราไฟต์บาง 150 ไมโครเมตร เนื่องจากกราไฟต์มีความคุณสมบัติโปร่งรับรังสีเอ็กซ์ และมีนักวิจัยหลายท่านนำมาใช้เป็นฐานของหน้ากากกันรังสีเอ็กซ์มาแล้ว จากนั้นจึงทำการพัฒนากระบวนการลิโซกราฟีตลอดกระบวนการให้ใช้ได้จริง ณ ศูนย์ปฏิบัติการวิจัยเครื่องกำเนิดแสงชินโตรอนแห่งชาติ โดยการพัฒนากระบวนการที่ใช้สารไวแสง SU-8 แทนการใช้สารไวแสง PMMA อีกด้วย เมื่อทำการพัฒนากระบวนการลิโซกราฟีด้วยรังสีเอ็กซ์ (X-ray Lithography) เรียบร้อยแล้ว จึงทำการสาธิกระบวนการที่พัฒนาขึ้นโดยการทดลองสร้างตัวตรวจรู้ความเร่งแบบเพียรโซริสติก (Piezoresistive) ซึ่งเป็นการสร้างก้อนมวล (Proof mass) ลงบนตัวชิพที่นายวิริยะ แผนสุวรรณ์ นักศึกษาบัณฑิตศึกษา สาขาวิศวกรรมไฟฟ้า มหาวิทยาลัยเทคโนโลยีสุรนารี ได้สร้างไว้แล้ว และกระบวนการในการสร้างทั้งหมดใช้กระบวนการลิโซกราฟีด้วยรังสีเอ็กซ์ที่ได้พัฒนาขึ้น โดยกระบวนการดังกล่าวสามารถสร้างก้อนมวล (Proof mass) ให้สูงถึง 500 ไมโครเมตรได้ เพื่อเพิ่มความไวในการตรวจจับความเร่ง

1.2 วัตถุประสงค์การวิจัย

1. พัฒนากระบวนการสร้างโครงสร้างระดับจุลภาค โดยการใช้แสงในยานรังสีเอ็กซ์ (X-ray) ณ Beamline 6 ของศูนย์ปฏิบัติการวิจัยเครื่องกำเนิดแสงชินโตรอนแห่งชาติ
2. หาวัสดุดูดกลืนรังสีเอ็กซ์ (X-ray Absorber) แทนที่วัสดุเดิมที่เป็นทองคำ ซึ่งมีราคาแพง โดยที่คุณสมบัติในการดูดกลืนรังสีเอ็กซ์เมื่อใช้เป็นหน้ากากกันรังสีเอ็กซ์ ยังคงเหมือนเดิม
3. ผลิตก้อนมวลเพื่อประกอบกับตัวตรวจรู้ความเร่งด้วยกระบวนการผลิตช้าที่พัฒนาขึ้น

1.3 ข้อตกลงเบื้องต้น

1. พัฒนาระบวนสร้าง โครงสร้างจุลภาค และวัสดุคุณภาพลีนรังสีเอ็กซ์ ชนิดใหม่แทนท้องคำ จนสามารถใช้ได้จริง ณ ระบบลำเลียงแสง BL-6 ของศูนย์ปฏิบัติการวิจัยเครื่องกำเนิดแสงชิน โครงการอนแห่งชาติ
2. การพัฒนาระบวนการดังกล่าว เป็นการพัฒนาตั้งแต่ต้น ดังนั้นกระบวนการบางขั้นตอน หรือค่าบางค่าอาจยังไม่เหมาะสมที่สุด
3. การสาธิตกระบวนการ จะเป็นการสร้างก้อนมวลนิพท์ได้สร้างไว้แล้ว เพื่อพัฒนาให้เป็นตัวตรวจรู้ความเร่งที่ดีขึ้น

1.4 ขอบเขตของการวิจัย

1. พัฒนาระบวนการสร้างหน้ากากกันรังสีเอ็กซ์ โดยใช้โลหะเงินเป็นวัสดุคุณภาพลีนรังสีเอ็กซ์
2. พัฒนาระบวนการเคลือบสารไวแสง SU-8 ลงบนฐานรอง เพื่อให้ได้ความหนาของพอลิเมอร์ไวแสงมากกว่า 500 ไมโครเมตร
3. พัฒนาระบวนการฉายรังสีเอ็กซ์ และการถ่ายพอลิเมอร์ไวแสง
4. พัฒนาระบวนการสร้างชิ้นงานต้นแบบโดยวิธีการชุบโลหะด้วยไฟฟ้า (Electroplating)
5. พัฒนาระบวนการผลิตชิ้นงานช้า โดยการหล่อแบบ
6. สาธิตกระบวนการโดยการสร้างตัวตรวจรู้ความเร่ง ที่มีก้อนมวลที่สร้างขึ้นด้วยกระบวนการที่ได้พัฒนาขึ้น

1.5 ประโยชน์ที่คาดว่าจะได้รับ

1. ได้กระบวนการผลิตกราฟฟิคด้วยรังสีเอ็กซ์ (X-ray Lithography) ที่สามารถสร้างอุปกรณ์ต่างๆ ได้อย่างมีประสิทธิภาพ ณ ศูนย์ปฏิบัติการวิจัยเครื่องกำเนิดแสงชิน โครงการอนแห่งชาติ
2. ได้วัสดุชนิดใหม่ที่สามารถใช้แทนทองคำในการสร้างหน้ากากกันรังสีเอ็กซ์ เพื่อลดต้นทุนในกระบวนการ
3. สร้างองค์ความรู้ในการสร้างอุปกรณ์ด้วยวิธีการผลิตกราฟฟิคด้วยรังสีเอ็กซ์
4. สร้างองค์ความรู้การสร้างตัวตรวจรู้ความเร่งด้วยวิธีการผลิตกราฟฟิคด้วยรังสีเอ็กซ์

1.6 การจัดรูปเล่มวิทยานิพนธ์

ในงานวิทยานิพนธ์นี้ประกอบด้วย 7 บท ได้แก่ บทที่ 1 เป็นบทนำกล่าวถึงความสำคัญของ

ปัญหา วัตถุประสงค์ ข้อตกลงเบื้องต้น ขอบเขตงานวิจัย และประโยชน์ที่คาดว่าจะได้รับจากงานวิจัย บทที่ 2 กล่าวถึงการปริพัศน์วรรณกรรมและงานวิจัยที่เกี่ยวข้องกับการสร้างอุปกรณ์ในระบบกลไฟฟ้าจุลภาคที่อาศัยกระบวนการผลิตอิเล็กทรอนิกส์ หลักการเกี่ยวกับกระบวนการผลิตอิเล็กทรอนิกส์รวมถึงกระบวนการผลิตอิเล็กทรอนิกส์ด้วยรังสีเอ็กซ์ อีกทั้งกระบวนการสร้างหน้ากากกันรังสีเอ็กซ์ในรูปแบบต่าง ๆ บทที่ 3 กล่าวถึงระบบลำเลียงแสงชินโกรตอน ณ ศูนย์ปฏิบัติการวิจัยเครื่องกำเนิดแสงชินโกรตอนแห่งชาติ การลำเลียงแสงออกมายังห้องปฏิบัติการผลิตอิเล็กทรอนิกส์ด้วยรังสีเอ็กซ์ ระบบการกรองรังสีเอ็กซ์จากวงกัดเก็บอิเล็กตรอนของระบบแสงชินโกรตอน และหลักการทำงานของระบบเลื่อนภายในรังสีเอ็กซ์ บทที่ 4 กล่าวถึงขั้นตอนการพัฒนากระบวนการผลิตอิเล็กทรอนิกส์ด้วยรังสีเอ็กซ์ การทดสอบกระบวนการโดยการสร้างชิ้นงานทดสอบเพื่อทดลองสร้างชิ้นงานที่ความหนาต่าง ๆ การพัฒนากระบวนการสร้างหน้ากากกันรังสีเอ็กซ์โดยกระบวนการผลิตอิเล็กทรอนิกส์ด้วยแสงอัลตราไวโอเลต และการใช้โลหะเงินเป็นวัสดุคุณลักษณะรังสีเอ็กซ์แทนทองคำเพื่อลดต้นทุนในกระบวนการ บทที่ 5 กล่าวถึงการนำชิ้นงานที่สร้างจากกระบวนการผลิตอิเล็กทรอนิกส์ด้วยรังสีเอ็กซ์มาสร้างเป็นตัวอุปกรณ์ด้วยวิธีการ LIGA ซึ่งเป็นขั้นตอนในการชุบโลหะด้วยไฟฟ้าลงไปในแม่พิมพ์รวมถึงการสร้างอุปกรณ์ชุดด้วยการสร้างแม่พิมพ์ชิ้นใหม่โดยการออกแบบจากชิ้นงานที่สร้างจากกระบวนการ LIGA หรือกระบวนการผลิตอิเล็กทรอนิกส์ด้วยรังสีเอ็กซ์ ด้วยวิธีการใช้พอลิเมอร์ในการออกแบบ บทที่ 6 กล่าวถึงการนำกระบวนการผลิตอิเล็กทรอนิกส์ด้วยรังสีเอ็กซ์ที่พัฒนาขึ้น ณ ศูนย์ปฏิบัติการวิจัยเครื่องกำเนิดแสงชินโกรตอนแห่งชาติ ไปใช้ในการสร้างอุปกรณ์ในระบบกลไฟฟ้าจุลภาค และวิเคราะห์ข้อดีและข้อจำกัดของกระบวนการที่พัฒนาขึ้น เมื่อนำมาสร้างอุปกรณ์ในระบบกลไฟฟ้าจุลภาค บทที่ 7 เป็นบทสรุปงานวิจัยและข้อเสนอแนะ

บทที่ 2

ปริทัศน์วรรณกรรมและงานวิจัยที่เกี่ยวข้อง

นักวิจัยและนักวิทยาศาสตร์เริ่มเล็งเห็นความสำคัญ และให้ความสนใจในการสร้างวัสดุ หรือสิ่งประดิษฐ์ระดับจุลภาคมากขึ้น หลังจากที่ Feynman ได้ปาฐกถาในหัวข้อ “There’s Plenty of Room at The Bottom” ในปี 1959 ซึ่งในการปาฐกถาดังกล่าว มีส่วนสำคัญในการผลักดันการพัฒนา ระบบกลไฟฟ้าจุลภาค (Micro-Electro-Mechanical Systems) หรือ MEMS ซึ่งเป็นระบบกลไฟฟ้าที่ มีขนาดเล็กในระดับไมโครเมตร แต่ยังสามารถทำงานในลักษณะเดียวกับระบบที่มีขนาดใหญ่กว่า ได้ ซึ่งระบบดังกล่าวมีส่วนสำคัญมากต่อการพัฒนาเทคโนโลยีสมัยใหม่ ที่ต้องการให้อุปกรณ์ สำหรับการใช้งานต่าง ๆ มีขนาดเล็กลงในขณะที่ความสามารถในการทำงานของอุปกรณ์เพิ่มขึ้น

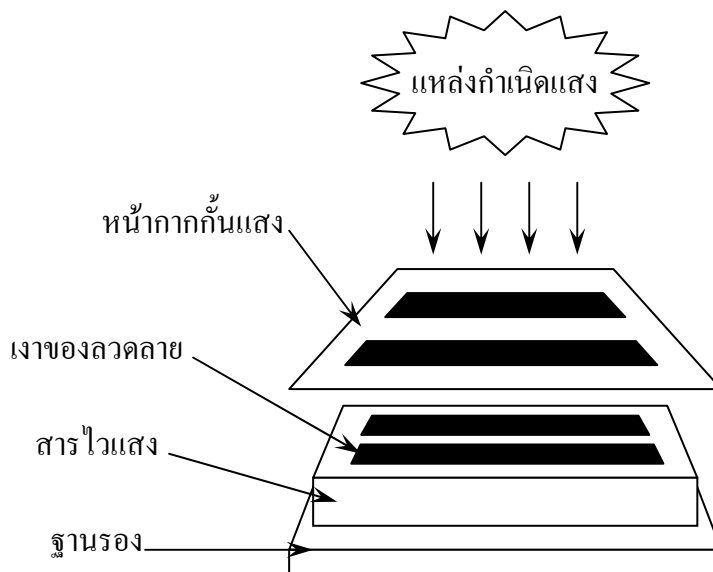
การผลิตอุปกรณ์ในระบบกลไฟฟ้าจุลภาคนี้ กระบวนการ โฟโตโลหะกราฟี (Photolithography) มีบทสำคัญในการผลิตโครงสร้างของชิ้นงาน ซึ่งกระบวนการดังกล่าวมีความสามารถ สูงในการสร้างชิ้นงานขนาดเล็กถึงระดับไมโครเมตร หากแต่ในอุปกรณ์หลายชนิดที่ต้องการให้มี ความเป็นสามมิตินี้ กระบวนการลิโซกราฟีด้วยแสงที่ใช้กันนั้นไม่สามารถสร้างให้เกิดความเป็น สามมิติเพียงพอต่อความต้องการของนักวิจัย ได้ ดังนั้นจึงได้มีการคิดค้นกระบวนการที่สามารถสร้าง อุปกรณ์ที่มีความเป็นสามมิติสูงขึ้น เรียกว่ากระบวนการลิโซกราฟีด้วยรังสีเอ็กซ์ (X-ray lithography) โดยการใช้รังสีเอ็กซ์พลังงานสูงจากแหล่งกำเนิดแสงชิ้น同步tron (Synchrotron radiation) ซึ่งกระบวนการลิโซกราฟี (Lithography) ที่ใช้ในปัจจุบันนี้ มีทั้งกระบวนการที่ใช้แสง อัตราไวโอเลต ที่เรียกว่า UV Lithography หรือ Photo Lithography และกระบวนการที่ใช้รังสีเอ็กซ์ ที่เรียกว่า X-ray Lithography โดยกระบวนการทั้งสองแบบนี้ จะใช้สำหรับสร้างอุปกรณ์จุลภาค โดยกระบวนการลิโซกราฟีด้วยแสงอัตราไวโอเลตนั้น เป็นกระบวนการมาตรฐานในการสร้าง วงจรรวม

2.1 กระบวนการลิโซกราฟี

กระบวนการลิโซกราฟีนั้นเป็นถือ ได้ว่าเป็นปัจจัยที่สำคัญที่สุดสำหรับอุตสาหกรรม เช米icon ดักเตอร์ (Harriott, 2001) โดยในกระบวนการผลิตวงจรรวมในปัจจุบัน ยังคงใช้ กระบวนการลิโซกราฟีในการผลิต แต่ในส่วนวิธีการและการดำเนินการรวมถึงแหล่งพลังงานแสง ที่ใช้นั้น ได้ถูกพัฒนาให้มีสมรรถภาพเพิ่มมากขึ้นมาโดยตลอด โดยแหล่งกำเนิดแสงนี้มีทั้งการใช้ แสงอัตราไวโอเลตฉายผ่านหน้ากากกันแสงแบบหนึ่งต่อหนึ่ง หรือการฉายแบบผ่านเลนส์เพื่อย่อ

ขนาดของชิ้นงานลง ซึ่งในบางครั้งวิธีการดังกล่าวจะค่อนข้างมีปัญหาเกี่ยวกับความคมชัดหลังจาก การฉายแสงเสร็จสิ้น โดยทั่วไปแล้วในการฉายแสงแบบหนึ่งต่อหนึ่งจะใช้ร่วมกับเครื่องฉายแสง อัลตราไวโอลูเตต (UV mask aligner) ซึ่งกำเนิดแสงในย่านแสงอัลตราไวโอลูเตต ความยาวคลื่น ประมาณ 365-405 นาโนเมตร ซึ่งกระบวนการลิโซกราฟีจากแหล่งกำเนิดแสงดังกล่าวนั้น ความสูง ของชิ้นงานจะสามารถเพิ่มได้ถึงระดับ 100 ไมโครเมตร แต่ในบางครั้งมีความต้องการสร้างชิ้นงานที่ มีความสูงของชิ้นงานหลายร้อยไมโครเมตร จึงได้มีกระบวนการที่ใช้แสงอัลตราไวโอลูเตตพลังงาน สูง (Deep-Ultra violet : DUV) ซึ่งแสงดังกล่าวมีความยาวคลื่นประมาณ 200-290 นาโนเมตร กระบวนการ DUV ดังกล่าวสามารถสร้างชิ้นงานที่มีความละเอียดของชิ้นงานได้ถึงประมาณ 1 ไมโครเมตร (Pelzer, et al., 2006) ซึ่งมีประโยชน์อย่างมากในการสร้างชิ้นงานระดับสูงขึ้น ที่ต้องการความละเอียดของชิ้นงานมากขึ้น

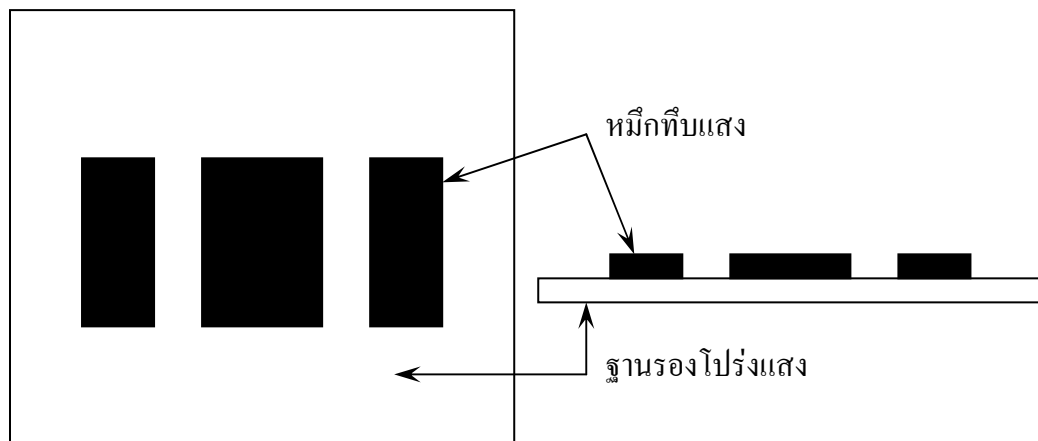
กระบวนการลิโซกราฟีนี้เป็นกระบวนการในการสร้างอุปกรณ์จุลภาคซึ่งอาศัยการเกิด เงาของแสงเมื่อมีวัตถุใด ๆ มาบังแหล่งกำเนิดแสง โดยวัตถุที่จะนำมาบังแหล่งกำเนิดแสงนั้นจะ เรียกว่าหน้ากากกันแสง (mask) ซึ่งรายละเอียด漉漉ลายของโครงสร้างจะถูกกำหนดโดยหน้ากากกัน แสงนี้เอง เพื่อกำหนดการเกิดเงาลงบนสารไวแสงเพื่อสร้างเป็นโครงสร้างของอุปกรณ์ที่ต้องการ ลำดับชั้นในการติดตั้งชิ้นงานเข้ากับเครื่องฉายแสงแสดงได้ดังรูปที่ 2.1



รูปที่ 2.1 การติดตั้งชิ้นงานสำหรับการฉายแสง

ในการติดตั้งนี้ปัญหาอีกหนึ่งประการสำหรับกระบวนการลิโซกราฟีคือ การติดตั้ง หน้ากากกันแสงเข้ากับชิ้นงานนั้น ต้องติดให้แนบชิ้นงานมากที่สุดเพื่อป้องกันการแพร่กระจายของ

แสง ซึ่งจะทำให้คลาดสายของอุปกรณ์ผิดเพี้ยนไปจากต้นแบบได้ ซึ่งเป็นเหตุผลให้พื้นผิวของสาร ไว้แสงนั้นต้องเรียบ เพื่อให้แนบติดกับหน้ากากกันแสงให้ได้มากที่สุด ส่วนหน้ากากกันแสงนั้น ที่ใช้กันส่วนใหญ่จะทำจากพลาสติกใสที่มีคลาดสายเป็นหมึกทึบแสง และกระจกใสที่คลาดสายเป็นหมึกทึบแสง เช่นเดียวกัน ซึ่งลักษณะขั้นพื้นฐานของหน้ากากกันแสงต้องประกอบด้วย 2 ส่วนประกอบ คือส่วนของฐานรองซึ่งเป็นวัสดุที่แข็งแรงและโปร่งแสง และส่วนของหมึกทึบแสง เพื่อกำหนดคลาดสาย ดังรูปที่ 2.2



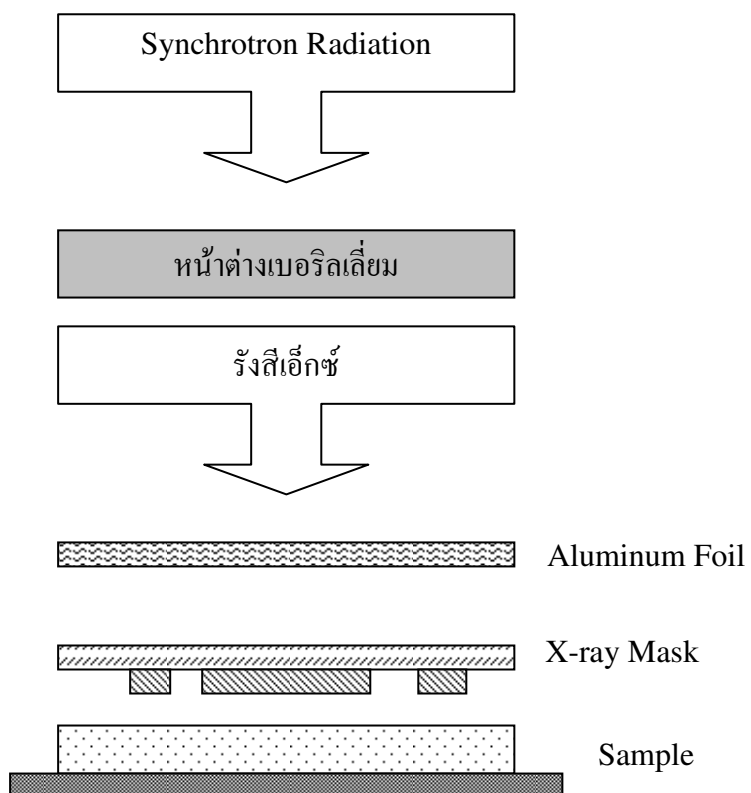
รูปที่ 2.2 ลักษณะและส่วนประกอบของหน้ากากกันแสง

ชิ้นงานที่มีความสูงในระดับหลายร้อยไม้เมตรมีความจำเป็นมากในการสร้างอุปกรณ์สำหรับงานระดับสูง เนื่องจากเมื่อสามารถเพิ่มความสูงของชิ้นงานแล้ว จะทำให้สามารถเพิ่มความแข็งแรงของชิ้นงาน ทำให้ชิ้นงานดังกล่าวสามารถสร้างแรงขับเคลื่อน (force) ได้มากขึ้น รวมถึงแรงบิด (torque) หรือกำลังงาน (power) ที่ได้จากชิ้นงานก็มากขึ้นอีกด้วย (Qu, et al., 1998) และในอุปกรณ์หลายชนิดต้องการความสูงของชิ้นงานในระดับมิลลิเมตร ซึ่งเกินความสามารถของกระบวนการผลิตไฟฟ้ารังสีเอ็กซ์รอน โดยใช้รังสีเอ็กซ์ที่กรองจากเครื่องกำเนิดแสงซินโครตรอน ซึ่งกระบวนการผลิตไฟฟ้ารังสีเอ็กซ์นั้นทำให้สามารถสร้างอุปกรณ์ที่ต้องการความสูงของชิ้นงานหลายร้อยไม้เมตรจนถึงระดับมิลลิเมตรได้

2.2 กระบวนการผลิตไฟฟ้ารังสีเอ็กซ์

กระบวนการผลิตไฟฟ้ารังสีเอ็กซ์นั้น โดยปกติแล้วแหล่งกำเนิดของรังสีเอ็กซ์ที่ใช้นั้น จะใช้แหล่งกำเนิดแสงซินโครตรอน และทำการกรองเนื้อพาราเวลสีเอ็กซ์มาใช้ในกระบวนการ โดย

กระบวนการผลิตภาพฟีด้วยรังสีเอกซ์นั้นจะเป็นกระบวนการในลักษณะเดียวกันกับกระบวนการผลิตภาพฟีด้วยแสงอัลตราไวโอเลต แต่จะเปลี่ยนแสงที่ใช้ในกระบวนการจากแสงอัลตราไวโอเลต มาเป็นรังสีเอกซ์ ซึ่งพัฒนาที่ได้นั้นจะค่อนข้างมาก ดังนั้นในกระบวนการจึงเกิดความร้อนขึ้นมากกว่ากระบวนการที่ใช้แสงอัลตราไวโอเลต อุปกรณ์ที่ใช้ในกระบวนการหล่ายิงต้องเปลี่ยนแปลงไปตามความเหมาะสมกับการใช้งาน และในบางขั้นตอนหากใช้วิธีการที่เหมือนกับกระบวนการที่ใช้แสงอัลตราไวโอเลตอาจทำให้ชิ้นงานเกิดความเสียหายได้ (Yi, et al., 2006) ทำให้กระบวนการผลิตภาพฟีด้วยรังสีเอกซ์นั้น บางขั้นตอนจะแตกต่างจากกระบวนการผลิตภาพฟีด้วยแสง รวมถึงขั้นตอนจำนวนมากขึ้นและค่าใช้จ่ายในกระบวนการก็มากขึ้นด้วย ลำดับอุปกรณ์ที่ติดตั้งในการฉายรังสีเอกซ์นั้นจะคล้ายกับกระบวนการผลิตภาพฟีด้วยรังสีอัลตราไวโอเลต แต่จะมีการเพิ่มอุปกรณ์บางชนิดเข้าไปดังรูปที่ 2.3



รูปที่ 2.3 ลำดับอุปกรณ์ที่ติดตั้งสำหรับการฉายรังสีเอกซ์ในกระบวนการผลิตภาพฟีด้วยรังสีเอกซ์

สารไวแสงที่ใช้ในกระบวนการผลิตภาพฟีด้วยรังสีเอกซ์นั้น หนึ่งในสารไวแสงมาตรฐานในกระบวนการคือ PMMA ซึ่งเป็นสารไวแสงที่สามารถเคลือบบนชิ้นงานให้ได้ความหนามากถึง 3 มิลลิเมตร และให้ลวดลายที่คมชัด ให้ความละเอียดสูง ความแน่นอนของลวดลายสูงและผิวเรียบ

แต่อย่างไรก็ตามข้อเสียของ PMMA ที่เห็นได้ชัดคือ มีความไวต่อรังสีเอกซ์น้อยมาก หากความหนาของฟิล์มถึงระดับมิลลิเมตรแล้ว ต้องน้ำยรังสีเอกซ์เป็นเวลาอย่างน้อย 10 ชั่วโมง (Shew, et al., 2004) ด้วยเหตุผลดังกล่าว ทำให้เวลาในการน้ำยรังสีเอกซ์แต่ละครั้งต้องใช้เวลาค่อนข้างนาน จึงได้มีการนำสารไวแสง SU-8 มาใช้ในกระบวนการ ซึ่ง SU-8 นั้นสามารถช่วยลดเวลาในการน้ำยรังสีลงได้อย่างมาก เนื่องจากสารไวแสง SU-8 นั้น มีความไวต่อรังสีเอกซ์มากกว่าสารไวแสง PMMA (Jian, et al., 2003) ที่ความหนาของสารไวแสงเท่ากันนั้น SU-8 และ PMMA จะใช้เวลาในการน้ำยแสงต่างกันค่อนข้างมาก ดังแสดงในตารางที่ 2.1 (Jian, et al., 2003)

ตารางที่ 2.1 เปรียบเทียบเวลาในการน้ำยรังสีเอกซ์บนชิ้นงานระหว่างสารไวแสง PMMA และ SU-8 ที่ความหนาของฟิล์มไวแสงต่าง ๆ

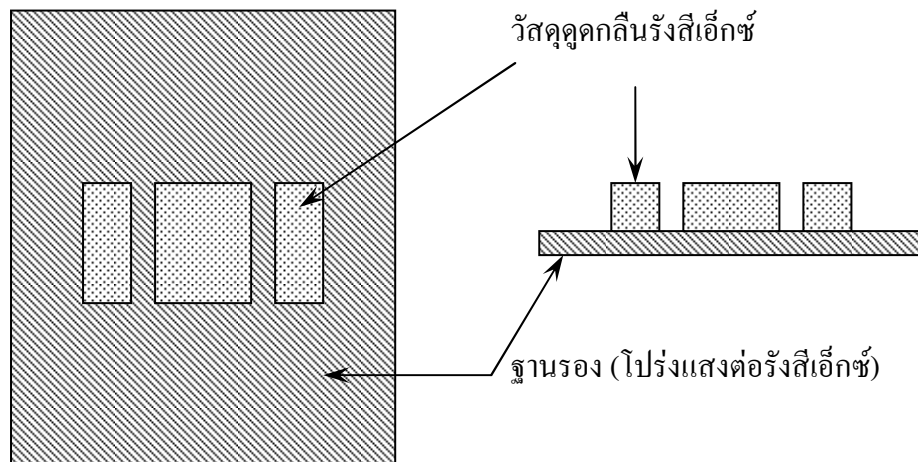
ชนิดของสารไวแสง : ความหนาของสารไวแสง	เวลาในการน้ำยรังสี
PMMA : 500 ไมโครเมตร	40 นาที
SU-8 : 500 ไมโครเมตร	8 วินาที
PMMA : 1000 ไมโครเมตร	80 นาที
SU-8 : 1000 ไมโครเมตร	20 วินาที
PMMA : 2000 ไมโครเมตร	3.5 ชั่วโมง
SU-8 : 2000 ไมโครเมตร	1 นาที
PMMA : 4000 ไมโครเมตร	10 ชั่วโมง
SU-8 : 4000 ไมโครเมตร	2 นาที

จากการเปรียบเทียบเวลาในการน้ำยแสงข้างต้น จะเห็นได้ชัดว่าเมื่อใช้สารไวแสง SU-8 แทน PMMA นั้น จะทำให้สามารถลดเวลาในการน้ำยแสงลงได้อย่างมาก ซึ่งข้อดีที่ตามมาอีกอย่างหนึ่งคือ ความร้อนสะสมในชิ้นงานขณะทำการน้ำยรังสีเอกซ์ก็จะลดลงตามมาด้วย ทำให้ชิ้นงานไม่เกิดความเสียหายอันเนื่องมาจากความร้อน และส่วนของหน้ากากกันรังสีเอกซ์ก็ต้องสามารถรับความร้อนได้เช่นเดียวกัน ทั้งยังต้องมีคุณสมบัติหลายประการที่แตกต่างจากหน้ากากกันแสงในกระบวนการลิโซกราฟฟิคด้วยรังสีอัลตราไวโอเลต

2.3 การสร้างหน้ากากกันรังสีเอกซ์เพื่อใช้ในกระบวนการลิโซกราฟฟิคด้วยรังสีเอกซ์

ในกระบวนการลิโซกราฟฟิคด้วยรังสีเอกซ์นั้น หน้ากากกันรังสีเอกซ์ต้องเป็นอุปกรณ์ที่ขาดไม่ได้ในกระบวนการ และได้มีการพัฒนากระบวนการผลิตหน้ากากกันรังสีเอกซ์อย่างต่อเนื่อง

เพื่อให้ได้น้ำากกันรังสีเอ็กซ์ที่ดีที่สุด ในขณะที่ต้นทุนในการผลิตลดลง น้ำากกันรังสีเอ็กซ์ในอุคุมคิดนั้น ต้องมีความโปร่งรังสีเอ็กซ์สูง มีความแข็งแรงสูงทนต่อการหยับจับ โดยใช้มือหรือปากคิบ ในขณะที่แผ่นบางและเรียบ ไม่เกิดการเปลี่ยนแปลงรูปร่างภายหลัง และต้องไม่ทำปฏิกิริยาใด ๆ กับสารที่จะนำมาสร้าง漉ดลาย (Cabrinii, et al., 2005) ซึ่งส่วนประกอบหลักของน้ำากกันรังสีเอ็กซ์นั้นคือส่วนฐานรองซึ่งเป็นส่วนที่ต้องโปร่งรังสีเอ็กซ์โดยรังสีเอ็กซ์สามารถทะลุผ่านได้ดี หรือหากสามารถมองทะลุผ่านได้ก็จะเป็นประโยชน์มากขึ้นในกระบวนการที่ต้องการสร้าง漉ดลายหลายชั้น และอีกส่วนคือวัสดุดูดกลืนรังสีเอ็กซ์ ซึ่งรังสีเอ็กซ์ไม่สามารถทะลุผ่านได้นั่นเอง โดยลักษณะของส่วนประกอบพื้นฐานของน้ำากกันรังสีเอ็กซ์นั้น แสดงได้ดังรูปที่ 2.4



รูปที่ 2.4 ส่วนประกอบพื้นฐานของน้ำากกันรังสีเอ็กซ์

ได้มีนักวิจัยหลายคนที่พัฒนาการสร้างน้ำากกันรังสีเอ็กซ์ โดยวัสดุที่ใช้ทำเป็นฐานรองนั้น มีวัสดุหลายชนิดที่สามารถใช้ได้ ซึ่งคุณสมบัติก็แตกต่างกันออกไป เช่นวัสดุสมรรถะว่างไไฟเนียมกับซิลิโอน วัสดุดังกล่าวจะมีคุณสมบัติที่ดีคือมีความโปร่งรังสีเอ็กซ์สูงและบางมาก แต่มีข้อเสียคือราคาแพงและยากต่อการหยับจับใช้งาน หรือเบอริลเลียม ก็มีคุณสมบัติโปร่งรังสีเอ็กซ์สูง เช่นเดียวกัน แต่มีข้อจำกัดที่ค่อนข้างเป็นพิษ (Jian, et al., 2003) carbon diamond เป็นหนึ่งในวัสดุที่มีคุณสมบัติเหมาะสมกับการนำมาสร้างเป็นน้ำากกันรังสีเอ็กซ์ เนื่องจากการที่มีความโปร่งทึ่งรังสีเอ็กซ์และแสงที่ตามองเห็นได้ (Visible light) จึงมีประโยชน์มากเมื่อต้องการสร้างชิ้นงานที่ต้องสร้างโครงสร้างแบบหลายชั้น ทั้งยังมีความคุณสมบัติน้ำหนักเบา ได้ดี แต่ข้อเสียคือยากต่อการสร้างให้ได้เนื้อที่ขนาดใหญ่ และมีความบุบระของพื้นผิวสูง อีกทั้งมีราคาที่แพงมาก (Cabrinii, et al., 2005) และวัสดุดูดกลืนรังสีเอ็กซ์นั้น ที่ใช้กันทั่วไปคือทองคำความหนาประมาณ 3-15

ไม่โครเมตร (Ferreira, 2004) โดยมีการสร้างหน้ากากกั้นรังสีเอกซ์ที่ใช้แผ่นซิลิคอนหนา 20 ไม่โครเมตร เป็นฐานรองและใช้ทองคำหนา 15 ไม่โครเมตรเป็นวัสดุดูดกลืนรังสีเอกซ์ (Shew, et al., 2004) และได้มีการพัฒนาหน้ากากกั้นรังสีเอกซ์ที่สามารถลดต้นทุนการสร้างได้ด้วยการใช้แผ่นฐานรองเป็น flat silicon wafer ความหนา 15 ไม่โครเมตร ร่วมกับวัสดุดูดกลืนแสงคือทองคำ ความหนา 20 ไม่โครเมตร (Cabralini, et al., 2005)

ในปี 1996 Yi และคณะ ได้นำเสนอการสร้างหน้ากากกั้นรังสีเอกซ์ที่ใช้ในกระบวนการ LIGA ซึ่งจะนำไปใช้ร่วมกับแสงชินโกรตรอน โดยได้นำเสนอกระบวนการสร้างหน้ากากกั้นรังสีเอกซ์ ด้วยกระบวนการสร้างแบบสองขั้น โดยการสร้างหน้ากากชั่วคราวขึ้นมาก่อน หลังจากนั้นจึงนำหน้ากากชั่วคราวมาสร้างเป็นหน้ากากจริงต่อไป และวัสดุดูดกลืนรังสีเอกซ์ที่จะใช้ในหน้ากากกั้นรังสีเอกซ์นั้น ใช้ทองคำความหนา 15 ไม่โครเมตร โดยให้แนวคิดว่ากระบวนการสร้างโดยตรงจะค่อนข้างยาก จึงนำเสนอการสร้างแบบสองขั้น ขั้นแรกจะเป็นการสร้างหน้ากากชั่วคราว (Intermediate mask) โดยใช้กระบวนการโฟโตโลหะฟีบันสารไวแสงบาง โดยฐานรองจะเป็นแผ่นซิลิคอนปิดทับด้วยโพลีอิโนด และเคลือบอิชชันด้วยฟิล์มทองคำความหนา 1.5 ไม่โครเมตร จากนั้นจึงเคลือบสารไวแสงลงไป เมื่อสร้าง漉คลายลงบนสารไวแสงแล้ว ทำการกัดแผ่นฟิล์มทองคำด้วยไอออนของอาร์กอน (Ar^+) และกัดแผ่นไวไฟฟอร์ทึ้ง จะได้หน้ากากชั่วคราวที่มีทองคำหนา 1.5 ไม่โครเมตร เป็นวัสดุดูดกลืนรังสีเอกซ์อยู่บนฐานที่เป็นโพลีอิโนด หนา 4 ไม่โครเมตร จากนั้นนำหน้ากากชั่วคราวที่สร้างเสร็จ ไปสร้างหน้ากากกั้นรังสีเอกซ์โดยการใช้สารไวแสง PMMA หนา 15 ไม่โครเมตรร่วมกับแสงชินโกรตรอน โดยฐานรองจะเป็นแผ่นไวไฟฟอร์ปิดทับด้วยโพลีอิโนด ต่อด้วยเคลือบทองคำ 100 อังสตอม และเคลือบสารไวแสง PMMA ลงบนฐานดังกล่าว ก่อนนำไปสร้าง漉คลายด้วยกระบวนการลิโซกราฟีด้วยรังสีเอกซ์และจากนั้นจะ漉คลายที่เป็นหลุมไปทำการชุบทองคำด้วยไฟฟ้าลงบนฐานที่สร้าง漉คลายแล้ว โดยใช้ความหนาของทองคำประมาณ 15 ไม่โครเมตร ก่อนทำการกัดแผ่นไวไฟฟอร์ทึ้ง โดยกระบวนการทั้งหมดที่กล่าวมานี้ จะเห็นว่าค่อนข้างยุ่งยาก และมีขั้นตอนค่อนข้างหลายขั้นตอน

สำหรับงานวิจัยนี้จะทำการพัฒนาระบวนการลิโซกราฟีด้วยรังสีเอกซ์ ทั้งกระบวนการให้สามารถใช้ได้จริง ณ ศูนย์ปฏิบัติการวิจัยเครื่องกำเนิดแสงชินโกรตรอนแห่งชาติ ซึ่งเดิมยังไม่สามารถใช้งานได้ โดยการพัฒนานี้จะเริ่มจากการนยังรังสีภายในห้องปฏิบัติการลิโซกราฟี ด้วยรังสีเอกซ์ ซึ่งทำการพัฒนาร่วมกับพนักงานภายในศูนย์ปฏิบัติการวิจัยเครื่องกำเนิดแสงชินโกรตรอนแห่งชาติ ไปจนถึงการพัฒนาระบวนการลิโซกราฟีด้วยรังสีเอกซ์ทั้งกระบวนการ ซึ่งถือได้ว่าเป็นงานวิจัยแรกที่พัฒนาระบวนการลิโซกราฟีด้วยรังสีเอกซ์ภายใต้สภาพอากาศในประเทศไทย เพื่อที่จะสามารถสร้างอุปกรณ์จุลภาคสัծส่วนสูง (High-aspect-ratio microdevices) ชนิดต่าง ๆ ได้โดยการสร้างที่ประเทศไทยทั้งกระบวนการ เพื่อเป็นพื้นฐานให้นักวิจัยรุ่นต่อไป อีกทั้งยังทำการ

พัฒนาหน้ากากกันรังสีเอ็กซ์เรย์ใหม่ โดยการเปลี่ยนวัสดุดูดกลืนรังสีเอ็กซ์ที่เดิมเป็นทองคำ มาเป็นเงินซึ่งจะทำให้สามารถลดค่าใช้จ่ายในการสร้างหน้ากากกันรังสีเอ็กซ์ลง ได้อย่างน้อย 3 เท่า และหลังจากการพัฒนาระบวนลิโธกราฟีด้วยรังสีเอ็กซ์จนสำเร็จแล้ว จะทำการพัฒนาระบวน LIGA (Lithographie Galvanoformung Abformung) โดยการนำแม่พิมพ์จุลภาคสัծส่วนสูงที่สร้างจากกระบวนการลิโธกราฟีด้วยรังสีเอ็กซ์ขึ้นต้น มาเขียนด้วยวิธีการชุบโลหะด้วยไฟฟ้า (Electroplating) โดยโลหะที่จะนำไปใช้ในการชุบด้วยไฟฟ้านั้น จะใช้โลหะnickel ซึ่งเป็นโลหะที่ใช้กันทั่วไปสำหรับกระบวนการ LIGA

บทที่ 3

ระบบลำเลียงแสง

ห้องปฏิบัติการแสงสยาม (Siam Photon Laboratory : SPL) เป็นห้องปฏิบัติการที่ทำการพัฒนาการวิจัยเครื่องกำเนิดแสงซินโครตรอน ที่อยู่ภายในศูนย์ปฏิบัติการวิจัยเครื่องกำเนิดแสงซินโครตรอนแห่งชาติ หรือ พช. (National Synchrotron Research Center : NSRC) ตั้งอยู่ ณ จังหวัดนครราชสีมา ประเทศไทย แสงซินโครตรอนนี้สามารถนำมาใช้ประโยชน์ได้หลายสายงาน ตั้งแต่การใช้งานด้านพื้นฐานไปจนถึงการใช้งานด้านการประยุกต์ใช้ทั้งด้านฟิสิกส์ เคมีและชีววิทยาซึ่งเครื่องกำเนิดแสงซินโครตรอนนี้สร้างขึ้นโดยมีพลังงานขาออกของแสงเท่ากับ 1.2 GeV และวงกักระเบียดอิเล็กตรอนขนาด $41\text{-nm}\cdot\text{rad}$ มีสถานีทดลองสำหรับกระบวนการผลิตภาพฟีดแบครังสีเอ็กซ์เป็นส่วนต่อขยายระบบลำเลียงแสง BL-6 ให้กำเนิดแสงซินโครตรอนด้วยแม่เหล็กโค้ง (bending magnet) ขนาด 1.44 T และมีระบบการลำเลียงแสงซินโครตรอนและกรองแสงเพื่อให้ได้เป็นรังสีเอ็กซ์ออกมาใช้งาน ณ ห้องปฏิบัติการลิโซกราฟฟีดแบครังสีเอ็กซ์ซึ่งตั้งอยู่ ณ จุดปลายของระบบลำเลียงแสง BL-6

BL-6 เป็นระบบลำเลียงแสงซินโครตรอนในย่านรังสีเอ็กซ์พลังงานต่ำ สำหรับกระบวนการประดิษฐ์โครงสร้างจุลภาคสัดส่วนสูง (high-aspect-ratio micromachining) และการอาบรังสีวัสดุ (Material X-Ray exposure) แสงซินโครตรอนที่เกิดจากการเลี้ยวเบนของอิเล็กตรอนพลังงานสูง ณ บริเวณแม่เหล็กโค้ง BM-6 ของเครื่องกำเนิดแสงสยาม ถูกลำเลียงไปใช้งานที่สถานีอาบรังสี (Exposure Station) โดยระบบลำเลียงแสง BL-6 การลำเลียงแสงเพื่อนำออกมายังงานดังกล่าว มีข้อพิจารณาสามประการคือ

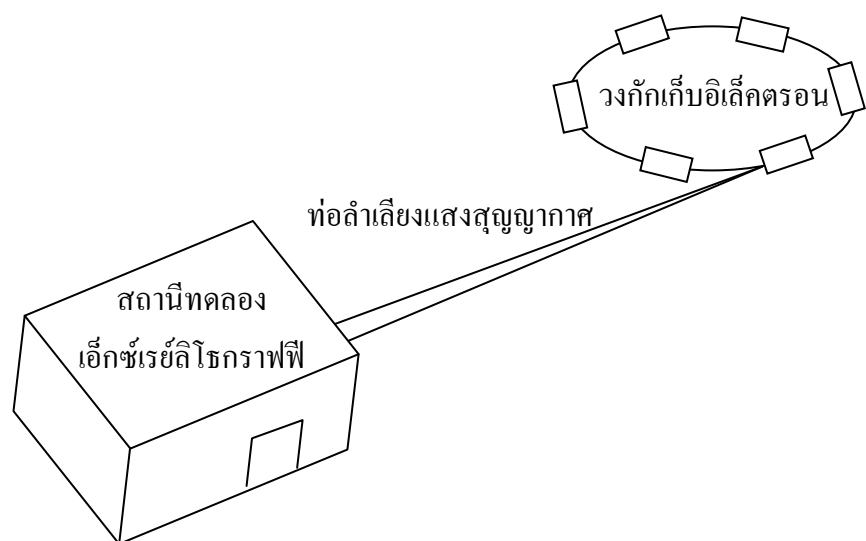
1. ตามปกติแล้วการอาบรังสีเอ็กซ์ลงบนวัสดุจะดำเนินการในบรรยากาศซึ่งมีความดันย่าน $10^{-2} - 10^{-4}$ ทอร์ร์ แต่เนื่องจากบรรยากาศในเครื่องกำเนิดแสงซินโครตรอน มีความดันเพียง $10^{-9} - 10^{-11}$ ทอร์ร์ ดังนั้นระบบลำเลียงแสงที่ใช้จะต้องมีส่วนที่แยกบรรยากาศที่แตกต่างกันมากดังกล่าวออกจากกัน

2. เนื่องจากแสงที่กำเนิดจากแม่เหล็ก BM-6 มีความยาวคลื่นในย่านกว้าง ดังนั้นจึงต้องทำการกรองแสงโดยการกันทางเดินของแสงด้วยหน้าต่างตัวกรองเบอริลเลียม (Beryllium window filter) ให้เหลือเฉพาะย่านแสงที่มีความยาวคลื่นในย่านที่ต้องการ ผ่านออกไปยังสถานีอาบรังสีได้

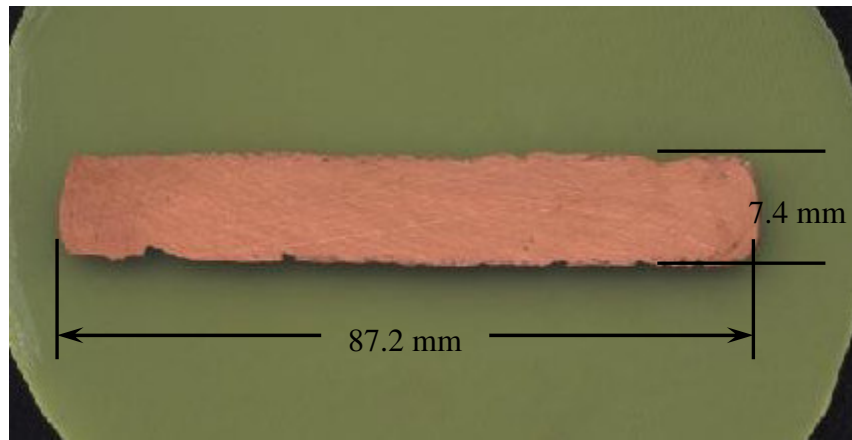
3. ลำแสงซินโครตรอนมีลักษณะเป็นแบบดูบแบบ ดังนั้นจึงต้องมีกลไกขับเคลื่อนวัสดุหรือชิ้นงาน ให้เคลื่อนที่ตัดผ่านแบบแสง จึงจะสามารถอาบรังสีเอ็กซ์ในบริเวณกว้างได้

โครงสร้างของระบบลำเลียงแสง BL-6 ได้รับการออกแบบโดยคำนึงถึงข้อพิจารณาสามประการ ข้างต้น ซึ่งแบ่งออกเป็นสามส่วน ได้แก่ ระบบลำเลียงแสงส่วนหน้า (Front-end) ระบบลำเลียงแสงในโถงทดลอง และระบบขับเคลื่อนชั้นงาน (X-Ray scanner)

ระบบลำเลียงแสง ณ Beamline 6 ของศูนย์ปฏิบัติการวิจัยเครื่องกำเนิดแสงซินโครตรอน แห่งชาตินี้ เป็นระบบที่นำแสงซินโครตรอนจากแหล่งกำเนิด เข้าไปยังห้องปฏิบัติการลิโซกราฟี ด้วยรังสีเอ็กซ์ ซึ่งเป็นห้องสะอาดที่บีบแสงที่ตั้งอยู่ ณ จุดปลายของแสงที่ลำเลียงออกไปทางกักเก็บ เพื่อที่จะนำแสงดังกล่าวไปใช้ต่อไป โดยที่ลักษณะการลำเลียงแสงจากระบบลำเลียงแสงส่วนหน้า (Front-end) ไปยังห้องสะอาดที่บีบแสงแสดงได้ดังรูปที่ 3.1

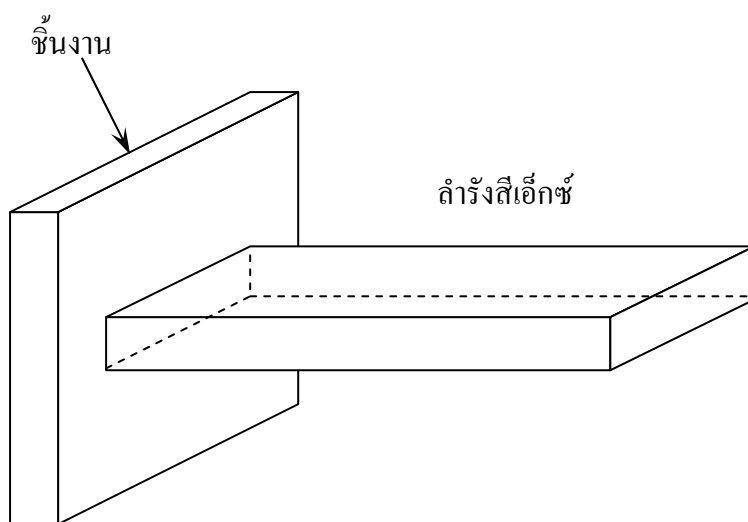


รูปที่ 3.1 การลำเลียงแสงจากระบบลำเลียงแสงส่วนหน้ามายังสถานีทดลองเอ็กซ์เรย์ลิโซกราฟี



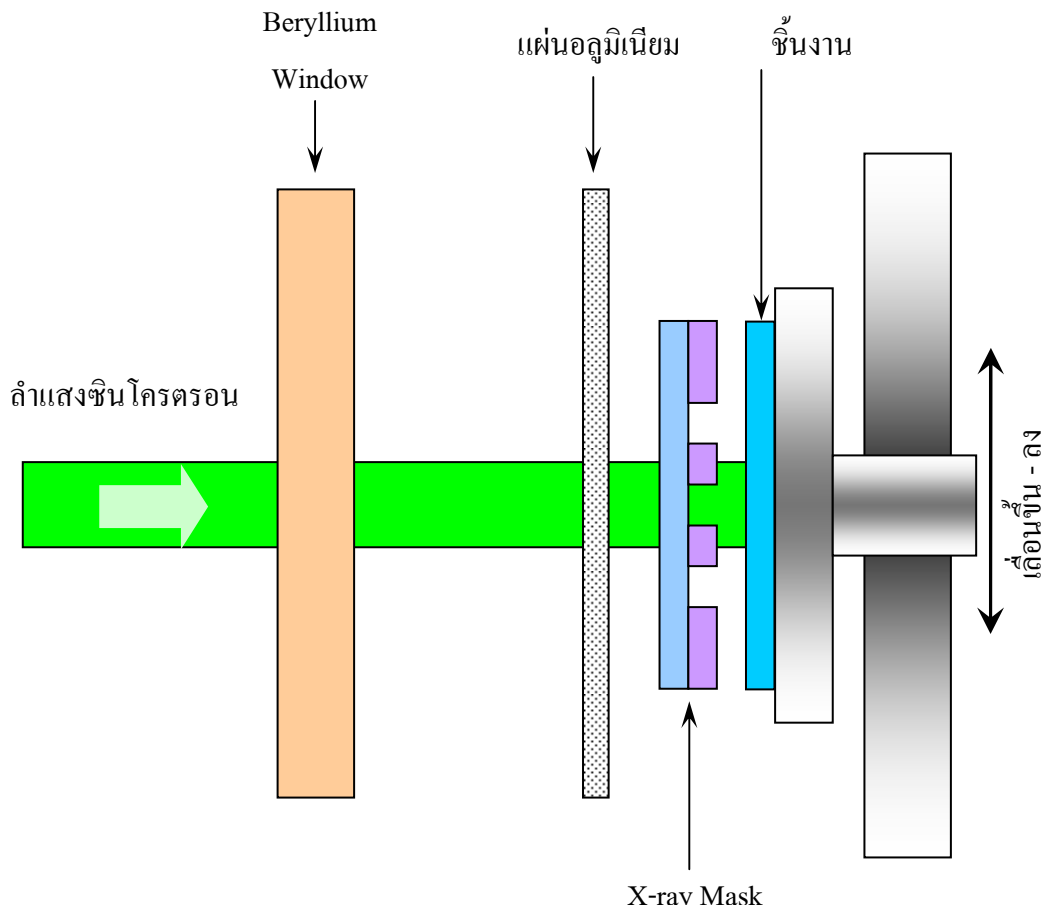
รูปที่ 3.2 ลักษณะและขนาดของลำรังสีเอ็กซ์จาก BL6

จากรูปที่ 3.2 จะเห็นว่าลำรังสีเอ็กซ์ที่ออกมาจากระบบลำเลียงแสงนั้นมีลักษณะแบนยาว โดยขนาดของลำรังสีเอ็กซ์นั้นมีขนาดความยาว 87.2 มิลลิเมตร และสูง 7.4 มิลลิเมตร ซึ่งในการฉายรังสีเอ็กซ์ลงบนชิ้นงานนั้น ขนาดของความกว้างของลำรังสีเอ็กซ์นั้นไม่เพียงพอที่จะฉายให้ทั่วทั้งชิ้นงานได้ ดังรูปที่ 3.3 ดังนั้นในกระบวนการการฉายแสงจึงต้องมีระบบแสงกันเพื่อให้สามารถฉายรังสีเอ็กซ์ให้ทั่วทั้งชิ้นงานได้ โดยการแสงกันนี้จะหัก回去จากขนาดของลำรังสีเอ็กซ์แล้วจะเห็นขนาดด้านความยาวของรังสีนั้นมีความยาวที่เพียงพอต่อความต้องการ แต่ขนาดความสูงนั้นค่อนข้างน้อยมาก และไม่เพียงพอที่จะฉายให้ทั่วชิ้นงาน ดังนั้นระบบสแกนจึงทำการสแกนชิ้นงานในลักษณะขึ้นลงเพื่อให้รับรังสีจนทั่วทั้งชิ้นงาน



รูปที่ 3.3 การตอกกระแทบทองรังสีเอ็กซ์ลงบนชิ้นงาน

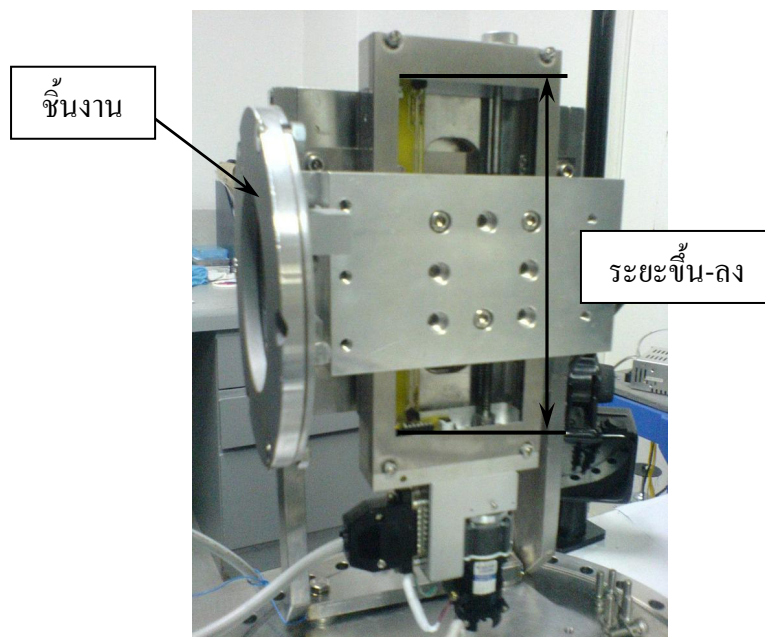
ภายในห้องทึบแสงซึ่งเป็นห้องปฏิบัติการลิโซกราฟีนั้น จะมีระบบขับเคลื่อนชิ้นงาน (scanner) ซึ่งเป็นระบบสำหรับการเลื่อนชิ้นงานเพื่อทำการอบรังสีเอกซ์ลงบนชิ้นงาน ซึ่งการเลื่อนชิ้นงานนั้นจะทำการเลื่อนในทิศทาง ขึ้น-ลง โดยอัตราการเลื่อน 100 มิลลิเมตร ใช้เวลา 2 นาที 2 วินาที หรืออัตราการเลื่อนขึ้น-ลง เท่ากับ 49.18 มิลลิเมตรต่อนาที ซึ่งอัตราการเลื่อนดังกล่าวนั้น เป็นตัวแปรที่สำคัญในการกำหนดค่าพลังงานรวมบนพื้นผิวชิ้นงานเมื่อทำการเลื่อนชิ้นงานเพื่ออบรังสีครบหนึ่งรอบ และการกำหนดพลังงานรวมทั้งหมดจะกำหนดจากจำนวนรอบในการเลื่อนชิ้นงานนั้นเอง โดยระบบขับเคลื่อนชิ้นงานนั้น เป็นระบบที่ทำการเลื่อนชิ้นงานในบรรยายกาศที่ความดันประมาณ 10^{-4} - 10^{-6} และสามารถกำหนดจำนวนรอบในการเลื่อนชิ้นงานได้ แต่ยังไม่สามารถกำหนดความเร็วในการเลื่อนชิ้นงานได้ โดยลักษณะการແສກนชิ้นงานและการติดตั้งชิ้นงานลงบนเครื่องสแกนเนอร์นั้น แสดงได้ดังรูปที่ 3.4 ทั้งนี้ระบบขับเคลื่อนชิ้นงานยังอยู่ระหว่างการพัฒนาเพื่อให้สามารถกำหนดค่าต่าง ๆ ได้ตรงตามต้องการ ภาพแสดงส่วนประกอบของระบบขับเคลื่อนชิ้นงานที่ติดตั้งอยู่ภายในห้องปฏิบัติการลิโซกราฟีนั้นแสดงได้ดังรูปที่ 3.5 – รูปที่ 3.6



รูปที่ 3.4 การติดตั้งชิ้นงานลงบนเครื่องสแกนเนอร์เพื่ออบรังสีเอกซ์



รูปที่ 3.5 ห้องสุญญากาศ ที่มีระบบขับเคลื่อนชิ้นงานอยู่ภายใน



รูปที่ 3.6 ระบบขับเคลื่อนชิ้นงานภายในห้องสุญญากาศ

และเนื่องจากจำแสงที่มาตกกระแทบยังชิ้นงานภายในห้องสุญญากาศนั้นมีลักษณะแบบยาวโดยขนาดของจำแสงนั้นมีขนาดความยาวประมาณ 87.2 มิลลิเมตร และความสูงประมาณ 7.4 มิลลิเมตร ดังนั้นชิ้นงานที่จะทำการอบรังสีนั้น ต้องมีขนาดความกว้างมากที่สุดประมาณ 80

มิลลิเมตร และขนาดความสูงมากที่สุดประมาณ 80 มิลลิเมตร เช่นเดียวกัน เนื่องจากถูกจำกัดไว้ด้วย ระยะในการขับเคลื่อนชิ้นงานนั้นเอง

เนื่องจากระบบขับเคลื่อนชิ้นงานนี้ การเลื่อนชิ้นงาน ขึ้น-ลง ค่อนข้างช้าส่งผลให้การ กำหนดค่าพลังงานรวมบนชิ้นงานจึงไม่สามารถกำหนดได้ละเอียดมากนัก ซึ่งจากการเร็วในการ เลื่อนชิ้นงานของระบบขับเคลื่อนชิ้นงานนี้ หากชิ้นงานมีขนาด 1 ตารางเซนติเมตร เวลาในการ เลื่อนชิ้นงานเพื่อ Abramst 1 รอบคือ 0.21 นาที และหากจะนับพลังงานของรังสีภายในวงกัดเก็บมี ค่า 40.00 mA จะได้พลังงานรวมใน 1 รอบเท่ากับ $8.33 \text{ mA}.\text{min}/\text{cm}$ จากค่าดังกล่าวจะเห็นว่า หาก ต้องการพลังงานรวมเท่ากับ $30 \text{ mA}.\text{min}/\text{cm}$ จะไม่สามารถทำได้ ซึ่งหากเลื่อนชิ้นงาน 3 รอบจะได้ พลังงานรวมเท่ากับ $24.99 \text{ mA}.\text{min}/\text{cm}$ หรือหากเลื่อนชิ้นงานจำนวน 4 รอบ จะได้พลังงานรวม เท่ากับ $33.32 \text{ mA}.\text{min}/\text{cm}$ ซึ่งระบบขับเคลื่อนชิ้นงานดังกล่าวยังอยู่ในระหว่างการพัฒนาปรับปรุง และอาจควบคุมพร่องของระบบ เพื่อให้สามารถทำงานได้ตรงตามความต้องการมากที่สุด

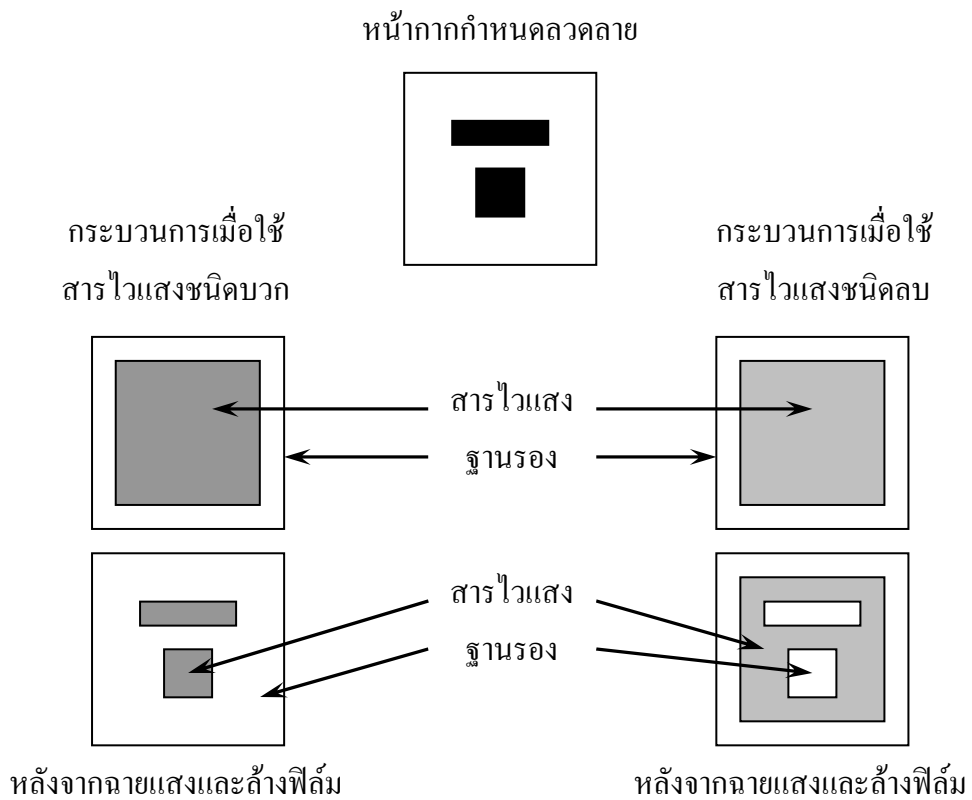
บทที่ 4

การลิโซกราฟีด้วยรังสีเอ็กซ์

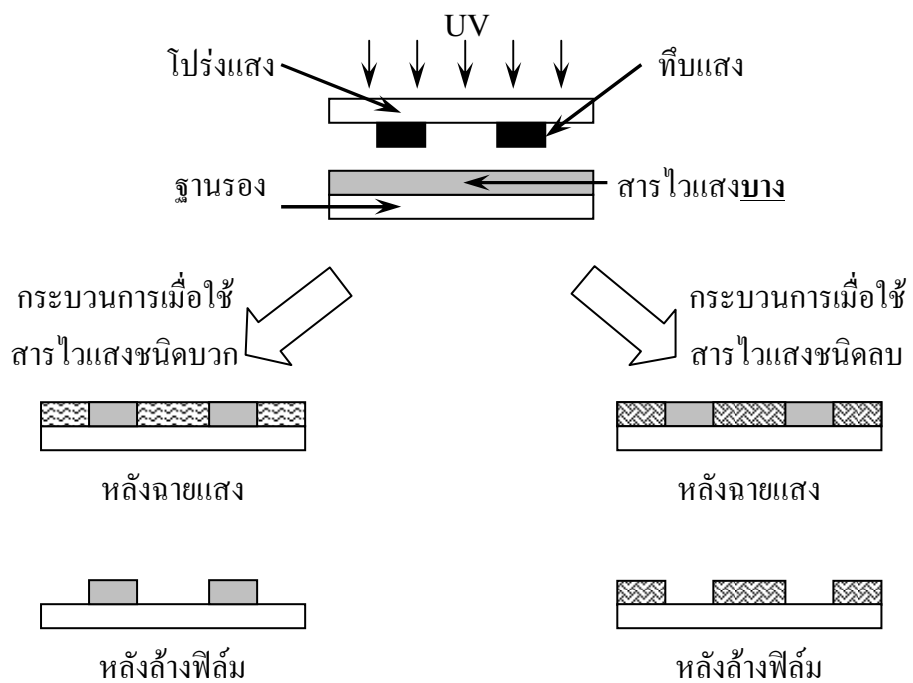
ในกระบวนการการลิโซกราฟีด้วยรังสีเอ็กซ์นั้น รังสีเอ็กซ์ที่จะนำมาทำการฉายลงบนชิ้นงาน จะใช้แสงที่ทำการลำเลียงจากวงกัดเก็บอิเล็กตรอน ณ ระบบลำเลียงแสง BL-6 ของศูนย์ปฏิบัติการวิจัยเครื่องกำเนิดแสงซินโครตรอนแห่งชาติ ซึ่งได้กล่าวมาแล้วจากบทที่ 3 ในกระบวนการการลิโซกราฟีด้วยรังสีเอ็กซ์ สามารถสร้างชิ้นงานที่มีสัดส่วนความสูงต่อกว้างมาก ๆ (High-aspect-ratio) ได้ ซึ่งเป็นประโยชน์อย่างมากในการสร้างชิ้นงานทางด้านระบบกลไฟฟ้าจุลภาค (Micro-electro-mechanical System : MEMS) เนื่องจากในอุปกรณ์จุลภาคหลายชนิด เมื่อเราสามารถเพิ่มความสูงขึ้นได้ จะทำให้สามารถเพิ่มประสิทธิภาพการทำงานของอุปกรณ์ได้ เช่นเดียวกัน

4.1 กระบวนการลิโซกราฟี

กระบวนการลิโซกราฟี หมายถึงการใช้กระบวนการการทำงานเคมีในการถอดแบบลวดลายจากลวดลายต้นแบบที่เป็นลายเส้นทึบแสงลงบนพื้นผิวเรียบ ซึ่งอาจเป็นการสร้างลวดลายลงบนกระดาษหรือวัสดุอื่น ๆ โดยวัสดุดังกล่าวต้องมีลักษณะพื้นผิวที่เรียบ ในการถอดแบบนั้นจะใช้สารเคมีที่มีคุณสมบัติทางกายภาพ เปลี่ยนแปลงไปเมื่อมีแสงมาตلامะทัน เรียกว่าสารดังกล่าวว่าสารไวแสง (Photoresist) สารไวแสงสามารถจำแนกออกได้เป็นสองชนิด คือ สารไวแสงชนิดบวก (Positive-tone photoresist) และสารไวแสงชนิดลบ (Negative-tone photoresist) ซึ่งสารไวแสงทั้งสองชนิดนั้น เมื่อมีแสงมาตلامะทันจะทำให้คุณสมบัติทางกายภาพของสารเปลี่ยนไป ในลักษณะที่แตกต่างกัน โดยสารไวแสงชนิดบวกนั้น บริเวณที่มีแสงมาตلامะทันจะสามารถล้างออกได้ด้วยน้ำยาดีเซลอปเปอร์ เหลือไวไฟและบริเวณที่ไม่มีแสงมาตلامะทันเท่านั้น ส่วนสารไวแสงชนิดลบนั้น บริเวณที่ไม่มีแสงมาตلامะทันจะสามารถล้างออกได้ด้วยน้ำยาดีเซลอปเปอร์ เหลือไวไฟและบริเวณที่มีแสงมาตلامะทันเท่านั้น โดยแสงที่ใช้ในการฉายลงบนสารไวแสงนั้น จะอยู่ในย่านแสงอัลตราไวโอเลต (Ultra-violet : UV) ซึ่งจากคุณสมบัติของสารทั้งสองชนิด เมื่อต้องการถอดแบบลวดลายจึงสามารถทำลวดลายที่แตกต่างกันได้สองลักษณะ ขึ้นอยู่กับการเลือกชนิดของสารไวแสงที่ใช้ในกระบวนการการลิโซกราฟีนั้นเอง กระบวนการลิโซกราฟีทั้งกระบวนการ การโดยสั่งเขป แสดงได้ดังรูปที่ 4.1 และรูปที่ 4.2 ซึ่งทั้งสองรูปจะเป็นการเปรียบเทียบให้เห็นข้อแตกต่างระหว่างการใช้สารไวชนิดบวก และการใช้สารไวแสงชนิดลบ

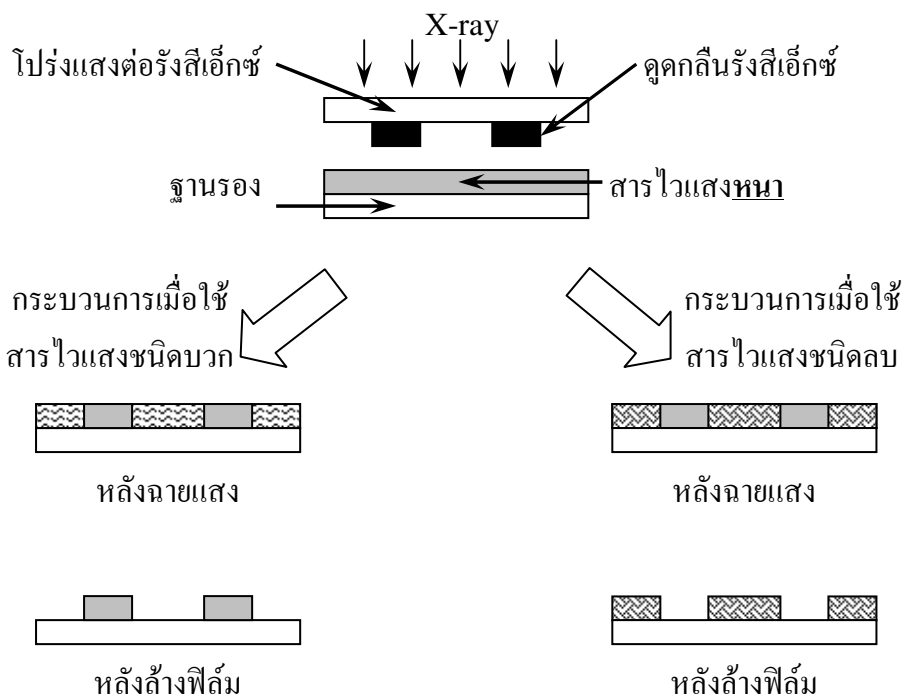


รูปที่ 4.1 การถอดแบบลวดลายด้วยกระบวนการลิโซกราฟี



รูปที่ 4.2 ภาพตัดขวางการถอดแบบลวดลายด้วยกระบวนการลิโซกราฟี

วิธีการลิโซกราฟด้วยรังสีเอ็กซ์นั้น จะเป็นกระบวนการในลักษณะเดียวกันกับกระบวนการการลิโซกราฟที่ได้ก่อขึ้นมาข้างต้น แตกต่างกันตรงที่นำแสงในย่ามรังสีเอ็กซ์ มาใช้แทนแสงในย่าม แสงอัลตราไวโอเลต ซึ่งจากคุณสมบัติของรังสีเอ็กซ์ที่มีพลังงานสูง ทำให้สามารถสร้าง漉漉ลายสามมิติได้ ก่อขึ้นมา สามารถเคลือบสารไวแสงให้มีความหนาเกิน 1 มิลลิเมตรได้ ซึ่งด้วยข้อดีดังกล่าว จึงสามารถใช้กระบวนการลิโซกราฟด้วยรังสีเอ็กซ์มาสร้างชิ้นงานทางด้านระบบกลไฟฟ้าจุลภาคที่มีสัดส่วนความสูงต่อกำลังมาก ๆ ได้ รูปที่ 4.3 แสดงกระบวนการลิโซกราฟด้วยรังสีเอ็กซ์โดยสังเขป

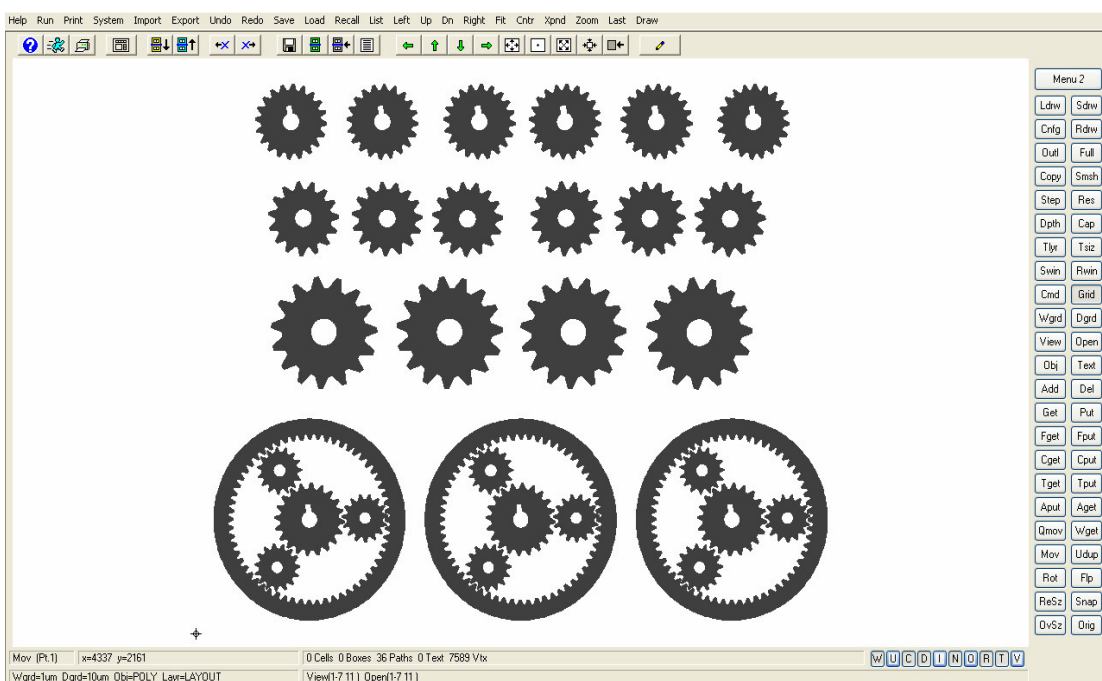


รูปที่ 4.3 ภาพตัดขวางการถอดแบบ漉漉ลายด้วยกระบวนการลิโซกราฟด้วยรังสีเอ็กซ์

ในการกระบวนการลิโซกราฟด้วยรังสีเอ็กซ์นั้น สิ่งหนึ่งที่มีความสำคัญต่อกระบวนการอย่างมากคือ หน้ากากกันรังสีเอ็กซ์ ซึ่งจะทำงานเป็น漉漉ลายต้นแบบนั่นเอง ในกรณีการลิโซกราฟด้วยแสงอัลตราไวโอเลตนั้น漉漉ลายต้นแบบหรือหน้ากากกันแสงนั้น จะเป็น漉漉ลายที่อยู่ในรูปของหมึกทึบแสงที่เป็น漉漉ลายบนวัสดุ โปร่งแสง อาจจะเป็น漉漉ลายบนแผ่นใสหรือบนกระจก แต่ในกรณีของหน้ากากกันรังสีเอ็กซ์นั้น漉漉ลายจะอยู่ในรูปของวัสดุที่ดูดกลีนรังสีเอ็กซ์ได้ดีเป็น漉漉ลายอยู่บนวัสดุที่ความโปร่งแสงได้ดี ซึ่งหน้ากากกันรังสีเอ็กซ์ส่วนใหญ่แล้ว จะใช้ทองคำที่มีคุณสมบัติดูดกลีนรังสีเอ็กซ์ได้ดี เป็น漉漉ลายอยู่บนแผ่นกราไฟต์บาง ซึ่งในหัวข้อต่อ ๆ ไป จะได้ก่อขึ้นถึงกระบวนการลิโซกราฟด้วยรังสีเอ็กซ์โดยละเอียด

4.2 การออกแบบลวดลาย

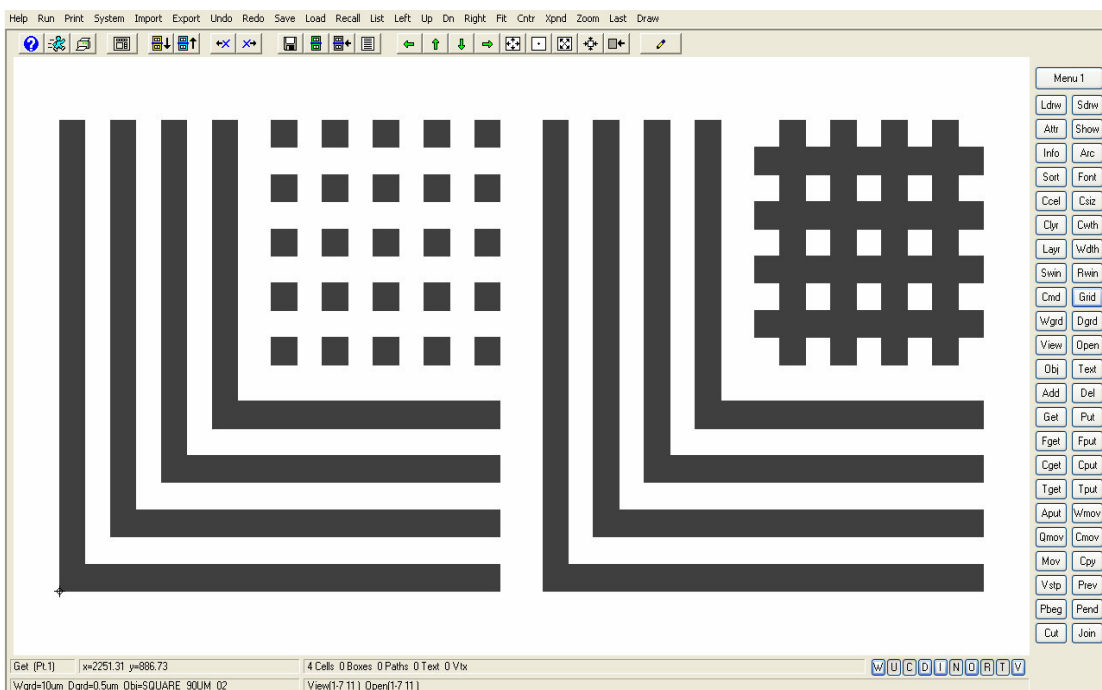
ขั้นตอนแรกสุดนี้จะเป็นการออกแบบลวดลาย ที่จะนำมาทดสอบกระบวนการลิโซกราฟี ด้วยรังสีเอ็กซ์ทั้งหมด ซึ่งลวดลายที่ทำการออกแบบนี้เองที่จะถูกนำไปสร้างเป็นหน้ากากกันรังสีเอ็กซ์ โดยการออกแบบลวดลายดังกล่าวจะเป็นลวดลายที่มีรายละเอียดในระดับไมโครเมตร และในการออกแบบนี้ จะใช้โปรแกรมคอมพิวเตอร์ชื่อ LASI ในกระบวนการตรวจสอบลวดลาย ซึ่งโปรแกรมดังกล่าวเป็นโปรแกรมที่มีความสามารถในการออกแบบลวดลายต่าง ๆ ที่มีความละเอียดของลวดลายในระดับไมโครเมตรได้ โดยลวดลายที่จะนำมาใช้ในการทดสอบกระบวนการนี้ จะใช้ลวดลายที่เป็นรูปเพื่องที่เมื่อสร้างเสร็จสามารถนำไปประยุกต์ใช้งานได้จริง และรูปแบบแห่งกลไกพันธ์ ที่มีทั้งส่วนสำหรับทดสอบบริเวณที่เป็นแท่ง และส่วนที่ใช้ทดสอบบริเวณที่เป็นหลุมในลวดลาย ลวดลายทั้งสองแบบแสดงได้ดังรูปที่ 4.4 และรูปที่ 4.5



รูปที่ 4.4 ลวดลายเพื่อที่ออกแบบบนโปรแกรม LASI โดยขนาดเส้นผ่าศูนย์กลางของเพื่องตัวบันสุด มีขนาด 370 ไมโครเมตร

เพื่อที่จะให้ลวดลายดังกล่าวเป็นฟิล์มที่สามารถถูกแสงได้นั้น เมื่อทำการออกแบบลวดลายที่ต้องการเสร็จแล้ว จะทำการนำลวดลายที่ออกแบบส่งไปสร้างเป็นลวดลายด้วยหมึกคำทึบแสงลงบนแผ่นใสหรือกระดาษ และลวดลายที่สร้างเสร็จแล้วนั้น จะสามารถนำมาใช้เป็นหน้ากากกันแสงอัลตราไวโอเลตในกระบวนการลิโซกราฟีได้ โดยรูปที่ 4.6 และรูปที่ 4.7 แสดงฟิล์มทึบแสงที่

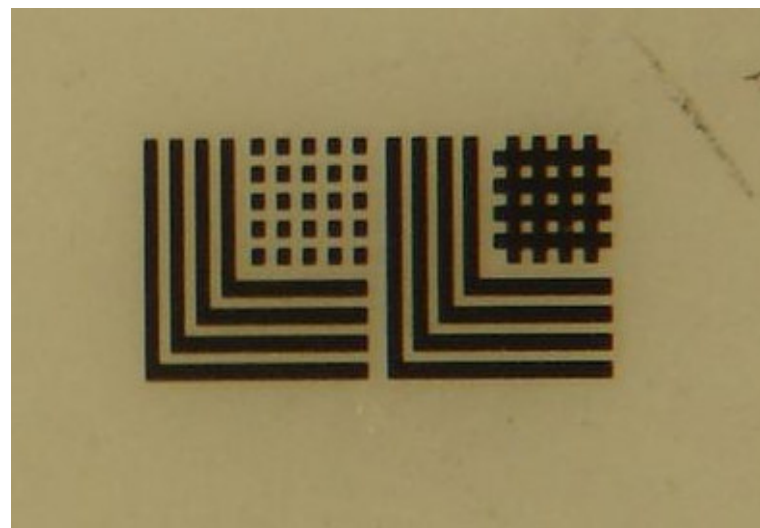
สร้างลวดลายด้วยหมึกคำทึบแสงลงบนแผ่นใส ซึ่งจะนำไปใช้เป็นหน้ากากกันแสงในกระบวนการผลิติ่อกราฟฟิคต่อไป



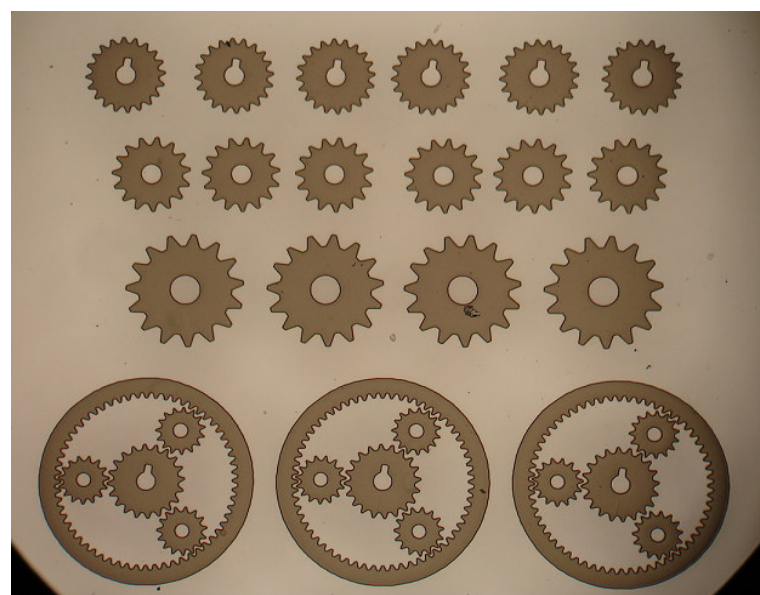
รูปที่ 4.5 ลวดลายแท่งทดสอบที่ออกแบบบนโปรแกรม LASI โดยขนาดของแท่งแต่ละอันกว้างเท่า ๆ กัน แท่งละ 60 ไมโครเมตร

เพื่อที่จะให้ลวดลายดังกล่าวเป็นพิล์มที่สามารถกันแสงได้นั้น เมื่อทำการออกแบบลวดลายที่ต้องการเสร็จแล้ว จะทำการนำลวดลายที่ออกแบบส่งไปสร้างเป็นลวดลายด้วยหมึกคำทึบแสงลงบนแผ่นใสหรือกระดาษ และลวดลายที่สร้างเสร็จแล้วนั้น จะสามารถนำมาใช้เป็นหน้ากากกันแสงขัดตราไว้โดยเด่นกระบวนการผลิติ่อกราฟฟิคได้ โดยรูปที่ 4.6 และรูปที่ 4.7 แสดงพิล์มทึบแสงที่สร้างลวดลายด้วยหมึกคำทึบแสงลงบนแผ่นใส ซึ่งจะนำไปใช้เป็นหน้ากากกันแสงในกระบวนการผลิติ่อกราฟฟิคต่อไป

จากการบันการที่ได้กล่าวมาข้างต้น และหน้ากากกันแสงที่ได้สร้างขึ้นนั้นจะเห็นว่าหน้ากากกันแสงที่ได้มานั้น ไม่สามารถนำมาใช้ในกระบวนการผลิติ่อกราฟฟิคด้วยรังสีเอ็กซ์ได้เนื่องจากไม่สามารถนำมาใช้เป็นหน้ากากกันรังสีเอ็กซ์ได้ ดังนั้นขั้นตอนต่อไป จะเป็นขั้นตอนสำหรับการนำลวดลายที่สร้างเป็นหน้ากากกันแสงเสร็จแล้วนั้น มาสร้างเป็นหน้ากากกันรังสีเอ็กซ์โดยในกระบวนการสร้างหน้ากากกันรังสีเอ็กซ์นั้น จะสร้างจากกระบวนการผลิติ่อกราฟฟิคด้วยแสงอัลตราไวโอเลต



รูปที่ 4.6 ลวดลายแท่งทดสอบที่สร้างจากหมึกดำทึบแสงบนแผ่นใส



รูปที่ 4.7 ลวดลายพื้นที่สร้างจากหมึกดำทึบแสงบนกระดาษใส

4.3 การสร้างหน้ากากกันรังสีเอ็กซ์

หน้ากากกันรังสีเอ็กซ์ ถือได้ว่าเป็นอุปกรณ์ที่สำคัญ ในกระบวนการผลิตภาพฟิล์มด้วยรังสีเอ็กซ์ เนื่องจากเป็นอุปกรณ์หลักในการกำหนดลวดลายของชิ้นงานที่จะทำการสร้างขึ้น ในขั้นตอนการสร้างหน้ากากกันรังสีเอ็กซ์นั้น จะเป็นขั้นตอนการออกแบบลวดลายที่ได้มามีอยู่ในรูปของพิมพ์ทึบแสงที่สามารถกันแสงในย่านแสงอัลตราไวโอเลตได้ ให้กลไกมาเป็นหน้ากากที่สามารถกัน

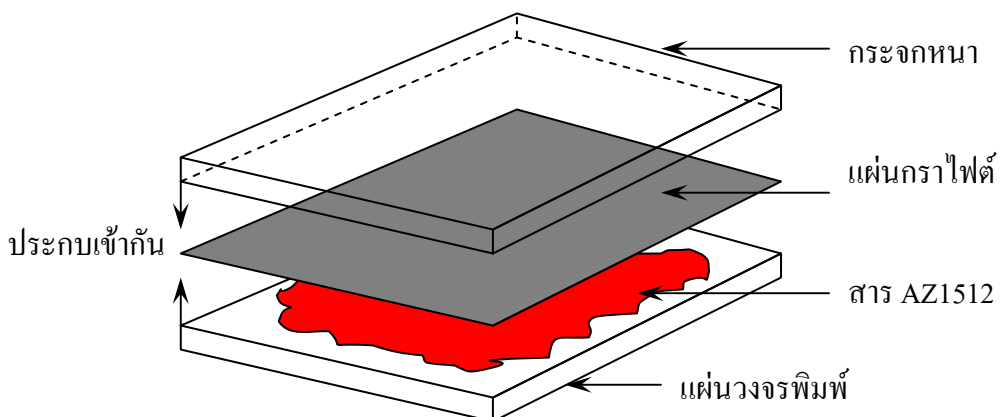
รังสีเอ็กซ์ได้ ในขั้นตอนดังกล่าวสามารถกำหนดคลาดสายที่ออกมายได้ด้วยการเลือกชนิดของสารไว้แสงที่จะใช้ในกระบวนการ โดยหากต้องการให้คลาดสายในบริเวณที่เคยโปรด়รังสีแล้วให้เปลี่ยนบริเวณที่รังสีเอ็กซ์สามารถทะลุผ่านได้ และให้คลาดสายในบริเวณที่เคยทึบแสงให้เปลี่ยนบริเวณที่รังสีเอ็กซ์ไม่สามารถทะลุผ่านได้ จะเลือกใช้สารไว้แสงชนิดลบ หรือหากต้องการให้คลาดสายในบริเวณที่เคยโปรด়รังสีแล้วให้เปลี่ยนบริเวณที่รังสีเอ็กซ์ไม่สามารถทะลุผ่านได้ และให้คลาดสายในบริเวณที่เคยทึบแสงให้เปลี่ยนบริเวณที่รังสีเอ็กซ์สามารถทะลุผ่านได้แล้ว จะเลือกใช้สารไว้แสงชนิดบวก และขั้นตอนดังกล่าวนี้จะใช้กระบวนการผลิตกราฟฟิคด้วยแสงอัลตราไวโอเลตในการถอดแบบ เช่นเดียวกับฐานของหน้ากันแสงที่ใช้กระบวนการผลิตกราฟฟิคด้วยแสงในย่านรังสีเอ็กซ์ก็จะเป็นวัสดุที่สามารถมองเห็นได้สามารถทะลุผ่านกระจกได้ ดังนั้นฐานของหน้ากากกันรังสีเอ็กซ์ก็จะเป็นวัสดุที่รังสีเอ็กซ์สามารถทะลุผ่านได้ดี โดยทั่วไปแล้วจะใช้วัสดุที่มีเลขอะตอมน้อย เช่น เบอริลเลียม, คาร์บอน และโพลีอิโนด เป็นต้น ซึ่งจะใช้ฐานรองที่ความหนาในย่าน 50 – 1,000 ไมโครเมตร และส่วนทึบแสงต่อรังสีเอ็กซ์นั้นโดยทั่วไปใช้วัสดุที่มีเลขอะตอมสูง และโดยทั่วไปใช้ทองคำซึ่งมีเลขอะตอม 79 โดยมีความหนาไม่ถึง 10 ไมโครเมตร เมื่อใช้ร่วมกับไฟต่อนในย่านรังสีเอ็กซ์พัลจังงานต่ำ ในช่วง 1 ถึง 4 keV โดยในการสร้างหน้ากากกันรังสีเอ็กซ์ในงานวิจัยนี้ใช้ฐานรองเป็นกราไฟต์ (graphite) ซึ่งเป็นวัสดุในพาก Carbon และใช้คู่กับวัสดุทึบแสงต่อรังสีเอ็กซ์ซึ่งในงานวิจัยนี้ใช้โลหะเงิน ซึ่งเป็นวัสดุที่มีเลขอะตอม 47 และสารไว้แสงในกระบวนการถอดแบบใช้สารไว้แสง SU-8 ซึ่งเป็นสารไว้แสงชนิดลบ โดยขั้นตอนในการถอดแบบมีดังนี้

4.3.1 การเตรียมชิ้นงานสร้างหน้ากากกันรังสีเอ็กซ์

วัสดุที่จะนำมาใช้เป็นหน้ากากกันรังสีเอ็กซ์นั้น เลือกใช้แผ่นกราไฟต์บางที่มีความหนาของแผ่น 150 ไมโครเมตร ซึ่งในกระบวนการผลิตกราฟฟิคด้วยรังสีเอ็กซ์นั้น แผ่นกราไฟต์บางถือว่าเป็นวัสดุที่ได้รับความนิยมในการนำมาทำเป็นแผ่นฐานรองของหน้ากากกันรังสีเอ็กซ์ เนื่องจากคุณสมบัติที่ยอมให้รังสีเอ็กซ์ทะลุผ่านได้ดี ทนความร้อนได้สูง ทึบแสงมีราคาที่ไม่สูงมาก โดยก่อนที่จะนำแผ่นกราไฟต์บางมาใช้งานนั้น ต้องทำการล้างสิ่งสกปรกที่ติดอยู่บนผิวของแผ่นกราไฟต์ออก ให้หมดเสียก่อน เนื่องจากคลาดสายที่จะสร้างนั้นมีขนาดที่เล็กมาก ตั้งน้ำหนักมีทราบหรือผู้คนที่ชี้น้ำ จะส่งผลกระทบอย่างมากต่อการสร้างชิ้นงาน หรืออาจทำให้ชิ้นงานเสียหายได้ แผ่นกราไฟต์บางที่นำมาใช้นั้นจะก่อข้อจำกัดต่อการใช้งาน เนื่องจากมีความบางมากจึงเปราะและแตกหักง่าย ดังนั้นก่อนที่จะนำมาใช้งาน จึงต้องทำการติดแผ่นกราไฟต์ลงบนแผ่นวงจรพิมพ์ (Printed-circuit board : PCB) เพื่อให้ง่ายต่อการใช้งานและลดอัตราเสียหายจากการแตกหักเสียหาย โดยในการติดแผ่นกราไฟต์ลงบนแผ่นวงจรพิมพ์นั้นเลือกใช้สารไว้แสงชนิดบวกเบอร์ AZ1512 ให้ทำหน้าที่เสมือนการในการขีดระหัวงแหน่งกราไฟต์กับแผ่นวงจรพิมพ์ เนื่องจากติดก่อนข้างดีและเป็น

สารที่ไม่เข้มข้นมากนัก จึงสามารถติดได้ทั่วทั้งแผ่น ห้องสามารถล้างออกได้โดยง่ายด้วยอาซิโตน (Acetone) เมื่อต้องการให้แผ่นกราไฟต์หลุดออกจากแผ่นวงจรพิมพ์ภายในห้องกระบวนการเสร็จสิ้น

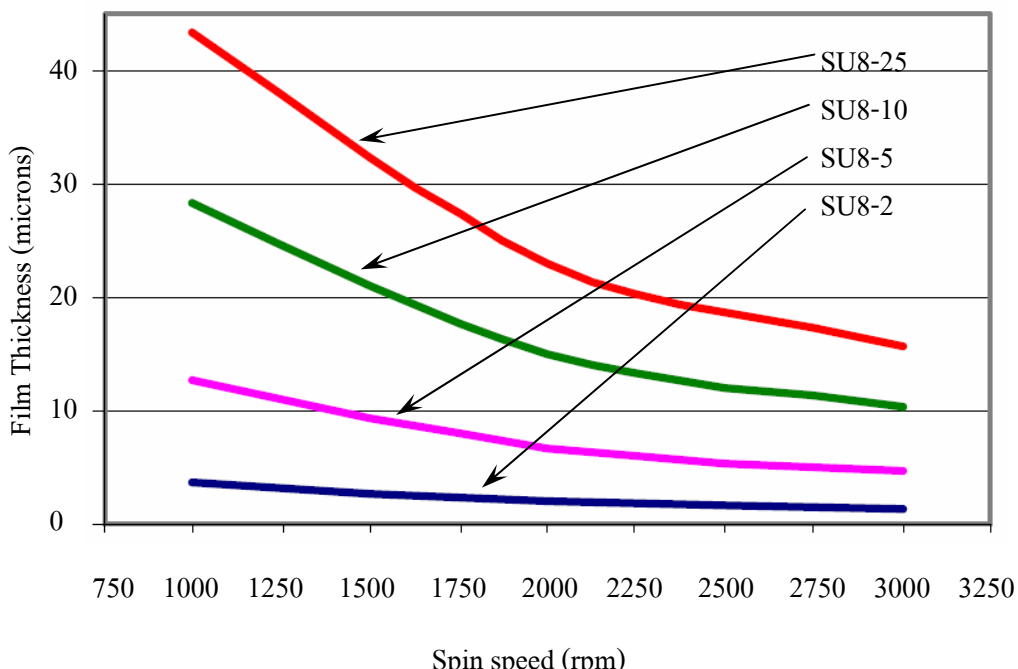
ก่อนทำการเคลือบสารเคมีได ๆ ลงไปบนแผ่นกราไฟต์หรือติดแผ่นกราไฟต์ลงบนแผ่นวงจรพิมพ์นั้น ต้องทำการทำความสะอาดแผ่นกราไฟต์ให้สะอาดก่อน โดยการล้างด้วยอาซิโตน หลังจากนั้น ล้างต่อด้วย IPA (isopropyl alcohol) ในทันที ตอกน้ำในน้ำปั่นๆ ด้วย DI water ก่อนจะนำเข้าไปในเครื่องอัลตร้าโซนิก (Ultrasonic) เพื่อให้กราฟฟิคหลุดออกจากแผ่น เนื่องจากน้ำดีอาจทำให้กราฟฟิคหลุดออกมา หลังจากนั้นเป่าให้แห้งด้วยแก๊สไนโตรเจน (Nitrogen) แล้วอบในเตาอบที่อุณหภูมิ 95 องศาเซลเซียส เป็นเวลา 3 ชั่วโมงเป็นอย่างน้อย เพื่อให้แผ่นกราไฟต์แห้งสนิท เนื่องจากแผ่นกราไฟต์นั้นจะมีรูพรุนขนาดเล็กค่อนข้างมาก ดังนั้นจึงจำเป็นต้องทำการอบในเวลาค่อนข้างนานเพื่อให้แน่ใจว่าไม่มีของเหลวใด ๆ ตกค้างอยู่ในรูพรุนของแผ่นกราไฟต์ เมื่อทำการทำความสะอาดและอบชิ้นงานเป็นที่เรียบร้อยแล้วจึงนำแผ่นกราไฟต์ดังกล่าวมาติดลงบนแผ่นวงจรพิมพ์ ที่ทำการเคลือบสารเคมีแล้ว เช่นเดียวกัน โดยกระบวนการหลังจากนี้ จะเป็นกระบวนการที่ทำในห้องทึบแสงตลอดกระบวนการ ขั้นตอนในการติดแผ่นกราไฟต์ลงบนแผ่นวงจรพิมพ์นั้น จะทำการเคลือบสารไวแสง AZP1512 ลงบนแผ่นวงจรพิมพ์ ให้ทั่วทั้งแผ่น แล้วนำแผ่นกราไฟต์มาวางลงไว้เบ้า ๆ จากนั้นนำแผ่นกระดาษที่ทำการเคลือบไว้แล้วมาวางทับบนแผ่นกราไฟต์เพื่อให้แผ่นกราไฟต์แนบกับแผ่นวงจรพิมพ์จนสนิท ดังแสดงในรูปที่ 4.8 ก่อนจะทำการอบให้สารไวแสง AZP1512 แห้ง โดยการอบในเตาอบที่อุณหภูมิ 65 องศาเซลเซียส เป็นเวลา 5 นาที จากนั้นจึงทำการเพิ่มอุณหภูมิในเตาอบให้เพิ่มขึ้นและค้างไว้ในเตาอบที่อุณหภูมิ 95 องศาเซลเซียส เป็นเวลา 15 นาที แล้วปล่อยอุณหภูมิลดลงจนถึงอุณหภูมิห้องอย่างช้า ๆ เพื่อป้องกันการโก่งตัวของชิ้นงาน เมื่อทำการติดแผ่นกราไฟต์ลงบนแผ่นวงจรพิมพ์ จนพร้อมใช้งานแล้ว ขั้นตอนต่อไปจะเป็นขั้นตอนในการเคลือบสารไวแสงลงไว้บนแผ่นกราไฟต์ ซึ่งติดแน่นอยู่บนแผ่นวงจรพิมพ์



รูปที่ 4.8 การติดแผ่นกราไฟต์บางลงบนแผ่นวงจรพิมพ์

4.3.2 การเคลือบสารไวแสงลงบนหน้ากากกันรังสีเอ็กซ์

สำหรับการเคลือบสารไวแสงลงไปบนแผ่นชิ้นงานซึ่งเป็นแผ่นกราไฟต์นั้น สารไวแสงที่จะนำมาเคลือบนั้น จะอยู่ในรูปของเหลว จึงจะใช้วิธีการหมุนเคลือบ (Spin coating) ลงไปบนแผ่นกราไฟต์ และสารไวแสงที่เลือกใช้นั้น จะใช้สาร SU-8 เบอร์ 25 ซึ่งเป็นสารไวแสงชนิดลบ และโดยตามคุณสมบัติของสารไวแสงเบอร์ดังกล่าว เมื่อเคลือบลงไปบนชิ้นงานสามารถควบคุมความหนาของฟิล์มได้ที่ความหนาประมาณ 15 ถึง 45 ไมโครเมตร ซึ่งในการสร้างหน้ากากกันรังสีเอ็กซ์นั้น จะใช้ความหนาที่ประมาณ 25 ไมโครเมตร จากรูปที่ 4.9 จะเห็นว่า ในการในสารไวแสง SU-8 เบอร์ 25 นั้น ถ้าต้องการความหนา 25 ไมโครเมตร ต้องทำการหมุนเคลือบที่ประมาณ 2,000 รอบต่อนาที ด้วยเครื่องหมุนเคลือบยี่ห้อ Laurell รุ่น WS-400B-6NPP/LIT ของศูนย์ปฏิบัติการวิจัยเครื่องกำเนิดแสงซินโครตรอนแห่งชาติ

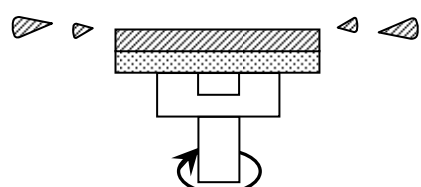
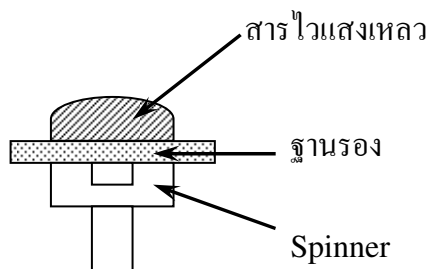


รูปที่ 4.9 กราฟคุณสมบัติของสารไวแสง SU-8 สำหรับเบอร์ที่ให้ความหนาไม่เกิน 50 ไมโครเมตร โดยเปรียบเทียบระหว่างความเร็วในการหมุนเคลือบกับความหนาของฟิล์มที่ได้ (ข้อมูลจากบริษัท MicroChem Corp. ผู้ผลิตสารไวแสง SU-8)

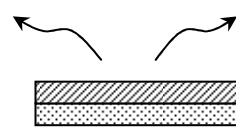
ขั้นตอนในการเคลือบสารไวแสงนั้น ขั้นแรกนำแผ่นกราไฟต์ที่ติดบนแผ่นวงจรพิมพ์เรียบร้อยแล้ว วางบนเครื่องหมุนเคลือบแล้วทำการหยดสารไวแสงลงไปจนทั่ว โดยเน้นให้สารไวแสงอยู่บริเวณกลางชิ้นงาน ซึ่งบริเวณดังกล่าวจะเป็นจุดศูนย์กลางการหมุนของชิ้นงาน ตั้งค่า

การหมุนของเครื่องไว้เป็นสองขั้น ขั้นแรกตั้งค่าให้เครื่องหมุนที่ความเร็ว 500 รอบต่อนาที เป็นเวลา 5 วินาที แล้วขั้นที่สองจึงตั้งค่าให้เครื่องหมุนที่ความเร็วที่ต้องการนั้นคือ 2,000 รอบต่อนาที เป็นเวลาทั้งสิ้น 30 วินาที ลักษณะการทำงานของเครื่องหมุนเคลือบ แสดงได้ดังรูปที่ 4.10 โดยเมื่อเครื่องทำงานเสร็จสิ้น สารไวแสงจะเคลือบอยู่บนชิ้นงานจนทั่วด้วยความหนาที่ต้องการ แต่สารไวแสงยังคงอยู่ในสถานะของเหลว

เมื่อทำการเคลือบสารไวแสงลงบนแผ่นกราไฟต์แล้ว หลังจากนั้นนำแผ่นกราไฟต์ออกจากเครื่องหมุนเคลือบมาวางบนแผ่นความร้อน (Hot plate) ที่ทำการปรับระดับให้ได้แนวระนาบที่อุณหภูมิ 65 องศาเซลเซียส เป็นเวลา 3 นาที เมื่อครบเวลาที่กำหนด ทำการเพิ่มอุณหภูมิของแผ่นความร้อนขึ้นในอัตรา 2 องศาเซลเซียสต่อนาที จนอุณหภูมิถึง 95 องศาเซลเซียส แล้วค้างไว้ที่ 95 องศาเซลเซียส เป็นเวลา 7 นาที จึงทำการปิดการทำงานของแผ่นความร้อน แล้วปล่อยให้อุณหภูมิของแผ่นความร้อนลดลงด้วยตัวเองจนถึงอุณหภูมิห้อง และเมื่ออุณหภูมิลดลงจนถึงอุณหภูมิห้อง จะได้แผ่นกราไฟต์ที่เคลือบสารไวแสงพร้อมใช้งานต่อไป



กำหนดความหนาโดยการหมุน



甩出หมายเหตุ

รูปที่ 4.10 การทำงานของเครื่องหมุนเคลือบสาร (Spinner)

ปัจจัยในการกำหนดความหนาของสาร ไวแสงในการหมุนเคลือบบันน์ มีด้วยกันสองปัจจัย หลักคือ ความหนาของสาร ไวแสง และความเร็วรอบในการหมุนเคลือบ โดยหนาสุดที่ขึ้นจาก การหมุนเคลือบสามารถอธิบายได้ดังสมการ

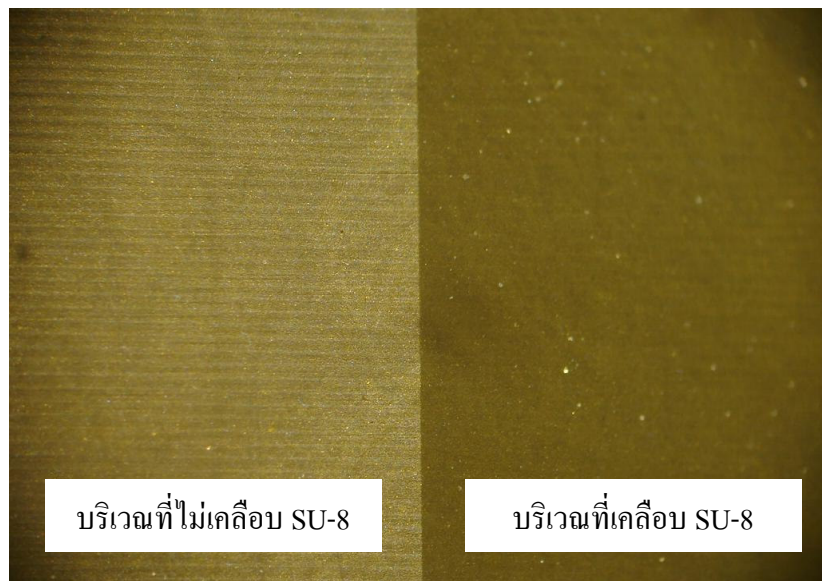
$$\text{Thickness} = \frac{kp^2}{\sqrt{w}} \quad (4.1)$$

โดยที่ k คือ ค่าคงที่ของเครื่องเคลือบหมุน (ปกติมีค่า 80 – 100)

p คือ อัตราส่วนของสาร ไวแสงที่ผสมกับสารประกอบ (%)

w คือ ความเร็วในการหมุนเคลือบ (rpm/1000)

เมื่อเคลือบสาร ไวแสง SU-8 ลงบนแผ่นกราไฟต์บางเรียบร้อยแล้ว จะได้ลักษณะดังรูปที่ 4.11 ซึ่งแสดงสาร ไวแสงบางที่เคลือบลงบนแผ่นกราไฟต์เรียบร้อยแล้ว

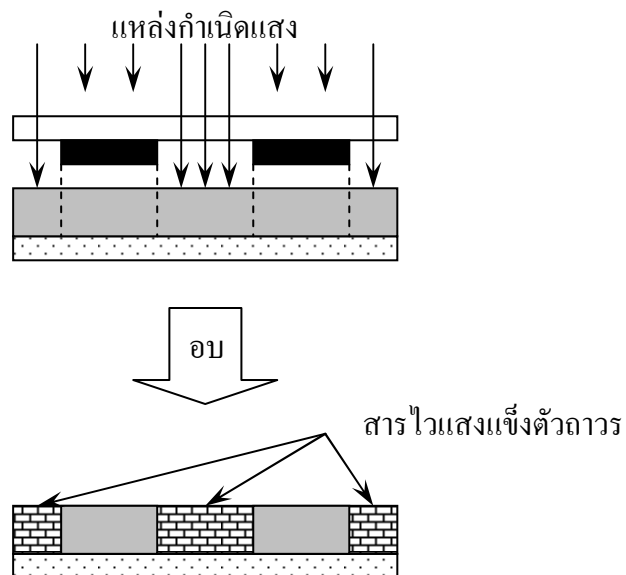


รูปที่ 4.11 แผ่นกราไฟต์บางเปรียบเทียบบริเวณที่ทำความสะอาดเรียบร้อยแล้วกับส่วนที่เคลือบสาร ไวแสง SU-8 ความหนาประมาณ 25 ไมโครเมตรเรียบร้อยแล้ว

4.3.3 การถ่ายทอด漉漉ลายตื้นแบบโดยกระบวนการลิโซกราฟีด้วยรังสี อัลตราไวโอเลต

หลังจากที่ทำการเคลือบแผ่นกราไฟต์ด้วยสาร ไวแสงตามความหนาที่ต้องการแล้ว จากนั้น จะนำแผ่นกราไฟต์ดังกล่าวมาทำการ漉漉แบบเพื่อสร้าง漉漉ลายลงบนแผ่นกราไฟต์ดังกล่าว โดยใน

ขั้นตอนนี้ จะนำหน้ากากกันแสงมาวางประกอบกับแผ่นกราไฟต์ที่เคลือบสาร ไวแสงเรียบร้อยแล้ว โดยในการประกอบนั้น ต้องให้หน้ากากกันแสงด้านที่มีหมึกหันเข้าหาสาร ไวแสงที่เคลือบนแผ่นกราไฟต์ ให้คล้ายชิดกับสาร ไวแสงมากที่สุด เพื่อให้ได้คล้ายที่คอมพิวเตอร์เป็นไปได้ จากนั้น นำไปป้ายด้วยแสงอัตตรา ไวโอลेट เป็นเวลาทั้งสิ้น 1 นาที 45 วินาที และนำหน้ากากกันแสงที่ประกอบกันอยู่ออก และนำไปทำการอบหลังการฉายแสง (Post-exposure bake) โดยการวางบนแผ่นความร้อน ที่ทำการปรับระดับให้ได้แนวระนาบเดียวเรียบร้อยแล้ว ที่อุณหภูมิ 65 องศาเซลเซียส เป็นเวลา 1 นาที เมื่อครบเวลาที่กำหนด ทำการเพิ่มอุณหภูมิของแผ่นความร้อนขึ้นในอัตรา 3 องศาเซลเซียสต่อนาที จนอุณหภูมิถึง 95 องศาเซลเซียส และให้ไวที่ 95 องศาเซลเซียสเป็นเวลา 3 นาที 30 วินาที จึงทำการปิดการทำงานของแผ่นความร้อน และปล่อยให้อุณหภูมิของแผ่นความร้อนลดลง ด้วยตัวเองจนถึงอุณหภูมิห้อง การทำให้อุณหภูมิของแผ่นกราไฟต์ลดลงเร็วเกินไปนั้น อาจทำให้สาร ไวที่เคลือบอยู่บนแผ่นกราไฟต์ เกิดการแตกร้าวเสียหายได้ หลังจากทำการอบหลังการฉายแสง เรียบร้อยแล้ว จะทำให้สาร ไวแสงบริเวณที่มีแสงมาตกกระทบ เกิดการแข็งตัวavar ส่วนบริเวณที่ไม่มีแสงมาตกกระทบนั้น คุณสมบัติของสารจะยังคงเหมือนเดิม ดังรูปที่ 4.12

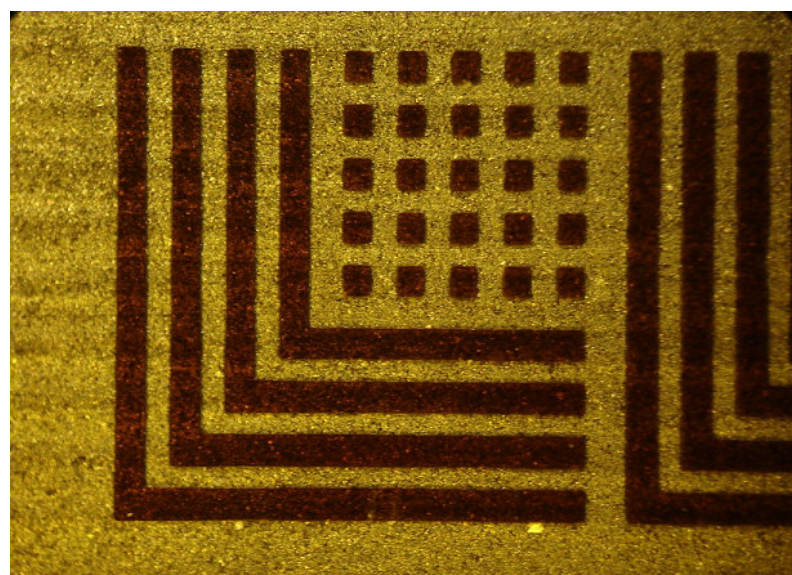


รูปที่ 4.12 การเปลี่ยนคุณสมบัติของสาร ไวแสงหลังการฉายแสง

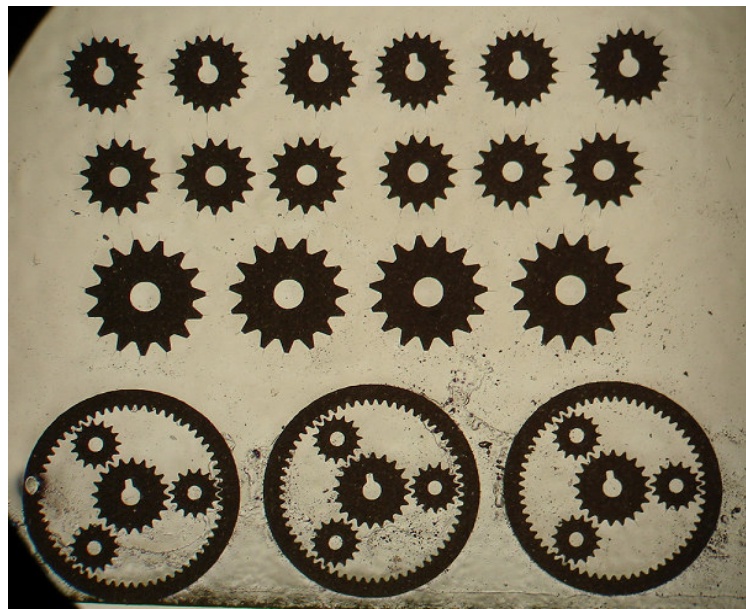
4.3.4 การล้างฟิล์ม ไวแสงบาง

ในการล้างฟิล์ม ไวแสง (Developing) นั้น จะเป็นการสร้างคลาบบนแผ่นกราไฟต์ โดยในการล้างฟิล์มนั้น ทำโดยการแกะงชิ้นงานที่ฉายแสงเรียบร้อยแล้วในสาร SU-8 developer ซึ่งในขั้นตอนนี้จะเป็นการล้างสาร ไวแสงในส่วนที่ไม่มีแสงมาตกกระทบออกไป เหลือไวเฉพาะบริเวณที่

มีแสงมาตกระทบ ซึ่งบริเวณดังกล่าวจะเกิดการแข็งตัว ไม่สามารถถ่ายออกได้ด้วยสาร SU-8 developer และขั้นตอนนี้จะทำโดยการเทสาร SU-8 developer ลงในถาดแก้วพอให้ท่วมชิ้นงาน โดยประมาณ ใช้ปากกีบหินชิ้นงานบริเวณขอบชิ้นงานซึ่งไม่มีรายละเอียดของโครงสร้างเพื่อไม่ให้โครงสร้างเกิดการเสียหาย จุ่มชิ้นงานลงไปในสาร SU-8 developer ให้สาร SU-8 developer ท่วมชิ้นงานจนหมด แล้วงดชิ้นงานในสาร SU-8 developer เป็นเวลาทั้งสิ้น 1 นาที 45 วินาที ซึ่งเวลาสำหรับการถ่ายฟิล์มไว้แสงในสาร SU-8 developer นั้นจะขึ้นกับความหนาของสารไว้แสงที่เคลือบอยู่บนชิ้นงาน โดยจากการทดลองหาเงื่อนไขที่เหมาะสมแล้วได้ว่า ที่ความหนาประมาณ 25 ไมโครเมตร นั้นใช้เวลาในการถ่ายฟิล์มประมาณ 1 นาที 45 วินาที หลังจากแกะงชิ้นงานในสาร SU-8 developer จะครบกำหนดเวลาข้างต้นแล้ว นำชิ้นงานออกมาจากสาร SU-8 developer และถ่ายด้วย IPA ทันที โดยการฉีด IPA ไปบนบริเวณลวดลายโครงสร้างเบ้า ๆ และฉีดถ่ายชิ้นงานให้ทั่วใช้เวลาประมาณ 1 นาที หรือจนแน่ใจว่าถ่ายสาร SU-8 Developer ออกจนหมด แล้วเป่าให้แห้งด้วยแก๊สในโตรเจน โดยรูปที่ 4.13 และรูปที่ 4.14 แสดงชิ้นงานที่เคลือบสารไว้แสง SU-8 และดำเนินการตามกระบวนการลิโซกราฟี จนเสร็จลิ้นจนได้หลุมซึ่งเป็นลวดลายของโครงสร้าง โดยที่บริเวณที่เป็นลวดลายของหมึกดำทึบแสงของหน้ากากกันแสงนั้น หลังจากถอดแบบออกจากแม่รีจลีนจะได้เป็นหลุมของสารไว้แสง ซึ่งหลุมดังกล่าวจะลึกลงไปประมาณ 25 ไมโครเมตร หรือจนถึงพื้นของแผ่นกราไฟต์นั้นเอง ส่วนบริเวณที่โปร่งแสงของหน้ากากกันแสงนั้น หลังจากการถอดแบบออกจากแม่รีจลีนจะได้เป็นบริเวณที่มีสารไว้แสงแข็งตัวยึดติดอยู่บนแผ่นกราไฟต์นั้นเอง



รูปที่ 4.13 ลวดลายทดสอบที่ถ่ายทอดจากหน้ากากกันแสงอัลตราไวโอเลตมาบังแผ่นกราไฟต์โดยกระบวนการลิโซกราฟีด้วยรังสีอัลตราไวโอเลต



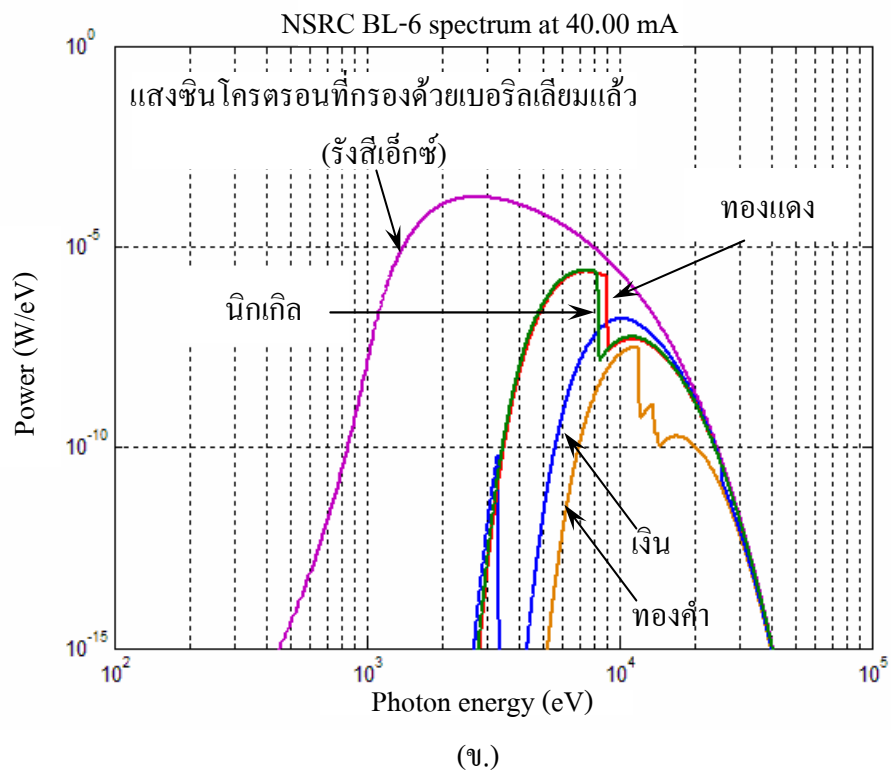
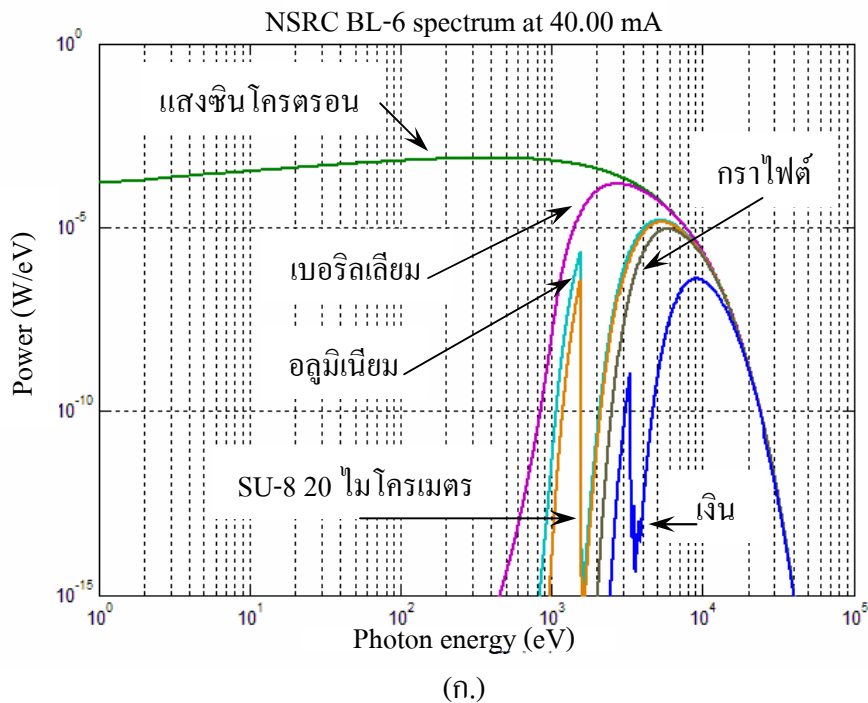
รูปที่ 4.14 ลวดลายเพื่องที่ถ่ายทอดจากหน้ากากกันแสงอัลตราไวโอลे�ตมาขังแผ่นกราไฟต์โดยกระบวนการลิโซกราฟีด้วยรังสีอัลตราไวโอลे�ต

4.3.5 การเติมวัสดุคุดกลีนรังสีเอ็กซ์ลงบนหน้ากากกันรังสีเอ็กซ์

หลังจากที่สร้างลวดลายลงบนแผ่นกราไฟต์ที่จะนำมาทำเป็นหน้ากากกันรังสีเอ็กซ์ด้วยกระบวนการลิโซกราฟีด้วยรังสีอัลตราไวโอลे�ตแล้ว ขั้นตอนต่อไปซึ่งเป็นขั้นตอนสุดท้ายในการสร้างหน้ากากกันรังสีเอ็กซ์คือ ขั้นตอนการเติมวัสดุที่มีคุณสมบัติในการคุดกลีนรังสีเอ็กซ์ได้ ลงในในหลุมของลวดลายที่เกิดขึ้น วัสดุคุดกลีนแสงที่ถือว่าเป็นวัสดุคุดกลีนรังสีเอ็กซ์มาตรฐาน ในการสร้างหน้ากากกันรังสีเอ็กซ์ที่ใช้ในกระบวนการลิโซกราฟีด้วยรังสีเอ็กซ์นั้นคือทองคำที่ความหนาของเนื้อทองคำ 3-15 ไมโครเมตร (Ferreira, 2004) ซึ่งสามารถคุดกลีนรังสีเอ็กซ์ได้ดี

ในกระบวนการที่ทำการพัฒนาขึ้นนี้ ได้ทำการศึกษาความเป็นไปได้ที่จะนำวัสดุชนิดอื่นมาใช้แทนทองคำ เนื่องจากทองคำมีราคาที่แพงมาก หากสามารถใช้วัสดุอื่นที่ราคาถูกกว่าทองคำมาใช้ในกระบวนการแทนทองคำได้ จะทำให้สามารถลดต้นทุนในกระบวนการลงได้ ซึ่งจากการศึกษาการคุดกลีนพัลส์งานของวัสดุที่ใช้เป็นชั้นตัวกรองต่าง ๆ โดยใช้การจำลองผลด้วยโปรแกรม XOP (X-ray Oriented Programs) โดยรูปที่ 4.15 (ก) เป็นผลการจำลองการคุดกลีนพัลส์งานของชั้นกรองต่าง ๆ ที่จำเป็นต้องใช้ในกระบวนการ ประกอบกับการพิจารณารูปที่ 4.15 (ข) ซึ่งเป็นรูปกราฟการคุดกลีนรังสีเอ็กซ์เปรียบเทียบระหว่างทองคำ ทองแดง นิกเกิลและเงิน จึงสรุปได้ว่า มีความเป็นไปได้ที่จะสามารถใช้โลหะเงินเป็นวัสดุคุดกลีนรังสีเอ็กซ์ในการสร้างหน้ากากกันรังสีเอ็กซ์แทนทองคำได้ และเมื่อเปรียบเทียบค่าใช้จ่ายระหว่างการใช้ทองคำกับการใช้เงินแล้ว การใช้เงินแทนที่

ทองคำนั้น สามารถลดค่าใช้จ่ายได้ค่อนข้างมาก



รูปที่ 4.15 กราฟการคุณภาพรังสีเอ็กซ์ (ก.) กราฟการคุณภาพรังสีเอ็กซ์หลังผ่านชั้นกรองต่าง ๆ (ข.) กราฟการคุณภาพรังสีเอ็กซ์เปรียบเทียบระหว่างทองคำ ทองแดง นิกเกิลและเมิน

เนื่องจากเงินสามารถใช้แทนที่ทองคำในการสร้างหน้ากากกันรังสีเอ็กซ์ ทั้งขั้นมีราคาที่ต่ำกว่าทองคำมาก ซึ่งสารละลายทองคำสำหรับการชุบทองคำด้วยไฟฟ้านี้ ราคาลิตรละ 22,000 บาท ส่วนสารละลายเงินสำหรับชุบเงินด้วยไฟฟ้านี้ ราคาลิตรละ 1,350 บาท ดังนั้นในการสร้างหน้ากากกันรังสีเอ็กซ์ในที่นี่ จะใช้เงินเป็นวัสดุคุดกเล็นรังสีเอ็กซ์ ก่อนอื่นต้องทำการเตรียมสารละลายเงินที่จะนำมาใช้สำหรับการชุบเงินด้วยไฟฟ้า (Silver electroplating) ลงไปบนหน้ากากกันรังสีเอ็กซ์ ซึ่งหลักการชุบโลหะด้วยไฟฟ้า อย่างละเอียดนั้น จะกล่าวถึงในบทต่อไป เตรียมสารละลายเงิน ตามขั้นตอนดังต่อไปนี้

1) เตรียมน้ำดีไอ ปริมาตร 3,000 มิลลิลิตร ลงในภาชนะซึ่งทำการกวนน้ำในภาชนะตลอดเวลา และภาชนะดังกล่าวต้องมีปริมาตรอย่างน้อยประมาณ 6,000 มิลลิลิตร จากนั้นเติม Potassium cyanide น้ำหนัก 833 กรัม ลงไปโดยค่อยๆ เติมลงไปทีละน้อย ในขณะที่ทำการกวนน้ำในภาชนะตลอดเวลา และควรตั้งภาชนะผสมสารไว้ในตู้ดูดอากาศ และสวมผ้าปิดจมูกพร้อมทั้งใส่ถุงมือยางด้วย เพื่อป้องกันอันตรายที่อาจเกิดขึ้นได้ เนื่องจากส่วนผสมต่างๆ อาจเป็นพิษต่อผิวหนังและระบบทางเดินหายใจ

2) กวนสารละลายต่อเนื่องประมาณ 10 นาที เพื่อให้มั่นใจว่า Potassium cyanide ที่เติมลงไปนั้นละลายผสมกับน้ำจนเข้ากัน โดยเห็นเป็นเนื้อเดียวกันแล้ว จึงทำการเติม Potassium carbonate น้ำหนัก 75 กรัม ลงไปทีละน้อย และรอประมาณ 5 นาที จนสารละลายเข้ากันจนหมด

3) เติม Silver cyanide 80% น้ำหนัก 225 กรัม ลงไปทีละน้อย โดยการใช้ข้อตักสารขนาดเล็กเติมลงไปทีละช้อน แล้วรอให้ละลายเข้ากันก่อน จึงเติมช้อนต่อไปเรื่อยๆ จนครบตามน้ำหนักที่ต้องการ

4) กวนสารทิ้งไว้ประมาณ 15 นาที จากนั้นจึงเติมน้ำดีไอเพิ่มลงไปในภาชนะ จนกระหึ่งปริมาตรทั้งหมดได้ 5,000 มิลลิลิตร

5) เติมพงคาร์บอน (Granular carbon) น้ำหนัก 10 กรัม ลงไปแล้วทำการกวนสารต่อเป็นเวลาประมาณ 30 นาที หลังจากนั้นจึงหยุดการกวนสาร นำสารละลายที่ได้ลงจากเครื่องกวนสาร ปิดฝาให้สนิทแล้วปล่อยให้สารทำงานปฏิกิริยากันเป็นเวลาอย่างน้อย 12 ชั่วโมง

6) เมื่อครบเวลาที่กำหนด นำสารละลายมากรองด้วยกระดาษกรอง 3-5 ครั้ง เพื่อกรองเอาผงคาร์บอน ซึ่งไม่ละลายน้ำและผุนที่อาจมีในสารละลายออกมาระหว่างหมด

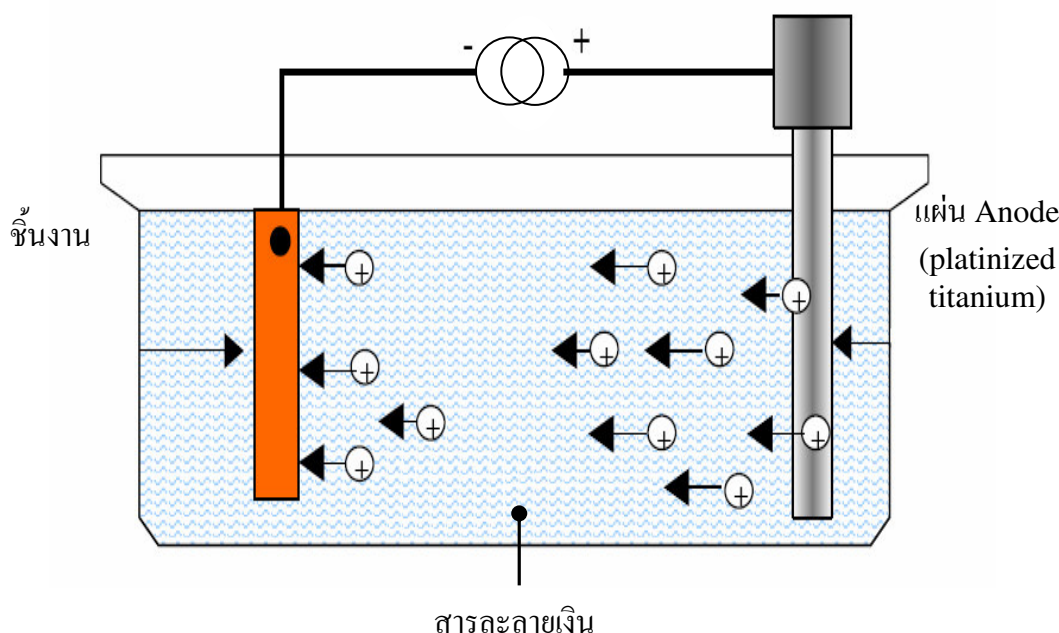
7) ทำการทดสอบสารละลายขั้นสุดท้ายด้วยการกรองด้วยไฟฟ้าโดยนำสารละลายที่ทำการผสมเสร็จแล้วมาทำการชุบด้วยไฟฟ้า ปรับให้แรงดันคงที่ที่ 1.5 โวลต์ โดยใช้โลหะ Platinized titanium เป็นขั้วบวก (Anode) และใช้ Stainless steel เป็นขั้วลบ (Cathode) เป็นเวลาทั้งสิ้น 15 นาที เพื่อให้สารละลายสะอาดและพร้อมใช้งาน

8) เติมสาร Silver Glo 3K Make up ปริมาตร 30 มิลลิลิตร และสาร Silver Glo 3K TY ปริมาตร 6.5 มิลลิลิตร เพื่อทำให้ผิวของโลหะเงินหลังจากทำการชุบด้วยไฟฟ้าอุดมเรียบเนียน และเงางาม

หลังจากทำการเตรียมสารละลายเงินเรียบร้อยแล้ว ในการชุบนั้นต้องชุบในขณะที่ทำการกวนสารละลายตลอดเวลาด้วยเช่นกัน โดยในการชุบนั้นจะใช้กระแสในอัตรา 20 mA/cm^2 โดยใช้โลหะ Platinized titanium เป็นขั้วบวก และขั้วงานที่ต้องการชุบเงินเป็นขั้วนeg ซึ่งเมื่อปรับกระแสด้วยอัตราดังกล่าวจะได้อัตราการเกิดของเงินโดยประมาณที่ 5 ไมโครอน ในเวลา 7 นาที 30 วินาที ซึ่งอัตราการเกิดดังกล่าวอาจเปลี่ยนไปตามลักษณะและคุณสมบัติของขั้วงาน ที่นำมาชุบ อุณหภูมิขณะทำการชุบก็อาจส่งผลต่ออัตราการเกิดด้วยเช่นกัน (หลังจากทำการชุบจนเสร็จทุกครั้ง ก่อนเก็บสารละลายควรทำการกรองสารละลายด้วยกระดาษกรอง 1-2 รอบ)

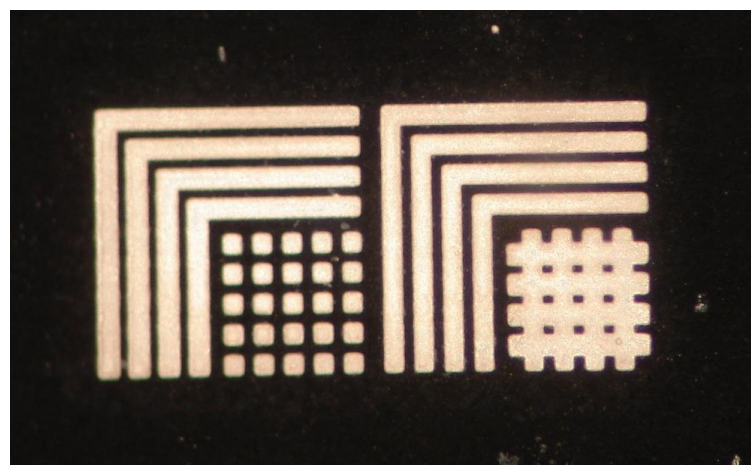
เมื่อได้สารละลายสำหรับใช้ในการชุบเงินแล้ว ขั้นตอนต่อไปจะเป็นขั้นตอนการนำขั้วงานที่เตรียมไว้เพื่อสร้างเป็นหน้ากากันรังสีเอกซ์ มาทำการเติมโลหะเงินลงไปในหลุมของลวดลายที่เตรียมไว้ โดยรูปที่ 4.16 แสดงการต่อวงจรสำหรับการชุบเงินด้วยไฟฟ้า โดยก่อนที่จะทำการชุบเงินนั้น ทำการกัดทำความสะอาดผิวน้ำของขั้วงานรวมถึงหลุมของลวดลายด้วยพลาสมารอย ออกซิเจนที่ความดัน 350 มิลลิโหรร์ ด้วยกำลัง 100 วัตต์ เป็นเวลา 5 นาที

แหล่งจ่ายไฟฟ้ากระแสสูงที่

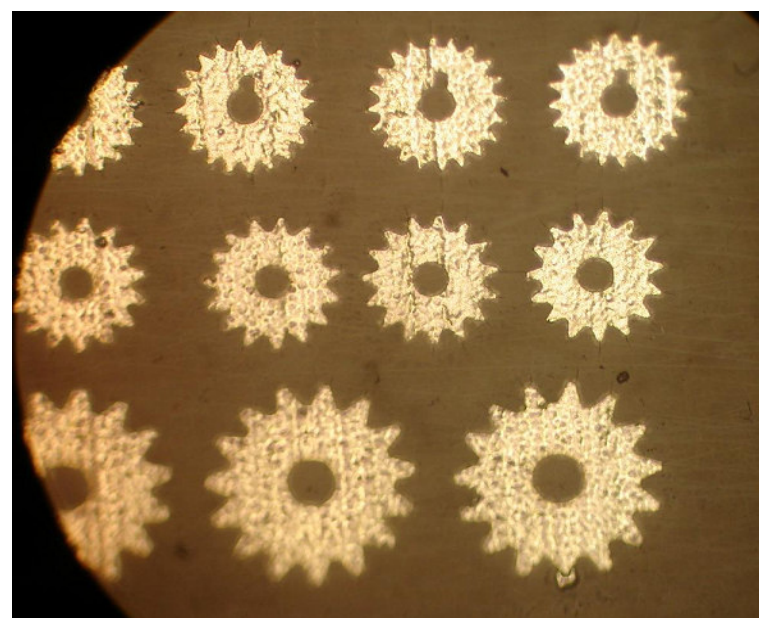


รูปที่ 4. 16 การต่อวงจรไฟฟ้าสำหรับการชุบเงินด้วยไฟฟ้าลงบนแผ่นกราไฟต์

ในการชุบเงินด้วยไฟฟ้านั้น ต้องมั่นใจว่าสารละลายเงินสามารถเข้าถึง漉漉ายได้ทั่วทั้งแผ่น โดยไม่มีฟองอากาศมาบัง เนื่องจากหากเกิดฟองอากาศขึ้น จะทำให้เงินไม่สามารถก่อตัวขึ้นในบริเวณดังกล่าวได้ และทำให้漉漉ายไม่สมบูรณ์ได้ เมื่อทำการเติมเงินลงไปใน漉漉ายที่สร้างขึ้นโดยใช้วิธีการชุบโลหะด้วยไฟฟ้านั้นเติมหลุมแล้ว จะได้ความหนาของเงินประมาณ 25 ไมโครเมตร รูปที่ 4.17 และรูปที่ 4.18 แสดงหน้ากากกันรังสีเอ็กซ์ที่เติมเงินจนเติมหลุม และเป็นหน้ากากกันรังสีเอ็กซ์ที่เสร็จสมบูรณ์ พร้อมที่จะนำไปใช้ในกระบวนการผลิตกราฟฟิคด้วยรังสีเอ็กซ์ต่อไป



รูปที่ 4.17 หน้ากากกันรังสีเอ็กซ์漉漉ายทดสอบ

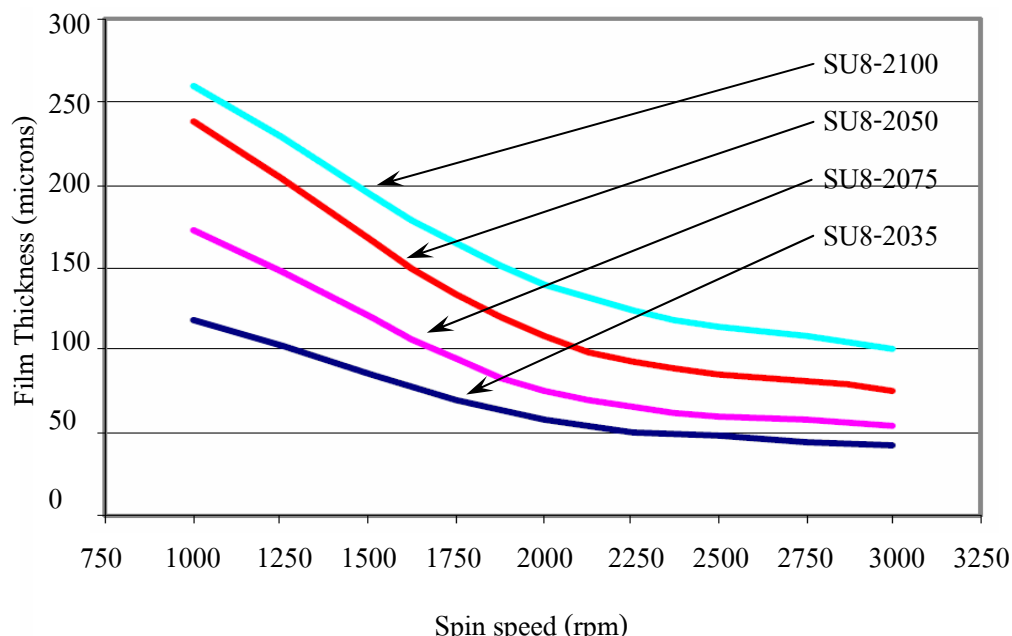


รูปที่ 4.18 หน้ากากกันรังสีเอ็กซ์漉漉ายเพื่อขนาดต่าง ๆ

4.4 การเตรียมชิ้นงานและเคลือบสารไวแสง

แผ่นฐานรอง (Substrate) ที่จะใช้ในกระบวนการนี้ จะใช้แผ่นสแตนเลส (Stainless sheet) หนาประมาณ 1 มิลลิเมตร นำมาขัดจนพื้นผิวเรียบสม่ำเสมอ กัน จากนั้นนำไปพ่นทรายให้เกิดรอยขรุขระเล็กน้อย ก่อนนำมาทำความสะอาดโดยการอัลตราโซนิกในสารอาซิโตัน เป็นเวลาทั้งสิ้น 15 นาที และนำออกมาราคาเครื่องอัลตราโซนิกแล้ว ล้างต่อด้วย IPA แล้วเป่าให้แห้งด้วยแก๊สไนโตรเจน จากนั้นนำมาจุ่มในน้ำดีไอโอให้ท่วม ก่อนนำไปเคลือบสารไวแสง อีกครั้งเป็นเวลา 30 นาที เมื่อนำออกจากเครื่องอัลตราโซนิกแล้ว เป่าให้แห้งด้วยแก๊สไนโตรเจน ก่อนนำไปอบในเตาอบที่อุณหภูมิ 95 องศาเซลเซียส เป็นเวลา 2 ชั่วโมง จากนั้นนำชิ้นงานดังกล่าวไปเคลือบสารไวแสงด้วยเครื่องหมุนเคลือบต่อไป

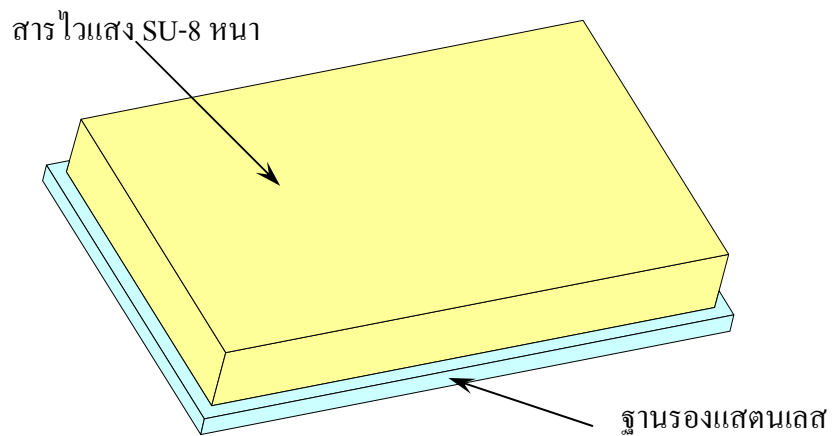
ความหนาของสารไวแสงที่ต้องการ ในการทดสอบกระบวนการลิโซกราฟฟ์ด้วยรังสีเอกซ์นั้น จะใช้ความหนาประมาณ 500 ไมโครเมตร โดยเลือกใช้สารไวแสง SU-8 เบอร์ 2100 ซึ่งเป็นสารไวแสงชนิดลบ โดยสารไวแสงเบอร์ดังกล่าวสามารถเคลือบลงบนชิ้นงานได้ที่ความหนาประมาณ 100-260 ไมโครเมตร ดังแสดงในรูปที่ 4.19 ดังนั้นในการเคลือบสารไวแสงเบอร์ดังกล่าวจำเป็นต้องทำการเคลือบสองชั้น ชั้นละ 250 ไมโครเมตร เพื่อให้ได้ความหนาของสารไวแสงรวมเป็น 500 ไมโครเมตร ซึ่งเป็นความหนาที่ต้องการ



รูปที่ 4.19 กราฟคุณสมบัติของสารไวแสง SU-8 สำหรับเบอร์ที่ให้ความหนาไม่เกิน 50 ไมโครเมตร โดยเปรียบเทียบระหว่างความเร็วในการหมุนเคลือบกับความหนาของฟิล์มที่ได้ (ข้อมูลจากบริษัท MicroChem Corp. ผู้ผลิต SU-8)

ในการเคลือบสาร ไวแสงลงบนแผ่นสแตนเลสนั้น ขั้นแรกนำแผ่นสแตนเลสวางบนเครื่องหมุนเคลือบแล้วทำการหยดสาร ไวแสงลงไปจนทั่ว โดยเน้นให้สาร ไวแสงอยู่บริเวณกลางชิ้นงาน และเทให้สาร ไวแสงพูนขึ้นเล็กน้อย ซึ่งบริเวณดังกล่าวจะเป็นจุดศูนย์กลางการหมุนของชิ้นงาน ใน การเทสาร ไวแสงนั้นต้องทำอย่างช้า ๆ เนื่องจากสาร ไวแสง SU-8 เบอร์ 2100 นั้นมีความเข้มข้นสูง จึงหนืดมาก และหากเกิดฟองอากาศขณะเทนั้น จะเป็นการยากในการที่จะทำให้ฟองอากาศแตก ดังนั้นจึงควรระวังอย่าให้เกิดฟองอากาศขึ้น ทำการตั้งค่าการหมุนของเครื่องไว้เป็นสองขั้น โดยขั้นแรกตั้งค่าให้เครื่องหมุนที่ความเร็ว 500 รอบต่อนาที เป็นเวลา 5 วินาที และขั้นที่สองตั้งค่าให้ เครื่องหมุนที่ความเร็วที่ต้องการ โดยจากการในรูปที่ 4.19 นั้น เมื่อต้องการความหนาประมาณ 250 ไมโครเมตร ต้องทำการตั้งค่าความเร็วในการหมุนไว้ที่ 1,000 รอบต่อนาที โดยลักษณะการ ทำงานของเครื่องหมุนเคลือบได้แสดงไว้แล้วดังรูปที่ 4.10 ซึ่งจะทำงานในลักษณะเดียวกันกับตอน เคลือบสาร ไวแสงลงบนแผ่นกราไฟต์ในการสร้างหน้ากากกันรังสีเอกซ์ โดยเมื่อเครื่องทำงานเสร็จ สิ้น สาร ไวแสงจะเคลือบอยู่บนชิ้นงานจนทั่วด้วยความหนาที่ต้องการ แต่สาร ไวแสงยังคงอยู่ใน สถานะของเหลว

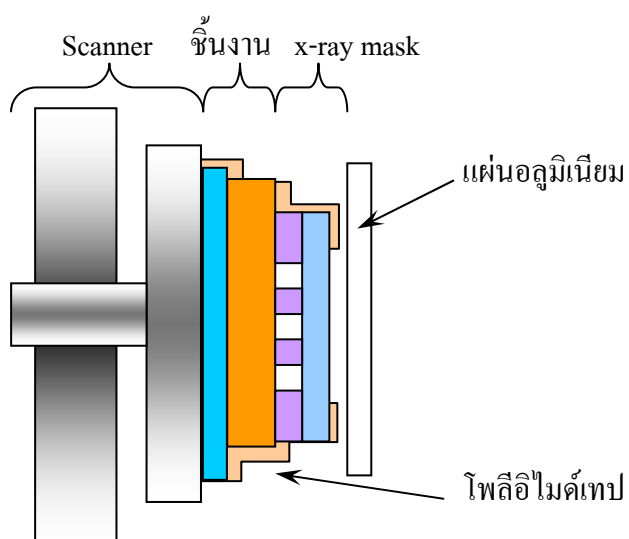
เมื่อทำการหมุนเคลือบสาร ไวแสงเรียบร้อยแล้ว หลังจากนั้นนำแผ่นสแตนเลสออกจาก เครื่องหมุนเคลือบมาวางบนแผ่นความร้อน ที่ทำการปรับระดับให้ได้แนวระนาบเรียบร้อยแล้ว ที่ อุณหภูมิ 65 องศาเซลเซียส เป็นเวลา 30 นาที เมื่อครบเวลาที่กำหนด ทำการเพิ่มอุณหภูมิของแผ่น ความร้อนขึ้นในอัตรา 2 องศาเซลเซียสต่อนาที จนอุณหภูมิถึง 95 องศาเซลเซียส แล้วค้างไว้ที่ 95 องศาเซลเซียสเป็นเวลา 10 ชั่วโมง เนื่องจากสาร ไวแสงหนามาก ดังนั้นเวลาในการที่จะทำให้ตัวทำ ละลาย (Solvent) ของสาร ไวแสงระเหยออกจากหมุดนั้น จึงใช้เวลาค่อนข้างนาน เมื่อครบเวลาที่ กำหนดแล้วทำการลดอุณหภูมิของแผ่นความร้อนลงในอัตรา 2 องศาเซลเซียสต่อนาที จนอุณหภูมิ ลดลงถึงอุณหภูมิห้องจึงทำการปิดการทำงานของแผ่นความร้อน เนื่องจากสาร ไวแสงที่มีความหนา มาก ๆ การให้อุณหภูมิของสาร ไวแสงลดลงเร็วจนเกินไป อาจส่งผลให้สาร ไวแสงเกิดการแตกร้าว ได้โดยง่าย เมื่อชิ้นงานมีอุณหภูมิเท่าอุณหภูมิห้องแล้วนำชิ้นงานวางบนเครื่องหมุนเคลือบอีกครั้ง และทำการเคลือบสาร ไวแสงทับลงไปอีกชั้นหนึ่ง โดยใช้เงื่อนไขการเคลือบสาร ไวแสงเหมือนเดิม ทุกประการ ยกเว้นเวลาในการอบนั้น จะอบที่อุณหภูมิ 65 องศาเซลเซียส เป็นเวลา 30 นาที เมื่อครบ เวลาที่กำหนด ทำการเพิ่มอุณหภูมิของแผ่นความร้อนขึ้นในอัตรา 2 องศาเซลเซียสต่อนาที จน อุณหภูมิถึง 95 องศาเซลเซียส แล้วค้างไว้ที่ 95 องศาเซลเซียส เป็นเวลา 12 ชั่วโมง เนื่องจาก สาร ไวแสงหนาเพิ่มขึ้น และสาร ไวแสงในชิ้นแรกจะมีผลต่อการระเหยของตัวทำละลายเล็กน้อย จึงต้องทำการเพิ่มเวลาในการอบขึ้นอีก เพื่อให้แน่ใจว่าสาร ไวแสงที่ทำการเคลือบลงไปนั้น แห้งจน แข็งพอที่จะนำไปใช้งานได้ ซึ่งอยู่ในลักษณะของสาร ไวแสง SU-8 หนาติดอยู่บนฐานสแตนเลส ดังรูปที่ 4.20



รูปที่ 4.20 แบบจำลองชิ้นงานที่เคลือบสาร ไวแสงหนาลงบนฐานเรียบร้อยแล้ว

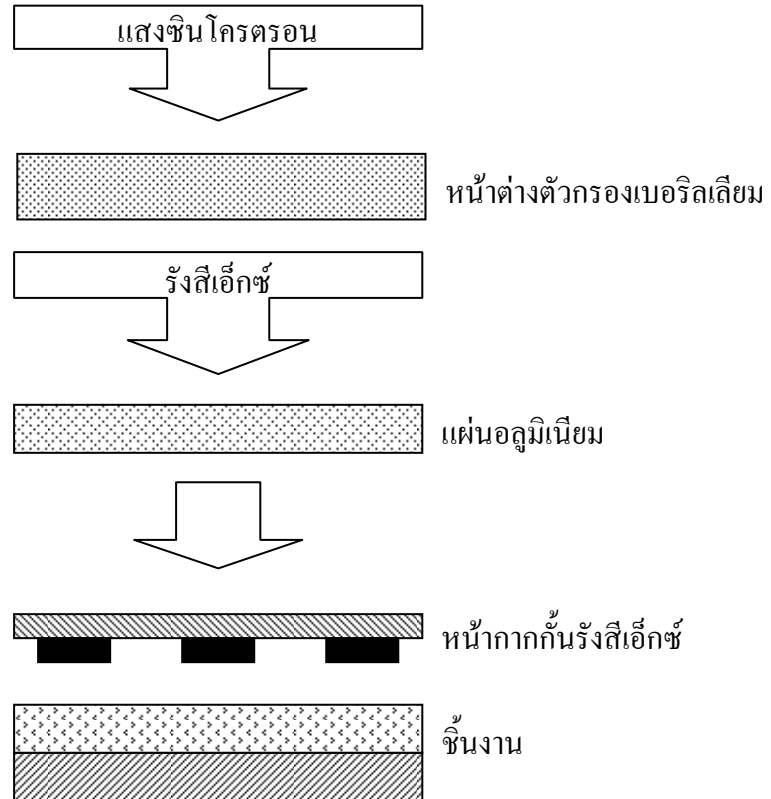
4.5 การฉายรังสีอีกชั้นบนชิ้นงาน

หลังจากที่ได้ชิ้นงานที่เคลือบสาร ไวแสงเรียบร้อยแล้ว ขั้นตอนต่อไปจะเป็นการฉายรังสีอีกชั้นบนชิ้นงาน โดยอันดับแรกนำหัวกากระถางรังสีอีกชั้นที่ได้สร้างเสร็จแล้วนั้น มาวางทับสาร ไวแสงที่เคลือบบนแผ่นสแตนเลส ใช้เทปโพลีไนด์ ในการยึดระหว่างหัวกากระถางรังสีอีกชั้น กับชิ้นงาน เนื่องจากเทปโพลีไนด์ เป็นเทปภาวที่ทนความร้อนได้สูง และไม่ใหม่มีอุぐนอยด์รังสีอีกชั้นเป็นเวลานาน เมื่อติดชิ้นงานกับหัวกากระถางรังสีอีกชั้นเรียบร้อยแล้ว นำอลูมิเนียมฟอยล์มาปิดทับทั้งหมดเป็นชั้นสุดท้าย จากนั้นจึงนำชิ้นงานเข้าไปยังเครื่องขับเคลื่อนชิ้นงาน ที่อยู่ภายในห้องนายรังสีอีกชั้น โดยลำดับในการติดตั้งชิ้นงานแสดงได้ดังรูปที่ 4.21



รูปที่ 4.21 ลำดับชั้นในการติดตั้งชิ้นงานลงบนเครื่องสแกนชิ้นงาน

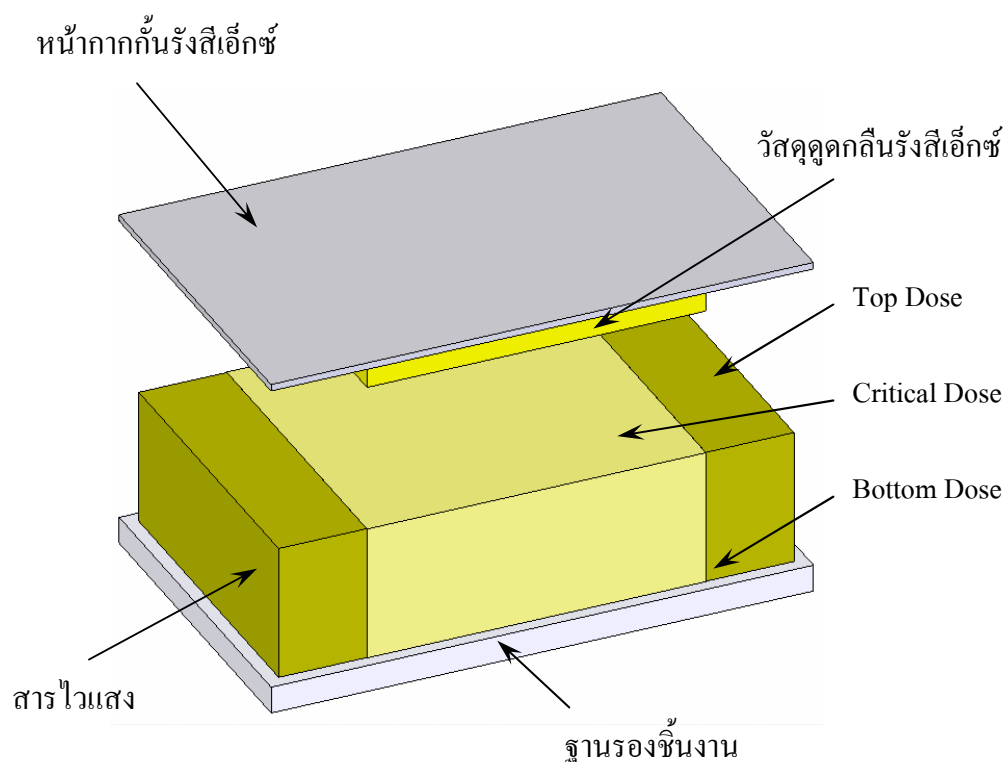
นำชิ้นงานไปติดตั้งยังเครื่องขับเคลื่อนชิ้นงานที่อยู่ภายในห้องสุญญากาศ โดยในการติดตั้งชิ้นงานเข้าไปในเครื่องขับเคลื่อนชิ้นงานนั้น ให้หมุนด้านที่มีหน้ากากกันรังสีเอ็กซ์ดูอยู่ออกไปรับรังสีเอ็กซ์ โดยลำดับขั้นตัวกรองรังสีทั้งหมดก่อนมาตัดกระแทบทับชิ้นงาน แสดงได้ดังรูปที่ 4.22 จากนั้นทำการคุณภาพของการติดตั้งชิ้นงานที่อยู่ภายในห้องสุญญากาศให้ได้ความดันภายในห้องสุญญากาศต่ำกว่า 2.5×10^{-5} มิลลิ托ร์ จึงเริ่มทำการฉายรังสี ในการฉายรังสีเอ็กซ์ด้วยเครื่องขับเคลื่อนชิ้นงานนั้น จะใช้จำนวนรอบในการขับเคลื่อนชิ้นงานเป็นตัวกำหนดเวลาในการฉายแสงแต่ละครั้ง ซึ่งจำนวนรอบก็จะขึ้นกับค่ากระแสในวงกัดเก็บอิเล็กตรอน (Storage-ring current) ณ ขณะนั้นด้วยว่ามีค่าเท่าไร ยกตัวอย่าง เช่น กรณีที่กระแสของอิเล็กตรอนในวงกัดเก็บอิเล็กตรอนมีค่าเป็น 40.00 mA ซึ่งค่าดังกล่าวจะได้ค่าพลังงานที่สารไวแสงได้รับ (Dose) หลังจากการฉายแสงหนึ่งรอบมีค่าเท่ากับ 28.125 mJ/cm^3 และจากการทดสอบหาค่าการฉายแสงที่เหมาะสมสำหรับชิ้นงานที่เคลือบสารไวแสง SU-8 หนาประมาณ 500 นาโนเมตร นั้นต้องใช้ค่าพลังงานที่สารไวแสงได้รับในการฉายรังสีทั้งสิ้น 10 รอบ ซึ่งเมื่อฉายรังสีเอ็กซ์จนครบ 10 รอบจะได้พลังงานที่สารไวแสงได้รับมีค่าเท่ากับ 281.25 mJ/cm^3 เมื่อทำการฉายรังสีเอ็กซ์จนเสร็จสิ้นแล้ว จึงนำชิ้นงานออก เพื่อที่จะนำไปทำกระบวนการต่อไป



รูปที่ 4.22 ลำดับของตัวกรองรังสีเอ็กซ์จากวงกัดเก็บอิเล็กตรอนก่อนจะมาตัดกระแทบทับชิ้นงาน

เมื่อฉายรังสีเอ็กซ์ลงบนชิ้นงานเรียบร้อยแล้ว จากนั้นทำการอบหลังการฉายแสง โดยการวางบนแผ่นความร้อน ที่ทำการปรับระดับให้ได้แนวระนาบเดียวเรียบร้อยแล้ว ที่อุณหภูมิ 65 องศาเซลเซียส เป็นเวลา 30 นาที เมื่อครบเวลาที่กำหนด ทำการเพิ่มอุณหภูมิของแผ่นความร้อนขึ้นในอัตรา 3 องศาเซลเซียสต่อนาที จนอุณหภูมิถึง 95 องศาเซลเซียส แล้วค้างไว้ที่ 95 องศาเซลเซียสเป็นเวลา 2 ชั่วโมง 30 นาที เมื่อครบเวลาที่กำหนดแล้วทำการลดอุณหภูมิของแผ่นความร้อนลงในอัตรา 2 องศาเซลเซียสต่อนาที จนอุณหภูมิลดลงถึงอุณหภูมิห้องจึงทำการปิดการทำงานของแผ่นความร้อน หลังจากทำการอบหลังการฉายแสงเรียบร้อยแล้ว จะทำให้สารไวแสงบริเวณที่มีแสงมาตกกระทบ เกิดการแข็งตัวขาว ส่วนบริเวณที่ไม่มีแสงมาตกกระทบนั้น คุณสมบัติของสารจะยังคงเหมือนเดิม ซึ่งสามารถถอดออกได้

ในการฉายแสงลงบนชิ้นงานนั้น อัตราส่วนค่าพลังงานสะสมของแสงที่มาตกกระทบยังสารไวแสง ณ บริเวณผิวของสารไวแสงได้วัดคุณค่าลีนรังสีเอ็กซ์ (Critical dose) และบริเวณพื้นลึกสุดของสารไวแสงได้วัดคุณค่าปริ่งแสงต่อรังสีเอ็กซ์ ดังรูปที่ 4.23



รูปที่ 4.23 จุดสำคัญในการวัดค่าพลังงานรวมในการฉายรังสีเอ็กซ์ลงบนสารไวแสง

ซึ่งอัตราส่วนระหว่างค่า Critical dose กับค่า Bottom dose หรือเรียกว่า Contrast ซึ่งต้องมีค่ามากกว่า 80% จึงจะรับรองได้ว่าชิ้นงานที่ทำการฉายแสงเสร็จสิ้นไปนั้น จะสามารถถอดฟิล์มแล้วให้

โครงสร้างที่สามารถใช้งานได้ ซึ่งเมื่อคุณภาพที่ 4.23 จะเห็นว่า Bottom dose คือค่าพลังงานรวมบริเวณที่ต้องได้รับพลังงานมากพอที่จะทำให้สารไวแสงแข็งตัว ในขณะที่ Critical dose คือพลังงานรวมบริเวณที่ต้องมีค่าพลังงานน้อยจนสารไวแสงไม่เกิดการแข็งตัว และสามารถล้างสารไวแสงบริเวณดังกล่าวทิ้งได้ในกระบวนการล้างฟิล์ม ซึ่งปัจจัยสำคัญที่จะทำให้สามารถได้ค่า Contrast มาเกิน 80% คือ วัสดุคุณภาพลีนรังสีเอ็กซ์ต้องคุณภาพลีนรังสีเอ็กซ์ได้มากพอที่จะไม่ทะลุมาตกกระหบขังสารไวแสง โดยการคำนวณค่า Contrast สามารถคำนวณได้ดังสมการ

$$C(d) = \frac{E_1(d) - E_0(d)}{E_1(d) + E_0(d)}, 0 < C(d) < 1 \quad (4.1)$$

โดยที่ $C(d)$ คือ ค่า Contrast สำหรับสารไวแสงเท่ากับ d

$E_1(d)$ คือ ค่าพลังงาน Top dose สำหรับสารไวแสงเท่ากับ d

$E_0(d)$ คือ ค่าพลังงาน Bottom dose สำหรับสารไวแสงเท่ากับ d

ซึ่งความสามารถในการคุณภาพลีนรังสีเอ็กซ์ของวัสดุคุณภาพลีนรังสีเอ็กซ์นี้จะแปรผันตรงกับความหนาของวัสดุดังกล่าว ซึ่งการคำนวณหาค่าความหนาที่เหมาะสมนั้น ใช้โปรแกรมจำลองพลังงานจากวงกัดเก็บอิเล็กตรอน ชื่อ XOP (X-ray Oriented Programs) ซึ่งเป็นโปรแกรมจำลองพลังงานของระบบเครื่องกำเนิดแสงซินโครตรอนโดยเฉพาะ ซึ่งเป็นโปรแกรมที่พัฒนาโดย European Synchrotron Radiation Facility (ESRF) ซึ่งจากผลการจำลอง โดยใช้ความหนาของสารไวแสงเท่ากับ 500 ไมโครเมตร ได้ผลดังตารางที่ 4.1

ตารางที่ 4.1 ค่า Contrast เปรียบเทียบระหว่างการใช้เงินและทองคำความหนาต่าง ๆ เมื่อฉายลงบนสารไวแสงความหนา 500 ไมโครเมตร ที่กระแสในวงกัดเก็บอิเล็กตรอนเท่ากับ 40 mA

ชนิดของวัสดุ	ความหนาของวัสดุคุณภาพลีนรังสีเอ็กซ์							
	6 μm	8 μm	10 μm	12 μm	14 μm	16 μm	18 μm	20 μm
เงิน	54.57%	64.76%	69.52%	78.14%	82.50%	85.85%	88.44%	90.48%
ทองคำ	78.17%	86.80%	91.88%	94.90%	96.76%	97.90%	98.63%	99.10%

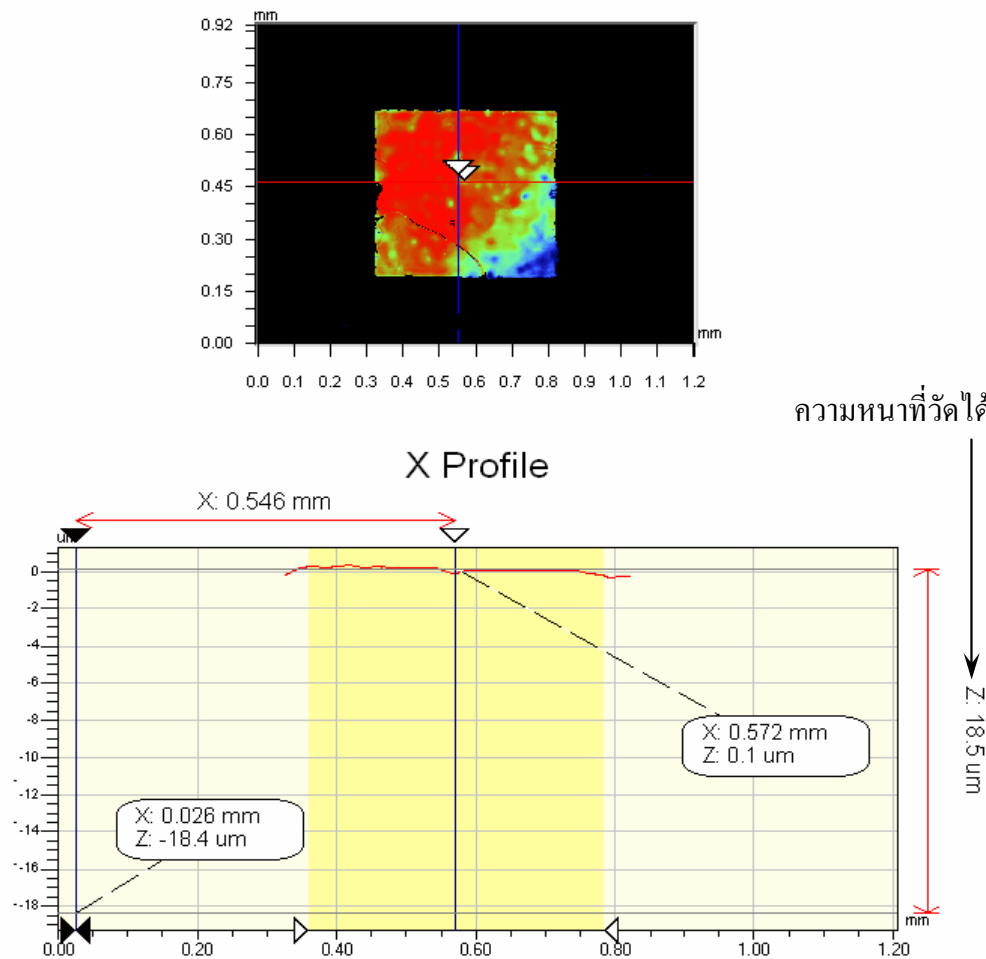
ซึ่งจะได้ว่า ในการฉายรังสีเอ็กซ์ที่กระแสภายในวงกัดเก็บอิเล็กตรอนมีค่า 40 mA และใช้ความหนาของสารไวแสง SU-8 เท่ากับ 500 ไมโครเมตร จะต้องใช้วัสดุคุณภาพลีนรังสีเอ็กซ์ที่เป็นทองคำความหนาอย่างน้อย 7 ไมโครเมตร หรือถ้าใช้วัสดุคุณภาพลีนรังสีเอ็กซ์ที่เป็นโลหะต้องใช้ความ

หนาอย่างน้อย 13 ไมโครเมตร โดยสามารถเปรียบเทียบค่าใช้จ่ายระหว่างการใช้ทองคำเทียบกับการใช้เงินในกระบวนการสร้างหน้ากากกันรังสีเอ็กซ์ได้ดังนี้

สารละลายทองคำสำหรับการชุบทองคำด้วยไฟฟ้าราคาต่ำๆ 22,000 บาท โดยภายในหนึ่งลิตรมีทองคำทั้งสิ้น 18 กรัม แต่สามารถชุบได้เพียง 13 กรัม (เหลือ 5 กรัมที่คงเหลือเนื่องจากสารละลายเจือจากน้ำ ไม่สามารถชุบด้วยไฟฟ้าได้) และเมื่อทองคำก่อตัวขึ้นโดยการชุบโลหะด้วยไฟฟ้าจะมีความหนาแน่น 17 กรัมต่อลูกบาศเซนติเมตร พิจารณาการก่อตัวของทองคำบนหน้ากากกันรังสีเอ็กซ์ โดยให้คลาดสายเป็นสี่เหลี่ยมจัตุรัสขนาด 1 ตารางเซนติเมตร และต้องใช้ความสูง 7 ไมครอน ดังนั้นจะพื้นที่ของเนื้อทองคำเท่ากับ 0.7×10^{-3} ลูกบาศเซนติเมตร และทองคำมีความหนาแน่น 17 กรัมต่อลูกบาศเซนติเมตร จะได้ว่า ต้องใช้ทองคำทั้งสิ้น 11.9 มิลลิกรัม คิดเป็นค่าใช้จ่ายของทองคำประมาณ 20.14 บาท สำหรับการสร้างหน้ากากกันรังสีเอ็กซ์ที่ clad ด้วยโลหะขนาด 1 ตารางเซนติเมตร

สารละลายเงินสำหรับการชุบเงินด้วยไฟฟ้าราคาต่ำๆ 1,350 บาท โดยภายในหนึ่งลิตรมีเงินทั้งสิ้น 65 กรัม และสามารถชุบได้เพียง 40 กรัม (เหลือ 15 กรัมที่คงเหลือเนื่องจากสารละลายเจือจากน้ำ ไม่สามารถชุบด้วยไฟฟ้าได้) และเมื่อเงินก่อตัวขึ้นโดยการชุบโลหะด้วยไฟฟ้าจะมีความหนาแน่น 10.5 กรัมต่อลูกบาศเซนติเมตร พิจารณาการก่อตัวของเงินบนหน้ากากกันรังสีเอ็กซ์ โดยให้คลาดสายเป็นสี่เหลี่ยมจัตุรัสขนาด 1 ตารางเซนติเมตร และต้องใช้ความสูง 13 ไมครอน ดังนั้นจะพื้นที่ของเนื้อโลหะเงินเท่ากับ 1.3×10^{-3} ลูกบาศเซนติเมตร และเงินมีความหนาแน่น 10.5 กรัมต่อลูกบาศเซนติเมตร จะได้ว่า ต้องใช้โลหะเงินทั้งสิ้น 13.65 มิลลิกรัม คิดเป็นค่าใช้จ่ายของโลหะเงินประมาณ 0.461 บาท สำหรับการสร้างหน้ากากกันรังสีเอ็กซ์ที่ clad ด้วยโลหะขนาด 1 ตารางเซนติเมตร

จะเห็นว่าในการสร้างหน้ากากกันรังสีเอ็กซ์ที่มีขนาด clad ด้วยโลหะเท่ากัน ถึงแม้ว่าการใช้โลหะเงินเป็นวัสดุคงลีนรังสีเอ็กซ์แทนทองคำนั้น ต้องใช้ความหนานมากกว่าทองคำเกือบสองเท่า แต่มีอัตราเทียบค่าใช้จ่ายแล้ว เมื่อใช้โลหะเงินสามารถลดค่าใช้จ่ายได้มากกว่า 40 เท่าเมื่อเทียบกับการใช้ทองคำ โดยในการใช้งานจริงนั้น เมื่อเทียบราคางold กับเงินแล้ว จะเห็นว่าในกระบวนการชุบโลหะเงินลงบนหน้ากากกันรังสีเอ็กซ์นั้น สามารถชุบให้มีความหนาสูงเพื่อไว้ที่ประมาณ 20 ไมโครเมตร ได้ โดยที่ค่าใช้จ่ายในกระบวนการยังคงลดลงเมื่อเทียบกับกระบวนการในการใช้ทองคำ หลายสิบเท่า ทั้งยังสามารถตัดกระบวนการควบคุมความหนาออกไปได้อีกด้วย ซึ่งในกระบวนการทดสอบนั้น ทำการชุบเงินลงไปบนหน้ากากกันรังสีเอ็กซ์ได้ประมาณ 18 ไมโครเมตร ลงบนฐานรองกราไฟต์ในการสร้างเป็นหน้ากากกันรังสีเอ็กซ์ เพื่อเพิ่มประสิทธิภาพในการดูดกลีนรังสีเอ็กซ์ ซึ่งจากการทดลองชี้ให้เห็นว่าความน้อยที่สุดที่สามารถใช้งานได้คือ 13 ไมโครเมตร ซึ่งในกรณีทำการเพื่อความหนาไว้ 5 ไมโครเมตร โดยรูปที่ 4.24 แสดงผลการวัดความสูงของโลหะบนหน้ากากกันรังสีเอ็กซ์ โดยใช้เครื่องวัดความหนารุ่น Wyko NT1100 ของบริษัท Veeco

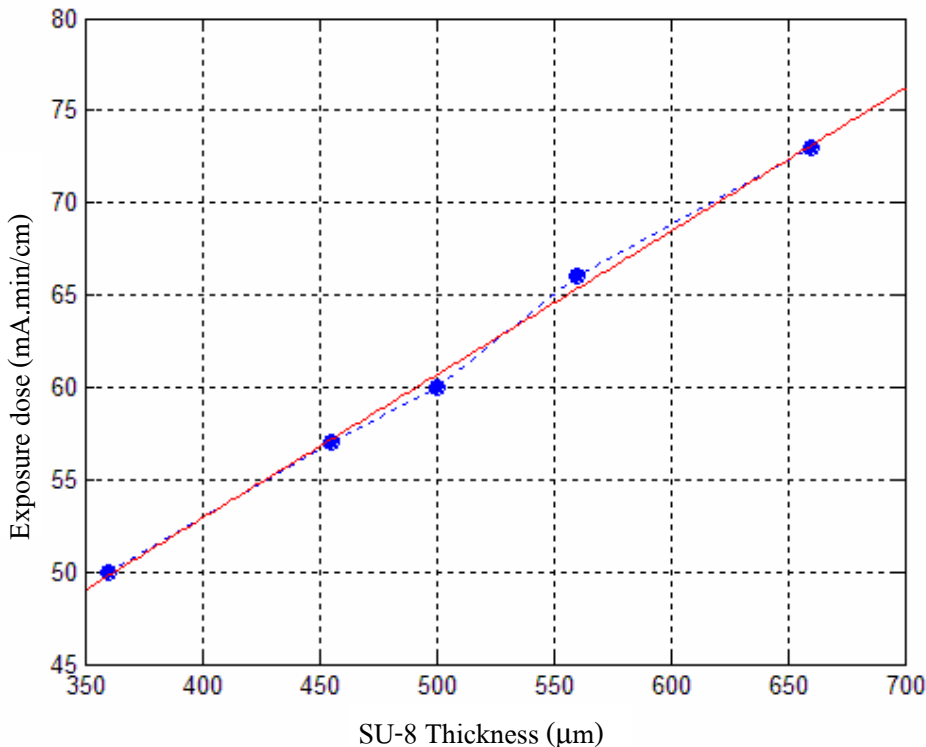


รูปที่ 4.24 ผลการวัดความหนาของโลหะเงินบนหน้ากากกันรังสีเอ็กซ์

เมื่อสร้างหน้ากากกันรังสีเอ็กซ์ตามเงื่อนไขข้างต้นเสร็จสิ้น จึงได้นำหน้ากากกันรังสีเอ็กซ์ที่สร้างขึ้นไปใช้ในกระบวนการ เพื่อแสดงให้เห็นว่าโลหะเงินสามารถใช้แทนทองคำในการสร้างหน้ากากกันรังสีเอ็กซ์สำหรับกระบวนการ lithography ด้วยรังสีเอ็กซ์ ซึ่งการทดลองใช้หน้ากากกันรังสีเอ็กซ์ดังกล่าวในกระบวนการก่อสร้างได้โดยชิ้นงานที่ถ่ายแสงผ่านหน้ากากกันรังสีเอ็กซ์ที่สร้างจากโลหะเงินนั้น ได้ลวดลายโครงสร้างที่ดี ยืนยันได้ว่าสามารถใช้โลหะเงินเป็นวัสดุคงคลีนรังสีเอ็กซ์ได้

จากนั้นทำการทดลองณาแสงลงบนสารไวแสง SU-8 ความหนาอีก 1 μm เพื่อหาค่าพลังงานสะท้อนที่เหมาะสมบนชิ้นงาน ซึ่งจากการทดลองได้ผลดังรูปที่ 4.25 โดยในการฉายรังสีเพื่อทดลองนี้ ชิ้นงานที่เตรียมล่วงหน้าก่อนการฉายรังสีเอ็กซ์ด้วยค่าพลังงานสะท้อนดังแสดงข้างต้นนั้น สามารถลดฟลัมและได้ลวดลายของโครงสร้างที่ดี ซึ่งกระบวนการหาค่าที่เหมาะสมที่สุดนี้ ปัจจุบันยังคงทำการพัฒนาเพื่อให้ได้ค่าที่เหมาะสมที่สุด ทั้งยังทำการพัฒนาระบบทับเคลื่อนชิ้นงานเพื่อให้ได้

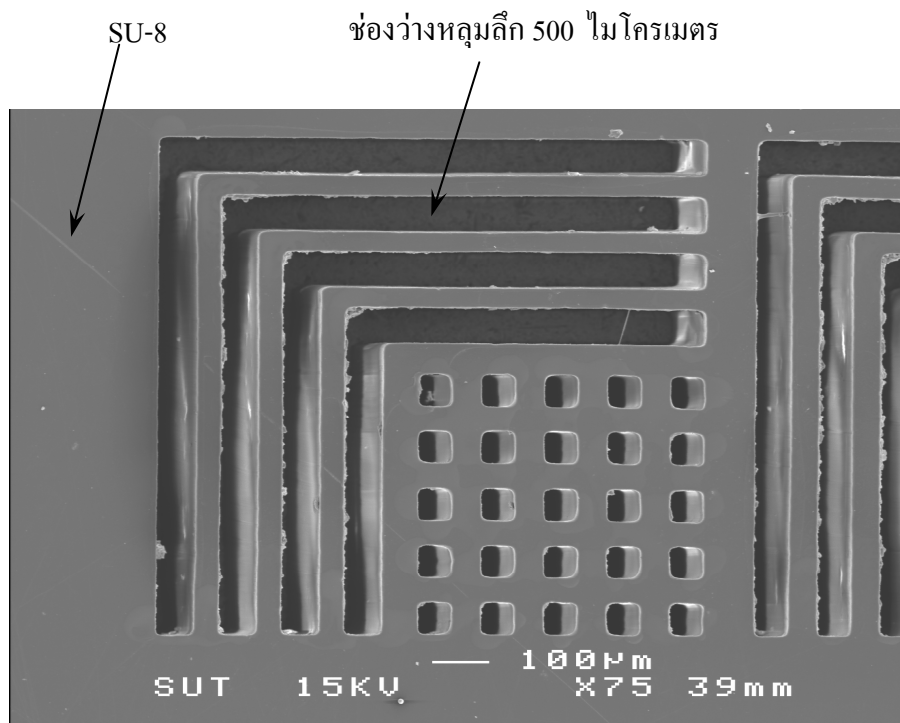
ระบบขับเคลื่อนชิ้นงานในกระบวนการลิโซกราฟีที่ดีที่สุด และสามารถกำหนดค่าพลังงานที่ต้องการได้อย่างแม่นยำ



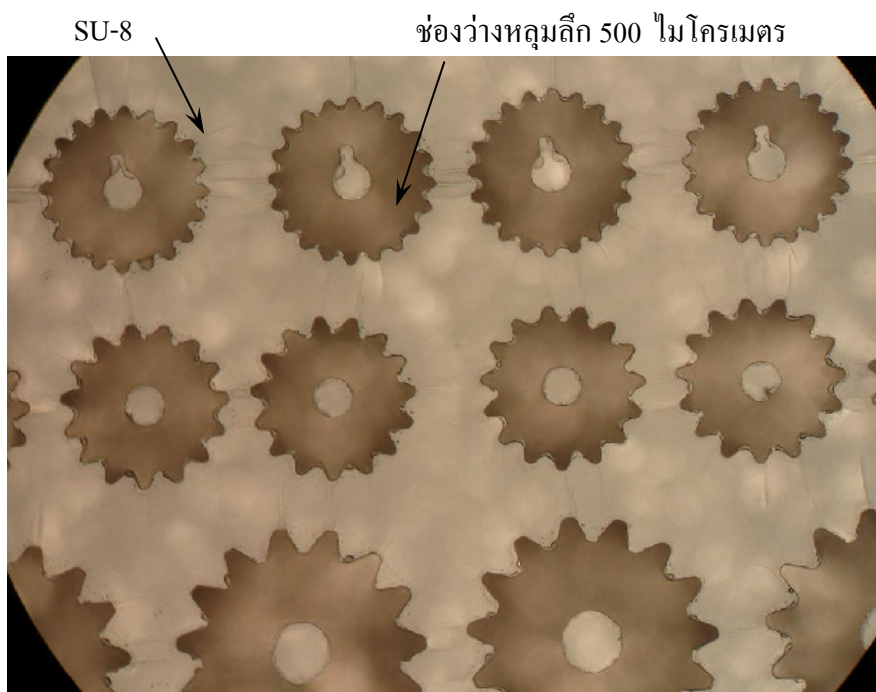
รูปที่ 4.25 ค่าพลังงานสะสมบนชิ้นงาน (mA.min/cm) ที่เคลือบด้วยสารไวแสง SU-8 ความหนาค่าต่าง ๆ ที่สามารถถ่ายพิล์มแล้วได้โครงสร้างที่ดี

4.6 การถ่ายสารไวแสง (Developing)

ขั้นท้ายสุดของการวนการลิโซกราฟีด้วยรังสีเอกซ์คือ ขั้นตอนของการถ่ายสารไวแสง (Developing) โดยสารไวแสงที่ใช้ในกระบวนการคือ SU-8 ซึ่งส่วนที่ไม่แสงมาตกกระทบจะเกิดการแข็งตัว และส่วนที่ไม่แสงมาตกกระทบจะมีคุณสมบัติเหมือนเดิมและสามารถถ่ายทิ้งได้ ดังนั้นในขั้นตอนการถ่ายสารไวแสง จะใช้สาร SU-8 Developer ในการถ่ายสารไวแสงส่วนที่ไม่แสงมาตกกระทบออก ในการถ่ายสารไวแสงนั้นจะใช้ปากคิบหินชิ้นงานมาแกะง่าน้ำยา SU-8 Developer ซึ่งเทใส่ในบีกเกอร์ให้ท่วมชิ้นงาน จากนั้นแช่ชิ้นงานไว้ในน้ำยา SU-8 Developer และทำการวนน้ำยา SU-8 Developer เป็นเวลาทั้งสิ้น 2 ชั่วโมง 30 นาที จากนั้นจึงยกชิ้นงานออกมา แล้วใช้สาร IPA ฉีดลงไปบนชิ้นงานเพื่อทำการถ่ายน้ำยา SU-8 Developer ออกจากชิ้นงานจนหมด จึงทำการเป่าเบา ๆ ด้วยแก๊สในโตรเรน จะได้ชิ้นงานที่สร้างจากกระบวนการลิโซกราฟีด้วยรังสีเอกซ์ ดังรูปที่ 4.26 และรูปที่ 4.27



รูปที่ 4.26 ภาพถ่ายจากกล้องชุลทรศน์อิเล็กตรอนแบบส่องกราด (SEM) โครงสร้างทดสอบที่สร้างจากการลิโซกราฟีด้วยรังสีเอ็กซ์



รูปที่ 4.27 โครงสร้างพีอง ที่สร้างจากการลิโซกราฟีด้วยรังสีเอ็กซ์

จากรูปที่ 4.26 และรูปที่ 4.27 จะเห็นว่าชิ้นงานที่ออกแบบมานั้นมีลักษณะโครงสร้างที่ดี ตรงตาม
ลักษณะโครงสร้างที่กำหนดบนหน้ากากกันรังสีเอ็กซ์ ซึ่งสามารถนำชิ้นงานที่ได้นี้ไปดำเนินการใน
กระบวนการต่อไปได้

บทที่ 5

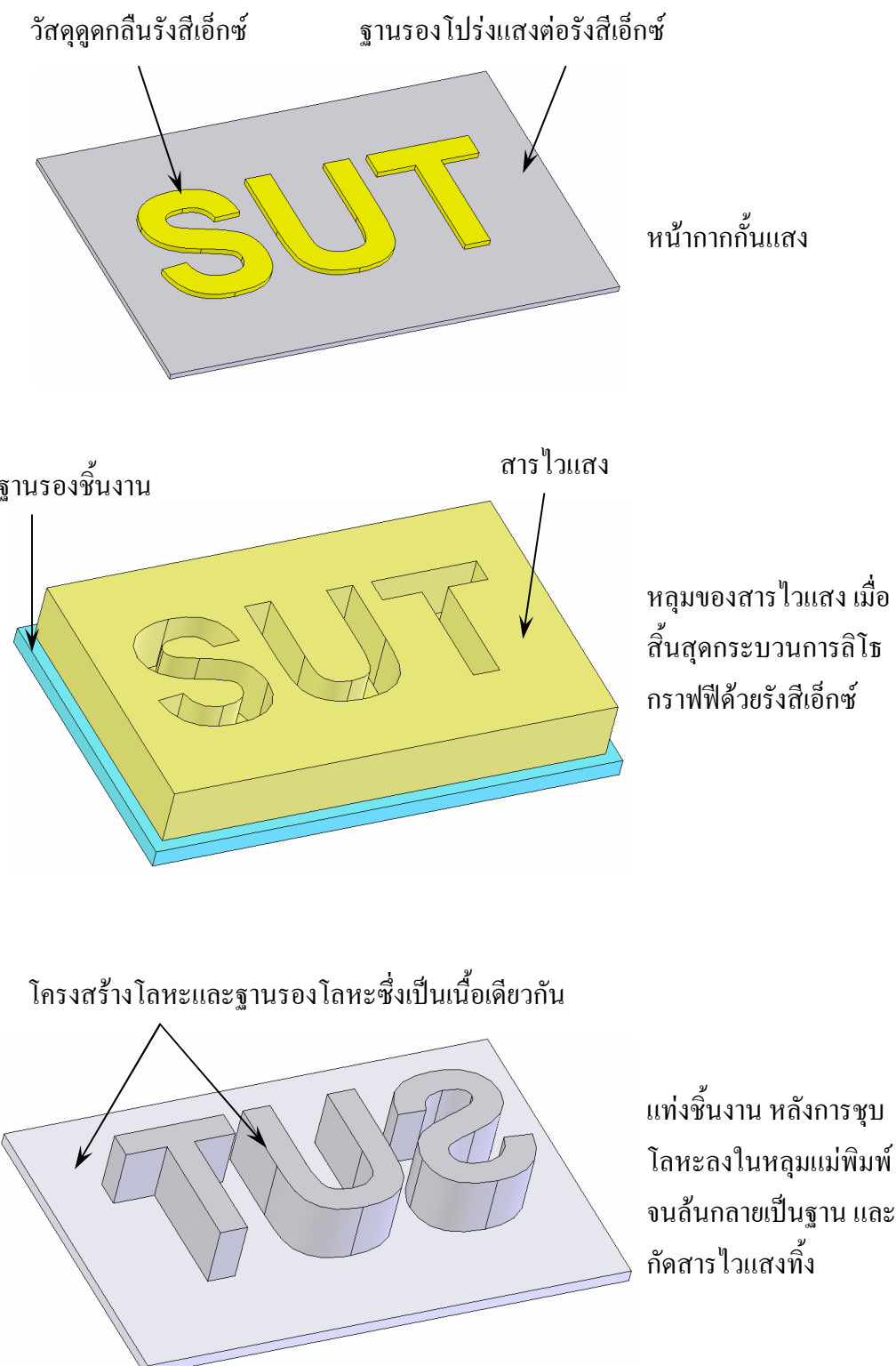
การสร้างแม่พิมพ์โลหะและการผลิตชิ้นงาน

หลังจากที่สร้างชิ้นงานด้วยกระบวนการลิโซกราฟีด้วยรังสีเอกซ์จะนำเส้นกรอบวนการแล้วนั้น ก็จะสามารถนำชิ้นงานไปใช้งานได้ แต่ในบางกรณีอาจมีความจำเป็นต้องใช้ชิ้นงานที่เป็นโลหะ โดยชิ้นงานที่สร้างจนเสร็จด้วยพอลิเมอร์นั้นอาจใช้งานไม่ได้ หรือในบางกรณีนั้นชิ้นงานที่ทำการสร้างจนเสร็จสิ้นเพียงชิ้นเดียว แต่ในการทดสอบหรือการใช้งานนั้น มีความจำเป็นต้องใช้หลายชิ้น ด้วยเหตุผลข้างต้นจึงมีความจำเป็นต้องสร้างชิ้นงานจากโลหะ รวมถึงการสร้างแม่พิมพ์ เพื่อที่จะทำการผลิตชิ้นงานช้าโดยไม่ต้องอาศัยกระบวนการลิโซกราฟีด้วยรังสีเอกซ์ ซึ่งทำให้สามารถลดต้นทุนในกระบวนการได้มาก รวมถึงยังสามารถลดเวลาได้อีกด้วย

5.1 หลักการสร้างแม่พิมพ์โลหะ

ในงานหลายชนิดมีความจำเป็นต้องใช้ชิ้นงานที่สามารถนำไปใช้ได้ และการสร้างชิ้นงานให้มีคุณสมบัติที่สามารถนำไปใช้ได้ ตัวอย่างเช่น สำหรับการทำการสร้างจากโลหะ เช่น ทองคำ ทองแดง หรือนิกเกิล ซึ่งสามารถก่อวัสดุที่สามารถนำไปใช้ได้ หรือชินกิดอื่นๆ นี่เองจากโลหะดังที่ได้กล่าวมาแล้ว สามารถขึ้นรูปได้ด้วยวิธีการชุบด้วยไฟฟ้า (Electroplating) ซึ่งเป็นวิธีที่ง่ายต่อการสร้างชิ้นงาน ทั้งยังสามารถสร้างชิ้นงานที่มีความคมชัด มีโครงสร้างที่ดีอีกด้วย ในการสร้างชิ้นงานจากโลหะนั้น จะเป็นการนำชิ้นงานที่สร้างจากกระบวนการลิโซกราฟีด้วยรังสีเอกซ์มาสร้างต่อ โดยการออกแบบลวดลายเริ่มต้นนั้นแบ่งตามวัตถุประสงค์ในการสร้างชิ้นงานออกได้เป็นสองประเภท คือ การออกแบบเพื่อสร้างชิ้นงานเป็นโลหะ และการออกแบบเพื่อสร้างชิ้นงานเป็นวัสดุอื่น โดยสร้างแม่พิมพ์จากโลหะ ซึ่งสำหรับขั้นตอนการสร้างชิ้นงาน ฐานรองชิ้นงานในกระบวนการลิโซกราฟีด้วยรังสีเอกซ์นั้น ต้องเป็นวัสดุที่นำไฟฟ้า และสามารถเป็นฐานสำหรับการชุบโลหะด้วยไฟฟ้าได้อีกด้วย

หากต้องการให้ชิ้นงานสุดท้ายเป็นโลหะ กระบวนการสร้างชิ้นงานด้วยวิธีการลิโซกราฟีด้วยรังสีเอกซ์นั้น ลวดลายโครงสร้างชิ้นงานต้องเป็นลวดลายที่กลับด้าน เนื่องจากเมื่อสร้างจนเสร็จสิ้นกระบวนการลิโซกราฟีด้วยรังสีเอกซ์แล้ว ลวดลายโครงสร้างจะได้เป็นลวดลายตามจริง ซึ่งต้องนำชิ้นงานดังกล่าวไปเป็นแม่พิมพ์สำหรับการชุบด้วยโลหะ และเมื่อทำการชุบโลหะลงไปแล้ว โครงสร้างที่เป็นโลหะนั้น จะเป็นโครงสร้างที่มีลวดลายกลับด้านกับลวดลายที่ออกแบบไว้ ดังแสดงในรูปที่ 5.1



รูปที่ 5.1 ลวดลายโครงสร้างในลำดับขั้นการขึ้นรูปด้วยสารไวแสง SU-8

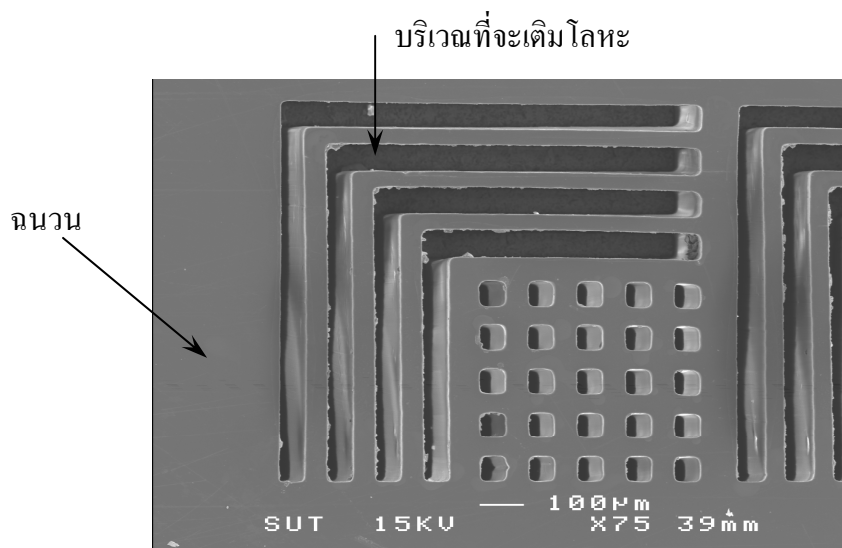
จากรูปที่ 5.1 จะเห็นว่าหลังจากที่เสร็จสิ้นกระบวนการผลิติโซกราฟฟิคด้วยรังสีเอ็กซ์แล้ว จะได้

ชิ้นงานตาม漉คลายต้นแบบดังหน้ากากกันแสง และเมื่อทำการชุบโลหะลงไปบนชิ้นงาน เพื่อสร้างเป็นชิ้นงานโลหะนั้น ชิ้นงานที่ได้จะอยู่ในลักษณะกลับด้านกับ漉คลายที่ออกแบบไว้ ซึ่งด้วยเหตุผลดังกล่าว ในการออกแบบ漉คลายในแต่ละครั้งแล้ว นอกจากจะต้องคำนึงว่าจะใช้กับสารไวแสงชนิดน้ำกหรือลูนแล้ว ยังต้องคำนึงด้วยว่าต้องการชิ้นงานเป็นพอลิเมอร์หรือว่าโลหะ เพื่อจะได้ออกแบบ漉คลายได้ตรงตามความต้องการว่าจะเป็นหน้าตรงหรือกลับด้าน

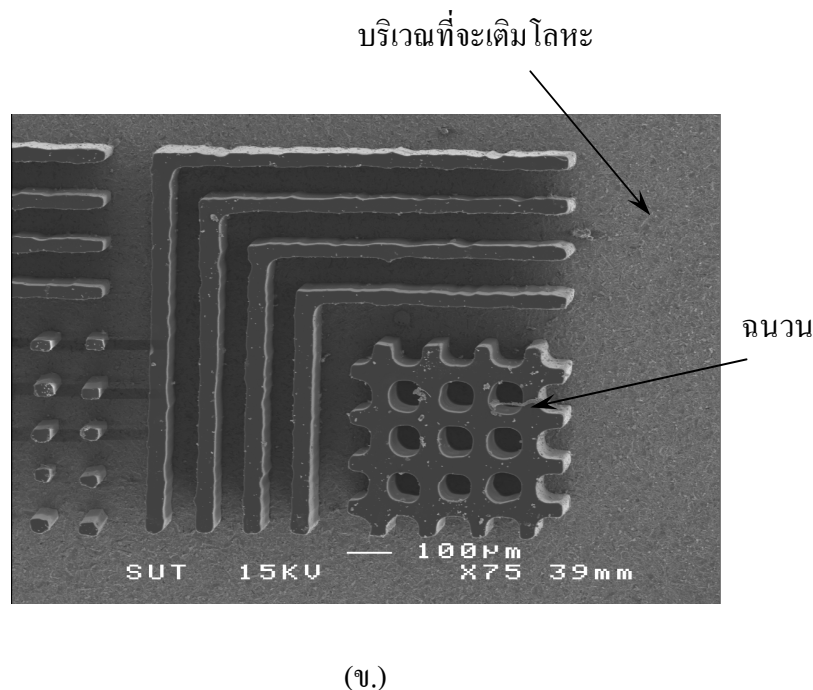
กรณีชิ้นงานทดสอบที่สร้างขึ้นนั้น จากที่ได้แสดงในขั้นตอนกระบวนการลิโซกราฟีด้วยรังสีเอกซ์ จะเห็นว่าจาก漉คลายของชิ้นงานเริ่มต้นที่หน้ากากกันรังสีเอกซ์เทียบกับหลุมของ漉คลายที่สร้างเสร็จสิ้นกระบวนการ เป็นไปดังแสดงในรูปที่ 5.1 ดังนั้น เมื่อทำการสร้างชิ้นงานต่อให้เป็นโลหะนั้น ชิ้นงานโลหะที่ได้จะเป็นชิ้นงานที่มี漉คลายกลับด้านกับ漉คลายบนหน้ากากกันรังสีเอกซ์ ซึ่งจะเห็นว่าในการสร้างชิ้นงานเป็นโลหะด้วยกระบวนการนี้นั้น ต้องออกแบบชิ้นงานให้กลับด้านเพื่อชิ้นงานโลหะสุดท้ายจะได้เป็นชิ้นงานจริงที่ไม่กลับด้านนั่นเอง

5.2 การชุบโลหะด้วยไฟฟ้า

หลังจากที่ทำการสร้างชิ้นงานด้วยกระบวนการลิโซกราฟีด้วยรังสีเอกซ์จนเสร็จสิ้น กระบวนการแล้ว ขั้นตอนต่อไปจะเป็นขั้นตอนสำหรับการนำชิ้นงานที่สร้างเสร็จนั้นมาทำการเติมโลหะเข้าไปในหลุมของสารไวแสง ด้วยวิธีการชุบโลหะด้วยไฟฟ้า (Electroplating) เข้าไปจนเต็มหลุม และล้วนออกมานอกก่อเป็นฐานของของชิ้นงานซึ่งจะทำให้ฐานเป็นเนื้อเดียวกันกับชิ้นงาน หรือในบางกรณีอาจชุบแค่พอดีเต็มหลุม ซึ่งก็ขึ้นกับความจำเป็นและการออกแบบชิ้นงานนั่นเอง โดยชิ้นงานทดสอบที่สร้างเสร็จสิ้นกระบวนการลิโซกราฟีด้วยรังสีเอกซ์นั้น แสดงได้ดังรูปที่ 5.2



(ก.)

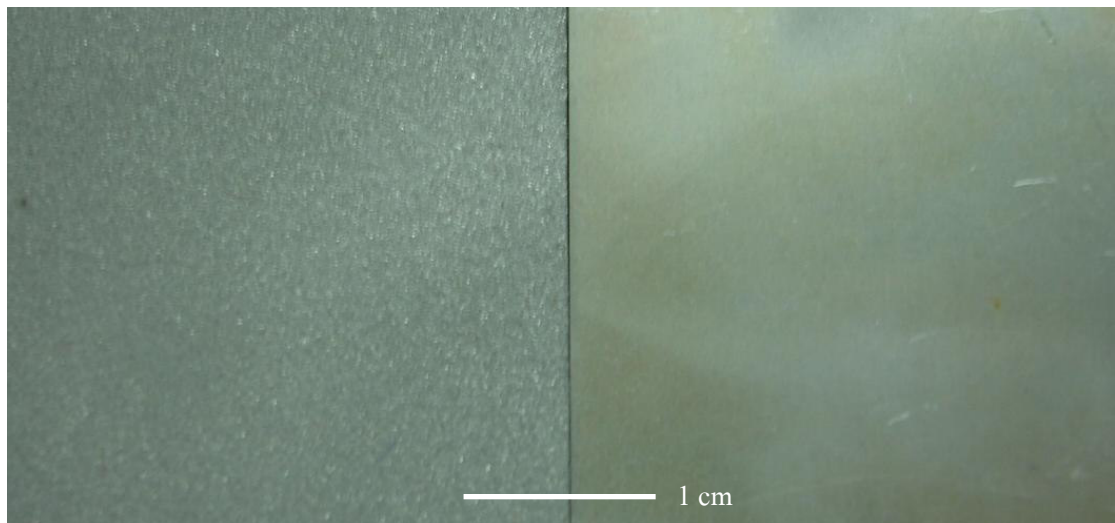


(ข.)

รูปที่ 5.2 ชิ้นงานที่สร้างจากการผลิตอิเล็กทรอนิกส์ (ก.) ชิ้นงานในลักษณะหลุมของสารไวแสง (ข.) ชิ้นงานในลักษณะแท่งของสารไวแสง

ฐานของชิ้นงานที่จะนำมาซับโลหะด้วยไฟฟ้านี้ ต้องเป็นวัสดุที่สามารถนำไฟฟ้าได้ โดยในขั้นการทดลองนั้น ได้ทดลองนำวัสดุหลายชนิดมาทำเป็นฐานของชิ้นงาน โดยเน้นวัสดุที่หาง่าย และราคาไม่แพงมากนัก จากการทดลองใช้กราไฟต์ ผลปรากฏว่า สามารถสร้างชิ้นงานจนสิ้นสุดกระบวนการผลิตอิเล็กทรอนิกส์ได้ แต่เมื่อนำมาทำการชุบโลหะด้วยไฟฟ้านี้ โลหะเกาะกับฐานกราไฟต์ได้ไม่ดีนัก เนื่องจากกราไฟต์เกิดการหลุดร่อนที่บริเวณผิวได้ง่าย จึงทำให้หล่ายครั้งที่ชิ้นงานเกิดการหลุดจากฐานในขณะที่ยังทำการชุบโลหะ ไม่เสร็จ ทำให้ชิ้นงานเสียหายและไม่สามารถชุบโลหะต่อจนเสร็จได้ จากนั้นทำการทดลองใช้แผ่นสเตนเลส ขัดจนเรียบเงา ปรากฏว่าไม่สามารถสร้างชิ้นงานจนเสร็จสิ้นกระบวนการผลิตอิเล็กทรอนิกส์ได้ เนื่องจากการยึดเกาะของสารไวแสงบนพื้นผิวสเตนเลสนั้นไม่ดีเท่าที่ควร ทำให้เกิดการหลุดร่อนของสารไวแสงออกจากฐาน ซึ่งส่งผลให้คุณภาพของชิ้นงานเสียหาย และสุดท้ายทดลองกับแผ่นสเตนเลสที่ขัดจนเรียบแล้ว นำไปปั๊พน้ำทรายด้วยความเร็วสูง เพื่อให้เกิดหลุมขรุขระขนาดเล็กบนพื้นผิว โดยลักษณะพื้นผิวแสดงได้ดังรูปที่ 5.3 และเมื่อนำแผ่นสเตนเลสที่ทำการพ่นทรายเรียบร้อยแล้วมาใช้ในกระบวนการผลิต ปรากฏว่า สามารถสร้างชิ้นงานจนสิ้นสุดกระบวนการผลิตอิเล็กทรอนิกส์ได้โดยที่สารไวแสงสามารถเกาะกับฐานได้ดี ไม่มีการหลุดร่อน และเมื่อนำชิ้นงานมาทำการชุบโลหะด้วยไฟฟ้า ก็ไม่เกิดการหลุดร่อนของชิ้นงานออกจากฐานระหว่างการดำเนินการชุบโลหะแต่อย่างใดดังนั้นจึง

เลือกใช้ฐานที่เป็นแผ่นสแตนเลสที่ทำการพ่นทรายเรียบร้อยแล้ว ในกระบวนการทดสอบสร้างชิ้นงานสำหรับการทดสอบ



รูปที่ 5.3 ขวากีอีพีนิวของแผ่นสแตนเลส และซ้ายคือพีนิวของแผ่นสแตนเลสหลังทำการพ่นทราย

การชุบโลหะด้วยไฟฟ้า (electroplating) นั้นเป็นกระบวนการของการเกิดปฏิกิริยาทางเคมี เมื่อมีการไหลของกระแสไฟฟ้าระหว่างขี้ไวไฟฟ้าสองขี้ โดยผ่านสารละลายซึ่งมีตัวนผสมของเกลือของโลหะที่ต้องการ โดยกระแสจะไหลผ่านสารละลายในทิศทางการไหลของไอออนบวก (อะลีกตรอนในโลหะในทิศทางตรงกันข้าม) ซึ่งสามารถใช้อัตราการไหลดังกล่าวเพื่อวัดอัตราการเกิดของปฏิกิริยาได้ โดยปฏิกิริยาที่เกิด ณ ขั้นบวกจะเป็นปฏิกิริยาออกซิเดชัน ดังสมการที่ 5.1



ส่วนขั้ลนจะเกิดปฏิกิริยาเรดักชัน ดังสมการที่ 5.2



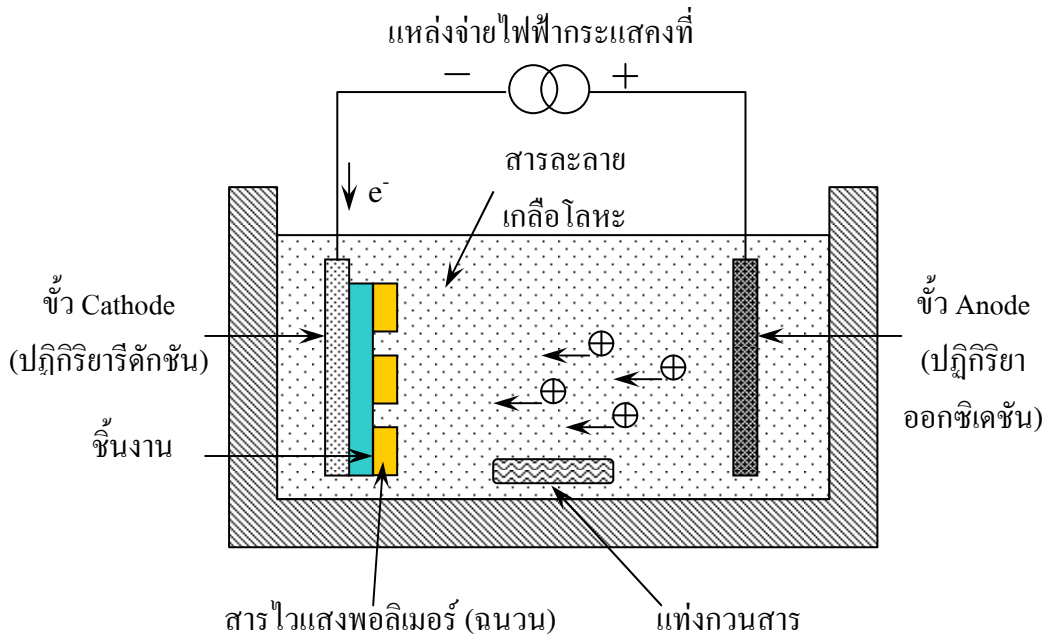
โดยที่ M คือ วัสดุที่เกิดปฏิกิริยา

M^{n+} คือ จำนวนไอออนของวัสดุที่เกิดปฏิกิริยา

ne^- คือ จำนวนอะลีกตรอนในการเกิดปฏิกิริยา

ถ้าสมมุติให้กระแสของทั้งขั้นบวกและขั้ลนมีค่าเท่ากันจะได้ว่า มวลของไอออนของโลหะ

ในสารละลายนี่ค่าคงที่ โดยลักษณะการต่อวงจรในการชุบโลหะด้วยไฟฟ้าแสดงได้ดังรูปที่ 5.4



รูปที่ 5.4 แผนภาพแสดงการติดชิ้นงานและการต่อวงจรสำหรับการชุบโลหะด้วยไฟฟ้า

การติดตั้งนั้นชิ้นงานที่ต้องการเติมโลหะลงไปจะติดตั้งไว้ที่ข้อ cathode ส่วนขัวบวก (anode) จะเป็นโลหะที่ต้องการเติมลงไปในชิ้นงาน จากนั้นจุ่มทั้งสองขั้งลงไปในภาชนะพร้อมทั้งเติมสารละลายน้ำของโลหะ (electrolyte) ที่ต้องการเติมลงในชิ้นงานลงไปจนท่วมทั้งสองข้าว เมื่อต่อไฟเข้าไปทั้งสองข้าวแล้ว กระแสจะไหลระหว่างขัวบวกและขัวลบผ่านสารละลายน้ำที่เติมลงไป และในกระบวนการ LIGA นั้น วัสดุที่ใช้ในการชุบโลหะโดยทั่วไปแล้วใช้นิกเกิล (Nickel : Ni) เนื่องจากเป็นวัสดุที่มีคุณสมบัติในการชุบโลหะที่ดีเยี่ยม และกระบวนการชุบส่วนใหญ่ใช้กระบวนการจ่ายกระแสแบบคงที่ (Galvanostatic plating) ซึ่งเป็นกระบวนการที่ควบคุมเพียงกระแสที่ไหลระหว่างขัวสองข้าวเท่านั้น ซึ่งควบคุมได้ง่ายผ่านทางแหล่งจ่ายกระแสซึ่งเป็นแหล่งจ่ายแบบคงค่ากระแสันเอง

อัตราการเกิดของโลหะบนชิ้นงานคำนวณได้โดยใช้กฎของฟาราเดย์ (Faraday's Law)

$$\omega = \frac{A_\omega}{(F)(n_{el})}(I)(t) \quad (5.3)$$

โดยที่ ω กือ มวลของโลหะที่เกิดขึ้นที่ขัวลบหรือที่หลุดออกจากขัวบวก (g)

A_ω	คือ มวลอะตอม (atomic weight) ของโลหะที่ชุบ
n_{el}	คือ จำนวนอิเล็กตรอนในการเกิดปฏิกิริยา
F	ค่าคงที่ฟาราเดียมีค่าเท่ากับ 96,487 คูลومบ์ต่ำโมล
I	กระแสที่ไหลผ่านสารละลายในภาชนะ (mA)
t	คือ เวลาในการชุบโลหะ (วินาที)

ถ้าคิดว่าในการเกิดปฏิกิริยาทางเคมีต่าง ๆ เช่นการเกิดปฏิกิริยาเรดักชันของไฮโดรเจน (Reduction of hydrogen) ใช้กระแสในอัตราที่น้อยมาก จะได้สมการเป็นดังนี้

$$\omega_{practical} = \eta \frac{A_\omega}{(F)(n_{el})} (I)(t) \quad (5.4)$$

โดยที่ η คือ ประสิทธิภาพในการชุบโลหะ (Plating efficiency)

ความหนาของโลหะที่ก่อตัวขึ้นสามารถคำนวณได้โดยพิจารณาจากปริมาณและความหนาแน่นของโลหะที่ใช้ในการชุบดังสมการ

$$\omega = \rho Ah \quad (5.5)$$

โดยที่ ρ คือ ความหนาแน่นของโลหะ
 A คือ พื้นที่การชุบโลหะ
 h คือ ความสูงของโลหะก่อตัวขึ้น

ดังนั้นความสูงของโลหะที่ก่อตัวขึ้นสามารถคำนวณได้จากสมการ

$$h = \eta \frac{(A_\omega)(I)(t)}{\rho AF(n_{el})} \quad (5.6)$$

และอัตราในการชุบโลหะ (Electroplating rate) สามารถหาได้ดังนี้

$$\frac{dh}{dt} = \eta \frac{A_\omega I}{\rho AF(n_{el})}$$

$$= \eta \frac{A_\omega J}{\rho F(n_{el})} \quad (5.7)$$

โดยที่ J คือ ความหนาแน่นกระแส (A/cm^2)

ยกตัวอย่างการชูบโลหะนิกเกิลซึ่งเป็นโลหะที่ใช้กันทั่วไปในการคำนวณความสูงของโลหะที่เกิดขึ้น โดยใช้มีคุณสมบัติดังนี้

มวลอะตอม (atomic weight) เท่ากับ 58.69 กรัมต่อโมล

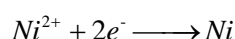
จำนวนอิเล็กตรอนในการเกิดปฏิกิริยา $n_{el} = 2$

ความหนาแน่น $\rho = 8.9 \text{ g/cm}^3$

ปฏิกิริยาที่เกิดขึ้นที่ขั้นตอนเป็นปฏิกิริยาออกซิเดชันดังนี้



ส่วนขั้นตอนจะเกิดปฏิกิริยาเร็วๆ ดังนี้



ความหนาของโลหะที่เกิดขึ้นสามารถคำนวณได้ดังนี้

$$h[cm] = \eta \frac{A_\omega I}{\rho AF(n_{el})}$$

$$h[cm] = \eta \cdot \frac{58.69}{8.9 \times 96487 \times 2} \cdot \frac{I}{A} \cdot t$$

$$= \frac{\eta}{29263} \cdot J \cdot t$$

ถ้าสมมุติให้ค่าประสิทธิภาพมีค่า 95.5% ความหนาแน่นกระแสเท่ากับ 10 mA/cm^2 จะได้ว่า หากต้องการความหนาของโลหะเท่ากับ 5 มิลลิเมตร ต้องใช้เวลาเท่ากับ

$$t = \frac{29263}{\eta J} h[cm]$$

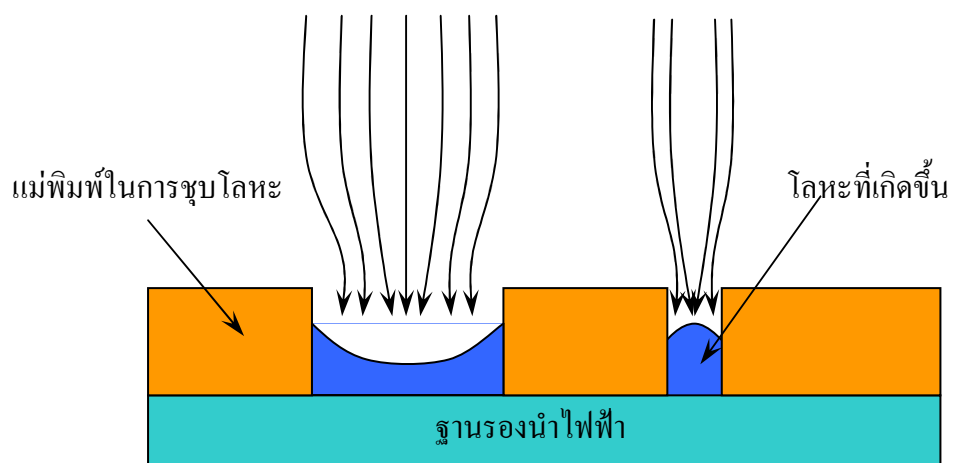
$$t = \frac{29263}{0.955 \times 0.01} 0.0005$$

$$t = 1532.09 \text{ sec}$$

จะได้ว่าต้องทำการชุบด้วยเวลาประมาณ 25.5 นาที และถ้าต้องการให้ได้ความหนาที่ 50 ไมโครเมตร ต้องทำการชุบด้วยเวลาทั้งสิ้น 255.4 นาที และหากเพิ่มความหนาแน่นกระแทกขึ้นเป็น 50 mA/cm^2 เวลาที่ใช้ในการชุบเพื่อให้ได้ความหนา 50 ไมโครเมตร จะใช้เวลาทั้งสิ้นประมาณ 51 นาที

โดยทั่วไปแล้วการเกิดของโลหะบนชิ้นงานนั้น จะเกิดขึ้นในลักษณะที่ไม่สม่ำเสมอ ซึ่งเป็นผลมาจากการถ่ายปัจจัย เช่น ความไม่สม่ำเสมอของกระแส ซึ่งเกิดจากถ่ายกรณีอาทิเช่น ลักษณะรูปร่างหรือลักษณะของชิ้นงานที่ทำการชุบ ทิศทางในการหมุนของชิ้นงานเมื่อเทียบกับขั้วลง (anode) หรือแม้แต่ตำแหน่งของขั้วไฟฟ้าในภาชนะชุบ ลักษณะการเกิดของโลหะแบบไม่สม่ำเสมอ นั้นแสดงได้ดังรูปที่ 5.5 ซึ่งเปรียบเทียบการเกิดของโลหะที่บริเวณของชิ้นงานที่มีขนาดรูปร่างที่แตกต่างกัน ซึ่งในการลดผลกระทบความไม่สม่ำเสมออนั้นการให้ความหนาแน่นกระแทกน้อย ๆ ใน การชุบสามารถช่วยลดผลดังกล่าวลง ได้แต่เมื่อความหนาแน่นกระแทกนี้จะส่งผลให้ต้องเพิ่มเวลาในการชุบขึ้นเพื่อให้ได้ความหนาที่ต้องการ ดังนั้นในการชุบโลหะถ่ายครั้งจะทำการชุบให้ล้านจากหลุมขึ้นไปส่วนหนึ่ง แล้วจึงทำการขัดผิวน้ำของชิ้นงานออก เพื่อให้ผิวของชิ้นงานเรียบ ซึ่งหากไม่ทำการชุบให้ล้านนี้จะเห็นว่า อาจมีบางส่วนที่ยังไม่เต็มตามต้องการ

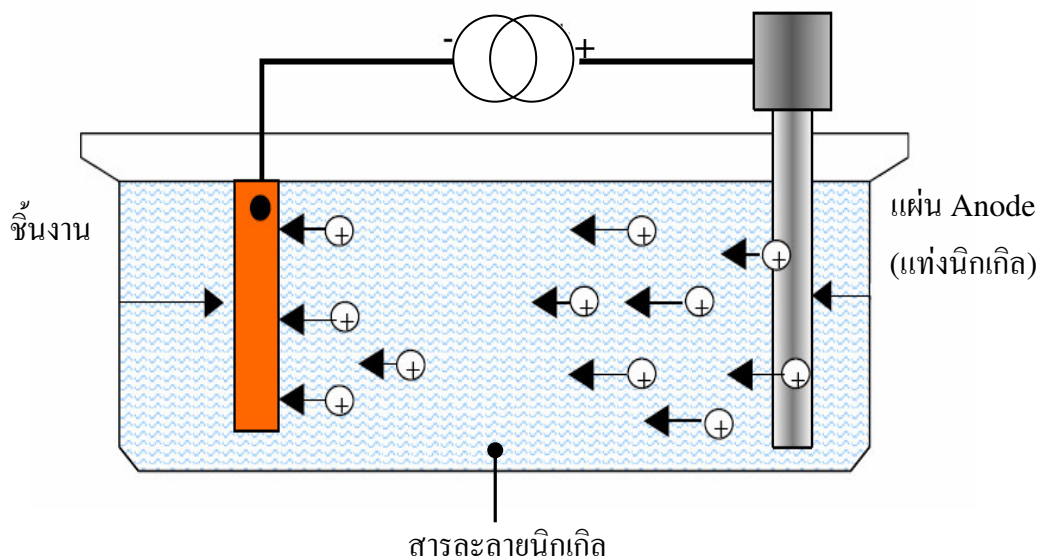
เส้นการไหลของกระแส



รูปที่ 5.5 การเกิดของโลหะแบบไม่สม่ำเสมอบนชิ้นงานที่มีขนาดช่องต่างกัน

โลหะที่จะทำการชุบด้วยไฟฟ้าเพื่อสร้างเป็นชิ้นงานในงานวิจัยนี้ ใช้โลหะnickel (Nickel) เนื่องจากเป็นโลหะที่มีความแข็งแรง มีจุดหลอมเหลวสูงถึง 1,453 องศาเซลเซียส สามารถขึ้นรูปด้วยกระบวนการชุบด้วยไฟฟ้าได้ ทั้งยังเป็นโลหะที่ใช้กันอย่างแพร่หลายในกระบวนการสร้างชิ้นงาน จุลภาค และการชุบ никเกลด้วยไฟฟ้านี้ จำเป็นต้องมีสารละลาย nickel กิลที่ใช้สำหรับการชุบด้วยไฟฟ้า โดยสารละลายสำหรับชุบ никเกลด้วยไฟฟ้านี้ จะผสมตามอัตราส่วนของสารต่าง ๆ โดยมี $\text{NiSO}_4 \cdot 6\text{H}_2\text{O}$ (Nickel Sulfate) ปริมาตร 200 กรัม $\text{NiCl}_2 \cdot 6\text{H}_2\text{O}$ (Nickel Chloride) ปริมาตร 5 กรัม H_3BO_3 (Boric Acid) ปริมาตร 25 กรัม และน้ำดื่มไอปริมาตร 1,000 มิลลิลิตร เมื่อทำการผสมสารข้างต้นจนเข้ากันแล้ว จะได้สารละลาย nickel สำหรับชุบ никเกลด้วยไฟฟ้า ซึ่งอยู่ในรูปปั๊สีเขียวใส ทำการกรองด้วยกระดาษกรองสารแบบเอียด (cat No 1001 หรือ 1002) จำนวน 5 รอบจากนั้นก็จะสามารถนำไปใช้งานได้ โดยในการชุบ никเกลด้วยไฟฟ้านี้จะทำการต่อวงจรเหมือนการชุบโลหะอื่น ๆ ด้วยไฟฟ้า ดังแสดงในรูปที่ 5.6

แหล่งจ่ายไฟฟ้ากระแสที่

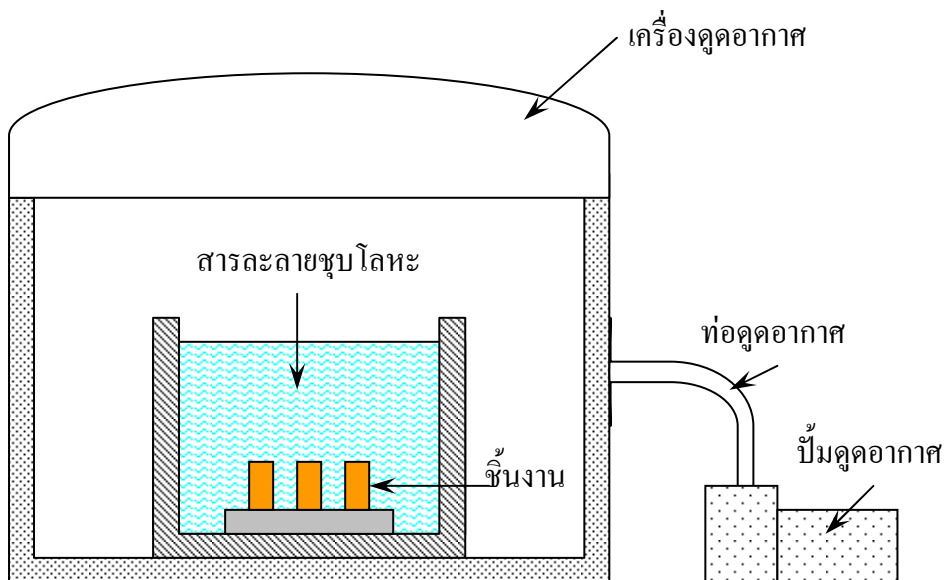


รูปที่ 5.6 การต่อวงจรชุบ никเกลด้วยไฟฟ้า

ในกระบวนการชุบ никเกลลงในแม่พิมพ์ซึ่งเป็นพอลิเมอร์ไวแสงที่ทำการสร้างลวดลายเรียบร้อยแล้วนั้น จะนำชิ้นงานมาต่อ กับวงจรขั้วลบ ส่วนขั้วบวกนั้นจะใช้แท่งโลหะnickel ในการต่อให้ครบวงจร ซึ่งต้องทำการเทสารละลายให้ท่วมชิ้นงานจนหมดทั้งส่วนของขั้วบวกและขั้วลบ โดยให้สารละลายเป็นตัวนำระหัวงขั้วบวกและขั้วลบ จากนั้นปล่อยให้กระแสไฟหล่อผ่านชิ้นงานช้า ๆ โดยในการตั้งค่าแหล่งจ่ายนั้นจะใช้แรงดันไฟฟ้าประมาณ 5-15 โวลต์ และทำการคงค่ากระแส

ให้ไอลองที่ประมาณ 20 -30 มิลลิเมตรปัต่อตารางเซนติเมตรและในระหว่างการดำเนินการนั้นด้องทำการกวนสารละลายตลอดเวลาเพื่อป้องกันการตกตะกอนของสารละลาย และให้สารสะมนูนเวียนทั่วทั้งภาชนะ ข้อที่คุณธรรม์ดังร่วงในระหว่างการดำเนินการมีหลัก ๆ 3 ข้อ คือ

1. การเกิดฟองน้ำภายในภาชนะ เนื่องจากภาชนะที่ทำการสร้างให้เป็นแม่พิมพ์บนสารไว้แสงนั้น เป็นภาชนะที่มีขนาดเล็กถึงระดับ 10 ไมโครเมตรในขณะที่ความสูงหรือความลึกของโครงสร้างนั้นสูงประมาณ 500 ไมโครเมตร ดังนั้นการที่นำหัวหรือสารละลายนิกเกิลจะสามารถซึมเข้าไปจนทั่วทั้งภาชนะ ดังนั้นสิ่งที่เกิดขึ้นภายในโครงสร้างคือฟองน้ำ ซึ่งจะทำให้บริเวณดังกล่าวไม่สามารถก่อตัวขึ้นได้ และทำให้ชิ้นงานเสียหายได้ วิธีแก้ไขจุดดังกล่าวคือ ก่อนที่จะทำการต่อวงจรชุบนิกเกิลลงไปนั้นควรมั่นใจว่า ไม่มีฟองน้ำหลงเหลืออยู่ในโครงสร้างเป็นอันขาด ซึ่งการที่จะกำจัดฟองน้ำออกไปนั้น ทำได้โดยการนำชิ้นงานจุ่มลงไปในสารละลายจนสารละลายท่วมทั่วทั้งชิ้นงาน และนำเข้าเครื่องดูดอากาศเพื่อทำการดูดอากาศออกดังแสดงในรูปที่ 5.7 เป็นเวลาอย่างน้อย 30 นาที เพื่อให้ฟองอากาศที่ติดอยู่ในช่องของโครงสร้างขนาดเล็กหลุดออกมานั้นจึงนำไปดำเนินการกระบวนการชุบโลหะต่อโดยไม่ต้องนำชิ้นงานขึ้นจากสารละลาย



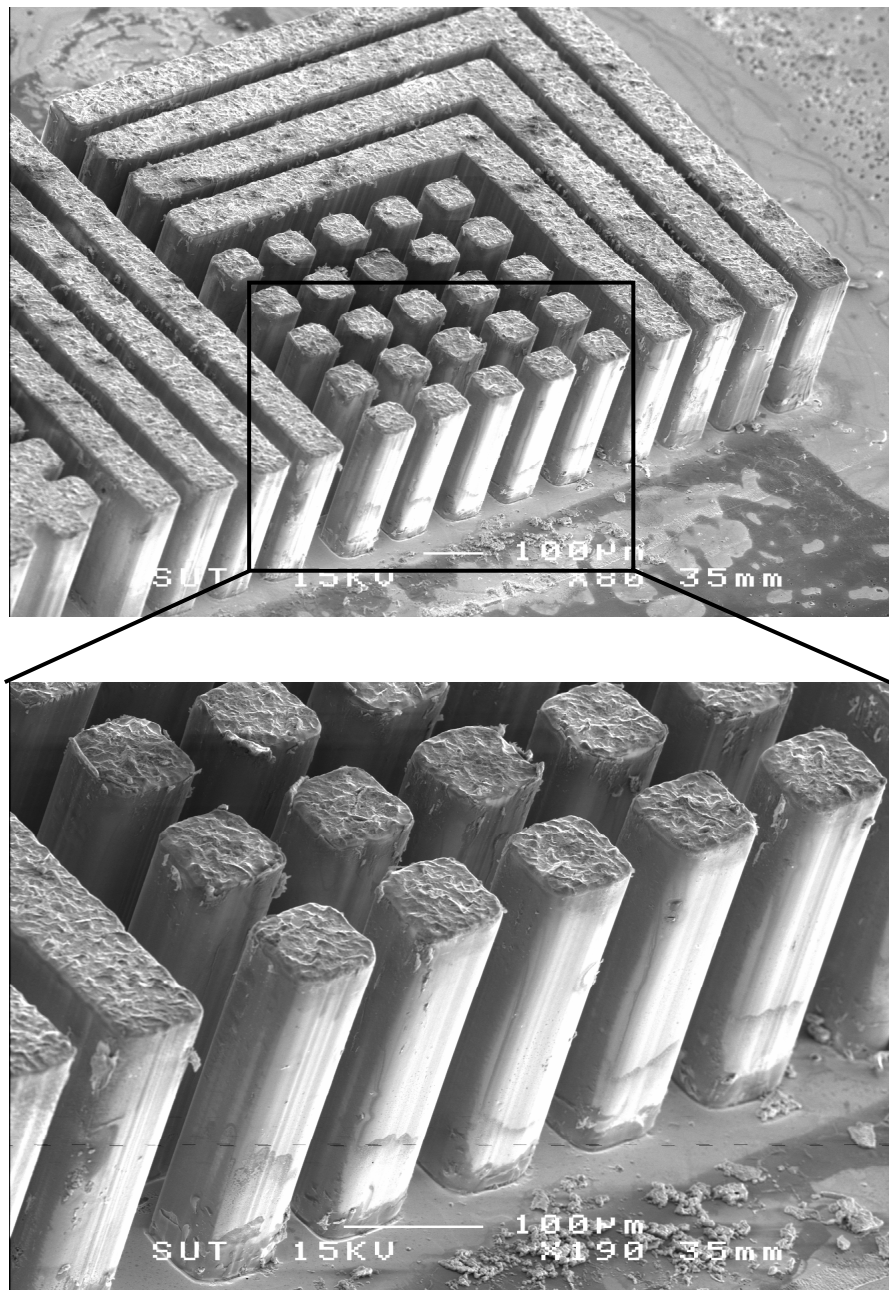
รูปที่ 5.7 การดูดฟองอากาศออกจากการชุบโลหะโดยไม่ต้องนำชิ้นงานขึ้นจากสารละลาย

2. การเกิดความรุนแรงหรือก้อนโลหะส่วนเกินบนชิ้นงาน ก้อนโลหะขนาดเล็กหรือรอยชุบระบบชิ้นงานนั้นสามารถเกิดขึ้นได้ โดยในบางครั้งก็ไม่ส่งผลกระทบชิ้นงาน แต่ในบางกรณีก็ทำให้ชิ้นงานไม่สามารถใช้งานได้ โดยสาเหตุของการเกิดรอยรุนแรงนั้นเกิดจากในกระบวนการชุบโลหะนั้น โลหะเกิดการก่อตัวแบบไม่สม่ำเสมออาจเกิดจากการใช้กระแสไฟฟ้าเกิน ไปหรือการที่มี

ฟองอากาศใน漉คลายของ โครงสร้างกี เป็นได้ และหากไม่ต้องการให้ปั๊uhnีเกิดขึ้นในกระบวนการชุบโลหะด้วยไฟฟ้า ควรปรับกระแสในวงจรชุบโลหะให้ใหม่น้อย ๆ ซึ่งอาจทำให้ใช้เวลาในการชุบเพิ่มขึ้นแต่จะทำให้ชิ้นงานที่ออกมานั้นเรียบเนียน ไม่เกิดปั๊หารอยขรุขระและไม่เกิดก้อนโลหะ ไม่พึงประสงค์ขึ้นกับชิ้นงาน โดยกระแสในการชุบที่เหมาะสมในการชุบโลหะด้วยไฟฟ้านั้นควรให้กระแสคงที่อยู่ที่ประมาณ 20 – 30 มิลลิแอมป์ต่อตารางเซนติเมตร

3. การเกิดการแยกชั้นของโลหะ การแยกชั้นของโลหะนั้นทำให้ชิ้นงานเกิดความไม่แข็งแรง เนื่องจากอาจเกิดการหลุดระหว่างชั้นแต่ละชั้นออกจากกัน โดยการเกิดชั้นของโลหะนั้นมีสาเหตุมาจาก ในระหว่างกระบวนการชุบ โลหะนั้น ได้มีการนำชิ้นงานขึ้นจากสารละลายทำให้ผิวของโลหะที่ก่อตัวขึ้นเกิดออกไซด์และครานสกปรกต่าง ๆ ขึ้น และเมื่อนำชิ้นงานลงในสารละลายเพื่อทำการชุบต่อจะทำให้ชั้นโลหะเดิมและชั้นของโลหะที่เกิดขึ้นใหม่เกาะกันแนบไม่สนิทและสามารถหลุดออกจากกันได้ง่าย ซึ่งในการชุบ โลหะหลายครั้งจำเป็นต้องยกชิ้นงานออกจากสารละลายชั่วคราวเพื่อตรวจสอบว่าการก่อตัวของโลหะเพียงพอหรือยัง โดยหากมีความจำเป็นต้องทำการยกชิ้นงานออกจากสารละลายนั้น ควรนำชิ้นงานจุ่มในน้ำดีไอทันที และสังเกตุการก่อตัวของโลหะผ่านน้ำดีไอแทนที่การสังเกตผ่านอากาศ จะทำให้ไม่เกิดปัญหาการแยกชั้นของโลหะ

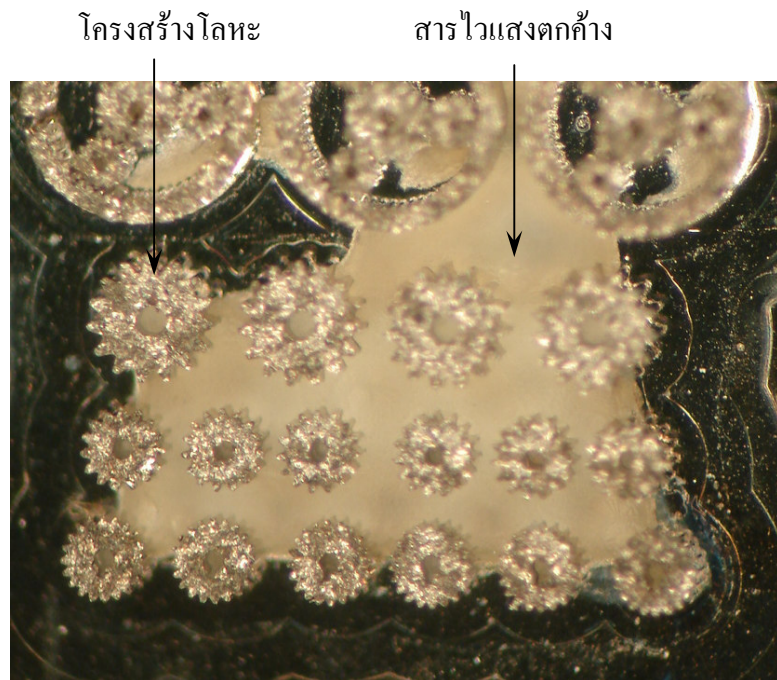
เมื่อทำการชุบโลหะลงบนชิ้นงานที่สร้างจากกระบวนการผลิตกราฟฟิคด้วยรังสีเอกซ์ดังรูปที่ 5.2 จนเต็มหลุมและล้วนออกมางานกลายเป็นฐานได้แล้ว จึงทำการแยกฐานและโลหะที่ก่อตัวขึ้นออก กันโดยการนำไปต้มในสาร Remover PG ที่อุณหภูมิประมาณ 60 องศาเซลเซียส ส่วนเวลาในการต้มเพื่อแยกโลหะออกจากฐานนั้น จะขึ้นกับขนาดของชิ้นงาน โดยปกติแล้วจะใช้เวลาในการต้มประมาณ 30 นาที ก็จะทำให้ฐานรองชิ้นงานหลุดออกจากชิ้นงาน จากนั้นทำการต้มที่อุณหภูมิประมาณ 50 – 70 องศาเซลเซียสต่อไปเป็นเวลาประมาณ 1 ชั่วโมง เพื่อให้พอลิเมอร์ไวแสงละลายหลุดออกจากชิ้นงานที่เป็นโลหะบางส่วน ซึ่งโดยปกติแล้วการต้มในสาร Remover PG จะไม่สามารถกำจัดพอลิเมอร์ในชอกโลหะได้ เนื่องจากการต้มในสาร Remover PG จะทำให้สารไวแสงละลาย และในส่วนที่สารไวแสงอยู่ในชอกขนาดเล็กนั้น สารไวแสงจะเพียงแค่พองตัวไม่สามารถละลายออกมากได้ จะทำให้เหลือเศษของสารไวแสงค้างอยู่ดังรูปที่ 5.9 ซึ่งการต้มในสาร Remover PG นั้น จะทำได้แค่ทำให้เนื้อโลหะที่ก่อตัวขึ้นหลุดออกจากฐานรองของการชุบโลหะด้วยไฟฟ้า ส่วนเศษสารไวแสงที่ยังคงเหลืออยู่นั้นต้องใช้กระบวนการรอร่างอ่อนในการกำจัด ดังนั้นจึงต้องนำไปสักัดทึบด้วยพลาสมารองของอุกซิเจนในเครื่องพลาสมากว่าความดัน 0.2 มิลลิโทร์ และโดยปล่อยให้ออกซิเจนไหลเข้าไปในเครื่องพลาasma ในอัตราการไหลของออกซิเจนประมาณ 40 ลูกบาศ เซนติเมตรต่อนาที ซึ่งขั้นตอนดังกล่าวจะใช้เวลาค่อนข้างนาน โดยใช้เวลาในการกัดประมาณ 3 – 7 วัน เมื่อเสร็จสิ้นจะได้ชิ้นงานโลหะดังรูปที่ 5.8 ซึ่งจะเห็นว่าลวดลายของโครงสร้างนั้นจะกลับคืนกับรูปที่ 5.2 ซึ่งเป็นแม่พิมพ์



รูปที่ 5.8 ภาพชิ้นงานที่เป็นโครงสร้างของโลหะนิกเกิล

จากการสร้างชิ้นงานด้วยโลหะดังที่ได้แสดงข้างต้นจะเห็นว่าโครงสร้างที่ได้นั้น เป็นโครงสร้างที่มีรายละเอียดที่ดีเป็นไปตามที่ได้ออกแบบไว้ ในส่วนพนังของโครงสร้างนั้นเนียนเรียบ ซึ่งแสดงให้เห็นว่าสารไวนิล SU-8 ให้โครงสร้างที่ดีเมื่อใช้เป็นแม่พิมพ์ในการชุบโลหะด้วยไฟฟ้า และบริเวณพื้นผิวส่วนบนจะขรุขระเล็กน้อย เนื่องจากฐานรองที่ใช้เป็นแผ่นสแตนเลสพ่นทราม ซึ่งก่อนข้างขรุขระ และพื้นผิวส่วนบนคือส่วนที่สัมผัสกับฐานรองดังกล่าว ซึ่งจากผลที่ได้แสดงให้เห็น

ว่ากระบวนการสร้างชิ้นงานโดยวิธีที่นำเสนอนี้ สามารถสร้างชิ้นงานได้อย่างมีประสิทธิภาพ

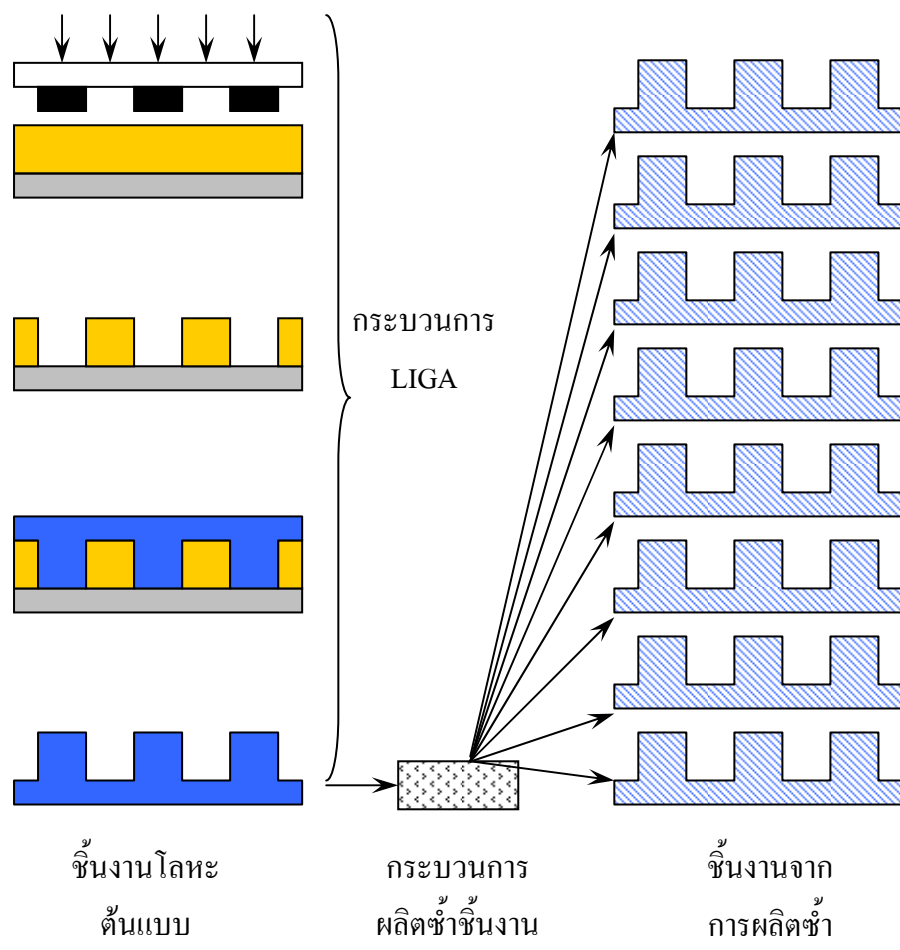


รูปที่ 5.9 เศษสารไวแสงที่อุ่นบริเวณซอกของโครงสร้าง

5.3 การสร้างแม่พิมพ์ในการผลิตช้า

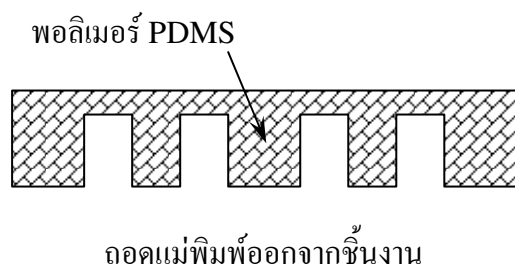
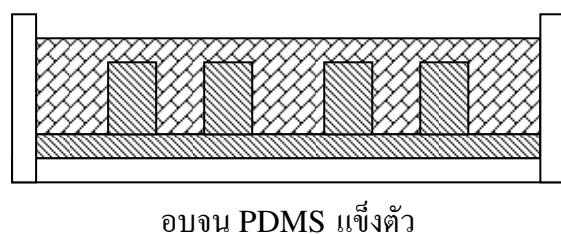
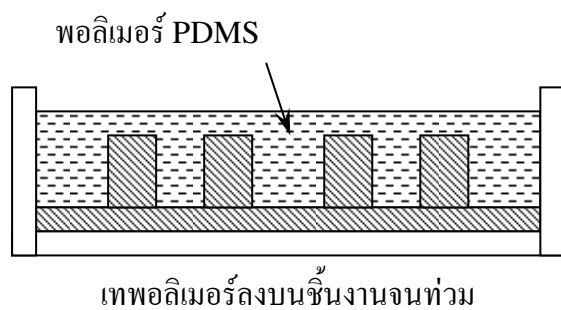
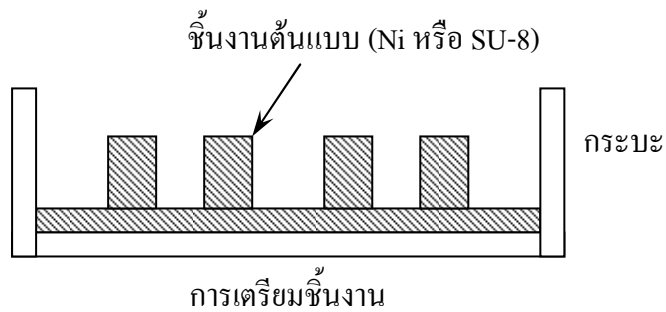
จากการนำเสนอกระบวนการสร้างชิ้นงานข้างต้นนี้ จะเห็นว่ากระบวนการที่นำเสนอันนี้ มีประสิทธิภาพสูงในการสร้างชิ้นงานจุลภาคและอุปกรณ์จุลภาคต่าง ๆ ทั้งแบบโครงสร้างที่เป็นพอลิเมอร์ไวแสง โดยตรงและแบบโครงสร้างที่สร้างจากโลหะ โดยใช้สารไวแสงเป็นแม่พิมพ์ในการชุบโลหะด้วยไฟฟ้า แต่จะเห็นว่าในการสร้างชิ้นงานจุลภาคด้วยวิธีการลิโซกราฟีด้วยรังสีเอกซ์นั้น หากต้องการสร้างชิ้นงานหลายชิ้นต้องใช้เวลาในการสร้างค่อนข้างมาก เนื่องจากกระบวนการทั้งหมดนั้นใช้เวลาในกระบวนการค่อนข้างมากกว่าจะได้ชิ้นงานแต่ละชิ้น ดังนั้นจึงได้มีการพัฒนากระบวนการในการที่จะนำชิ้นงานที่สร้างเสร็จแล้วนั้น มาเป็นแม่แบบสำหรับการสร้างแม่พิมพ์ เพื่อที่จะทำการผลิตช้าชิ้นงานให้มีจำนวนมาก (replication) โดยที่ไม่ต้องสร้างชิ้นงานด้วยกระบวนการลิโซกราฟีด้วยรังสีเอกซ์ทุกครั้ง ซึ่งแนวคิดการผลิตช้าแสดงเป็นแผนภาพได้ดังรูปที่ 5.10 โดยการผลิตช้าชิ้นงานให้มีจำนวนมาก ๆ นั้น ทำให้สามารถลดเวลาในการกระบวนการสร้างชิ้นงานลงได้ โดยในการสร้างแม่พิมพ์นั้นเลือกใช้พอลิเมอร์ PDMS ในการคัดแยกเพื่อใช้งานเป็นแม่พิมพ์สำหรับการชุบโลหะด้วยไฟฟ้า เนื่องจากเป็นพอลิเมอร์ที่ง่ายต่อการขีนรูป และมีความยืดหยุ่นสูง การคัดแยกแม่พิมพ์ออกจากชิ้นงานต้นแบบก็ทำได้โดยง่าย ทำให้ในกระบวนการผลิตช้า

ชิ้นงานนั้นเกิดปัญหาขึ้นค่อนข้างน้อย และในการถอดแบบชิ้นงานให้มานเป็นแม่พิมพ์ PDMS นั้นสามารถถอดแบบได้ทั้งจากชิ้นงานต้นแบบที่เป็นพอลิเมอร์ไวแสงและชิ้นงานต้นแบบที่สร้างเป็นโลหะเรียบร้อยแล้ว และเมื่อต้องการสร้างชิ้นงานจุลภาคเพิ่มก็สามารถนำชิ้นงานจุลภาคต้นแบบมาสร้างเป็นแม่พิมพ์ PDMS เพื่อสร้างชิ้นงานจุลภาคเพิ่มได้ทันที โดยเวลาในการสร้างชิ้นงานแต่ละชิ้นด้วยกระบวนการผลิตซ้ำชิ้นงานนั้น ใช้เวลาในการสร้างน้อย สามารถประยุกต์ได้ทั้งเวลาและค่าใช้จ่าย



รูปที่ 5.10 แนวคิดการผลิตซ้ำชิ้นงาน

กระบวนการในการผลิตซ้ำชิ้นงานโดยการใช้พอลิเมอร์ PDMS ใน การถอดแบบนั้นมีลำดับการดำเนินการดังรูปที่ 5.11 โดยที่หลังจากการถอดแบบชิ้นงานให้กลายเป็นแม่พิมพ์พอลิเมอร์ PDMS เสร็จเรียบร้อยแล้ว และหลังจากที่ทำการถอดแม่พิมพ์พอลิเมอร์ PDMS ออกจากชิ้นงานเสร็จแล้ว ชิ้นงานต้นแบบดังกล่าวก็ยังสามารถนำมาเป็นต้นแบบในการถอดแบบเป็นแม่พิมพ์ได้เรื่อยๆ โดยที่ชิ้นงานไม่เสียหาย

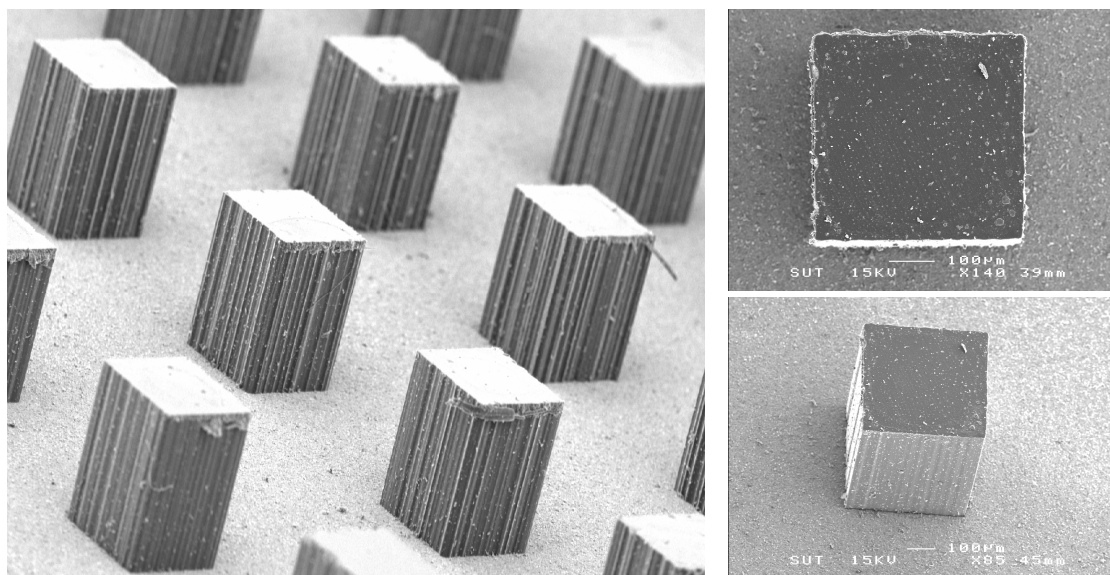


รูปที่ 5.11 กระบวนการผลิตชิ้นงานโดยการถอดแบบด้วยพอลิเมอร์ PDMS

ในการถอดแบบนั้นทำได้โดยการนำชิ้นงานที่สร้างจากเรซิ่นแล้ว มาทำการอบล้อมรอบด้วยกระเบื้องขาวเพื่อกำหนดขอบเขตของแม่พิมพ์ หลังจากนั้นเทพอลิเมอร์ PDMS ซึ่งอยู่ในรูปของเหลวลงไปบนชิ้นงานจนท่วมชิ้นงาน ก่อนที่จะนำชิ้นงานทิ้งหมดรูมทั้งกระเบื้องทั้งหมดไปอบ

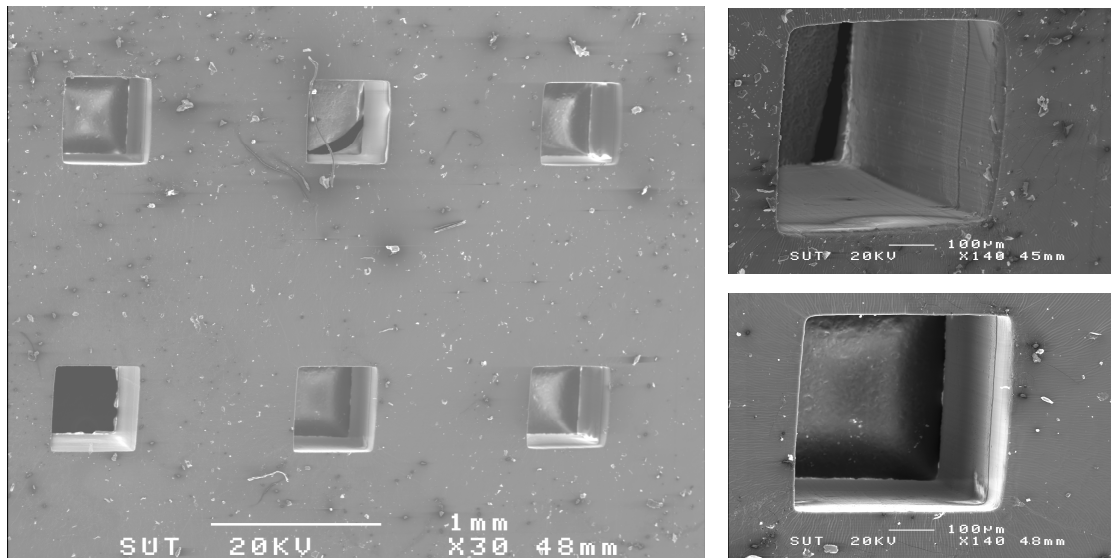
ในเตาอบที่อุณหภูมิ 65 องศาเซลเซียส เป็นเวลา 1 ชั่วโมง เพื่อให้พอลิเมอร์ PDMS แข็งตัวจนกล้ายเป็นของแข็ง จากนั้นจึงทำการลอกพอลิเมอร์ PDMS ออกจากชิ้นงานต้นแบบ จะได้แม่พิมพ์โครงสร้างชิ้นงานอยู่ในรูปของพอลิเมอร์ PDMS ซึ่งสามารถนำไปเป็นแม่พิมพ์ในการสร้างชิ้นงานชิ้นต่อไปได้

สำหรับการทดสอบการผลิตชิ้นนี้ใช้ชิ้นงานนี้ ได้ทำการทดสอบการลอกแบบทั้งชิ้นงานจากชิ้นงานต้นแบบที่เป็นทั้งโครงสร้างของพอลิเมอร์ไว้แสดงและชิ้นงานที่เป็นโครงสร้างของโลหะนิกเกิล โดยใช้โครงสร้างดังแสดงในรูปที่ 5.12 ซึ่งเป็นโครงสร้างในลักษณะแท่งขนาดความกว้าง 500x500 ไมโครเมตร ความสูงประมาณ 650 ไมโครเมตร และเป็นโครงสร้างหลายชั้น โดยการสร้างแม่พิมพ์เพียงครั้งเดียวสามารถสร้างเป็นชิ้นงานได้หลายชิ้น



รูปที่ 5.12 โครงสร้างที่จะทำการทดสอบการลอกแบบด้วย PDMS

โดยที่เมื่อทำการลอกแบบเสร็จสิ้นจะได้แม่พิมพ์ที่เป็นพอลิเมอร์ PDMS ดังแสดงในรูป 5.13 ซึ่งในการลอกแบบเช่นนี้นั้น เป็นการสร้างแม่พิมพ์เพื่อที่จะนำไปผลิตชิ้นงานที่เป็นโครงสร้างโลหะด้วยกระบวนการชุบโลหะด้วยไฟฟ้า โดยที่แม่พิมพ์ที่สร้างจากพอลิเมอร์ PDMS นั้น เมื่อนำมาเผาแล้ว จะเป็นพอลิเมอร์ที่อยู่ในลักษณะของเยื่อแม่พิมพ์มีความยืดหยุ่นสูงและสามารถลอกออกจากชิ้นงานต้นแบบได้โดยตรง ซึ่งในบางกรณีที่โครงสร้างมีความซับซ้อนมาก อาจต้องทนนำยาถอดแบบหรือนำมัมมิกอกเคลือบผิวด้วยชิ้นงานให้ทั่วก่อนที่จะเทพอลิเมอร์ PDMS ลงไป เพื่อช่วยให้ในขั้นตอนการลอกแม่พิมพ์ออกจากชิ้นงานต้นแบบทำได้ง่ายขึ้น และชิ้นงานไม่เกิดความเสียหายระหว่างการลอกแบบ



รูปที่ 5.13 แม่พิมพ์ที่สร้างจากพอลิเมอร์ PDMS

หลังจากที่ได้แม่พิมพ์ที่เป็นพอลิเมอร์ PDMS ข้างต้นแล้วนั้น ขั้นตอนต่อไปจะเป็นขั้นตอนในการนำแม่พิมพ์ที่ได้ไปติดลงบนฐานโลหะเรียบแล้วอบที่อุณหภูมิ 65 องศาเซลเซียส เวลาประมาณ 1-2 ชั่วโมง เพื่อให้แม่พิมพ์ติดยึดแน่นกับฐานโลหะ ก่อนที่จะนำแม่พิมพ์ที่ติดอยู่บนฐานโลหะ ไปทำการชุบโลหะด้วยไฟฟ้าลงในชิ้นงานแม่แบบเพื่อสร้างเป็นชิ้นงานจริง เมื่อติดลงบนชิ้นงานแล้ว ก่อนทำการชุบโลหะด้วยไฟฟ้าลงไปในแม่พิมพ์ ต้องทำการเปิดรูด้านบนของ漉漉ลายซึ่งมีส่วนของพอลิเมอร์ PDMS ปักกลุมอยู่ออก แล้วทำการจุ่มลงในสารละลายโลหะที่จะทำการชุบจากนั้นจึงนำเข้าเครื่องคุณภาพเพื่อทำการไล่อากาศที่อุ่นภายในช่องของโครงสร้างออกไหห Ned ก่อนจะทำการชุบโลหะด้วยไฟฟ้าลงไป ด้วยกระบวนการชุบโลหะด้วยไฟฟ้าดังที่ได้นำเสนอมาแล้ว ในหัวข้อ 5.2

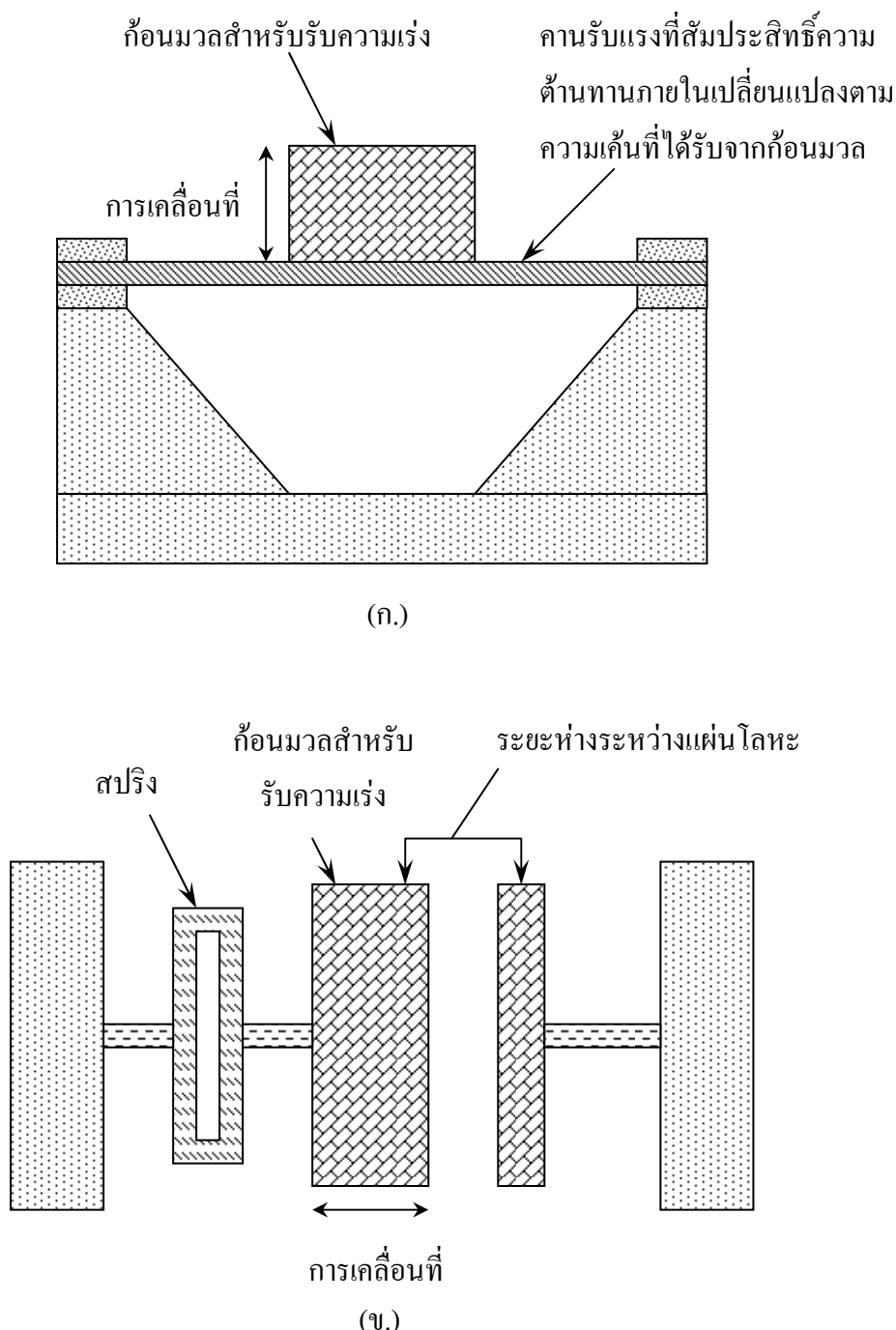
บทที่ 6

การนำกระบวนการไปประยุกต์ใช้งาน

หลังจากที่ได้ทำการพัฒนากระบวนการสร้างอุปกรณ์จุดภาคจนสามารถสร้างอุปกรณ์จุดภาคในการทดสอบได้แล้วนั้น ขั้นตอนต่อไปจะเป็นการทดลองใช้กระบวนการดังกล่าวเพื่อทำการทดสอบสร้างอุปกรณ์จริง เพื่อจะเป็นการทดสอบให้มั่นใจว่ากระบวนการที่ทำการพัฒนาขึ้นนี้ สามารถใช้งานในการสร้างอุปกรณ์จุดภาคได้ โดยในการทดสอบนั้นจะนำกระบวนการที่ทำการพัฒนาขึ้นดังกล่าววนมาทดลองสร้างตัวตรวจรู้ความเร่ง เนื่องจากมีนักวิจัยในสายงานเดียวกันได้ทำการพัฒนาตัวตรวจรู้ความเร่งแบบจุดภาคขึ้น โดยใช้กระบวนการลิโซกราฟีด้วยแสงอัลตราไวโอลেต (UV Lithography) ในการสร้างตัวตรวจรู้ความเร่งดังกล่าว ดังนั้นจึงจะทำการสร้างตัวตรวจรู้ความเร่งด้วยกระบวนการลิโซกราฟีด้วยรังสีเอ็กซ์ (X-ray Lithography) เพื่อทำการเปรียบเทียบประสิทธิภาพของกระบวนการลิโซกราฟีด้วยรังสีเอ็กซ์ที่พัฒนาขึ้นกับกระบวนการลิโซกราฟีด้วยแสงอัลตราไวโอลেต

6.1 ตัวตรวจรู้ความเร่ง

ระบบกลไกไฟฟ้าจุดภาคถูกนำมาพัฒนาเพื่อสร้างตัวตรวจรู้ (sensor) ชนิดต่าง ๆ อย่างแพร่หลาย เช่น ตัวตรวจรู้อุณหภูมิ, ตัวตรวจรู้ความดัน, ตัวตรวจรู้ความเร่ง เป็นต้น ซึ่งตัวตรวจรู้แต่ละชนิดก็จะมีหลักการทำงานที่แตกต่างกันออกໄປ ซึ่งในงานวิจัยนี้จะนำเสนอเฉพาะลักษณะและคุณสมบัติของตัวตรวจรู้ความเร่ง (micro accelerometer) โดยอาศัยหลักการการเปลี่ยนแปลงค่าความด้านทานของวัสดุเมื่อได้รับแรงมาระท่าจากภายนอกจนเกิดความเคลื่อนที่ในเนื้อวัสดุ และทำให้สัมประสิทธิ์ความด้านทานของวัสดุดังกล่าวเปลี่ยนแปลง หลักการทำงานของตัวตรวจรู้ความเร่ง มีอยู่หลายชนิดแบ่งตามการทำงานได้ 2 ชนิดคือแบบพิ耶โซเรซิสติฟ (Piezoresistive) ใช้หลักการในการใช้แรงกระทำจากภายนอกเพื่อให้เกิดการเปลี่ยนแปลงของความเคลื่อนในวัสดุ ส่งผลให้ค่าสัมประสิทธิ์ความด้านทานภายในวัสดุเกิดการแปรเปลี่ยนไปตามความเคลื่อนที่เกิดขึ้น ซึ่งแรงกระทำนี้มาจากการเร่งนั่นเอง โดยลักษณะโดยทั่วไปของตัวตรวจรู้ความเร่งชนิดนี้แสดงໄได้ดังรูปที่ 6.1 (ก.) และแบบคากาซิทีฟ (Capacitive) ใช้หลักการในการใช้ความเร่งซึ่งอยู่ในรูปแรงกระทำจากภายนอกเพื่อให้เกิดการเปลี่ยนแปลงค่าความเก็บประจุของแผ่น dielectric ที่ประกอบเข้าหากันทำให้ค่าความเก็บประจุแปรเปลี่ยนไปตามความเร่ง ลักษณะโดยทั่วไปของตัวตรวจรู้ความเร่งชนิดนี้แสดงໄได้ดังรูปที่ 6.1 (ข.)



รูปที่ 6.1 ลักษณะโครงสร้างของตัวตรวจรู้ความเร่ง (ก.) ตัวตรวจรู้ความเร่งแบบเพียงโซรีซิสทีฟ (ข.) ตัวตรวจรู้ความเร่งแบบค่าปฏิกิริยา

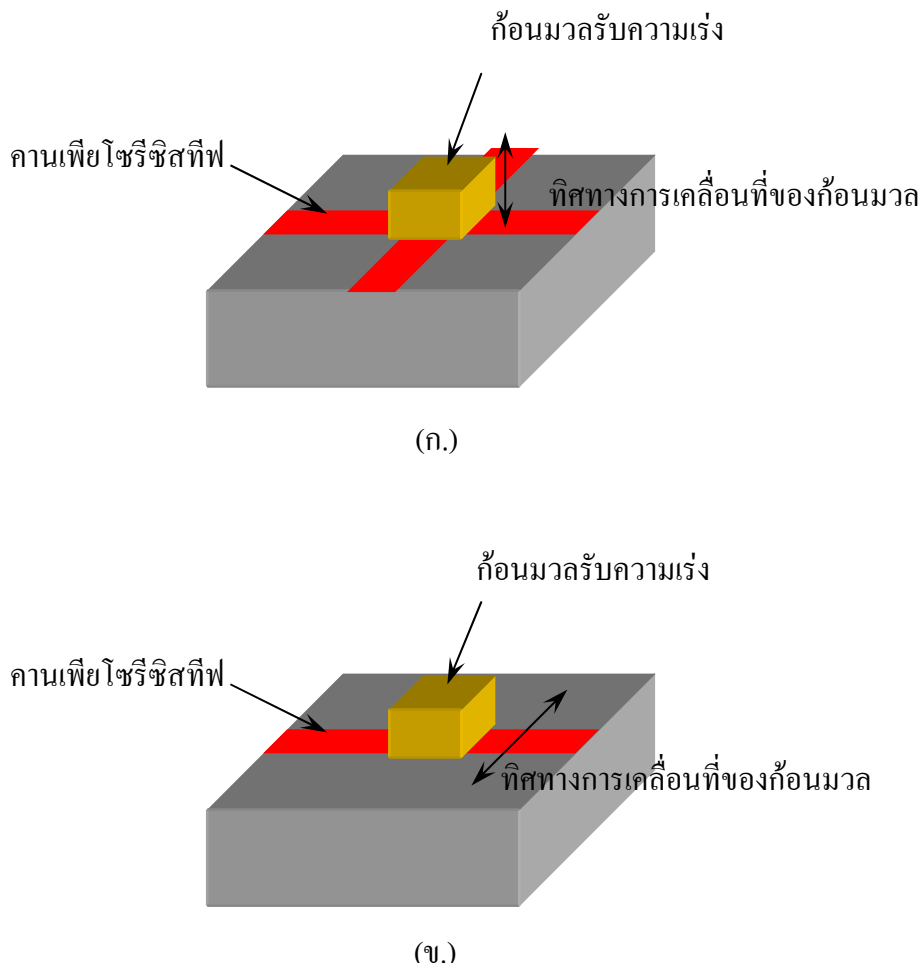
ในการสาธิตกระบวนการในงานวิจัยนี้ จะนำเทคโนโลยีการสร้างตัวตรวจรู้ความเร่งแบบเพียงโซรีซิสทีฟ มาใช้ในการสาธิตกระบวนการ ซึ่งสำหรับตัวตรวจรู้ความเร่งชนิดนี้นั้น ความไวในการตรวจรู้ความเร่งจะขึ้นอยู่กับมวลของก้อนมวลรับความเร่ง (proof mass) ที่วางอยู่บนคานซึ่ง

เป็นเพียงโซลิชิสท์ฟ และการสร้างตัวตรวจรู้ความเร่งนี้ใช้เทคโนโลยีการสร้างตัวตรวจรู้ความเร่งโดยใช้กระบวนการ PolyMUMPs (A three layer polysilicon surface micromachining multi user MEMS processes) ซึ่งเป็นกระบวนการสร้างเครื่องจักรกลไฟฟ้าระดับจุลภาคซึ่งอนุญาตให้ผู้ใช้งานจากทั่วโลกส่งชิ้นงานของตนเองรวมกันแล้วส่งไปสร้างในคราวเดียวกัน โดยมีบริษัท MEMSCAP ประเทศไทยรับผิดชอบเป็นผู้สร้างซึ่งสามารถซ่อนอยู่ในผู้ใช้งานประยุกต์ในเรื่องค่าใช้จ่ายในการสร้างเนื่องจากเทคโนโลยีการสร้างเครื่องจักรกลไฟฟ้าระดับจุลภาคซึ่งรวมถึงตัวตรวจวัดความเร่งนั้นมีค่าใช้จ่ายในการสร้างที่ค่อนข้างสูงซึ่งห้องปฏิบัติการสำหรับนักศึกษาตามมหาวิทยาลัยทั่วไปหรือแม้กระทั่งบริษัทที่ผลิตชิปเกี่ยวกับทางด้าน MEMS ที่เพิ่งเริ่มก่อตั้งจะไม่มีเครื่องมือที่สามารถสร้างชิปที่มีประสิทธิภาพได้ แต่กระบวนการ PolyMUMPs ก็ยังมีข้อจำกัดอยู่บางประการนั้นคือกระบวนการสร้างจะจำกัดอยู่ที่การสร้างชิ้นของโพลีซิลิคอนจำนวน 3 ชิ้นประกอบไปด้วยชิ้นที่เรียกว่า โพลีซิลิคอน 1, โพลีซิลิคอน 2 และ โพลีซิลิคอน 3 ซึ่งความสูงของแต่ละชิ้นจะจำกัดอยู่ที่ 2 ไมโครเมตรเท่านั้นทำให้ตัวตรวจวัดความเร่งที่สร้างด้วยกระบวนการ PolyMUMPs หรือวิธีการที่ใช้ชิ้นของโพลีซิลิคอนหรือใช้ซิลิคอนเป็นส่วนประกอบหลักของอุปกรณ์จึงมีความไวต่อการรับสัญญาณที่ค่อนข้างต่ำ ซึ่งในปี 1998 Sim jun-hwan และคณะได้นำเสนอวิธีการแก้ปัญหาในเรื่องความไวของตัวตรวจวัดความเร่งโดยการสร้างตัวตรวจวัดความเร่งด้วยการใช้ชิ้นของโพลีซิลิคอนและซิลิคอนที่มีรูพรุนในลักษณะคล้ายฟองน้ำ เป็นโครงสร้างของตัวตรวจรู้ความเร่ง และทำการเพิ่มความไวในการรับความเร่งของตัวตรวจรู้ความเร่งโดยการสร้างก้อนมวลรับความเร่งบนโครงสร้างเดิมของตัวตรวจวัดความเร่งด้วยสกรีนสารประกอบของ Pb/Sn/Ag (ตะกั่ว ดีนูกและเงิน) และทำการเพิ่มอุณหภูมิให้สารประกอบถึงจุดหลอมเหลวและหลอมรวมกันเป็นก้อนลักษณะครึ่งวงกลมกล้ายเป็น ก้อนมวลรับความเร่ง ทำให้ได้ตัวตรวจวัดความเร่งที่มีความไวสูงขึ้น แต่วิธีการนี้ก็ยังมีข้อจำกัดอยู่บางประการคือ ตัวตรวจวัดความเร่งที่สร้างจะมีย่านการทำงานอยู่ในช่วงอุณหภูมิที่ไม่สูงมากนักเนื่องจากหากนำไปใช้งานกับอุณหภูมิที่สูง ก้อนมวลรับความเร่ง ที่ประกอบไปด้วยสารประกอบของ Pb/Sn/Ag จะละลายเมื่อถึงจุดหลอมเหลวทำให้ตัวตรวจวัดความเร่งไม่สามารถทำงานได้และการจัดวางช่องสำหรับทำการสกรีนก้อนมวลรับความเร่งทำได้ยากและขนาดของก้อนมวลรับความเร่ง ที่สร้างมีขนาดจำกัดขึ้นอยู่กับพื้นที่เดิมของตัวตรวจรู้ความเร่งที่ทำสกรีนก้อนมวลรับความเร่งลงไป

6.2 กระบวนการสร้างตัวตรวจรู้ความเร่ง

ตัวตรวจรู้ความเร่งสำหรับการทดสอบ ใช้ตัวตรวจรู้ความเร่งแบบเพียงโซลิชิสท์ฟ โดยมีโครงสร้างเป็นสองลักษณะคือ โครงสร้างแบบวัดความเร่งในแนวตั้งจากกับฐานรอง (vertically detection accelerometer) และ โครงสร้างแบบวัดความเร่งในแนวราบกับฐานรอง (horizontally

detection accelerometer) ลักษณะดังรูปที่ 6.2 โดยมีก้อนมวลรับความเร่ง สำหรับรับความเร่งของอยู่บนคาน ซึ่งคานนั้นเป็นวัสดุที่มีคุณสมบัติเพียบใช้รีซิสทีฟ



รูปที่ 6.2 โครงสร้างตัวตรวจรู้ความเร่ง (ก.) แบบวัดความเร่งในแนวตั้งจากก้นฐานรอง
(ข.) แบบวัดความเร่งในแนวนานา กันฐานรอง

ในการทดสอบสำหรับงานวิจัยนี้ใช้โครงสร้างตัวตรวจรู้ความเร่งแบบวัดความเร่งในแนวนานา กันฐานรอง สำหรับตัวชิพนี้นายวิริยะ แผนสุวรรณ์ ได้ทำการออกแบบไว้แล้วในงานวิจัย “การออกแบบและสร้างตัวตรวจวัดความเร่งด้วยเทคโนโลยีระบบกลไไฟฟ้าจลภาค” โดยกระบวนการสร้างฐานและส่วนคานรับน้ำหนักของตัวตรวจวัดความเร่งจะใช้วิธีการสร้างด้วยกระบวนการ PolyMUMPs ซึ่งกระบวนการสร้างแบบนี้ผู้สร้างจะต้องทำการออกแบบตัวชิ้นงานตามแบบที่ต้องการด้วยโปรแกรม L – edit ในการออกแบบจะต้องคำนึงถึงกฎการสร้างซึ่งทางผู้สร้างจะเป็นผู้ตั้งกฎการสร้างต่าง ๆ เช่นระยะห่างในแต่ละส่วนหรือขนาดของชิ้นงานเป็นต้น โดย

ในการออกแบบมีการกำหนดขนาดของพื้นที่ในส่วนประกอบต่าง ๆ บนชิปดังนี้

Bonding pad สำหรับใช้เป็นจุดต่อทางไฟฟ้าเพื่อใช้ในการชุบโลหะด้วยไฟฟ้าเพื่อสร้างก้อนมวลรับความเร่ง มีขนาด 323×957 ไมโครเมตร

Bonding pad สำหรับต่อสัญญาณไฟฟ้าจากงานพิมพ์โซริชิสท์ฟ ออกแบบสูงจริงไฟฟ้าภายนอกชิพมีขนาด 323×957 ไมโครเมตร

พื้นที่สำหรับใช้ในการสร้างก้อนมวลด้วยการชุบโลหะด้วยไฟฟ้ามีขนาด 500×500 ไมโครเมตร

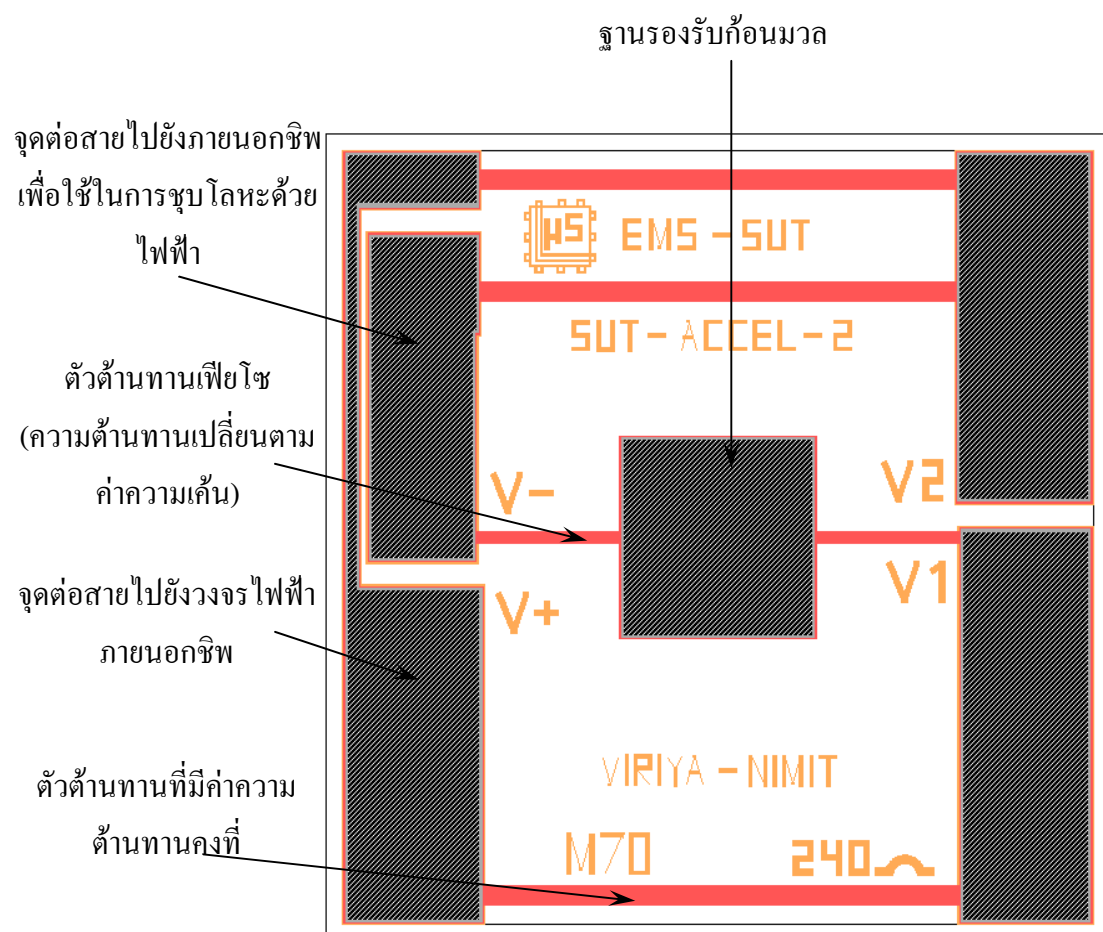
ตัวต้านทานเฟียโซมี sheet resistance (เป็นคุณสมบัติของวัสดุที่จะมีค่าความต้านทานค่าหนึ่งเมื่อขนาดของวัสดุมีขนาดกว้าง ยาวเท่ากันเป็นลีบเดี่ยมจัตุรัส) ขนาด 30×30 ไมโครเมตรโดยใช้ชิ้นโลหะซิลิโคน 1 เป็นตัวต้านทานคิดเป็นค่าความต้านทานได้เท่ากับ 240 โอห์ม คานสำหรับรองรับน้ำหนักก้อนมวล มีขนาดกว้างxยาวxสูงเท่ากับ $30 \times 360 \times 0.5$ ไมโครเมตร

ในการออกแบบตัวตรวจวัดความเร่ง โครงสร้างแบบวัดความเร่งในแนวนานกับฐานรอง (horizontally detection accelerometer) มีข้อแตกต่างกับโครงสร้างแบบวัดความเร่งในแนวตั้งจากกับฐานรองตรงที่โครงสร้างในแนวตั้งจะใช้การเคลื่อนที่ของก้อนมวลในแนวตั้งจากกับฐานรองเมื่อได้รับความเร่งซึ่งโครงสร้างแบบนี้จะมีความไวที่ดีกว่าแบบโครงสร้างในแนวนานาเนื่องจากลักษณะของคานรองรับก้อนมวลมีลักษณะแบบราบอยู่ในแนวเดียวกับฐานรองและมีอัตราส่วนความกว้างมากกว่าความสูงอยู่มากและบนคานรับน้ำหนักจะมีตัวต้านทานเฟียโซมีเมื่อคานเกิดการบิดตัวเนื่องจากก้อนมวลเคลื่อนที่คานจะสามารถบิดตัวในแนวตั้งจากได้ดีกว่าแนวนานกับฐานชิพทำให้ความต้านทานเกิดการเปลี่ยนแปลงมากกว่าเมื่อวัดความเร่งในแนวตั้งจากกับฐานรองจึงทำให้มีความไวมากกว่าโครงสร้างแบบวัดความเร่งในแนวนานกับฐานรอง แต่โครงสร้างแบบวัดความเร่งในแนวตั้งจากกับฐานรองก็ยังมีข้อเสียอยู่ในบางประการเมื่อเทียบกับโครงสร้างแบบวัดความเร่งในแนวนานกับฐานรองนั้นคือ การติดตั้งชิปบนอุปกรณ์จะทำได้ยากกว่าเนื่องจากทิศทางของความเร่งจะต้องเป็นไปในแนวตั้งจากกับชิปเมื่อนำมาติดตั้งบนอุปกรณ์บางอย่างที่ต้องการวัดความเร่งในแนวนานาเบ็นรายนต์จึงต้องติดชิปตั้งจากกับตัวรถและแพลงวัสดุไฟฟ้าซึ่งอาจเป็นเรื่องที่ยุ่งยากกว่าการติดตั้งในแนวนานกับตัวรถซึ่งสามารถติดตั้งชิปลงไปบนตัวรถและแพลงวัสดุไฟฟ้าได้โดยซึ่งเป็นการง่ายกว่า นอกจากนั้นกระบวนการสร้างในแบบวัดความเร่งในแนวตั้งจากกับฐานรองจะมีความยุ่งยากกว่าแบบวัดความเร่งในแนวนานกับฐานรองเนื่องจากต้องมีขั้นตอนการกัดฐานชิพที่เป็นชิลิโคนทำให้เสียเวลาในการสร้างมากกว่าและขั้นตอนซับซ้อนกว่าซึ่งได้ทำการสร้างชิปบนโครงสร้างทั้งสองแบบเพื่อเปรียบเทียบถึงข้อดีและข้อเสียซึ่งกันและกัน

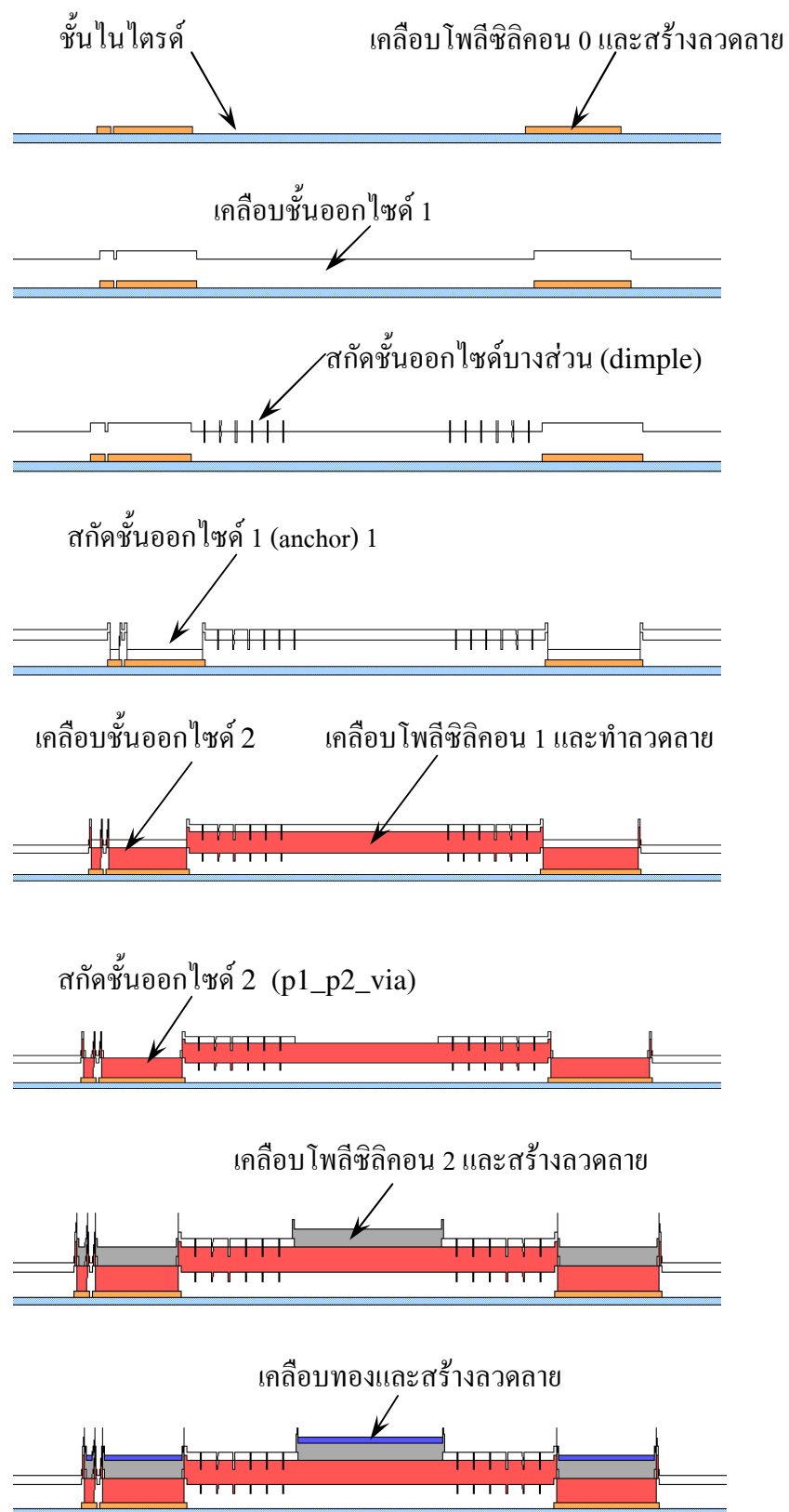
เมื่อทำการออกแบบตามกฎการสร้างแล้วผู้ออกแบบจะส่งชิ้นงานไปสร้างซึ่งการสร้างชิพจะมีกระบวนการต่าง ๆ ตามขั้นตอนดังต่อไปนี้

1. กระบวนการเริ่มด้วยแผ่นซิลิคอนซึ่งจะถูกเคลือบด้วยซิลิคอนในไตรค์หนา 600 nm
2. เคลือบด้วยโพลีซิลิคอน 0 (Poly0) และสารไวแสง (photoresist) ทำลวดลายโครงสร้างบนสารไวแสงและเปิดช่องทางการสกัดโพลีซิลิคอน 0
3. สกัดโพลีซิลิคอน 0 ด้วยวิธี Reactive ion etching (RIE) ภายหลังการสกัดสารไวแสงจะถูกนำออกไป
4. เคลือบออกไซด์ 1 (1st OXIDE) หนา $2\text{ }\mu\text{m}$ เพื่อใช้เป็นชั้นวัสดุชั่วคราว (sacrificial) ซึ่งจะสกัดทิ้งในภายหลัง
5. เคลือบสารไวแสงบนออกไซด์ 1 และเปิดช่องให้สกัดออกไซด์ออกเป็นช่องดีน ๆ (dimple) ลึก $0.75\text{ }\mu\text{m}$ ภายหลังการสกัดสารไวแสงจะถูกนำออกไป ตัวตรวจรู้ความเร่งที่สร้างจะใช้ชั้นตอนนี้ในการสร้างหมุดรอง ก้อนมวลรับความเร่ง และคานใช้สำหรับรองรับน้ำหนักของ ก้อนมวลรับความเร่ง และคานเพื่อให้ล้ออยู่ได้เล็กน้อยเพื่อป้องด้านล่างของชิพ
6. เคลือบสารไวแสงอีกครั้งและเปิดช่องเพื่อสร้างหลักยึด 1 (Anchor 1)
7. เคลือบโพลีซิลิคอน 1 (Poly1) หนา $2\text{ }\mu\text{m}$
8. เคลือบสารไวแสงและเปิดช่องเพื่อสกัดโพลีซิลิคอน 1 เพื่อสร้างเป็นจุดเชื่อมต่อทางไฟฟ้าใช้ในการ electroplate ก้อนมวลลงไปบนแท่นรองรับซึ่งจะเชื่อมต่อบริเวณ bonding pad กับแท่นรองเข้าด้วยกัน และส่วนนี้จะใช้เป็นส่วนที่สร้างตัวฐานทາนเพียงใช้ในการจับความเปลี่ยนแปลงความเค้นที่เกิดขึ้นบนคานรับน้ำหนักและใช้เป็นตัวฐานทາนคงที่เพื่อสร้างเป็นวงจรวิดส์โตโนบридิกด้วย ภายหลังการสกัดสารไวแสงจะถูกนำออกไป
9. เคลือบออกไซด์ 2 (2nd OXIDE) หนา $0.75\text{ }\mu\text{m}$
10. เคลือบสารไวแสงและเปิดช่องเพื่อสกัดออกไซด์ 2 (P1_P2_Via) เพื่อใช้เป็นจุดเชื่อมต่อทางไฟฟ้าระหว่างชั้นโพลีซิลิคอน 1 กับชั้นโพลีซิลิคอน 2 ซึ่งจะเปิดช่องบริเวณ bonding pad สำหรับใช้ในการ electroplate ก้อนมวลรับความเร่ง ภายหลังการสกัดสารไวแสงจะถูกนำออกไป
11. เคลือบโพลีซิลิคอน 2 (Poly2) หนา $1.5\text{ }\mu\text{m}$
12. เคลือบสารไวแสงและเปิดช่องเพื่อสกัดโพลีซิลิคอน 2 เพื่อสร้างจุดเชื่อมต่อบริเวณ bonding pad สำหรับใช้ในการ electroplate ก้อนมวลรับความเร่ง ภายหลังการสกัดสารไวแสงจะถูกนำออกไป
13. เคลือบสารไวแสงและเปิดช่องเพื่อเคลือบทองลงที่จุดต่อทางไฟฟ้า ภายหลังการสกัดสารไวแสงจะถูกนำออกไป และเคลือบสารไวแสงอีกครั้งเพื่อป้องกันผิวน้ำของอุปกรณ์และตัดแยกชิ้นส่วนส่งกลับมา

รายละเอียดของโครงสร้างตัวตรวจวัดความเร่งที่สร้างด้วยกระบวนการ PolyMUMPsแสดงดังรูปที่ 6.3 ซึ่งแสดงถึงส่วนประกอบที่สำคัญของตัวตรวจวัดความเร่ง ซึ่งประกอบด้วยฐานรองรับก้อนมวลอยู่บริเวณกึ่งกลางของตัวชิพ ซึ่งมีขนาดความกว้างและความยาวเท่ากันโดยมีขนาด 500×500 ไมโครเมตร ซึ่งก้อนมวลดังกล่าวจะใช้กระบวนการสร้างชิ้นส่วนจุลภาคเพื่อสร้างก้อนมวลลงไปทางขั้นฐานรองรับก้อนมวล ดังนี้ต้องมีจุดต่อไฟฟ้าสำหรับกระบวนการชุบโลหะด้วยไฟฟ้าเพื่อให้โลหะก่อตัวบนฐานรองรับก้อนมวล ดังนี้ต้องมีจุดต่อไฟฟ้าสำหรับกระบวนการชุบโลหะด้วยไฟฟ้าซึ่งอยู่บริเวณขอบทั้งสองข้างของตัวชิพ ซึ่งทำหน้าที่เป็นจุดต่อสายไปยังวงจรภายนอกชิพ และจุดต่อสายสำหรับการชุบโลหะด้วยไฟฟ้า และส่วนประกอบของตัวชิพที่สำคัญอีกส่วนหนึ่งคือตัวต้านทานโดยจะมีตัวต้านทานวางแผนท่องรัศมีซึ่งจะมีตัวต้านทานแบบความต้านทานคงที่และตัวต้านทานที่มีค่าความต้านทานเปลี่ยนตามความเค้น ขั้นตอนการสร้างและการตัดบางของลำดับขั้นกระบวนการสร้างตัวชิพ แสดงได้ดังรูปที่ 6.4 ซึ่งจะเห็นว่าชั้นในไตรค์จะถูกสกัดออกไปเรื่อยๆ จากขั้นตอนที่ 5, 6, 10 จนทำให้เกิดช่องลึกลงไปในชั้นในไตรค์ลงไปถึงชั้นซิลิโคน

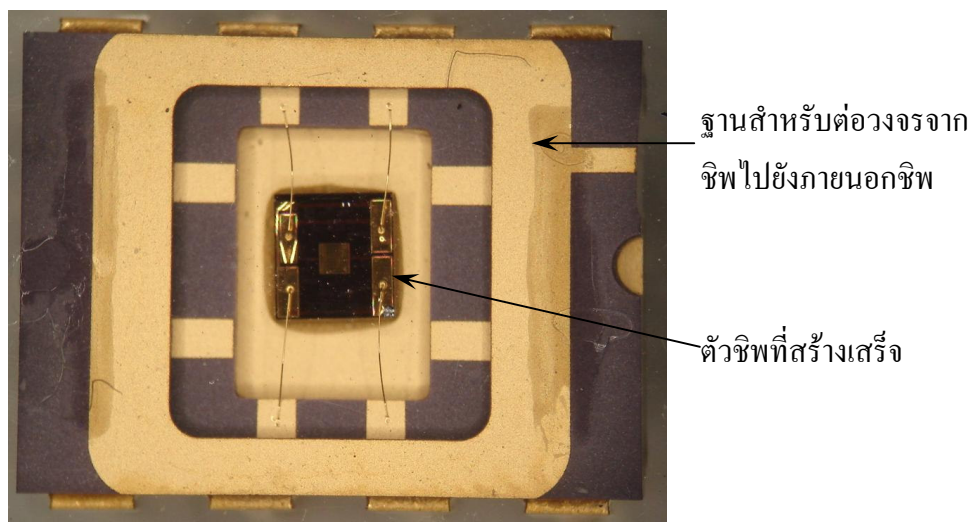
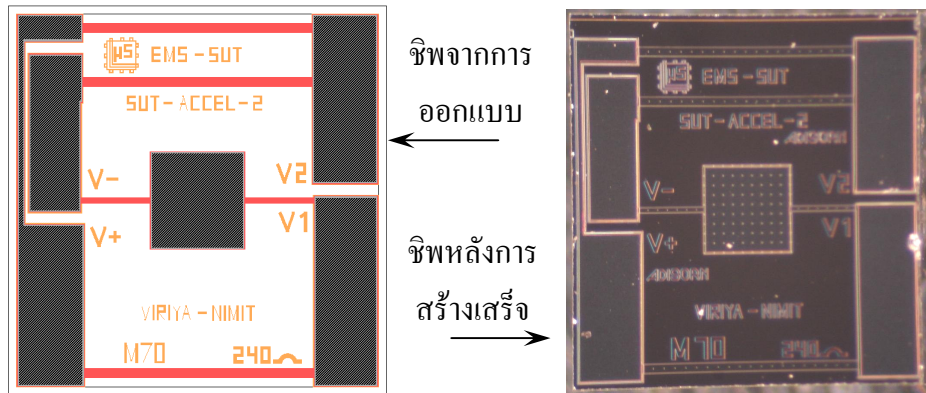


รูปที่ 6.3 โครงสร้างตัวตรวจวัดความเร่งแบบวัดความเร่งในแนวตั้งจากกับฐานรอง



รูปที่ 6.4 ภาคตัดขวางของลำดับขั้นกระบวนการสร้างตัวตรวจรู้ความเร่งด้วยกระบวนการ PolyMUMPs โดยใช้โปรแกรม L-edit ในการออกแบบ

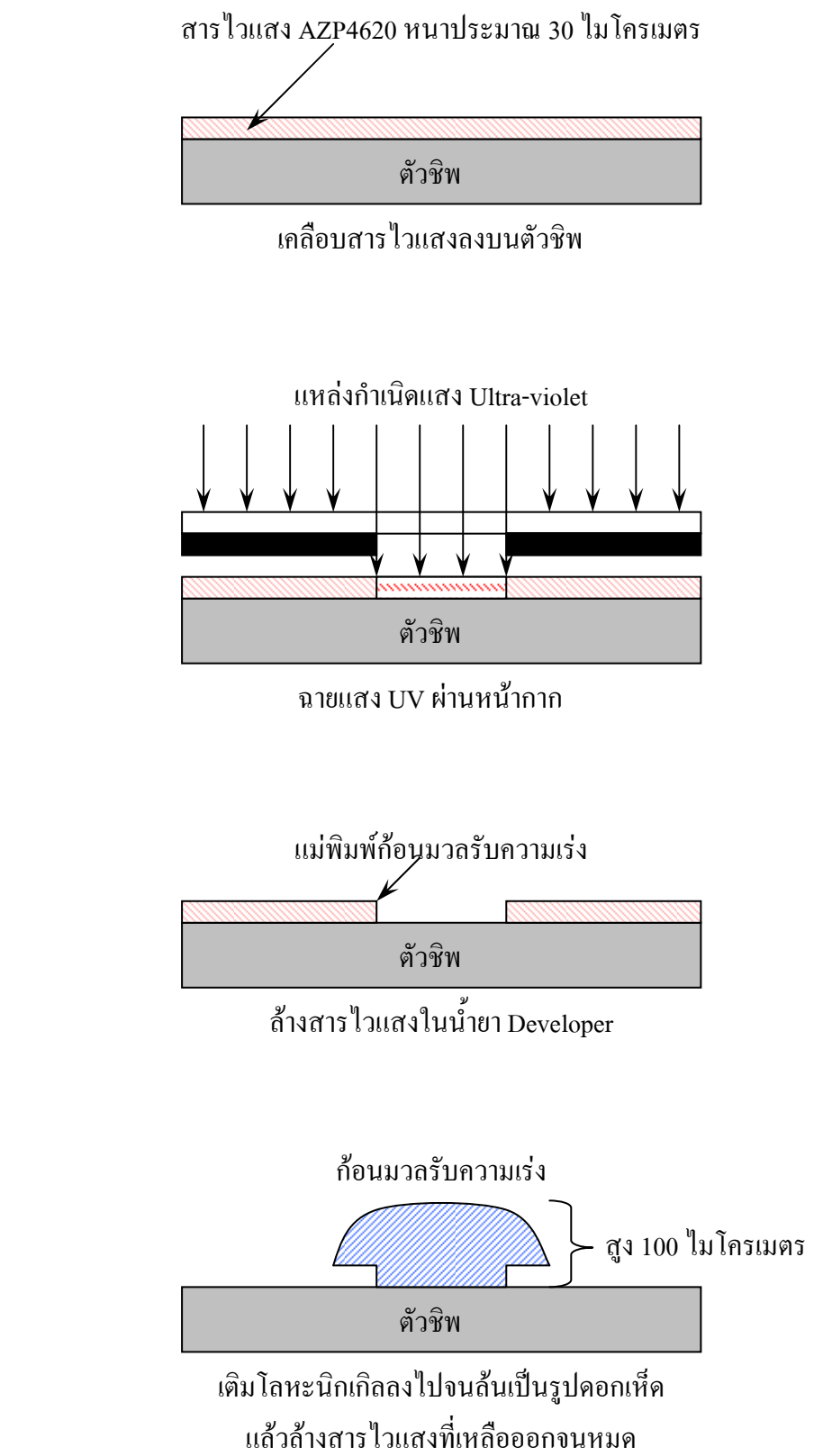
เมื่อส่งตัวชิพที่ทำการออกแบบไปสร้างเป็นตัวชิพจริง จะได้ตัวชิพดังรูปที่ 6.5 โดยบริเวณที่รองรับ ก้อนมวลรับความเร่ง มีขนาด 500×500 ไมโครเมตร



รูปที่ 6.5 ตัวตรวจรู้ความเร่งหลังจากส่งสร้างด้วยกระบวนการ PolyMUMPs

6.3 การสร้างก้อนมวล (proof mass) ลงบนตัวชิพ

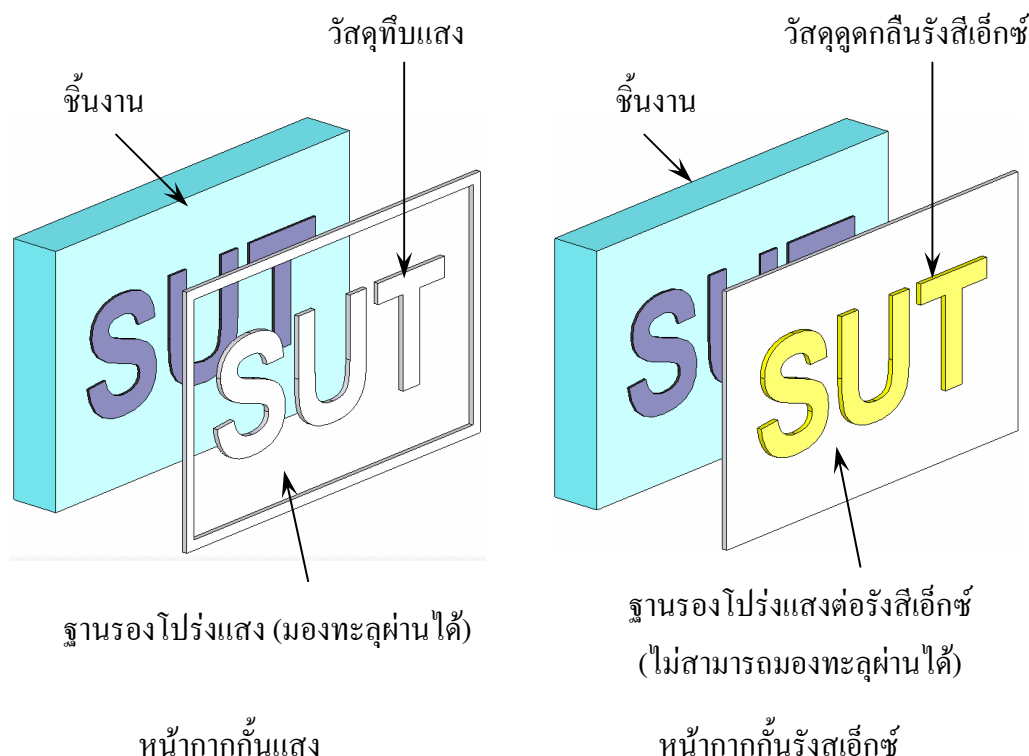
ในการสร้างก้อนมวลรับความเร่ง ลงไปบนบริเวณที่เตรียมไว้บนตัวชิพนั้น จะใช้กระบวนการการชุบโลหะด้วยไฟฟ้าในการเติมโลหะซึ่งจะทำหน้าที่เป็นก้อนมวลรับความเร่ง และแม่พิมพ์สำหรับก้อนมวลรับความเร่งนั้น จะสร้างจากกระบวนการลิโซกราฟี โดยนายวิริยะ แผนสุวรรณได้เสนอการใช้กระบวนการลิโซกราฟีด้วยรังสีอัลตราไวโอเลต คู่กับสารไวแสง AZP4620 ซึ่งเป็นสารไวแสงชนิดบวก ในขั้นตอนการสร้างแม่พิมพ์บนตัวชิพ โดยขั้นตอนดังกล่าวแสดงได้ดังรูปที่ 6.6 โดยในกระบวนการสร้างแม่พิมพ์นั้นจะสร้างลงบนตัวชิพโดยตรง (ใช้ตัวชิพเป็นฐานรองชิ้นงาน) ซึ่งสารไวแสงที่ใช้จะมีลักษณะลีดองไส จึงสามารถอยู่เหนือคลาดีค่าได้



รูปที่ 6.6 ขั้นตอนการสร้างก้อนมวลรับความเร่งลงบนชิปด้วยกระบวนการลิโซกราฟีด้วยแสงอัลตราไวโอล็อก คู่กับสารไวแสงชนิดบวก AZP4620

การใช้กระบวนการผลิตกราฟฟิคด้วยแสงอัลตร้าไวโอลেตในการสร้างก้อนมวลรับความเร่งนั้น ความสูงจะถูกจำกัดอยู่ที่ประมาณไม่เกิน 50 ไมโครเมตร ซึ่งจากการกระบวนการสร้างที่นำเสนอมานั้น สามารถสร้างแม่พิมพ์ของก้อนมวลได้เพียง 30 ไมโครเมตร แต่เนื่องจากด้วยความสูงคงคล่องทำให้ความไวของตัวตรวจรู้ความเร่งไม่มากพอ จึงต้องทำการชุบโลหะให้ล้วนจากแม่พิมพ์ ซึ่งเมื่อโลหะล้วนออกไปนั้นจะไม่สามารถควบคุมรูปแบบการเกิดของโลหะได้ ทำให้โลหะเกิดขึ้นทุกทิศทางจึงกลายเป็นรูปคลอกเห็ดดังที่ได้แสดงไว้ในรูปที่ 6.6

ในงานวิจัยนี้จะทำการสร้างก้อนมวล ก้อนมวลรับความเร่ง ด้วยกระบวนการผลิตกราฟฟิคด้วยรังสีเอ็กซ์ที่ได้พัฒนาขึ้น ซึ่งจะทำให้สามารถสร้าง ก้อนมวลรับความเร่ง ได้สูงมากกว่า 500 ไมโครเมตร เพื่อเพิ่มความไวในการรับรู้ความเร่งเนื่องจากมวลของ ก้อนมวลรับความเร่ง มากขึ้น (Sim, et al., 1998) แต่ลักษณะคุณสมบัติของหน้ากากกันรังสีเอ็กซ์จะแตกต่างจากหน้ากากกันแสงคงรูปที่ 6.7

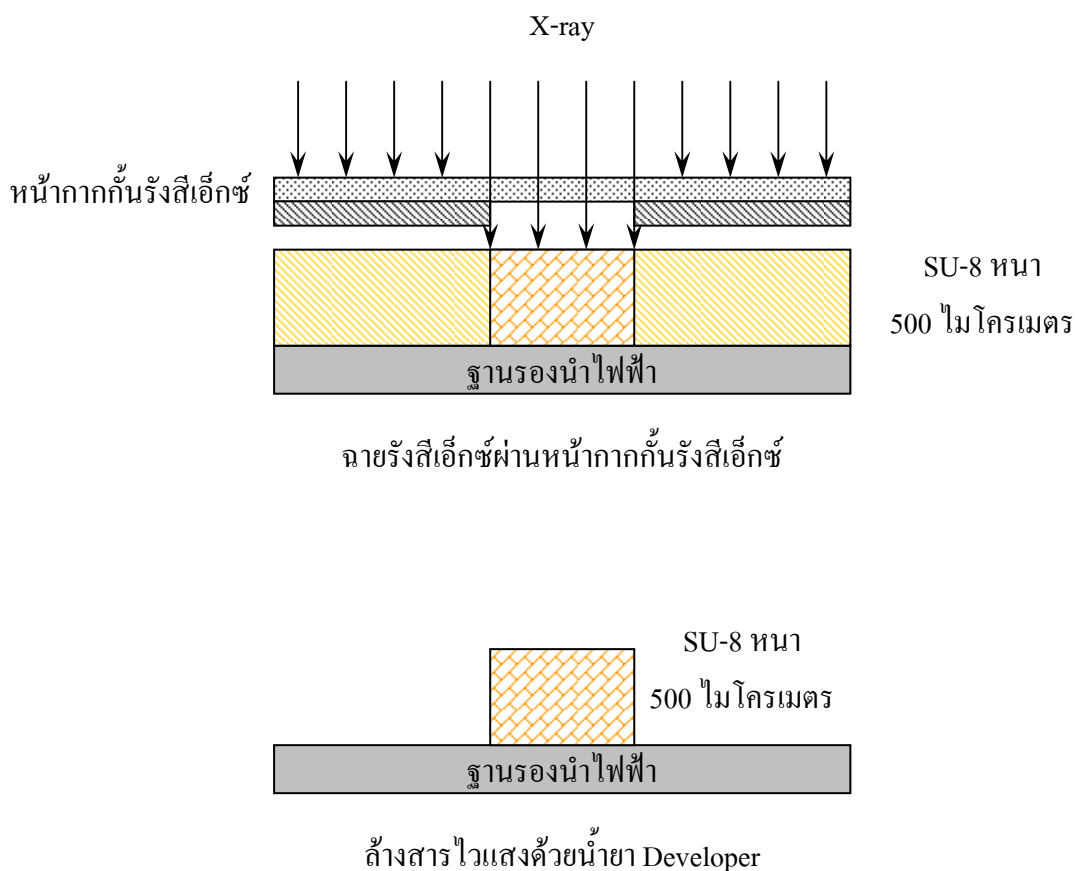


รูปที่ 6.7 ลักษณะของหน้ากากเมื่อทับบนชิ้นงาน

เมื่อสังเกตจากรูปที่ 6.7 จะเห็นว่า ในกรณีใช้แสงอัลตร้าไวโอลেตในกระบวนการนี้ เมื่อวางหน้ากากกันแสงลงบนชิ้นงานจะสามารถมองเห็นชิ้นงานด้านล่างได้ ทำให้สามารถมองหน้ากากให้อยู่บริเวณที่ต้องการได้ง่าย แต่กรณีของหน้ากากกันรังสีเอ็กซ์นั้น จะทึบแสงเมื่อวางหน้ากากทับ

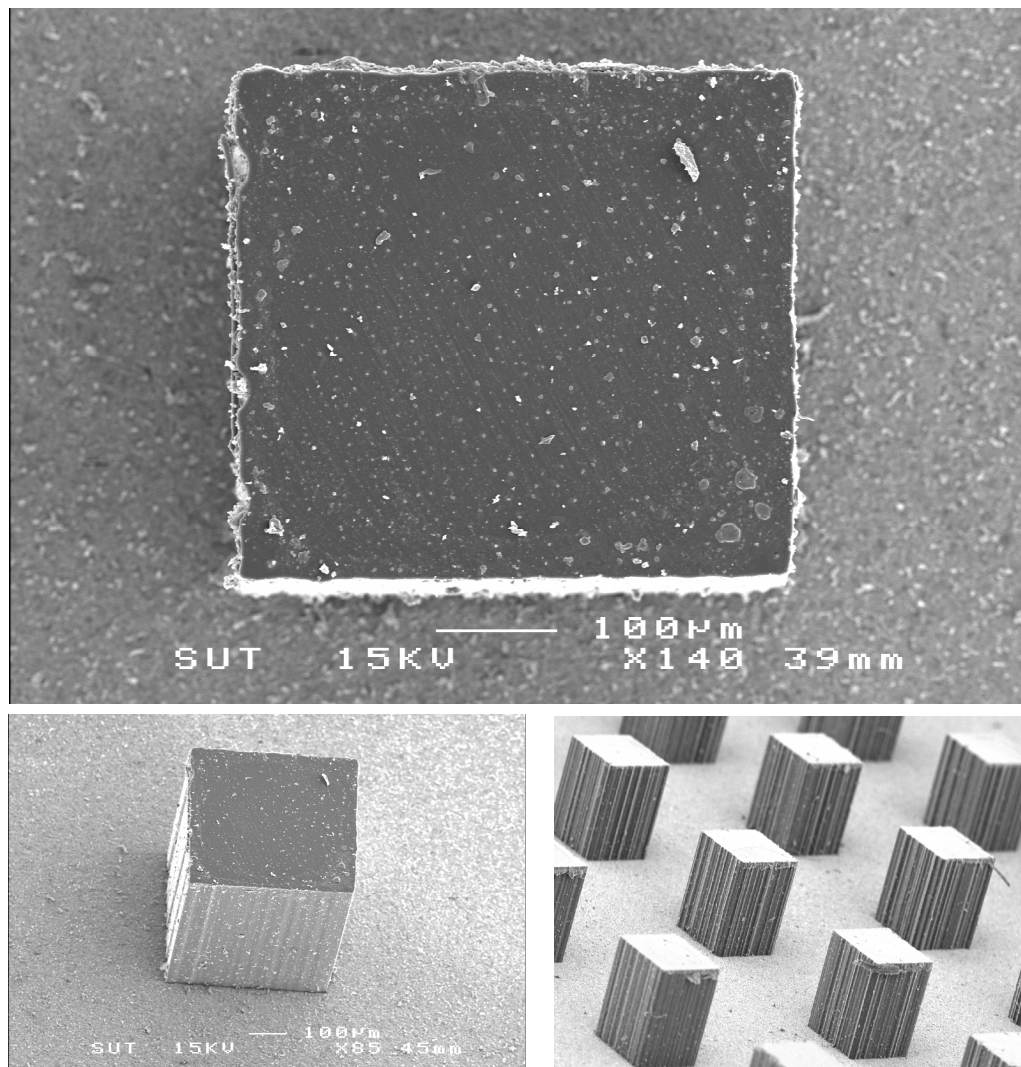
ชิ้นงานจะไม่สามารถมองทะลุไปเห็นชิ้นงานด้านล่างได้ ทำให้ไม่สามารถตรวจสอบหน้ากากให้ทันบริเวณที่ต้องการ ซึ่งในงานวิจัยนี้จะสร้างก้อนมวลบนตัวพิมพ์ด้วยวิธีการถอดแบบก้อนมวลด้วยพอลิเมอร์ PDMS ซึ่งจะสร้างก้อนมวลบนฐานรองที่ไม่ตัวขึ้นก่อนจะทำการถอดแบบก้อนมวลมาวางบนตัวพิมพ์ภายหลัง ซึ่งกระบวนการดังกล่าวมีข้อดีหลายประการคือ (1) สามารถวางแผนชิ้นงานได้ตรงบริเวณที่ต้องการ (2) สามารถสร้างก้อนมวลลงบนชิ้นงานหลายชิ้นได้โดยไม่ต้องใช้กระบวนการการลิโซกราฟีด้วยรังสีเอ็กซ์ซึ่งเนื่องจากกระบวนการการลิโซกราฟีด้วยรังสีเอ็กซ์นั้นใช้เวลานาน และค่าใช้จ่ายในกระบวนการสูง จึงทำให้ลดเวลาและค่าใช้จ่ายลงได้ (3) สามารถสร้างแม่พิมพ์เพิ่มได้เรื่อยๆ โดยใช้ชิ้นงานต้นแบบเดิม

ในการกระบวนการสร้างก้อนมวลนั้น จะใช้กระบวนการการลิโซกราฟีด้วยรังสีเอ็กซ์คู่กับสารไวแสง SU-8 ซึ่งเป็นสารไวแสงชนิดลบโดยมีกระบวนการสร้างดังรูปที่ 6.8



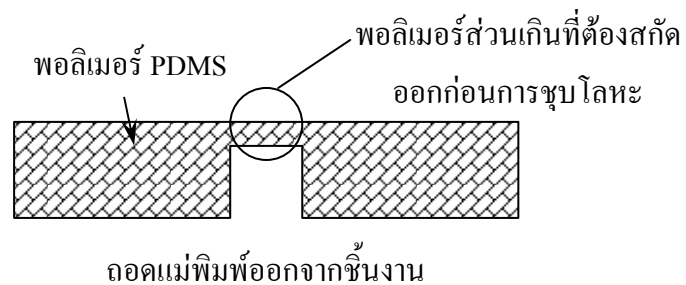
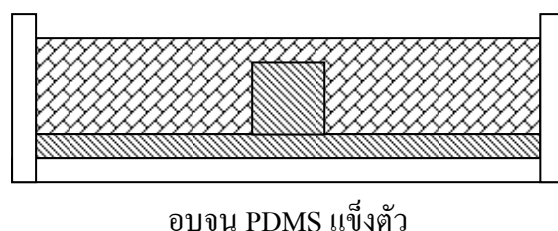
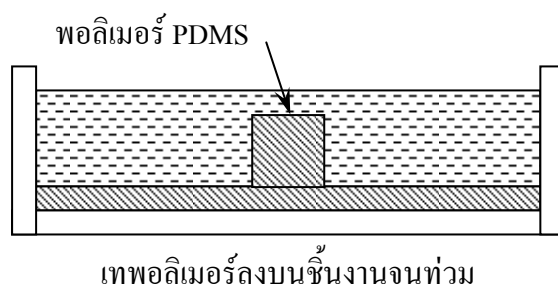
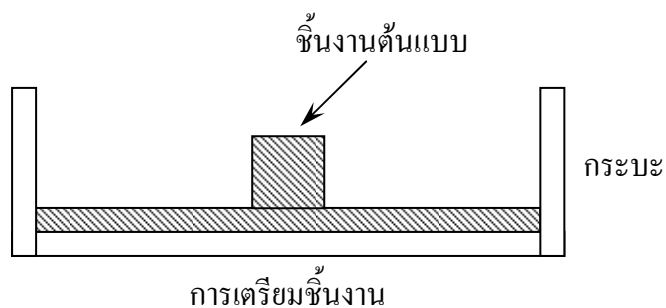
รูปที่ 6.8 กระบวนการสร้างก้อนมวลรับความเร่ง ด้วยกระบวนการลิโซกราฟีด้วยรังสีเอ็กซ์

เมื่อเสร็จสิ้นกระบวนการในรูปที่ 6.8 จะได้ก้อนมวลอยู่ในรูปสารไวแสง SU-8 ที่แข็งตัวอยู่บนฐานรอง ความสูงของก้อนมวลประมาณ 500 ไมโครเมตร ดังแสดงในรูปที่ 6.9



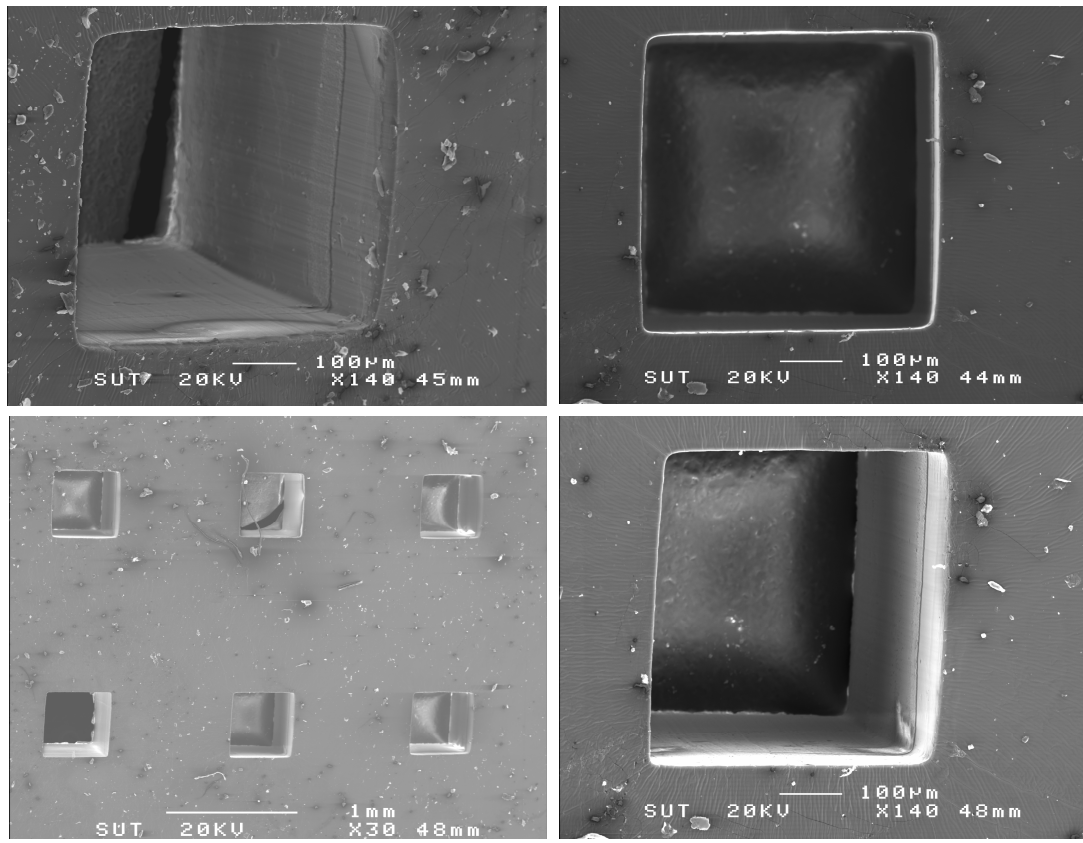
รูปที่ 6.9 ภาพถ่ายจากกล้องจุลทรรศน์อิเล็กตรอนแบบส่องการดู ของก้อนมวล SU-8 ต้นแบบ

จากนั้นขั้นตอนต่อไปจะเป็นการถอดแบบก้อนมวลดังกล่าวเพื่อที่จะนำไปสร้างเป็นก้อนมวลรับความร่างรับน้ำหนักของก้อนมวลบนตัวชิพ โดยในการถอดแบบนี้ใช้พอลิเมอร์ PDMS ใน การหล่อเพื่อสร้างเป็นแม่พิมพ์โดยการสร้างกระเบล็อกชิ้นงานจนทั่วเพื่อกำหนดขอบเขตของ แม่พิมพ์ก่อนที่จะเทพอลิเมอร์ PDMS เหลวลงบนชิ้นงานจนกระทั่งท่วมจนทั่วชิ้นงาน จากนั้นจึงทำการอบจนพอลิเมอร์ PDMS แข็งตัวอยู่ในลักษณะของแข็งที่มีความยืดหยุ่นตามลักษณะของ พอลิเมอร์ PDMS ก่อนทำการลอก PDMS ออกจากชิ้นงานต้นแบบ เพื่อนำไปใช้เป็นแม่พิมพ์ในการ สร้างก้อนมวลบนตัวชิพต่อไป โดยการสร้างแม่พิมพ์ด้วย PDMS มีลำดับขั้นตอนดังรูปที่ 6.10 ซึ่งใน กระบวนการสร้างนี้ไม่จำเป็นต้องอยู่ภายใต้ห้องทึบแสง และสามารถสร้างแม่พิมพ์ได้หลายตัวโดยใช้ ชิ้นงานต้นแบบเพียงตัวเดียว



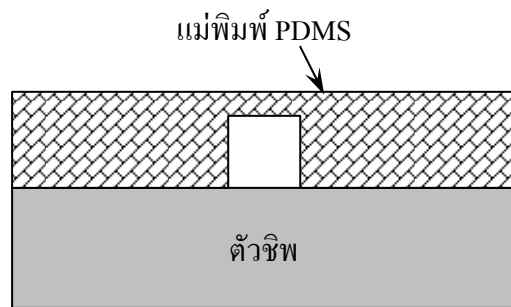
รูปที่ 6.10 กระบวนการสร้างแม่พิมพ์โดยการถอดแบบชิ้นงานด้วยพอลิเมอร์ PDMS

โดยที่เมื่อทำการถอดแบบเสร็จล้วนจะได้แม่พิมพ์ที่เป็นพอลิเมอร์ PDMS ดังแสดงในรูป 6.11 โดยแม่พิมพ์ PDMS ที่สร้างขึ้นจะนำไปวางบนตัวชิป ซึ่งสามารถกำหนดบริเวณที่ต้องการได้ ก่อนที่จะทำการซับโลหะด้วยไฟฟ้าลงไปในหลุมของแม่พิมพ์

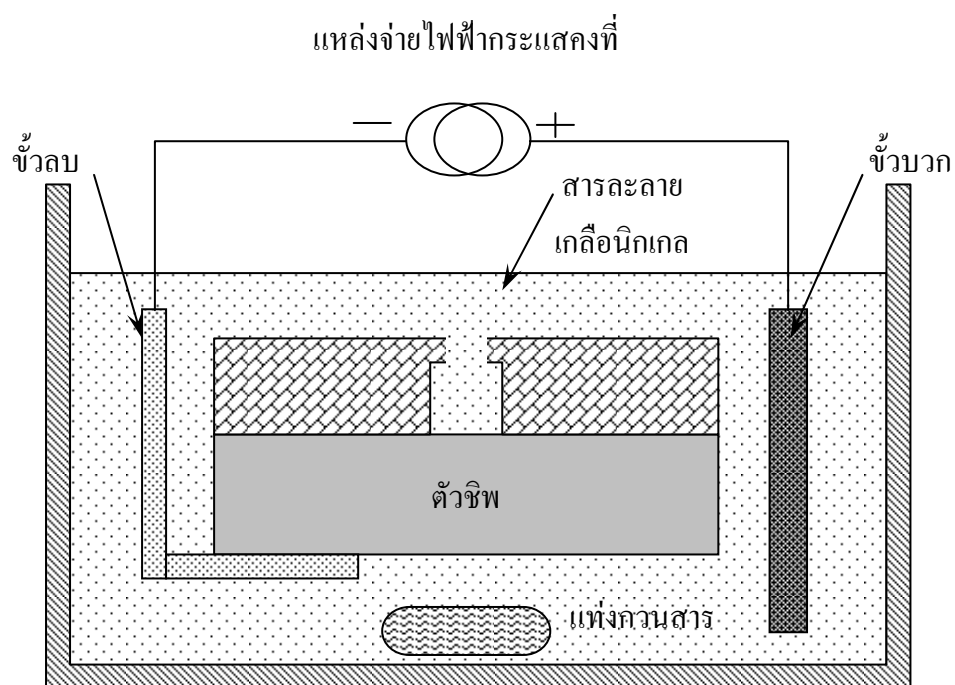


รูปที่ 6.11 แม่พิมพ์ของก้อนมวลที่สร้างจากพอลิเมอร์ PDMS

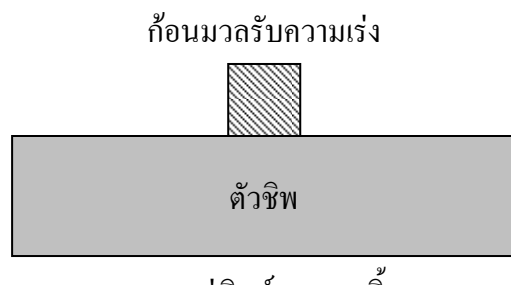
หลังจากที่ได้แม่พิมพ์ที่เป็นพอลิเมอร์ PDMS ข้างต้นแล้วนั้น ขั้นตอนต่อไปจะเป็นการนำแม่พิมพ์ที่สร้างขึ้นมาติดลงบนตัวชิพเพื่อที่จะทำการซุบนิกเกิลลงไปในแม่พิมพ์เพื่อสร้างก้อนมวลโดยกระบวนการสร้างก้อนมวลลงบนตัวชิพนั้น แสดงได้ดังรูปที่ 6.12 ซึ่งในการติดแม่พิมพ์ลงบนตัวชิพนั้น จะติดลงบนตัวชิพโดยตรงโดยไม่ต้องทำการทากราวหรือวัสดุสำหรับยึดติดระหว่างตัวชิพกับแม่พิมพ์ ซึ่งในการติดนั้นจำเป็นต้องรักษาความสะอาดของผิวแม่พิมพ์ ไม่ให้เกิดคราบหรือมีฝุ่นมากage เนื่องจากหากเกิดความสกปรกขึ้นแล้ว การยึดติดระหว่างแม่พิมพ์พอลิเมอร์ PDMS กับตัวชิพนั้น อาจไม่ดีเท่าที่ควร และอาจทำให้ขึ้นงานเกิดความเสียหายระหว่างการซุบโลหะด้วยไฟฟ้าเพื่อสร้างก้อนมวลขึ้นได้ เมื่อทำการติดแม่พิมพ์ลงบนตัวชิพและสร้างก้อนมวลลงบนตัวชิพเรียบร้อยแล้ว จึงทำการนำจัดแม่พิมพ์ทิ้ง โดยการลอกออกหรือใช้มีดปลายแหลมตัดแม่พิมพ์ออกจากตัวชิพจากนั้น จะได้ตัวตรวจรู้ความเร่งที่มีก้อนมวลสำหรับรับความเร่งเป็นโลหะนิกเกิลความสูงประมาณ 500 ไมโครเมตร ดังแสดงในรูปที่ 6.13 ซึ่งหากต้องความสูงเพิ่มขึ้นหรือลดลงกว่ากีสามารถทำได้โดยการกำหนดเวลาและอัตราการเกิดของโลหะ ในกระบวนการสร้างด้วยวิธีนี้นั้น ยังสามารถสร้างก้อนมวลลงบนชิ้นงานได้พร้อมกันทีละหลายตัวอีกด้วย



ติดแม่พิมพ์ลงบนตัวชิพ

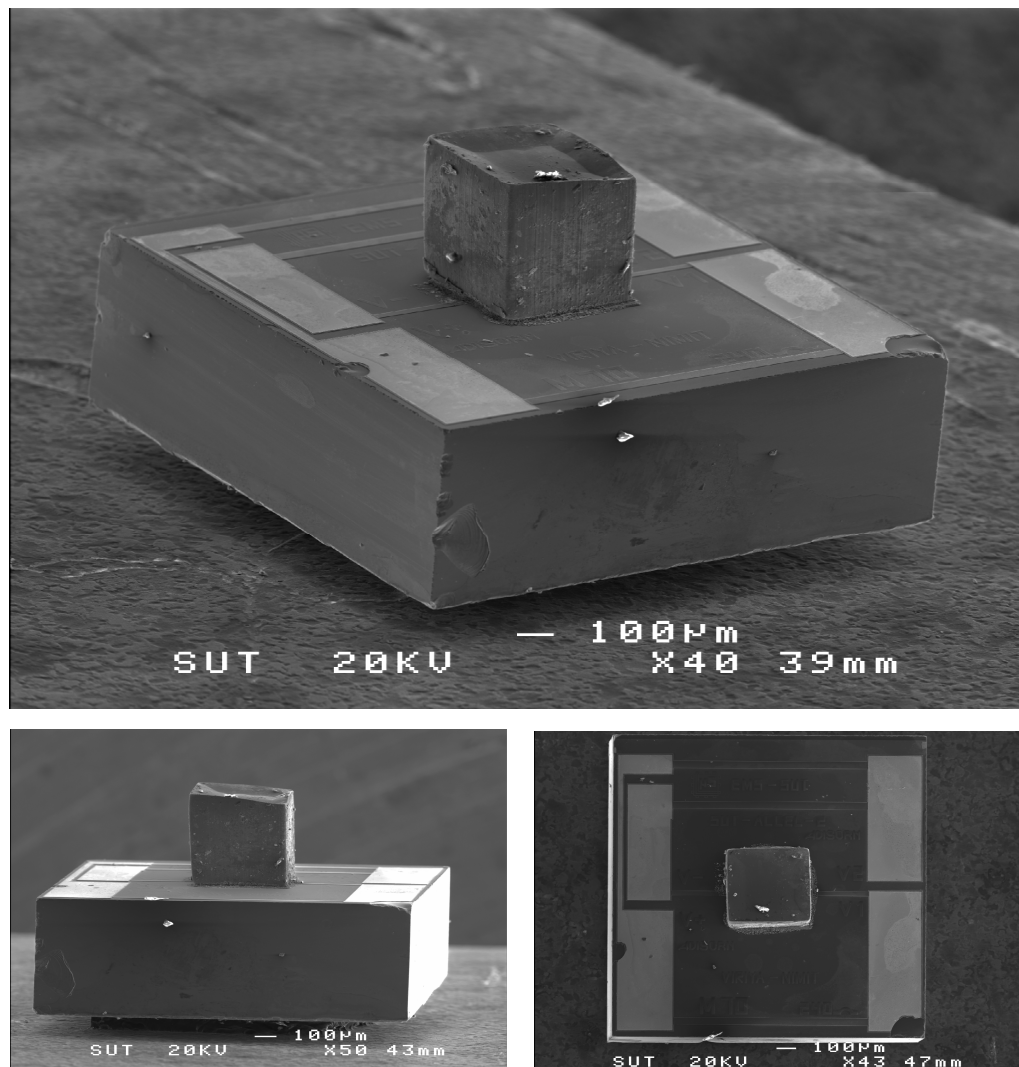


เปิดช่องบนแม่พิมพ์และทำการซูบ尼克เกลลงไปในแม่พิมพ์



ลอกแม่พิมพ์ PDMS ทิ้ง

รูปที่ 6.12 ขั้นตอนการสร้างก้อนมวลลงบนชิพด้วยแม่พิมพ์ PDMS



รูปที่ 6.13 ตัวตรวจวัดความเร่งที่มีก้อนมวลรับความเร่ง ที่สร้างจากกระบวนการการถอดแบบด้วยแม่พิมพ์ PDMS สูงประมาณ 500 ไมโครเมตร

จะเห็นว่ากระบวนการการลิโซกราฟีด้วยรังสีเอกซ์และการถอดแบบชิ้นงานด้วยพอลิเมอร์ PDMS มีประสิทธิภาพในการสร้างอุปกรณ์จุลภาค สามารถสร้างชิ้นงานที่มีความสูงมากกว่า 500 ไมโครเมตรได้ และมีประสิทธิภาพในการสร้างชิ้นงานคร่าวะหลาย ๆ ตัวได้

บทที่ 7

สรุปงานวิจัยและข้อเสนอแนะ

7.1 สรุปงานวิจัย

งานวิจัยนี้ได้นำเสนอการพัฒนาระบวนการสร้างอุปกรณ์จุลภาค เนื่องจากอุปกรณ์จุลภาค เป็นอุปกรณ์ที่นำมาใช้อย่างแพร่หลาย กระบวนการสร้างอุปกรณ์จุลภาคมีการพัฒนาอย่างต่อเนื่อง โดยในงานวิจัยนี้ได้ทำการพัฒนาระบวนการลิโซกราฟีด้วยรังสีเอ็กซ์ ซึ่งเป็นการพัฒนาระบวนการขึ้นพื้นฐานภายในศูนย์วิจัยเครื่องกำเนิดแสงชินโตรอนแห่งชาติ ให้สามารถใช้เป็นกระบวนการพื้นฐานภายในศูนย์วิจัยได้ ซึ่งในการพัฒนานี้ได้เริ่มจากการพัฒนาระบบสแกนชิ้นงานเพื่อถ่ายรังสีเอ็กซ์ลงบนชิ้นงาน ประกอบกับการพัฒนาระบวนการลิโซกราฟีด้วยรังสีเอ็กซ์ โดยใช้สารไวแสง SU-8 ซึ่งเป็นสารไวแสงชนิดคลบ เป็นสารไวแสงมาตรฐานในกระบวนการที่ทำการพัฒนาขึ้น เป็นสารไวแสงมาตรฐานสำหรับกระบวนการลิโซกราฟีด้วยรังสีเอ็กซ์ภายในศูนย์วิจัยเครื่องกำเนิดแสงชินโตรอนแห่งชาติ

ในกระบวนการพัฒนานี้ได้พัฒนาระบวนการจนลิ้นสุดกระบวนการ X-ray LIGA ซึ่งประกอบด้วยกระบวนการลิโซกราฟีด้วยรังสีเอ็กซ์ กระบวนการชูบโลหะด้วยไฟฟ้า และกระบวนการสร้างชิ้นงานด้วยการสร้างจากการถอดแบบจากมีพิมพ์จุลภาค โดยในกระบวนการลิโซกราฟีด้วยรังสีเอ็กซ์นี้ ได้ทำการพัฒนาระบวนการสำหรับการสร้างหน้ากากกันรังสีเอ็กซ์ (X-ray mask) โดยการนำเงินมาใช้เป็นวัสดุดูดกลืนรังสีเอ็กซ์แทนที่ทองคำ ซึ่งเป็นกระบวนการสร้างหน้ากากกันรังสีเอ็กซ์แบบใหม่ สามารถลดค่าใช้จ่ายในกระบวนการสร้างหน้ากากกันรังสีเอ็กซ์ลง ได้อย่างมากเมื่อเทียบกับการใช้ทองคำ เมื่อใช้หน้ากากกันรังสีเอ็กซ์ที่สร้างขึ้นร่วมกับสารไวแสง SU-8 ความหนา 500 ไมโครเมตร ได้ผลว่าต้องใช้โลหะเงินในการสร้างหน้ากากกันรังสีเอ็กซ์ด้วยความหนา 13 ไมโครเมตรขึ้นไป และหากใช้ทองคำต้องใช้ความหนาอย่างน้อย 7 ไมโครเมตร ซึ่งเมื่อทำการเบริญเทียบราคาแล้วปรากฏว่าในการสร้าง漉ดลายขนาดเท่ากันนั้น การใช้โลหะเงินสามารถลดค่าใช้จ่ายลงได้ถึง 40 เท่า และสร้างบนฐานรองที่เป็นแผ่นグラไฟต์บาง ซึ่งมีคุณสมบัติไปร่วมแสงต่อรังสีเอ็กซ์สูง นอกจากนี้ยังได้พัฒนาระบบขึ้นเคลื่อนชิ้นงานในระบบลายแสงภายในห้องลายแสงจนสามารถใช้งานในกระบวนการลิโซกราฟีด้วยรังสีเอ็กซ์ได้ จากผลการทดลองสร้างชิ้นงานจริงโดยใช้เงินเป็นวัสดุดูดกลืนรังสีเอ็กซ์นี้ ได้อุปกรณ์จุลภาคออกแบบมาในลักษณะของอุปกรณ์ที่โครงสร้าง漉ดลายที่ดี ไม่มีการผิดเพี้ยนของ漉ดลายที่ได้ทำการออกแบบ ซึ่งถือได้ว่าเงินเป็นวัสดุที่มีประสิทธิภาพในการที่จะนำมาสร้างหน้ากากกันรังสีเอ็กซ์

ทั้งนี้ได้ทำการสาขิตกระบวนการที่ได้พัฒนาขึ้น ณ ศูนย์ปฏิบัติการวิจัยเครื่องกำเนิดแสง ชิ้น โครงตระหง่านแห่งชาติ โดยการทดลองสร้างก้อนมวลรับความเร่ง (proof mass) บนตัวตรวจรู้ความเร่งแบบเพียโซเรซิสทีฟ (Piezo resistive) ซึ่งตัวตรวจรู้ความเร่งชนิดดังกล่าวนั้นความไวในการรับรู้ความเร่งจะขึ้นกับมวลของก้อนมวลรับความเร่งที่อยู่บนคานของตัวชิพ โดยสามารถสร้างก้อนมวลรับความเร่ง ลงบนตัวชิพให้มีความสูงมากเกิน 500 ไมโครเมตร ได้ ซึ่งแสดงให้เห็นว่ากระบวนการที่ทำการพัฒนาขึ้นนี้มีประสิทธิภาพสูงในการสร้างอุปกรณ์จุลภาคชนิดต่าง ๆ และเป็นกระบวนการพื้นฐานให้กับนักวิจัยรุ่นต่อไปที่จะมาทำการพัฒนากระบวนการต่อ หรือแม้แต่นำกระบวนการดังกล่าวไปใช้สำหรับการพัฒนาอุปกรณ์จุลภาคชนิดต่าง ๆ ให้มีประสิทธิภาพสูงขึ้น เช่นการสร้างตัวตรวจรู้ความชื้นจุลภาค การสร้างมอร์เตอร์ไฟฟ้าจุลภาค เป็นต้น เพื่อเป็นประโยชน์ในอนาคตได้

7.2 ข้อเสนอแนะ

จากการดำเนินงานวิจัยวิทยานิพนธ์ที่ผ่านมา ผลที่ได้จากการและปัญหาที่เกิดขึ้นระหว่างการทำวิจัย ทำให้เกิดแนววิคิดและข้อเสนอแนะในการดำเนินงานวิจัยในอนาคต สำหรับส่วนการสอนชิ้นงานนั้น จากการดำเนินการวิจัยประสบปัญหาคือ ความเร็วในการสอนชิ้นงานของเครื่องสแกนเนอร์นั้นมีค่าน้อยมาก ทำให้การควบคุมค่าพลังงานรวมบนชิ้นงานทำได้ในลักษณะเป็นขั้นบันได ซึ่งมีความละเอียดน้อย ดังนั้นระบบจะสามารถเพิ่มประสิทธิภาพการทำงานให้สูงขึ้นได้ โดยการปรับปรุงระบบสอนชิ้นงาน ให้สามารถสอนชิ้นงานในอัตราความเร็วที่สูงขึ้น เพื่อให้สามารถควบคุมพลังงานรวมบนชิ้นงานได้ละเอียดยิ่งขึ้น

ฐานรองของหน้ากากกันรังสีเอกซ์นั้น เป็นวัสดุที่โปร่งแสงต่อรังสีเอกซ์แต่ทึบแสงปกติ ทำให้ไม่สามารถทำการวางแผนลวดลายบนหน้ากากกันรังสีเอกซ์ลงให้ทับกับลวดลายบนชิ้นงานได้ เนื่องจากไม่สามารถมองทะลุผ่านหน้ากากกันรังสีเอกซ์ลงไปจนถึงชิ้นงานได้ ดังนั้นเพื่อเพิ่มประสิทธิภาพให้ดียิ่งขึ้น ควรทำการหัววัสดุที่สามารถใช้เป็นฐานรองของหน้ากากกันรังสีเอกซ์ได้ โดยที่มีคุณสมบัติโปร่งแสงต่อรังสีเอกซ์สูง และสามารถมองทะลุผ่านหน้ากากกันรังสีเอกซ์ลงไปจนถึงชิ้นงานได้ เพื่อให้สามารถสร้างชิ้นงานที่มีรายละเอียดมากขึ้นได้

รายการอ้างอิง

- Becnel, C. (2004). **Ultra Deep SU-8 Manufacturing and Characterization for MEMS Applications.** Master Thesis, Faculty of the Louisiana State University and Agricultural and Mechanical College.
- Bjorkholm, J. E. (1998). **EUV Lithography-The Successor to Optical Lithography.** Advanced Lithography Department, Technology and Manufacturing Group, Santa Clara, CA.
- Cabrini, S., Pe'renne's, F., Marmiroli, B., Olivo, A., Carpentiero, A., Kumar, R., Candeloro, P., and Fabrizio, E.Di. (2005). Low cost transparent SU-8 membrane mask for deep X-ray lithography. **Microsystem Technologies.** 11: 370–373.
- Chen, H., Bao, M., Zhu H., and Shen, S. (1997). A piezoresistive accelerometer with a novel vertical beam Structure. **Solid State Sensors and Actuators.** 2: 1201–1204.
- Chen, H., Shen, S., and Bao, M. (1997). Over-range capacity of piezoresistive micro-accelerometer. **Sensors and Actuators.** 58(3): 197–201.
- Fahrenberg, J., Schaller, Th., Bacher, W., El-Kholi, A., and Schomburg W. K. (1996). High aspect ratio multi-level mold inserts fabricated by mechanical micro machining and deep etch X-ray lithography. **Microsystem Technologies.** 2: 174-177
- Guckel, H. (1995). Micromechanics via synchrotron radiation. **Particle Accelerator Conference.** 1: 63-66.
- Guo, Y., Liu, G., Xiong, Y., Zhu, X., Jun, W. and Tian, Y. (2006). Fabrication of LIGA mold insert using Ni-PTFE composite micro-electroforming. **Journal of Physics: Conference.** 34: 870-874.
- Hruby, J. (2000). **The State of LIGA Development.** Sandia National Laboratories.
- Huang, S., Li, X., Wang, Y., Jiao, J., Ge, X., Lu, D., Che, L., Zhang, K., and Xiong, B. (2003). A piezoresistive accelerometer with axially stressed tiny beams for both much increased sensitivity and much broadened frequency bandwidth. **Transducers, Solid-State Sensors, Actuators and Microsystems.** 1: 91 – 94.
- Ivanov, T., Gotszalk, T., Sulzbach T., and Rangelow, I. W. (2003). Quantum size aspects of the piezoresistive effect in ultra thin piezoresistors. **Ultramicroscopy.** 97(1-4): 377-384.

- Carter, J. M., Fleming, R. C., Savas, T. A., Walsh, M. E., and O'Reilly, T. B. (2003). Interference Lithography. **Submicron and Nanometer Structures.** : 186-188.
- Jian, L., Desta, Y. M., Goettert, J., Bednarzik, M., Loeschel, B., Yoonyoung, J., Aigeldinger, G., Singh, V., Ahrens, G., Gruetzner, G., Ruhmann, R., and Degen, R. (2003). SU-8 based deep x-ray lithography/LIGA. **Proc. of SPIE.** 4979: 394-401.
- Jian, L., Loeschel, B., Scheunemann, H.-U., Bednarzik, M., Desta, Y.M., and Goettert, J. (2003). Fabrication of ultra thick, ultra high aspect ratio microcomponents by deep and ultra deep X-ray lithography. **MEMS, NANO and Smart Systems.** (ICMENS'03): 14-17
- Jian, L. K., Casse, B. D. F., Heussler, S. P., Kong, J. R., Saw, B. T., Mahmood, S. b., and Moser, H. O. (2006). Industrial applications of micro/nanofabrication at Singapore Synchrotron Light Source. **Journal of Physics: Conference.** 34: 891–896.
- José, A. P., Collado, A., Cabruja, E., and Esteve, J. (2002). Piezoresistive Accelerometers for MCM Package. **Journal of Microelectromechanical Systems.** 11(6): 794-801.
- Kawase, K., Hirata, Y., Haga, T., Yorita, J., Mori, C., and Ueno T. (2004). Development of LIGA Contact Probe with Tip Sharpened by Micro-Electro Discharge Machining. **Sei Technical Review.** 58: 12-15.
- Kim, K., Park, S., Lee, J.-B., Manohara, H., Desta, Y., Murphy, M., and Ahn, C. H. (2002). Rapid replication of polymeric and metallic high aspect ratio microstructures using PDMS and LIGA technology. **Microsystem Technologies.** 9: 5-10.
- Kwon, K., and Park, S. (1997). Three axis piezoresistive accelerometer using polysilicon layer. **Solid State Sensors and Actuators.** 2: 1221–1224.
- Mookherjea, S. (2005). Principles and applications of coupled microring optical resonators. **Fibres and Optical Passive Components.** : 51- 57.
- Moser, H. O., **Industry and Synchrotron Radiation - Prospects Using ANKA.** Forschungszentrum Karlsruhe, Germany.
- Munnik, F., Benninger , F., Mikhailov , S., Bertsch, A., Renaud, P., Lorenz, H., and Gmür, M. (2003). High aspect ratio, 3D structuring of photoresist materials by ion beam LIGA. **Microelectronic Engineering.** 67–68: 96–103.
- Pavelescu, I., and Matei, P. (2000). Uniaxial silicon piezoresistive accelerometer. **Semiconductor Conference.** 2: 479 – 482.

- Rolland, J. P., Hagberg, E.C., Denison, G. M., Carter, K. R., and De Simone J. M. (2004). High-Resolution Soft Lithography: Enabling Materials for Nanotechnologies. **Angew. Chem. Int. Ed.** 43: 5796–5799.
- Ruprecht, R., Kalb, H., Kowanz, B., and Bacher, W. (1996). Molding of LIGA microstructures from fluorinated polymers. **Microsystem Technologies.** 2: 182-185.
- Shimada, O., Kusumi S., Mekaru, H., Sato, N., Yamashita, M., and Hattori, T. (2004). Fabrication of Spiral Micro-Coil Utilizing LIGA Process. **LASTI Annu Rep.** 6: 84-87.
- Silvaa, E. C. N., Souzaa, B. R. D., Ornelasa, M. G., and Nishiwakib, S. (2005). Piezoresistive Sensor Design Using Topology Optimization. **6th World Congress on Structural and Multidisciplinary Optimization.** Brazil, Rio de Janeiro.
- Sim, J. H., Hahm, S. H., Lee, J. H., Lee, J. H., Yu, I. S., and Kim, J. S. (1997). Eight-beam piezoresistive accelerometer fabricated by using a selective porous silicon etching method. **Solid State Sensors and Actuators.** 2: 1193-1196.
- Sim, J. H., Kim, D. K., Bae, Y. H., Nam, K. H., and Lee, J. H. (1998). Six-beam piezoresistive accelerometer with self-cancelling cross - axis sensitivity. **Electronics Letters.** 34(5): 497- 499.
- Siva-Prasad, M. S. Y., Kumar, S., and Ravi, G. (2005). Modelling and Experimental Verification of Temperature effectsof a Piezo-Resistor and Design of Compensation Electronics. **Proceedings of ISSS 2005 International Conference on Smart Materials Structures and Systems (SE44-SE48).** India, Bangalore.
- Tao, W., Andrew, B. M., Richard, M. ., Kevin, W. K., Hensley, D., Desta, Y., and Ling, Z. G. (2005). Fabrication of Monolithic Multilevel High-Aspect-Ratio Ferromagnetic Devices. **Journal OF Microelectromechanical Systems.** 14(2): 400-409.
- Tolfree, D. W. L. (1998). The status of deep X-ray lithography in the UK for the development of precision microstructures. **Microsystem Technologies.** 4: 51-55.
- Tsai, T. H., Yang, H., and Chein, R. (2004). New electroforming technology pressure aid for LIGA process. **Microsystem Technologies.** 10: 351–356
- Urbanski, J. P., Thies, W., Rhodes, C., Amarasinghe, S., and Thorsen, T. (2006). Digital microfluidics using soft lithography. **Lab on a Chip.** 6: 96-104.
- Yi, F., Jin, M., Tang, E., and Xian, D., (1996). The fabrication of LIGA masks using photolithography and synchrotron radiation lithography. **Microsystem Technologies.** 3: 7-9.

ภาคผนวก ก

บทความวิชาการที่ได้รับการตีพิมพ์เผยแพร่

รายชื่อบทความที่ได้รับการตีพิมพ์เผยแพร่

1. W. Wanburee, T. Maturos, T. Lomas, A. Tuantranont, N. Atiwongsang-thong, R. Muanghlua, W. Titiroongruang, S. Niemcharoen, P. Songsiriritthigul, P. Klysubun, and N. Chomnawang. "Alternative X-ray Mask Absorber for LIGA Applications." International Conference on Materials for Advanced Technologies – ICMAT, Singapore, July 1-7, 2007
2. R. Phatthanakun, M. Mapato, W. Wanburee, S. Promwikorn, N. Chathirat, P. Songsiriritthigul, P. Klysubun and N. Chomnawang. "Copier Transparency as a Transparent Support for X-ray Mask Absorber." International Conference on Materials for Advanced Technologies – ICMAT, Singapore, July 1-7, 2007

ประวัติผู้เขียน

นายวินัย วันบุรี เกิดเมื่อวันที่ 10 พฤษภาคม พ.ศ. 2525 ที่อำเภอหนองพอก จังหวัดร้อยเอ็ด สำเร็จการศึกษาระดับมัธยมศึกษาตอนต้น จากโรงเรียนหนองบึงงาน อำเภอหนองพอก จังหวัดร้อยเอ็ด สำเร็จการศึกษาระดับมัธยมศึกษาตอนปลาย จากโรงเรียนหนองพอกวิทยา จังหวัดร้อยเอ็ด และสำเร็จการศึกษาระดับปริญญาตรี วิศวกรรมศาสตรบัณฑิต (วิศวกรรมไฟฟ้า) จากมหาวิทยาลัยเทคโนโลยีสุรนารี เมื่อ พ.ศ. 2548 จากนั้นได้เข้าศึกษาต่อระดับปริญญาวิศวกรรมศาสตรมหาบัณฑิต สาขาวิชาชีวกรรมไฟฟ้า มหาวิทยาลัยเทคโนโลยีสุรนารี ขณะศึกษาได้ทำงานวิจัยทางด้านระบบกลไกไฟฟ้าจุลภาค (MEMS) ทั้งการออกแบบและสร้างด้วยกระบวนการผลิตชิ้นส่วนจุลภาค และได้ร่วมมือกับศูนย์วิจัยเครื่องกำเนิดแสงซินโครตรอนแห่งชาติ ในการพัฒนาระบบฉายรังสีเอกซ์ลับบนชิ้นงาน ณ จุดปลายของระบบลำเลียงแสง BL-6 และพัฒนากระบวนการผลิตโลหะพิเศษด้วยรังสีเอกซ์ สำหรับใช้ภายในศูนย์วิจัยเครื่องกำเนิดแสงซินโครตรอนแห่งชาติ โดยใช้โลหะเงินเป็นวัสดุคุณภาพดี รังสีเอกซ์สำหรับการสร้างหน้ากากกันรังสีเอกซ์ และสามารถใช้กระบวนการที่ได้พัฒนาขึ้น เป็นกระบวนการมาตรฐานภายในศูนย์วิจัย ผู้วิจัยมีความสนใจในการประยุกต์ใช้แสงซินโครตรอนมาพัฒนากระบวนการประดิษฐ์โครงสร้างจุลภาคสัดส่วนสูง และในระหว่างการศึกษานี้ ได้นำเสนอผลงานวิจัยจำนวนสองเรื่องดังนี้ (1) “Alternative X-ray Mask Absorber for LIGA Applications.” และ (2) “Copier Transparency as a Transparent Support for X-ray Mask Absorber.” ใน การประชุมทางวิชาการนานาชาติ International Conference on Materials for Advanced Technologies – ICMAT 2007 ณ ประเทศไทย ระหว่างวันที่ 1-6 กรกฎาคม พ.ศ. 2550